

*Anatomischer Hand-Atlas  
zum Gebrauch im Secirsaal 5-6*

Jacob Henle

**LANE**

**MEDICAL**



**LIBRARY**

**LEVI COOPER LANE FUND**

The New York Academy of Medicine.



By *Dr. W. T. Bull*

Of ..... 18





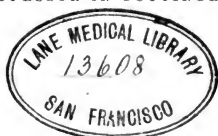
ANATOMISCHER  
H A N D - A T L A

ZUM

GEBRAUCH IM SECIRSAAL

LANE LIBRARY

DR. J. HENLE,  
PROFESSOR IN GÖTTINGEN.



FÜNFTES HEFT:

N E R V E N .

---

BRAUNSCHWEIG,  
DRUCK UND VERLAG VON FRIEDRICH VIEWEG UND SOHN.  
1876.

YSA98LJ 3MAJ

---

Die Herausgabe einer Uebersetzung in französischer und englischer Sprache,  
sowie in anderen modernen Sprachen wird vorbehalten.

---

E 25  
H 51  
1876-77  
v. 5-6

V.

NEUROLOGISCHER THEIL.

---

- Fig. 1. Rückenmark von der hinteren Fläche, die Nervenwurzeln ausgerissen.  
 Fig. 2. Rückenmark von vorn; die fibröse Haut (dura mater) hinten und vorn in der Medianlinie durchschnitten und zurückgeschlagen.  
 Fig. 3. Dorsaltheil des Rückenmarks, hintere Fläche, die fibröse Haut durch einen medianen Schnitt geöffnet und zurückgeschlagen.  
 Fig. 4. Rückenmark (Cervicaltheil) mit den Nervenwurzeln von vorn; die Wurzeln eines Nerven der rechten Seite ausgerissen.  
 Fig. 5. Dasselbe, von hinten, ebenso.  
 Fig. 6. Unteres Ende des Rückenmarks, mit den Wurzeln des untersten Sacralnerven und des N. coccygeus Einer Seite.

- Ct* Conus terminalis.  
*Fc* Funiculus cuneatus.  
*Fg* Funiculus gracilis.  
*Fl* Funiculus lateralis.  
*Fma* Fissura mediana ant.  
*Fmp* Fissura mediana post.  
*Fp* Funiculus post.  
*Ft* Filum terminale.  
*Ic* Intumescencia cervicalis.  
*Il* Intumescencia lumbalis.  
*Ld* Ligamentum denticulatum.  
*Nc* Nervus cervicalis.  
*Ncc* N. coccygeus.  
*Nd* N. dorsalis.  
*Nl* N. lumbalis.  
*Ns* N. sacralis.  
*Ra* Radix ant.  
*Rp* Radix post.  
*Sip* Sulcus intermedius post.  
*Sl<sub>a</sub>* Sulcus lateralis ant.  
*Sl<sub>p</sub>* Sulcus later. post.  
 \* Gangl. spinale.  
 \*\* Gangl. coccygeum.

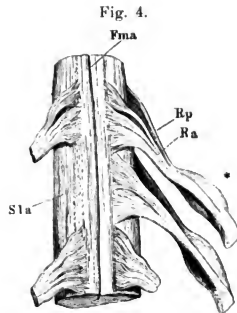




Fig. 1.

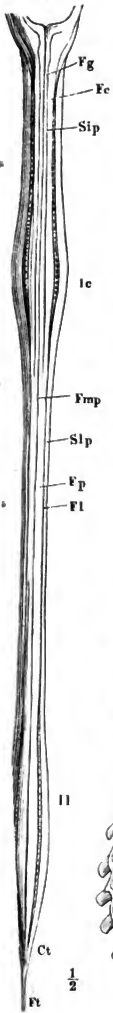


Fig. 2.

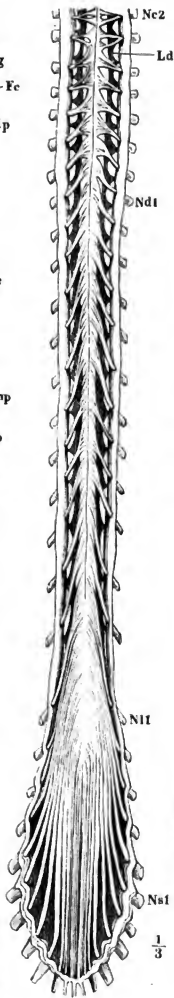


Fig. 3.

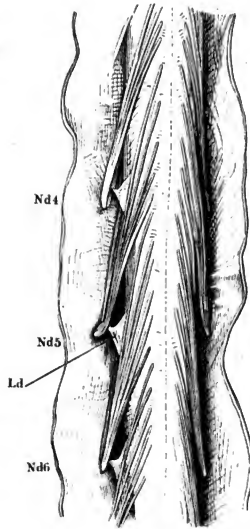


Fig. 6.

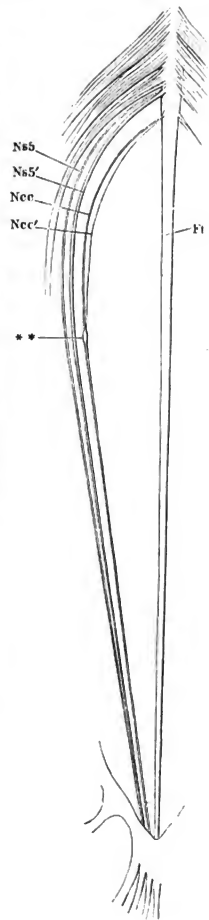
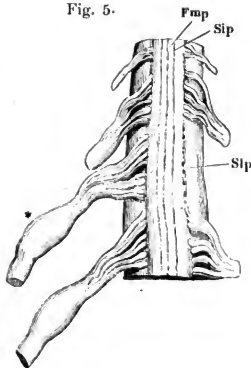


Fig. 5.



- Fig. 1. Querschnitt des Dorsaltheils des Rückenmarks durch die Austrittsstelle einer hintern Wurzel. 2malige Vergrößerung auf dunkeln Grunde.  
 Fig. 2. Dasselbe Präparat, 5malige Vergrößerung. Bei durchfallendem Licht.  
 Fig. 3. Dasselbe, durch Kalilösung aufgehell. 20malige Vergrößerung.  
 Fig. 4. Querschnitt des Rückenmarks aus der Gegend des Ursprungs der obersten Wurzelfasern des sechsten Cervicalnervenpaars. 15malige Vergr.  
 Fig. 5. Mittlerer Theil des nämlichen Präparats, durch Kalilösung aufgehell. 20malige Vergrößerung.  
 Fig. 6. Querschnitt des Rückenmarks aus der Gegend des Ursprungs der mittleren Wurzelfasern des dritten Sacralnervenpaars. 15malige Vergr.

<i>Ca</i>	Commissura alba.	<i>gc</i>	Substantia grisea centralis.
<i>Cc</i>	Canalis centr.	<i>grc</i>	Substantia grisea corticalis.
<i>Cg</i>	Commissura grisea.	<i>Pr</i>	Processus reticularis.
<i>Fa</i>	Funiculus ant.	<i>s</i>	Substantia spongiosa der grauen Hintersäule.
<i>Fma</i>	Fissura mediana ant.	<i>Ti</i>	Tractus intermedio-lateralis.
<i>Fmp</i>	Fissura mediana post.	<i>v</i>	Columna vesicularis des Dorsalmarks.
<i>Fp</i>	Funiculus post.	*	Gefäßdurchschnitte.
<i>g</i>	Substantia gelatinosa der grauen Hintersäule.		

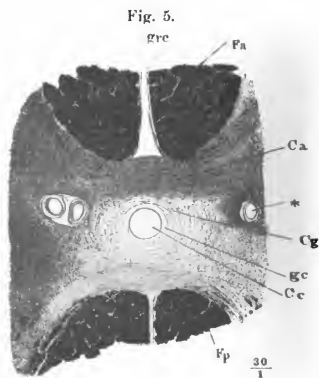
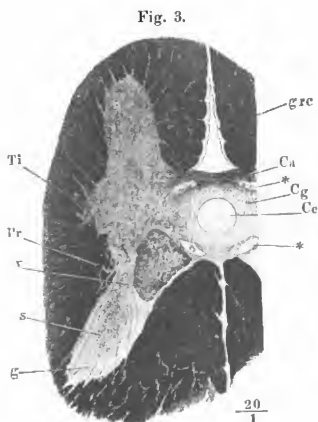


Fig. 4.

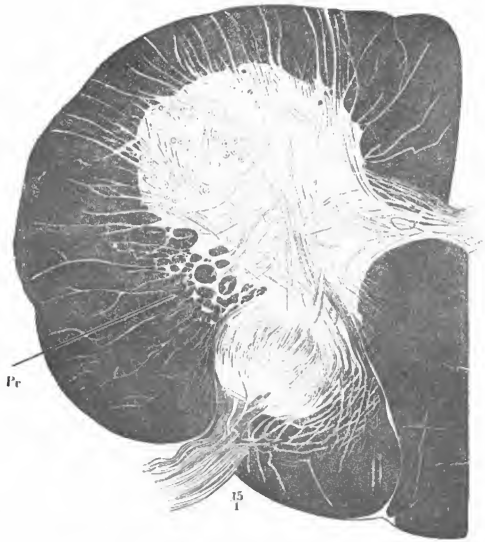


Fig. 1.

Fma



Fmp  
 $\frac{2}{1}$

Fig. 2.

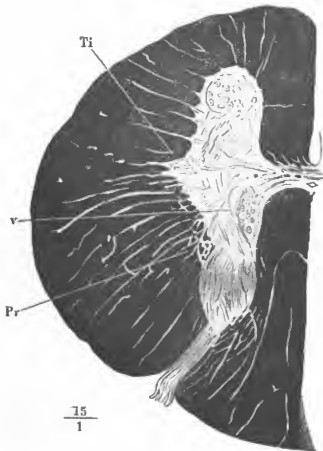
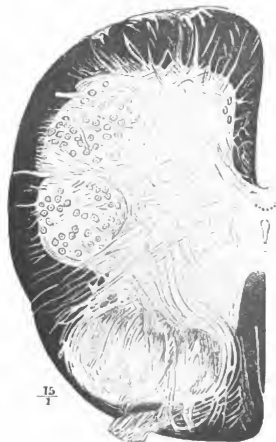


Fig. 6.



- Fig. 1. Gehirn, Profilsansicht.  $\frac{1}{3}$  natürl. Grösse.  
 Fig. 2. Gehirn von hinten, die Fissura transversa ant. dadurch weit geöffnet, dass das Grosshirn mit der vordern Spitze um die transversale Axe abwärts gebogen ist.  
 Fig. 3. Basis des Gehirns, die Hypophyse abgetrennt, die vordere Spitze des hintern Lappens rechterseits zurückgebogen, um die Stelle (\*\*\*) frei zu legen, an welcher derselbe mit dem Boden des Gehirns verwachsen ist.

<i>B</i>	Basis des Grosshirnschenkels.	<i>Lpp</i>	Lamina perforata posterior.
<i>Bca</i>	Brachium conjunct. ant.	<i>Lq</i>	Lamina corporis quadrigemini.
<i>Bcp</i>	Brachium conjunct. post.	<i>Mo</i>	Medulla oblongata.
<i>Cb</i>	Cerebrum s. s. Grosshirn.	<i>P</i>	Pons ( <i>P. Varolii</i> aut.).
<i>Cba</i>	Commissura baseos alba.	<i>Pcc</i>	Pedunculi corporis callosi.
<i>Cbl</i>	Cerebellum.	<i>Spa</i>	Substantia perforata ant.
<i>Cca</i>	Corp. candicans.	<i>Sr</i>	Substantia reticularis.
<i>Ccb</i>	Crus cerebri.	<i>T</i>	Tegmentum des Grosshirnschenkels.
<i>Ccl</i>	Corp. callosum. <i>Ccl<sup>2</sup></i> Knie, <i>Ccl<sup>1</sup></i> Splenium desselben.	<i>Tbo</i>	Tuber olfactorium.
<i>Cn</i>	Conarium.	<i>Tc</i>	Tuber cinereum.
<i>Fta</i>	Fissura transv. ant.	<i>Tho</i>	Thalamus opt.
<i>Gh</i>	Gyrus hippocampi. <i>Gh'</i> Haken des- selben.	<i>Vma</i>	Velum medullare ant.
<i>In</i>	Insula.	<i>I—VIII</i>	Erster bis achter Hirnnerve. —
<i>Lct</i>	Lamina cinerea terminalis.	<i>I'</i>	Bulbus n. olfact. — <i>II'</i> Tract. opt.
		*	Quere Hirnspalte ( <i>Fossa Sylvii</i> aut.).

Fig. 1.

Cb

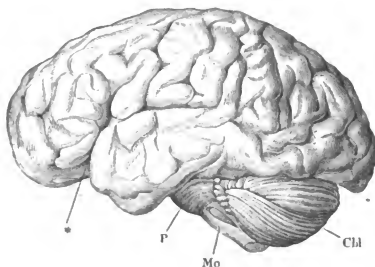


Fig. 2.

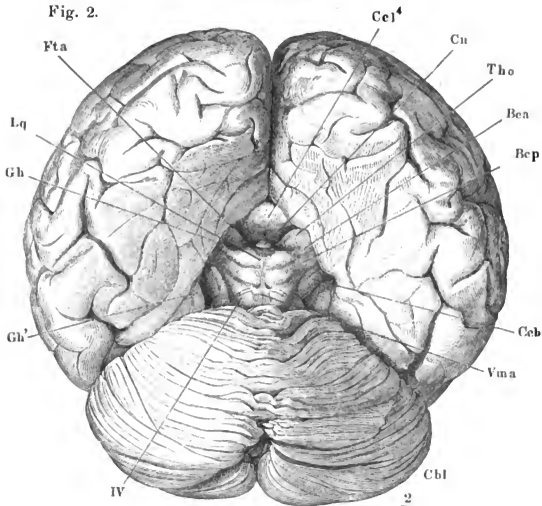


Fig. 3.

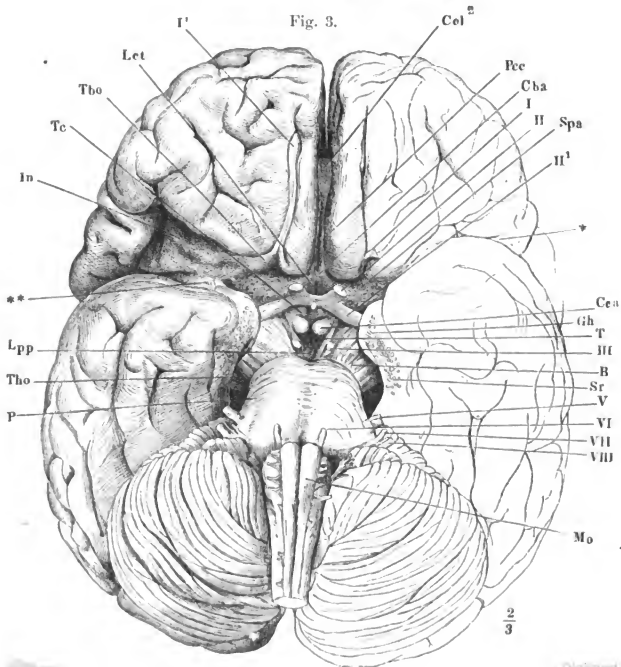
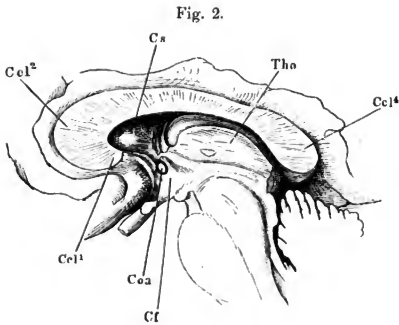
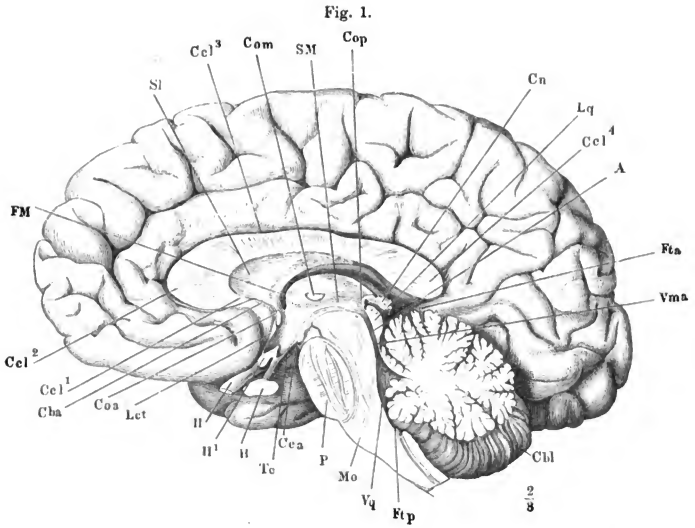


Fig. 1. Mediandurchschnitt des Gehirns.

Fig. 2. Ein Theil desselben nach Entfernung der Lamina Septi lucidi.

---

<i>A</i>	Aquaeductus.
<i>Cba</i>	Commissura baseos alba.
<i>Cbl</i>	Cerebellum.
<i>Cca</i>	Corpus candicans.
<i>Ccl</i>	Corpus callosum. <i>Ccl</i> <sup>1</sup> Schnabel. <i>Ccl</i> <sup>2</sup> Knie. <i>Ccl</i> <sup>3</sup> Körper. <i>Ccl</i> <sup>4</sup> Splenum.
<i>Cf</i>	Columna fornicis.
<i>Cn</i>	Conarium.
<i>Coa</i>	Commissura ant.
<i>Com</i>	Commissura media.
<i>Cop</i>	Commissura posterior.
<i>Cs</i>	Corpus striat.
<i>FM</i>	Foramen Monroi.
<i>Fta</i>	Fissura transversa ant.
<i>Ftp</i>	Fissura transversa post.
<i>H</i>	Hypophyse.
<i>Lct</i>	Lamina cinerea terminalis.
<i>Lq</i>	Lamina corporis quadrigemini.
<i>Mo</i>	Medulla oblongata.
<i>P</i>	Pons.
<i>Sl</i>	Septum lucidum.
<i>SM</i>	Sulcus Monroi.
<i>Tc</i>	Tuber cinereum.
<i>Tho</i>	Thalamus opt.
<i>Vma</i>	Velum medullare ant.
<i>Vq</i>	Ventriculus quartus.
<i>II.</i>	N. opticus. <i>II'</i> Chiasma nervorum opt.



- Fig. 1. Verlängertes Mark, vordere (untere) Fläche. Die vordere Medianfurche auseinandergezogen, um die Pyramidenkreuzung zu zeigen.
- Fig. 2. Dasselbe, die Wurzeln der vier letzten Hirnnerven an der Austrittsstelle abgerissen. \* Unbeständige von der Kreuzungsstelle schräg aufwärts ziehende Furche, \*\* medialer, \*\*\* lateraler Längsstrang der Olive (*Funiculis Siliquae int. und ext.* Burdach).
- Fig. 3. Verlängertes Mark. Hintere (obere) Fläche. Kleinhirn und Velum medull. ant. durch einen Medianschnitt gespalten und auseinandergezogen. \* Höckerchen, welches einem Knie der unter der Oberfläche verlaufenden Wurzel des N. facialis entspricht.
- Fig. 4. Frontalschnitt des Kleinhirns und verlängerten Marks am hintern Rande des Ponticulus. Vorderer Abschnitt. \*\* Plexus choroideus lateralis des vierten Ventrikels.

---

<i>Ac</i>	Ala cinerea. <i>Ac'</i> der unbeständige Accessoriuskern Stilling's.	<i>Lc</i>	Locus coeruleus.
<i>Cl</i>	Clava.	<i>Nc<sup>1</sup></i>	Nerv. cervic. I ant., vordere Wurzel. <i>Nc<sup>11</sup></i> Desselben hintere Wurzel.
<i>Cq</i>	Corpus quadrigeminum.	<i>O</i>	Olive.
<i>D</i>	Decussatio pyramidum.	<i>Ob</i>	Obex.
<i>F</i>	Flocculus.	<i>P</i>	Pons.
<i>Fba</i>	Fibrae arciformes.	<i>Po</i>	Ponticulus.
<i>Fc</i>	Funiculus cuneatus.	<i>Tnc</i>	Taeniola cinerea und Striae medullares.
<i>Fg</i>	Funiculus gracilis.	<i>Vma</i>	Velum medull. ant.
<i>Fma</i>	Fissura mediana ant.	<i>Vmi</i>	Velum medull. inf.
<i>Fo</i>	Funiculus olivaris.	<i>Vmp</i>	Velum medull. post.
<i>Fr</i>	Funiculus restiformis.	<i>VI — XII</i>	Wurzel des 6ten bis 12ten Hirnnerven.
<i>Fpy</i>	Funiculus pyramid.		
<i>Fva</i>	Fovea ant.		



# Medulla oblongata.

Fig. 1.

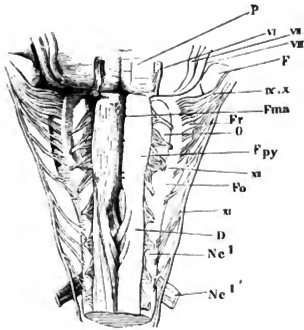


Fig. 2.

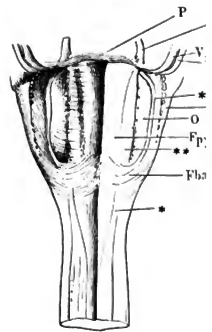


Fig. 3.

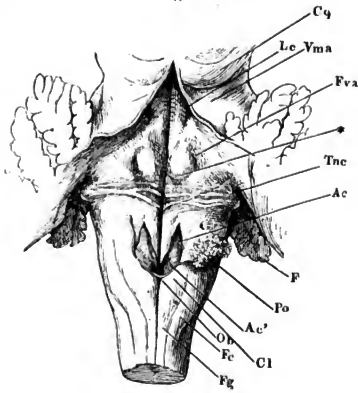
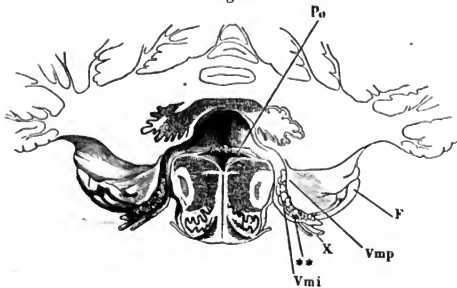


Fig. 4.



- Fig. 1. Horizontal- (Quer-) Schnitt an der Grenze des verlängerten Rückenmarks.  
Kalipräparat, bei durchfallendem Licht.
- Fig. 2. Querschnitt des verlängerten Marks durch den Anfang der Pyramidenkreuzung.
- Fig. 3. Desgleichen durch die Pyramidenkreuzung in der Gegend der untern Hypoglossuswurzeln.

<i>Cc</i>	Canalis centralis.	<i>gc</i>	Substantia gelatinosa centr.
<i>Cga</i>	Columna grisea ant.	<i>Nc</i>	Nucleus funiculi cuneati.
<i>Cgp</i>	Columna grisea post.	<i>Ng</i>	Nucleus funiculi gracilis.
<i>Fa</i>	Funiculus ant. <i>Fa'</i> Vorderstrangsrest.	<i>Pr</i>	Processus reticularis.
<i>Fc</i>	Funiculus cuneatus.	<i>I</i>	Vordere Wurzel des 1ten Cervicalnerven.
<i>Fg</i>	Funiculus gracilis.	<i>XI, XII</i>	Wurzeln des 11ten und 12ten Hirnnerven.
<i>Fpy</i>	Funiculus pyramidalis.	*	Gefäßdurchschnitt.
<i>g</i>	Gelatinöse Rinde der Hintersäule.		

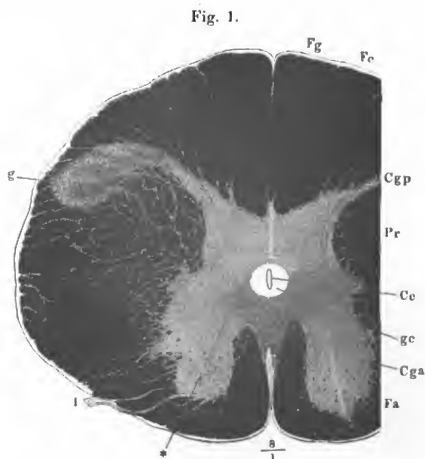


Fig. 2.

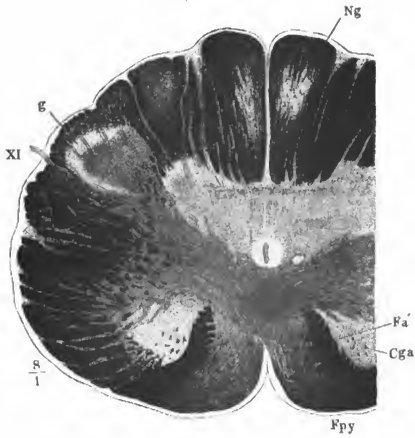


Fig. 3.

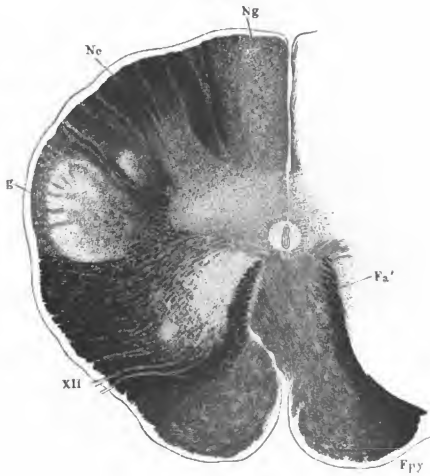


Fig. 1. Querschnitt des verlängerten Marks durch die untere Spitze des Olivenkerns. Kalipräparat.

Fig. 2. Desgleichen. Durch die Mitte des Olivenkerns.

- 
- Fa'* Vorderstrangsrest.  
*Fba* Fibrae arciformes.  
*Fcl* Funiculus cuneat. later.  
*Fcm* Funiculus cuneat. medial.  
*Fg* Funiculus gracilis.  
*Fpy* Funiculus pyramid.  
*Fr* Funiculus restiformis.  
*Na* Nucleus arciformis.  
*Ngl* Nucleus glosso-pharyngei.  
*Nh* Nucleus hypoglossi.  
*No* Nucleus olivaris.  
*Noa* Nucleus olivaris accessor.  
*Np* Nucleus pyramid.  
*Nv* Nucleus vagi.  
*Po* Ponticulus.  
*R* Raphe.  
*IX, XII* Wurzeln des 9ten u. 12ten Hirnnerven.  
 \* Querdurchschnittene Blutgefäße.  
 \*\* Längsdurchschnittene Blutgefäße.  
 † Querschnitt eines Stranges starker Nervenfasern (nach Clarke Fortsetzung der Proc. reticulares des Rückenmarks).

Fig. 1.

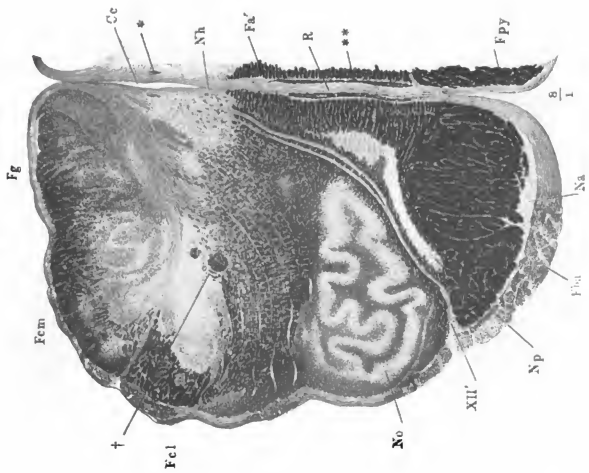
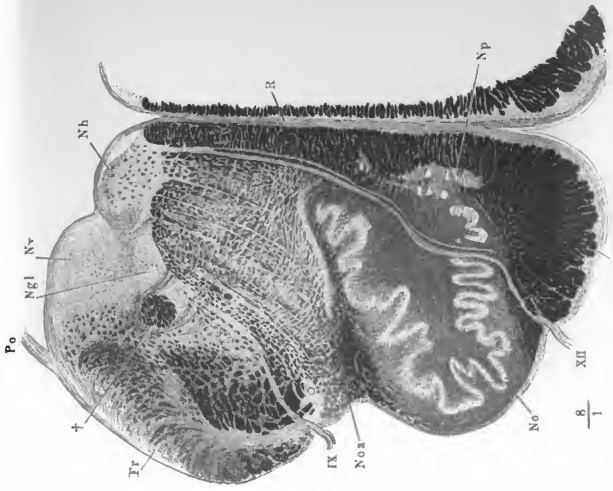


Fig. 2.



- Fig. 1. Querschnitt des Brückentheils des verlängerten Marks hinter der grössten Breite des 4ten Ventrikels.
- Fig. 2. Desgleichen vor derselben.
- Fig. 3. Oberer Theil des nämlichen Präparats, vergrössert.
- Fig. 4. Querschnitt des Brückentheils des verlängerten Marks durch die Wurzel des N. trigeminus.
- Fig. 5. Oberer Theil des nämlichen Präparats, vergrössert.
- Fig. 6. Verlauf der Wurzeln des N. trigeminus durch den Brückentheil des verlängerten Marks, durch einen schrägen Schnitt entblöst.

- 
- Ccb* Crus cerebri.
- Ccq* Crus cerebelli ad c. quadrigem.
- Cq* Corpus quadrigem.
- Fpi* Fasciculus pontis inf.
- Fps* Fasciculus pontis sup.
- Fpy* Funiculus pyramid.
- L* Lemniscus.
- Lc* Locus coeruleus.
- P* Pons.
- Pc* Pedunculus cerebelli.
- R* Raphe.
- Vma* Velum medullare ant.
- IV'* Wurzel des N. trochlearis.
- V* N. trigeminus. *V*<sup>1</sup> sensible, *V*<sup>2</sup> motor. Wurzel desselben.
- VI'* Wurzel des N. abducens.
- VII* N. facialis. *VII'* Wurzel desselben.
- VIII* N. acusticus.
- \* Querschnitte stärkerer Faserbündel aus der obern Fläche der reticulären Substanz.
- 1 Feinkörnige, 2 Körnerschicht, 3 Nervenfaserschicht eines Randwulstes der Lingula. 4 Gelatinöse Substanz an der untern Fläche des Velum medull.

Fig. 1.

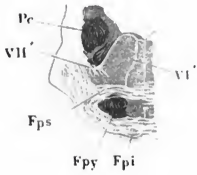


Fig. 2.

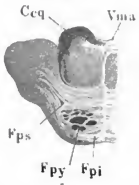


Fig. 6.

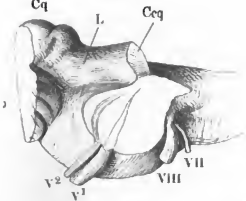


Fig. 4.



Fig. 3.

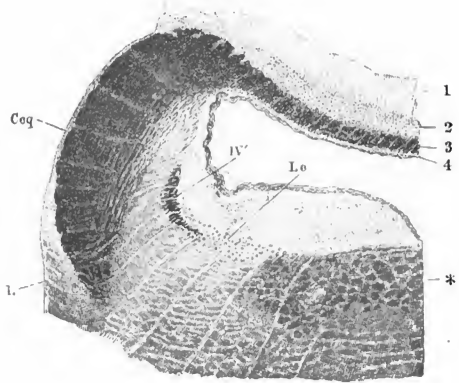
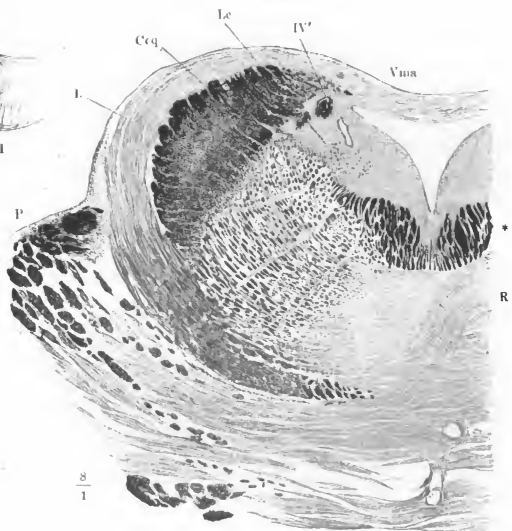


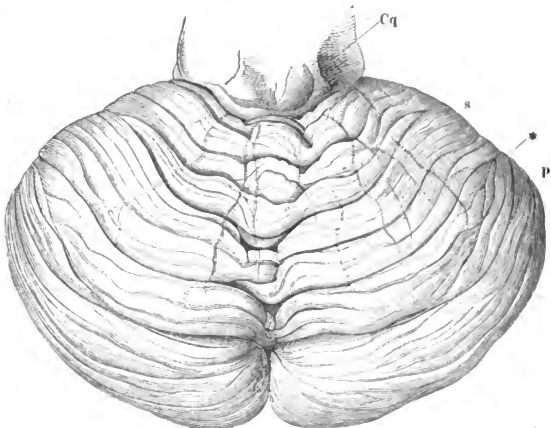
Fig. 5.



- Fig. 1. Kleinhirn, obere Fläche. \* Die den obern und hintern Lappen scheidende Furche.
- Fig. 2. Dasselbe, hinterer Rand und hinterer Theil der untern Fläche.
- Fig. 3. Dasselbe, vom hintern Rande, die Hemisphären auseinandergezogen, um den hintern Wurm sichtbar zu machen. \* Eine der tiefern Spalten geöffnet, um die von Einem Lappen zum andern sich hinüberschlagenden Randwülste zu zeigen.
- Fig. 4. Kleinhirn vom hintern Rande, mit auseinandergezogenen Hemisphären. Nebenpyramide.
- Fig. 5. Obere Fläche des verlängerten Marks und untere Fläche des Kleinhirns, durch Auseinanderziehen beider sichtbar gemacht. \* Seitenflügel der Uvula.

<i>Cl</i>	Clava.	<i>U</i>	Uvula.
<i>Cq</i>	Corpus quadrigem.	<i>Vmi</i>	Velum medullare inf.
<i>F</i>	Flocke. <i>F'</i> Nebenflocke.	<i>Vmp</i>	Velum medullare post.
<i>i</i>	Lobus inf.	<i>Vp</i>	Vermis post. ( <i>Tuber valvulae ant.</i> <i>Vp'</i> unbeständige, die oberen Abtheilungen der hintern Lappen verbindende Lamelle ( <i>Folium cacuminis</i> Reil).
<i>lj</i>	Incisura jugularis.	<i>Vs</i>	Vermis sup.
<i>N</i>	Nodulus.	<i>VIII</i>	N. acust.
<i>p</i>	Lobus post.		
<i>Py</i>	Pyramide. <i>Py'</i> Nebenpyramide.		
<i>s</i>	Lobus sup.		
<i>To</i>	Tonsille. <i>To</i> † Schnittfläche der abgelösten Tonsille.		

Fig. 1.





# Kleinhirn.

Fig. 2.

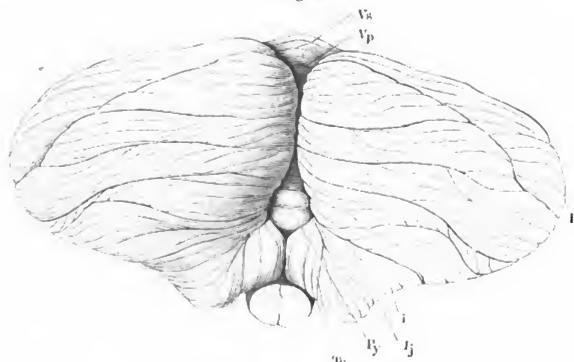


Fig. 3.

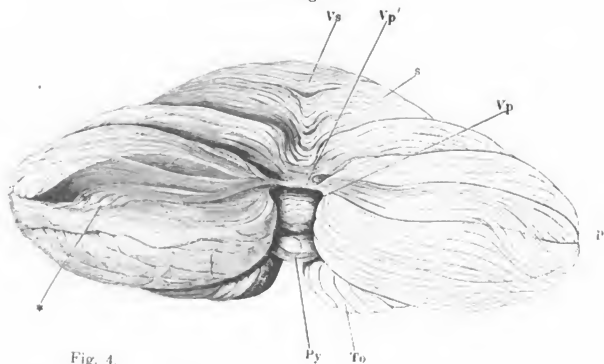


Fig. 4.

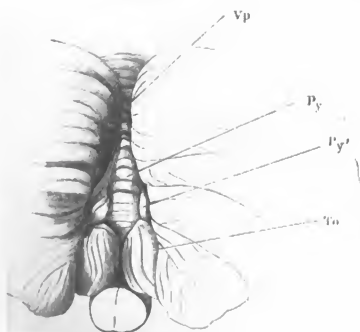
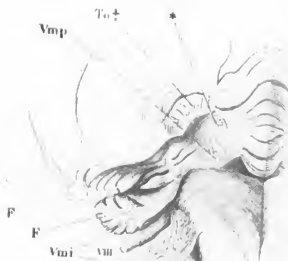


Fig. 5.



- Fig. 1. Medianschnitt des Kleinhirns.  
 Fig. 2. Vorderer Theil der unteren Fläche des Kleinhirns, welcher mittelst eines Schnitts durch das Velum medull. antic., die Crura cerebelli ad corpora quadrigem. und ad pontem isolirt ist.  
 Fig. 3. Dasselbe Präparat, links ist der untere Lappen und ein Theil des hintern. rechts die Tonsille entfernt.  
 Fig. 4. Frontalschnitt durch das Velum medull. ant. und die Brücke. Hinterer Abschnitt. Der obere Wurm und Lappen von vornher abgetragen um die Lingula zu zeigen.

<i>Ccp</i>	Crus cerebelli ad pontem.	<i>s</i>	Lobus sup. <i>s'</i> Die an der untern Fläche desselben versteckten kürzeren Randwülste.
<i>Ccq</i>	Crus cerebelli ad corp. quadrig.	<i>To</i>	Tonsille. <i>To</i> † Rissfläche, nach Entfernung derselben.
<i>F</i>	Flocke. <i>F'</i> Nebenflocke. <i>F</i> † Schnittfläche des Stiels der Flocke.	<i>U</i>	Uvula.
<i>F'lg</i>	Frenulum lingulae.	<i>Vma</i>	Velum medull. ant.
<i>i</i>	Lobus inf.	<i>Vmp</i>	Velum medull. post.
<i>Lg</i>	Lingula.	<i>Vp</i>	Vermis post.
<i>Lq</i>	Lamina quadrigemina.	<i>Vs</i>	Vermis sup.
<i>N</i>	Nodulus.		
<i>p</i>	Lobus post.		
<i>Py</i>	Pyramis.		

Fig. 1.

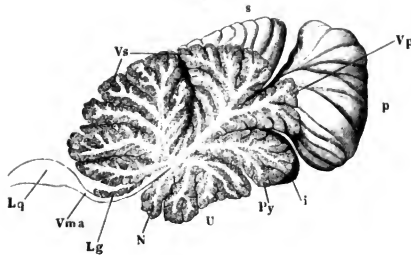


Fig. 2.

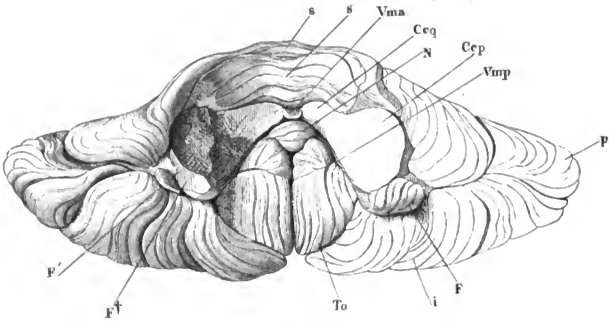


Fig. 3.

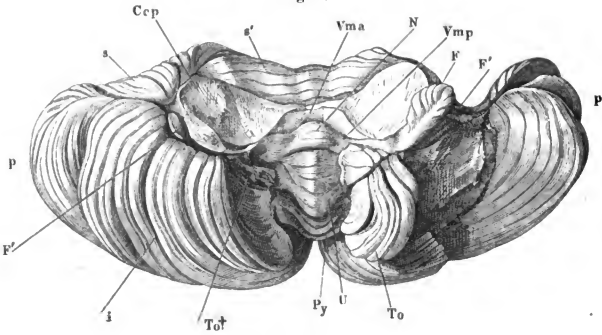
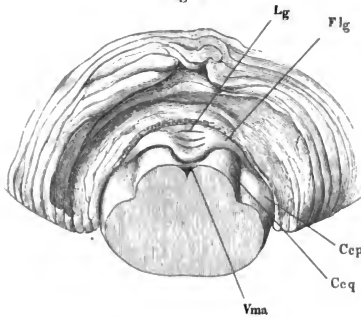


Fig. 4.



- Fig. 1. Horizontalschnitt durch das Kleinhirn und den vorderen Theil des Bodens des vierten Ventrikels.
- Fig. 2. Horizontalschnitt des Kleinhirns durch das Crus cerebelli ad corpus quadrig.
- Fig. 3. Markkern des Kleinhirns nach Ablösung der Randwülste, von hinten.

---

<i>Cep</i>	Crus cerebelli ad pontem.
<i>Ccq</i>	Crus cerebelli ad corp. quadrigem.
<i>Cd</i>	Corpus dentatum cerebelli.
<i>F</i>	Flocke.
<i>Fva</i>	Fovea ant.
<i>i</i>	Lob. inf.
<i>Lc</i>	Locus coeruleus.
<i>N</i>	Nodulus.
<i>P</i>	Pons.
<i>Py</i>	Pyramis.
<i>s</i>	Lobus sup.
<i>To</i>	Tonsille.
<i>Vma</i>	Velum medull. ant.

Fig. 1.

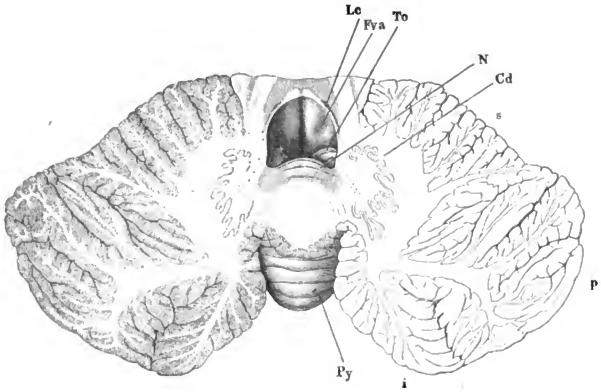


Fig. 2.

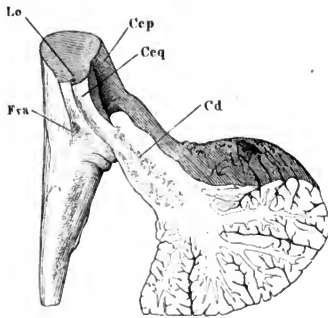
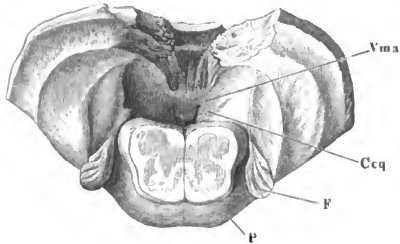


Fig. 3.



- Fig. 1. Frontalschnitt des Kleinhirns und des verlängerten Marks hinter dem Eintritt der Pedunculi cerebelli.
- Fig. 2. Unterer Theil eines frontalen Durchschnitts derselben Gegend, an welchem die Uvula von den Tonsillen bedeckt ist. Die untere Aushöhlung enthielt den Querschnitt des verlängerten Marks.
- Fig. 3. Frontalschnitt des Kleinhirns und verlängerten Marks, 8 mm. hinter der Brücke. Hinterer Abschnitt.
- Fig. 4. Frontalschnitt des Kleinhirns durch den hintern Rand der Brücke.
- Fig. 5. Frontalschnitt des Kleinhirns, des Velum med. ant. und der Brücke.

<i>Ccp</i>	Crus cerebelli ad pontem.	<i>To</i>	Tonsille.
<i>Ccq</i>	Crus cerebelli ad corp. quadrigem.	<i>U</i>	Uvula.
<i>F</i>	Flocke.	<i>Vma</i>	Velum medull. ant.
<i>i</i>	Lobus inf.	<i>Vq</i>	Ventric. quartus.
<i>Lc</i>	Locus coeruleus.	<i>VII, VIII,</i>	7ter und 8ter Hirnnerve.
<i>N</i>	Nodulus.	*	Seitenwand des 4ten Ventrikels.
<i>p</i>	Lobus post.	**	Plexus choroid. lat. ventriculi quarti.
<i>s</i>	Lobus sup.		

Fig. 1.

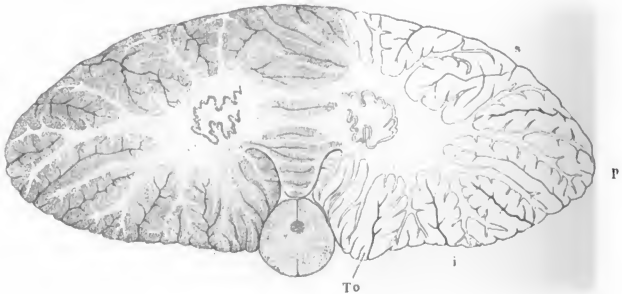


Fig. 2.

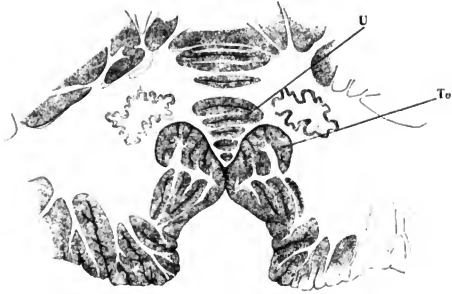


Fig. 3.

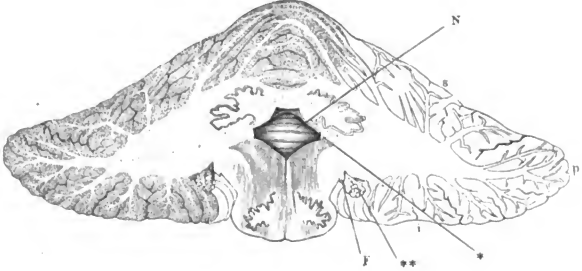


Fig. 5.

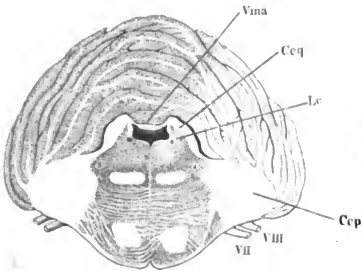
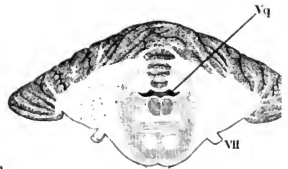


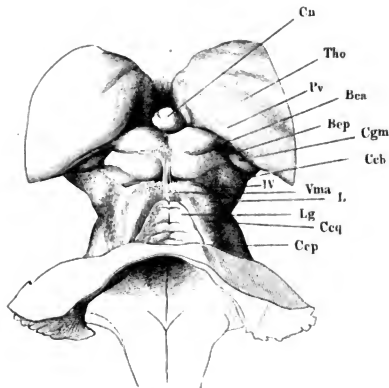
Fig. 4.



- Fig. 1. Region der Vierhügel von oben, das Kleinhirn an dessen Markkern abgeschnitten.
- Fig. 2. Brücke. Grosshirnschenkel und Vierhügelplatte im Profil, die frontale Durchschnittsfläche der Grosshirnschenkel etwas nach links gewandt.
- Fig. 3. Grosshirnganglien, von oben. Das corpus callosum vom Knie an und die Hemisphären im Niveau des C. callosum abgetragen.
- Fig. 4. Successive Frontalschnitte der Vierhügel und des Aquaeductus, *a* am Eingang des Aquaeducts, *b* unter dem hintern, *c* unter dem vordern Vierhügelpaar.

<i>A</i>	Aqueductus ( <i>A. Sylvii ant.</i> )	<i>L</i>	Lemniscus.
<i>Bca</i>	Brachium conjunct. ant.	<i>Lg</i>	Lingula.
<i>Bcp</i>	Brachium conjunct. post.	<i>Pcn</i>	Pedunculus conarii.
<i>Ccb</i>	Crus cerebri.	<i>Pe</i>	Pulvinar.
<i>Ccl<sup>2</sup></i>	Corpus callos. Knie.	<i>Sb</i>	Sulcus basilaris.
<i>Ccp</i>	Crus cerebelli ad pont.	<i>St</i>	Stria terminalis.
<i>Ccq</i>	Crus cerebelli ad corp. quadrig.	<i>Tho</i>	Thalamus opt.
<i>Cf</i>	Columna fornicis.	<i>Tp</i>	Taenia pontis.
<i>Cgm</i>	Corpus geniculatum mediale.	<i>Ts</i>	Tuberc. sup. (thalami).
<i>Cn</i>	Conarium.	<i>Tto</i>	Taenia thalami opt.
<i>Com</i>	Commissura media.	<i>Vma</i>	Velum medull. ant.
<i>Cop</i>	Commissura post.	<i>Vsl</i>	Ventric. septi lucidi.
<i>Cq</i>	Corpus quadrigem.	<i>IV, I, 4ter, 5ter</i>	Hirnerve.
<i>Cs</i>	Corpus striatum.		

Fig. 1.





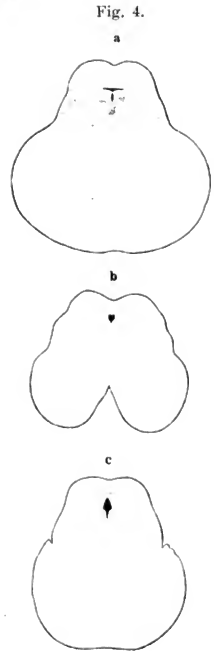
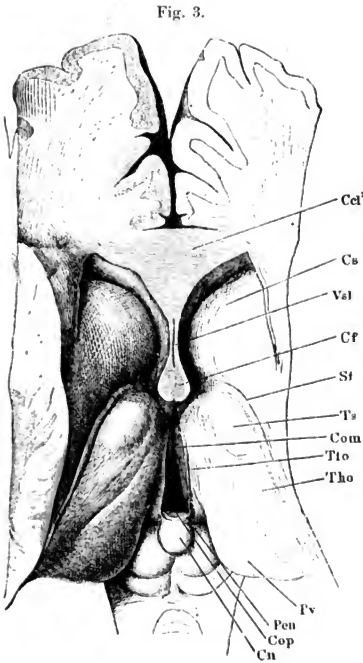
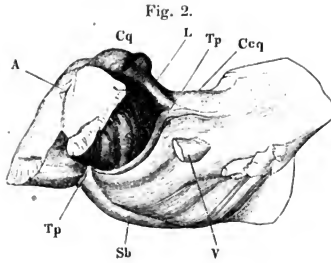


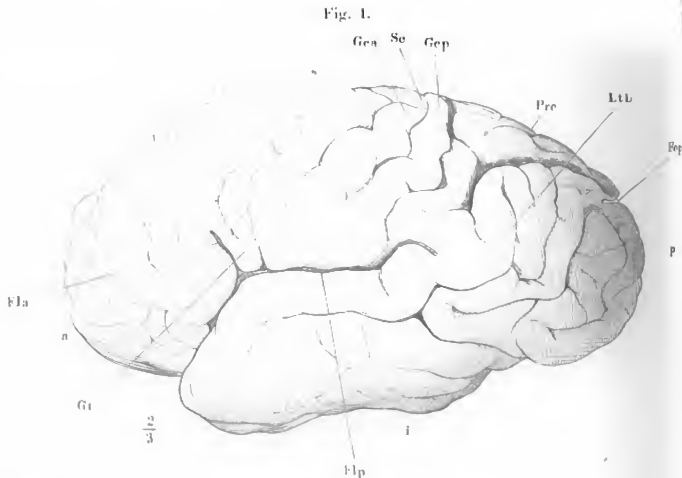
Fig. 1. Linke Grosshirnhemisphäre, Profil.

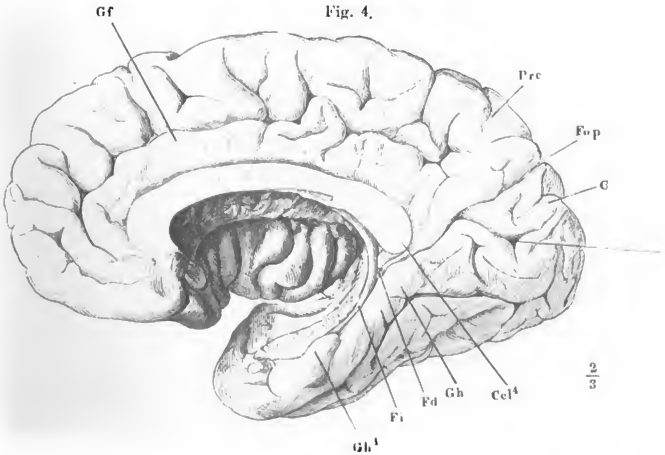
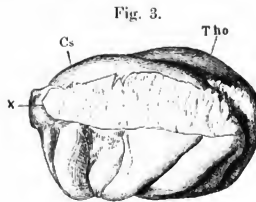
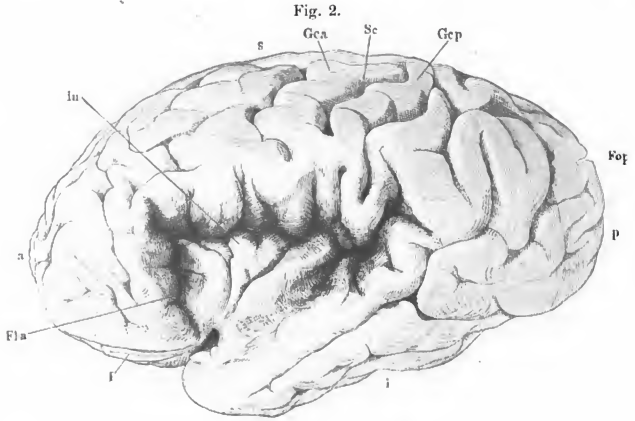
Fig. 2. Dieselbe, mit aufgehobenen Randwülsten des ringförmigen Lappens, um die Insel zu zeigen.

Fig. 3. Insel, nach Abtrennung des ringförmigen Lappens. \* Trennungsfläche desselben.

Fig. 4. Rechter ringförmiger Lappen von der medialen Fläche.

<i>a</i>	Lobus ant.	<i>Gf</i>	Gyrus fornicatus.
<i>c</i>	Cuneus.	<i>Gh</i>	Gyrus hippocampi. <i>Gh'</i> Haken desselben.
<i>Ccl</i> <sup>4</sup>	Splenium des C. callosum.	<i>Gt</i>	Gyrus transitivus.
<i>Cs</i>	Corpus striatum.	<i>i</i>	Lobus inf.
<i>Fd</i>	Fascia dentata.	<i>In</i>	Insula.
<i>Fi</i>	Fimbria.	<i>Ltb</i>	Lobulus tubercis.
<i>Fla</i>	Fissura lateralis ant.	<i>p</i>	Lobus post.
<i>Flp</i>	Fissura lateralis post. ( <i>Fossa Sylvii</i> aut.)	<i>Pre</i>	Præcuneus.
<i>Foh</i>	Fissura occip. horizontalis.	<i>s</i>	Lob. sup.
<i>Fop</i>	Fissura occip. perpendicularis.	<i>Sc</i>	Sulcus centralis.
<i>Gca</i>	Gyrus centralis ant.	<i>Tho</i>	Thalamus opt.
<i>Gcp</i>	Gyrus centralis post.	<i>I</i>	N. opticus.





$\frac{2}{3}$

Fig. 1. Horizontalschnitt der Grosshirnhemisphäre im Niveau des C. Callosum, untere Schnittfläche.

Fig. 2. Desgl. Durch das Knie des C. callosum und das Septum lucidum.

Fig. 3. Desgl., etwas tiefer.

Fig. 4. Desgl., dicht über der untern Fläche des Gehirns.

<i>A</i>	Aqueductus.	<i>Nty</i>	Nucleus tegmenti.
<i>B'</i>	Ausstrahlung der Basis des Grosshirnschenkels.	<i>Raf</i>	Radix ascend. fornicis.
<i>Ccl</i>	Corp. callos. <i>Ccl''</i> Knie desselben.	<i>Rdf</i>	Radix descendens fornicis.
<i>Cgl</i>	Corp. geniculat. later.	<i>Sl</i>	Septum lucidum.
<i>Cls</i>	Clastrum.	<i>Slm</i>	Striae longitudin. mediales des C. callosum.
<i>Co</i>	Chisma opt.	<i>Su</i>	Substantia nigra der Hirnschenkel.
<i>Coa'</i>	Commissura ant. Längschn.	<i>Spa</i>	Substantia perforata ant.
<i>Cs</i>	Corp. striat.	<i>St</i>	Stria terminalis.
<i>Cp</i>	Kapsel.	<i>Tho</i>	Thalamus opt.
<i>In</i>	Insel.	<i>Tr'</i>	Tractus opt.
<i>Lt</i>	Ligam. tectum.	*	Weisse, das C. striatum und den Nucleus lentiformis trennende Fasermasse.
<i>Lq</i>	Lamina quadrigem.		
<i>Nl</i>	Nucleus lentiformis.		

Fig. 1.

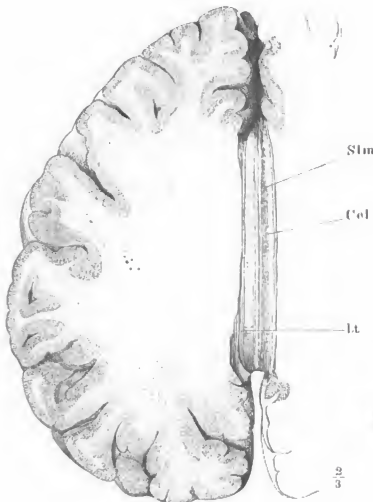


Fig. 2.



Fig. 3.

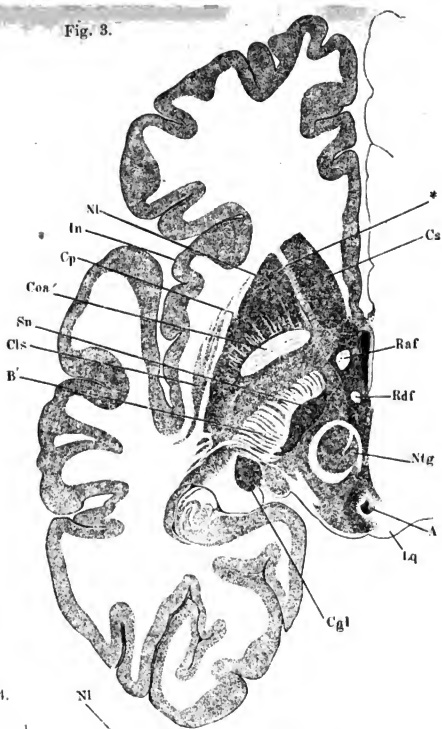
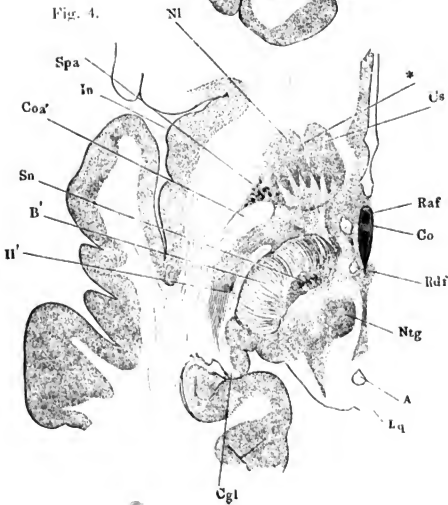


Fig. 4.



- Fig. 1. Sagittalschnitt der rechten Hemisphäre durch die laterale Spitze des C. geniculat. mediale. Laterale Schnittfläche.
- Fig. 2. Sagittalschnitt derselben Hemisphäre, näher dem Seiterande.
- Fig. 3. Verticaler Durchschnitt des Gehirns, parallel dem Faserverlauf des rechten Grosshirnschenkels. 1 linke, 2 rechte Hemisphäre. \* Medianspalte.

<i>Ceb</i>	Crus cerebri.	<i>Al</i>	Nucleus lentiformis.
<i>Cr1<sup>3</sup></i>	Corpus callos. Körper.	<i>Ntg</i>	Nucleus tegmenti.
<i>Cgm</i>	Corpus geniculat. mediale.	<i>Sn</i>	Substantia nigra.
<i>Clas</i>	Clastrum.	<i>Spa</i>	Substantia perforata ant.
<i>Ca</i>	Canarium.	<i>Sz</i>	Stratum zonale des Thalamus.
<i>Coa'</i>	Commissura ant. Querschnitt.	<i>Tbo</i>	Tuber olfact.
<i>Crf</i>	Crus fornicis.	<i>Tho</i>	Thalamus opt.
<i>Cs</i>	Corpus striatum.	<i>lI''</i>	Laterale Wand des hintern Horns des Seitenventrikels. *
<i>Fpi</i>	Fasciculus pontis inf.	<i>lI'</i>	Tractus opt.
<i>Fps</i>	Fasciculus pontis sup.		
<i>Lq</i>	Lamina quadrigem.		

Fig. 1.

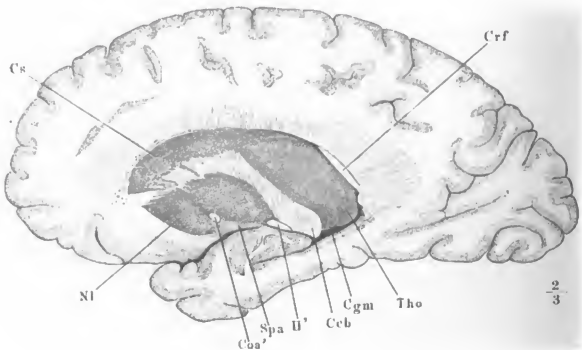


Fig. 2.

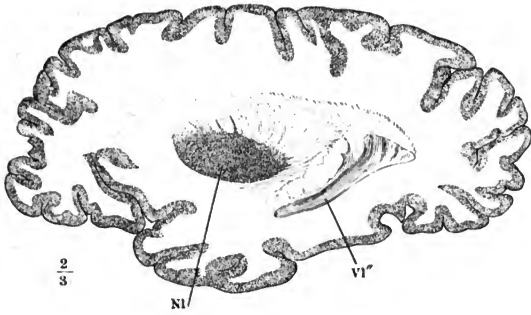
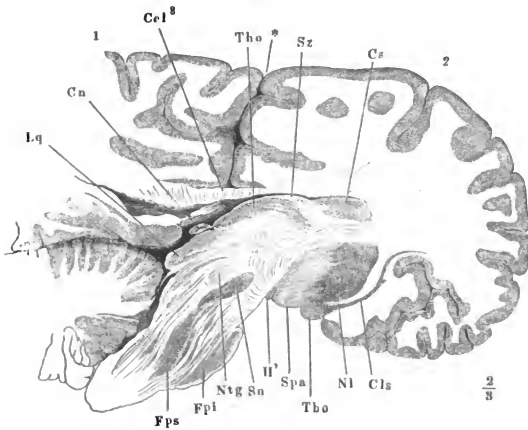


Fig. 3.



3

- Fig. 1. Frontalschnitt des Grosshirns durch das Tuber olfact., hintere Fläche des vordern Abschnitts.
- Fig. 2. Desgl. durch das Tuber cinereum dicht vor dem Stiel der Hypophyse.
- Fig. 3. Ein Stück des Grosshirns, mittelst eines frontalen Schnitts durch die Commissura media und eines sagittalen Schnitts durch den rechten Hippocampus abgetrennt, um den Zusammenhang der Amygdala mit der grauen Rinde der Randwülste zu zeigen.

<i>Am</i>	Amygdala.	<i>Ls</i>	Lamina septi lucidi.
<i>B'</i>	Ausstrahlung der Basis der Hirnschenkel.	<i>Nl</i>	Nucleus lentiformis.
<i>Cba</i>	Commissura basos alba.	<i>Pcc</i>	Pedunculus corp. callosi.
<i>Ccl<sup>3</sup></i>	Corp. callosum.	<i>Sra</i>	Substantia reticularis alba.
<i>Cf</i>	Columna fornicis.	<i>St</i>	Stria terminalis.
<i>Cls</i>	Clastrum.	<i>Tc</i>	Tuber cinereum.
<i>Coa</i>	Commissura ant. <i>Coa'</i> Durchschnitt derselben in der Hemisphäre.	<i>Vl'</i>	Vorderes Horn des Ventriculus lateralis.
<i>Com</i>	Commissura media.	<i>Vsl</i>	Ventriculus septi lucidi.
<i>Cp</i>	Capula.	<i>I</i>	N. olfactorius.
<i>Cs</i>	Corpus striat.	<i>H'</i>	Tractus opt.
<i>Hp</i>	Hippocampus ( <i>Pes hippocampi major</i> aut.)	*	Fältchen, welches das vordere Ende der Stria terminalis mit der Columna fornicis verbindet.
<i>In</i>	Insula.		

Fig. 3.

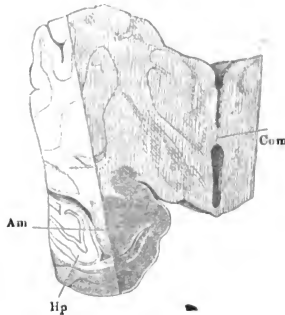




Fig. 1.

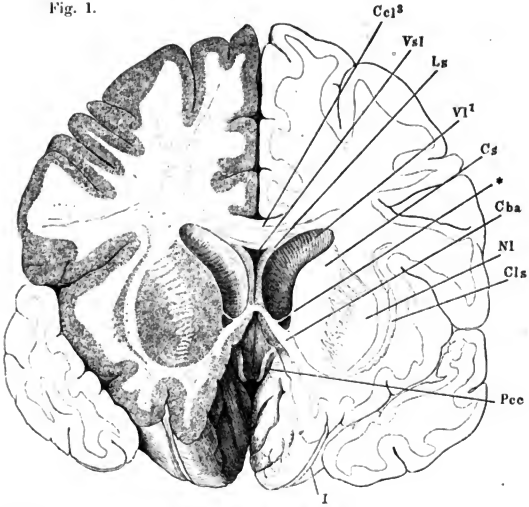
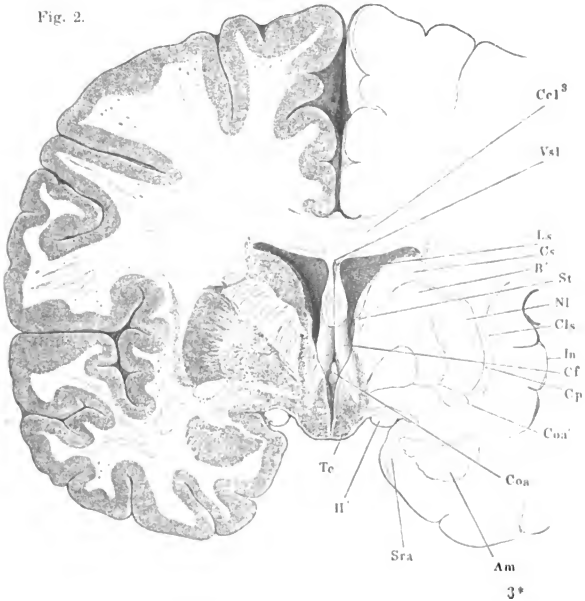


Fig. 2.



- Fig. 1. Frontalschnitt des Grosshirns hinter den Corp. candicantia. Hintere Fläche des vordern Abschnitts.
- Fig. 2. Desgl. vor der Austrittsstelle des N. trigeminus.
- Fig. 3. Frontalschnitt des hinteren Lappens der rechten Hemisphäre, hintere Schnittfläche mit dem Blick in das hintere Horn des Seitenventrikels. Der dunklere Streifen über demselben entspricht einer Lage querdurchschnittener Fasern.

<i>B</i>	Basis des Hirnschenkels.	<i>Ntg</i>	Nucleus tegmenti.
<i>Bb</i>	Bulbus cornu post.	<i>Ph</i>	Pedunculus hypophyseos.
<i>Ca v</i>	Calcar avis.	<i>Rdf</i>	Radix descendens fornicis.
<i>Cca</i>	Corpus candicans.	<i>SM</i>	Sulcus Monroi.
<i>Ccl</i> <sup>3</sup>	Corpus callos.	<i>Sn</i>	Substantia nigra.
<i>Ccp</i>	Crus cerebelli ad pontem.	<i>T</i>	Tegmentum.
<i>Cgl</i>	Corpus geniculat. laterale.	<i>Tc</i>	Tuber cinereum.
<i>Cls</i>	Clastrum.	<i>Tho</i>	Thalamus opt.
<i>Co</i>	Chiasma opt.	<i>Ts</i>	Tuberc. sup. des Thalamus.
<i>Com</i>	Commissura media.	<i>Vl</i>	Ventriculus lateralis. <i>Vl''</i> dessen unteres Horn.
<i>Cs</i>	Corpus striat.	<i>Vt</i>	Ventriculus tertius.
<i>Fx</i>	Fornix.	*	Markplättchen, welches die Spitze des Hippocampus anheftet.
<i>Hip</i>	Hippocampus.		
<i>In</i>	Insula.		
<i>Nl</i>	Nucleus lentiformis.		

Fig. 3.

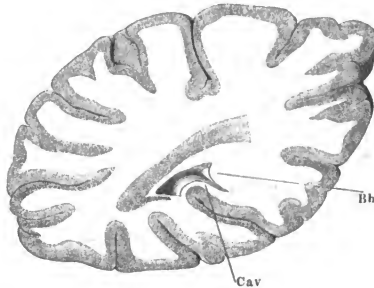


Fig. 1.

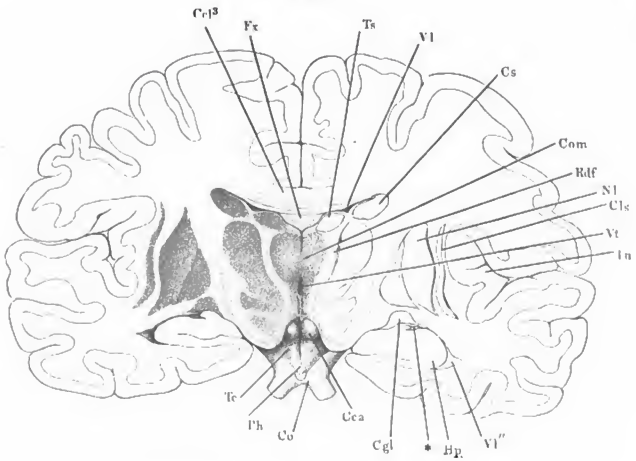
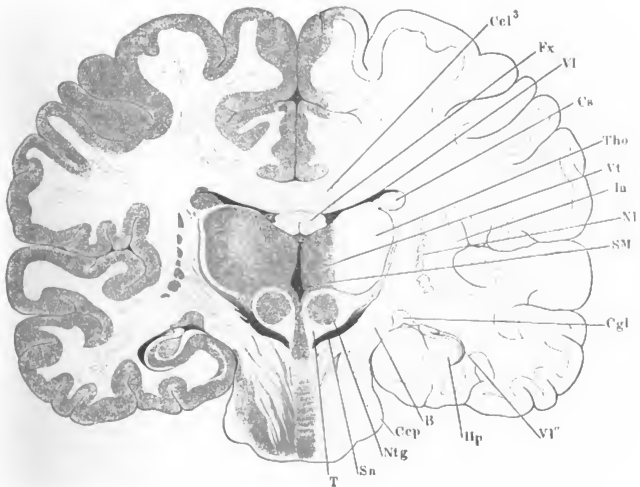


Fig. 2.



- Fig. 1. Stück der rechten Hemisphäre, auf die vordere Spitze gestellt, untere Fläche. † Trennungsfläche der vordern Spitze des untern Lappens.
- Fig. 2. Medianschnitt des Grosshirns, rechte Hälfte um die sagittale Axe mit der Schnittfläche aufwärts gedreht; der Grosshirnschenkel am Eintritt in den Thalamus frontal durchschnitten; Tract. opt. zurückgeschlagen.
- Fig. 3. Stück der rechten Grosshirnhemisphäre mittelst eines Medianschnitts und eines Frontalschnitts durch den vorderen Vierhügel abgetrennt, von der medialen Fläche, mit der vorderen Spitze geneigt und um die verticale Axe rechts gedreht. Der Thalamus opticus mit dem gleichnamigen Tractus und Nerven ist vom Grosshirnschenkel abgetrennt und zurückgeschoben, †† bezeichnen die einander entsprechenden Trennungsflächen, \* die Stelle, wo der Tract. opt. vom medialen Corp. geniculat. abgelöst ist.

---

<i>B</i>	Basis des Grosshirnschenkels.	<i>Cop</i>	Commissura post.
<i>Bca</i>	Brachium conjunct. ant.	<i>Cq<sup>1</sup> Cq<sup>2</sup></i>	hinterer, vorderer Vierhügel.
<i>Bcp</i>	Brachium conjunct. post.	<i>Cs</i>	Corp. striat.
<i>Cca</i>	Corp. caudicans. <i>Cca<sup>1</sup></i> der zu demselben absteigende Schenkel des Fornix, durchschnitten.	<i>L</i>	Lemniscus.
<i>Ccb</i>	Crus cerebri.	<i>Lq</i>	Lamina quadrigem.
<i>Ccl</i>	Corp. callos. <i>Ccb<sup>2</sup></i> Körper, <i>Ccb<sup>4</sup></i> Splenium desselben.	<i>Pr</i>	Pulvinar.
<i>Ccq</i>	Crus cerebelli ad corp. quadrigem.	<i>Sl</i>	Septum lucidum.
<i>Cf</i>	Columna fornicis.	<i>Sn</i>	Substantia nigra.
<i>Cgl</i>	Corpus geniculat. laterale.	<i>Spa</i>	Substantia perforata ant.
<i>Cgm</i>	Corpus geniculat. mediale.	<i>St</i>	Stria terminalis.
<i>Cn</i>	Conarium.	<i>T</i>	Tegumentum.
<i>Co</i>	Chiasma opt.	<i>Tho</i>	Thalamus opt.
<i>Coa</i>	Commissura ant.	<i>Tto</i>	Taenia thalami opt.
<i>Com</i>	Commissura media.	<i>I</i>	N. olfactorius.
		<i>II<sup>1</sup></i>	Tract. opt.
		<i>III</i>	N. oculomotorius.

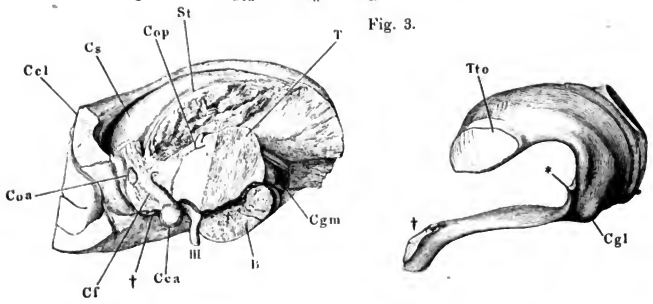
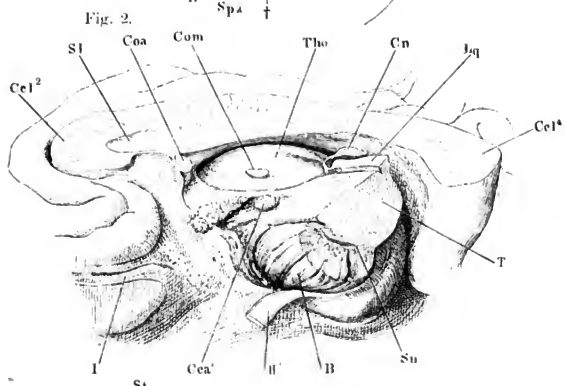
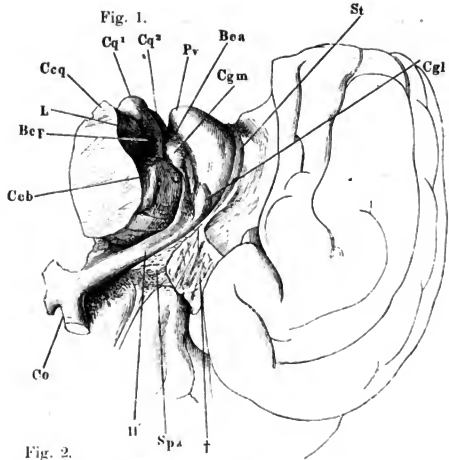


Fig. 1. Seitenventrikel mit dem untern und hintern Horn, durch Abtragung des Balkens geöffnet.

Fig. 2. Hinterer Theil der linken Hemisphäre, mediale Fläche, Septum lucidum entfernt, Grosshirnschenkel dicht am Thalamus abgeschnitten.

Fig. 3. Linke Hemisphäre von innen, um die sagittale Axe aufwärts gedreht. Thalamus ausgeschnitten.

- C* Cuneus.  
*Ca<sup>v</sup>* Calcar avis.  
*Cca* Corp. candicans.  
*Ccb* Crus cerebri.  
*Ccl* Corp. callosum. *Ccl*<sup>2</sup> Knie, *Ccl*<sup>4</sup> Splenium desselben.  
*Cf* Columna fornicis.  
*Cgl* Corpus geniculat. laterale.  
*Coa* Commissura ant.  
*Cq* Corpus quadrigem.  
*Crf* Crus fornicis.  
*Cs* Corpus striat.  
*Fd* Fascia dentata.  
*Fi* Fimbria.  
*Foh* Fissura occipit. horizont.  
*Fop* Fissura occipit. perpendic.  
*Gf* Gyrus fornicatus.  
*Gh* Gyrus hippocampi. *Gh'* Haken desselben.  
*Hp* Hippocampus.  
*Ls* Lamina septi lucidi.  
*Pr<sup>c</sup>* Praecuneus.  
*Ps* Psalterium.  
*Sl* Septum lucidum.  
*Sn* Substantia nigra.  
*St* Stria terminalis.  
*Tap* Tapetum.  
*Tho* Thalamus opt.  
*Ts* Tuberc. sup. des Thalamus.  
*I, II* N. olfactorius und opticus.

Fig. 1.

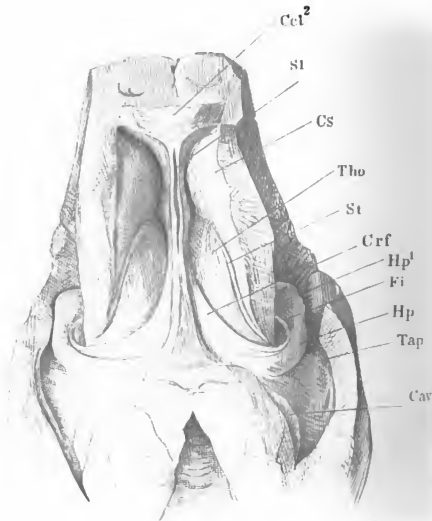


Fig. 2.

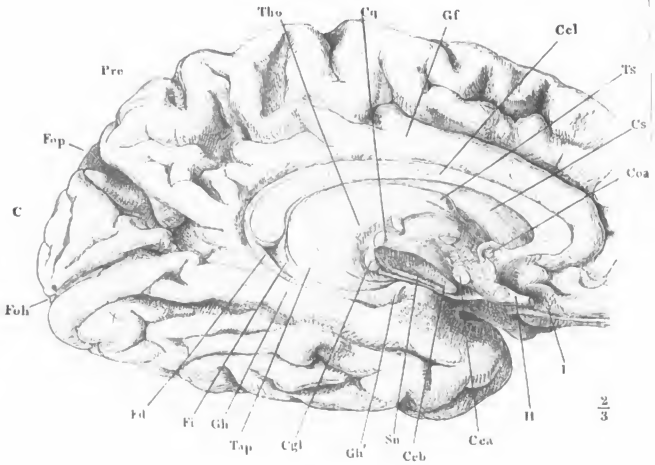
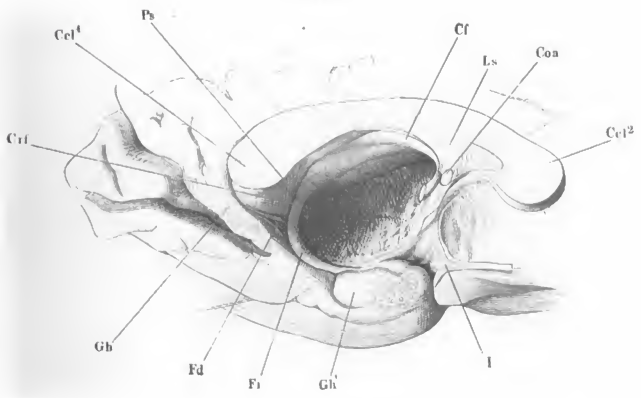


Fig. 3.



- Fig. 1. Frontalschnitt des Gehirns. hintere Schnittfläche, Thalamus rechterseits zum Theil, linkerseits vollständig entfernt.
- Fig. 2. Frontalschnitt des Hippocampus wie in Fig. 1. \* Eminentia collateralis.
- Fig. 3. Unterhorn der linken Hemisphäre, durch einen Horizontalschnitt weit geöffnet.
- Fig. 4. Frontalschnitt der vordern Spitze des Gyrus hippocampi hinter der hakenförmigen Umbiegung desselben. Vordere Schnittfläche.
- Fig. 5. Frontalschnitt der linken Grosshirnhemisphäre durch den Hippocampus, vordere Schnittfläche.

<i>Bb</i>	Bulbus cornu posterioris.	<i>Gh</i>	Gyrus hippocampi. <i>GH'</i> Haken desselben.
<i>Cca</i>	Corp. candicans.	<i>Hp</i>	Hippocampus.
<i>Ccl</i>	Corp. callos. <i>Ccl<sup>3</sup></i> Körper, <i>Ccl<sup>4</sup></i> Splenium desselben.	<i>In</i>	Insula.
<i>Clc</i>	Clastrum.	<i>Nl</i>	Nucleus lentiform.
<i>Crf</i>	Crus fornicis.	<i>Ps</i>	Psalterium.
<i>Ec</i>	Eminentia collateralis.	<i>Tc</i>	Tuber cinereum.
<i>Fd</i>	Fascia dentata.	<i>Vl''</i>	Unteres Horn des Seitenventrikels.
<i>Fi</i>	Fimbria.	<i>H'</i>	Tractus opt.
<i>Gf</i>	Gyrus fornicatus.		

Fig. 1.

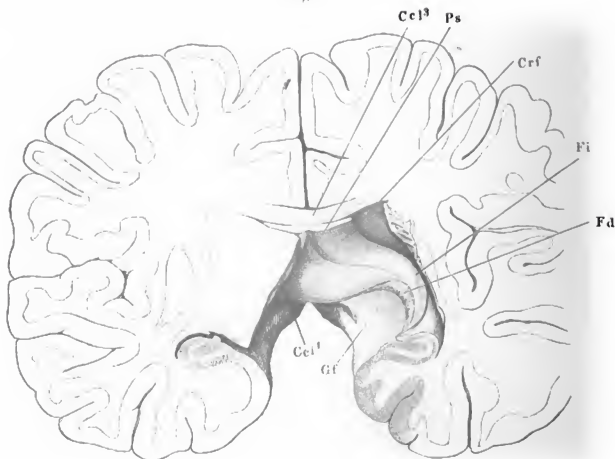




Fig. 2.

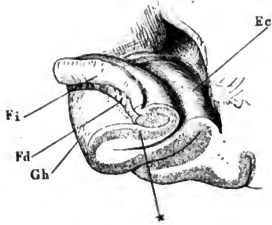


Fig. 3.

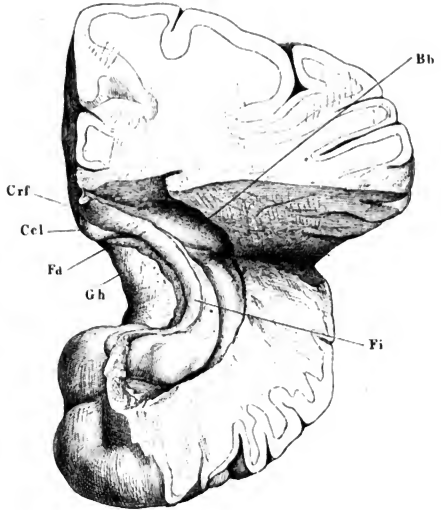


Fig. 4.

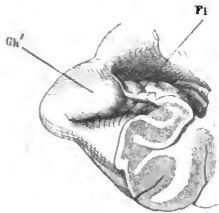
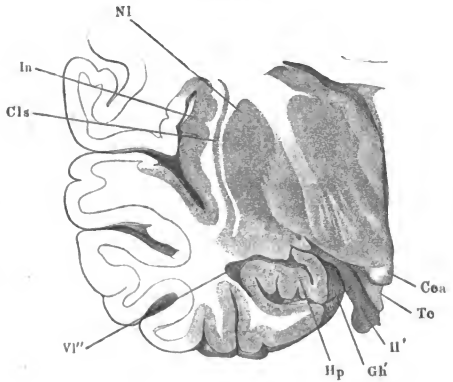


Fig. 5.



- Fig. 1. Sagittalschnitt des Schädels links neben der Medianebene. Von der linken Hälfte des Tentorium ist ein schmaler Saum zurückgeblieben. Das Gehirn entfernt. 1 Stiel der Hypophyse. 2 V. cerebri int. comm. 3 Crista galli. 4 Sinus transversus.
- Fig. 2. Frontalschnitt des Schädels mit dem Gehirn durch den vordern Rand der Brücke. Hintere Schnittfläche. 1 Querschnitt des Sinus sagitt. sup., 2 des Sinus petrosus sup. 3 A. basilaris.
- Fig. 3. Seitenventrikel, durch Abtragen des Balkens geöffnet. Der Plexus choroid. lat. des linken Ventrikels in natürlicher Lage, der des rechten seitwärts umgelegt, um den Rand der Fimbria zu zeigen.

*Ccl*<sup>3</sup> Corp. callos. Knie.  
*Cs* Corp. striat.  
*fc* Falx cerebri.  
*feb* Falx cerebelli.  
*Fi* Fimbria.  
*F.M* Foramen Monroi.

*Pcl* Plexus choroid. lateralis.  
*Sl* Septum lucidum.  
*t* Tentorium.  
*Tho* Thalamus opt.  
*VJ*<sup>3</sup> Hinteres Horn des Seitenventrikels,  
 links geöffnet.

Fig. 1.



Fig. 2.

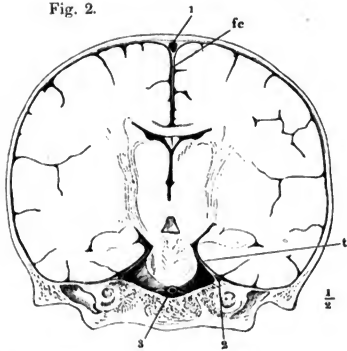


Fig. 3.

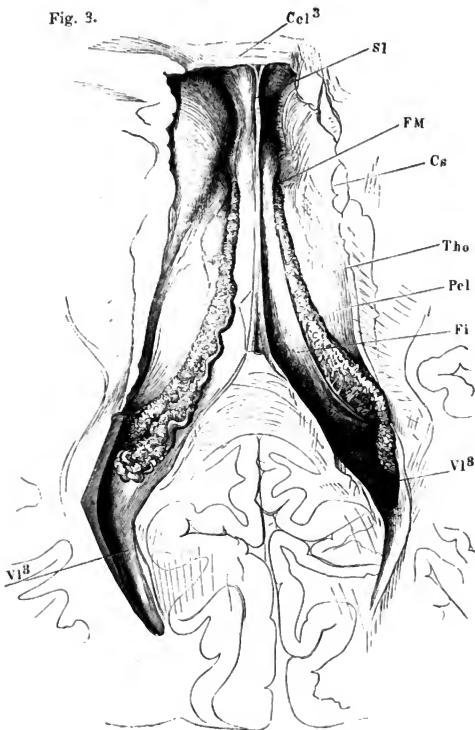


Fig. 1. Dasselbe Präparat wie Figur 3 der Tafel CLXII, nach Entfernung des Fornix mit den Fimbrien und des hinteren Theils der Hemisphären. Die Tela choroidea ist längs dem linken Plexus choroid. lateralis der Länge nach gespalten und nach rechts umgeschlagen, um den linken Plexus choroid. medial. zu zeigen, welcher vorn, gleich dem rechten, durch die Oberfläche durchschimmert. Die linke Hemisphäre schräg abgeschritten und das Unterhorn geöffnet, um den Plexus choroid. lat. zur Klaue des Hippocampus zu verfolgen. \* Die quer durchgeschnittene V. int. comm. \*\* Gefäßhaut der untern Fläche des hinteren Lappens des Grosshirns.

Fig. 2. Hintere Hirnspalte, durch Herabziehen des verlängerten Marks und Aufwärtsschlagen des Kleinhirns geöffnet. Eingang des vierten Ventrikels und Tela choroidea desselben. Linkerseits ist ein Theil des hinteren Lappens entfernt, um das hintere Marksegel von oben zu entblößen. \* Wurzeln der Nn. glossopharyng. und vagus. 1 Art. vertebr. 2 Art. cerebelli inf. post.

- 
- Ccl*<sup>3</sup> Corp. callos. Knie.  
*Cf* Querschnitt der Columna fornicis.  
*Cn* Conarium.  
*Cq* Corp. quadrigem.  
*Cs* Corp. striat.  
*F* Flocke.  
*Hp'* Klaue des Hippocamis.  
*Ob* Obex.  
*p* Lobus post. des Kleinhirns.  
*Pcl* Plexus choroid. lateralis.  
*Pcm* rechter, *Pcm'* linker Plexus choroid. medialis.  
*Py* Pyramis.  
*Tho* Thalamus opt.  
*To* Tonsilla.  
*Vf*<sup>3</sup> Hinteres Horn des Seitenventrikels.  
*Vmp* Velum medull. post.  
*Vsl* Ventriculus septi lucidi.  
*VII, VIII* siebenter, achter Hirnnerve.

Fig. 1.

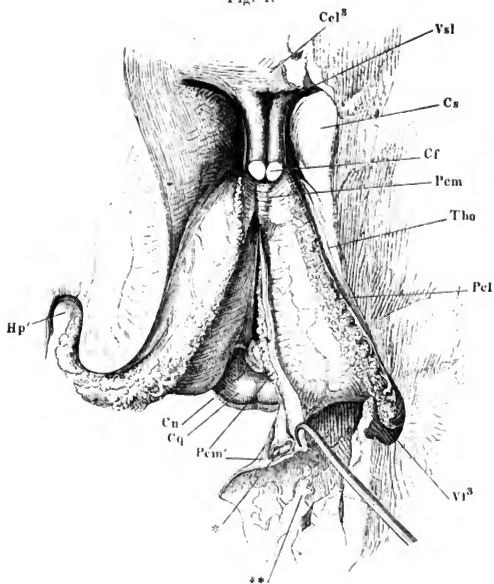


Fig. 2.

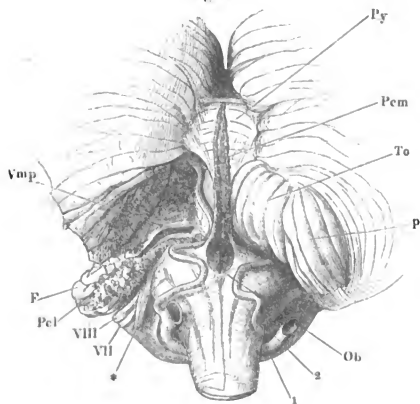


Fig. 1. Gehirn mit dem angrenzenden Theil des Rückenmarks von der untern resp. vordern Fläche. Rechterseits die vordern Rückenmarksnervenwurzeln kurz abgeschnitten und medianwärts umgelegt. Die Hirnnerven mit römischen Ziffern bezeichnet. *ncI* N. cervicalis primus. *VII'* Portio intermedia des siebenten und achten Nerven.

Fig. 2. Verlängertes Mark und Brücke in der Rückenlage. Bezeichnung der Nervenwurzeln wie in Fig. 1. *F* Flocke, *P* Brücke, *Po* Ponticulus, *Vmi* Velum medul inf., \*\* Plexus choroid. lateralis des Kleinhirns.

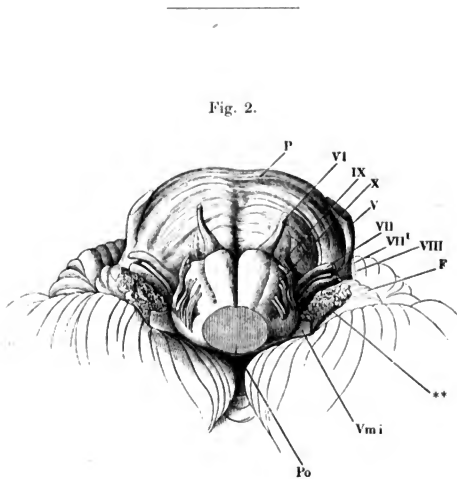


Fig. 1.

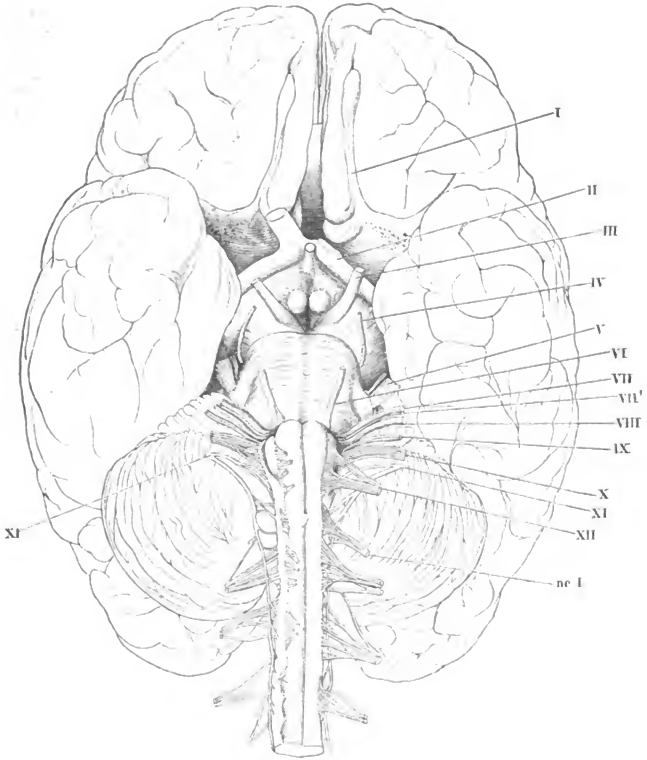
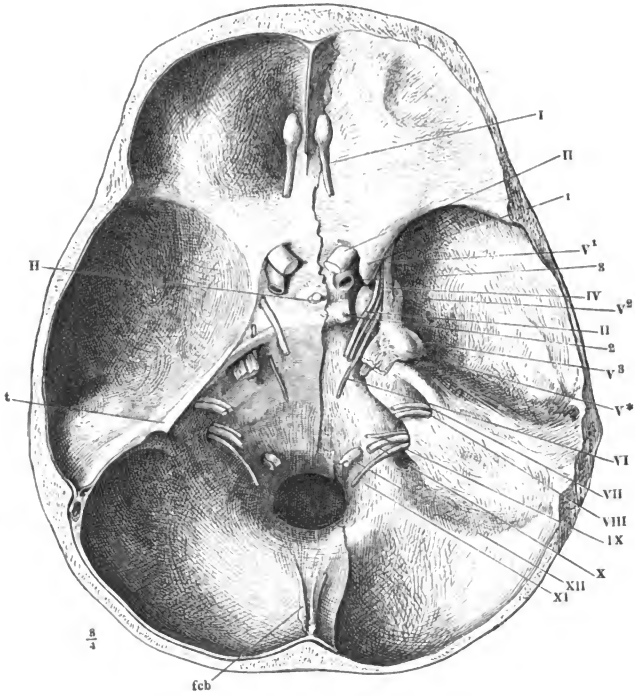


Fig. 1. Schädelbasis von innen mit den an der Austrittsstelle aus dem Gehirn abgeschnittenen Nerven I bis XII. *V\** Ggl. semilunare des N. trigeminus, dessen motorische Wurzel unter der kürzer abgeschnittenen sensibeln hervorsieht. *V<sup>1</sup>, V<sup>2</sup>, V<sup>3</sup>* Erster bis dritter Ast des Trigeminus. Auf der rechten Seite ist die fibröse Hirnhaut entfernt und sind die Nerven unter derselben bis zu den Oeffnungen verfolgt, durch welche sie den Schädel verlassen, die Nerven *III, IV, V<sup>1</sup>* und *VI* über die convexe Krümmung der Carotis. 1 Proc. clinoid. ant. 2 Proc. clinoid. post. 3 Querschnitt der Carotis int. *fc* Falx cerebelli. *H* Stiel der Hypophyse, deren Lage durch eine Vertiefung der fibrösen Haut angedeutet ist. *t* Vordere Spitze des (abgeschnittenen) Tentorium.



Fig. 1.



- Fig. 1. Linke Orbita, von der lateralen Seite geöffnet. Verzweigung der Nn. oculomotorius und abducens. M. rectus lateralis am Bulbus abgeschnitten und abwärts gezogen.
- Fig. 2. Ganglion ciliare. Linker Bulbus, von der lateralen Seite, mit den Muskeln; der M. rect. oculi later. zurückgeschlagen; ein Stück des N. opticus ausgeschnitten, der vordere Theil der äusseren Augenhaut entfernt. 1 C. ciliare. 2 Orbic. ciliaris. 3 Choroidea. 4 Sclera.
- Fig. 3. Nerven der fibrösen Hirnhaut. Schädelbasis mit dem Tentorium (1); Sinus transversus (2) und petros sup. (3) geöffnet. 4 Querschnitt des verlängerten Marks. 5 A. meningea media.

*Gcb* Radix brevis ganglii ciliaris.  
*gcs* Radix sympath. ganglii ciliaris.  
*la* N. lacrymalis.  
*Lp* M. levator palpebrae.  
*nc* N. nasociliaris.  
*Oc* M. obliquus oculi inf.  
*Ri* M. rectus oculi inf.  
*ri* N. recurrens inframaxillaris.  
*Rl* M. rectus oculi lateralis.

*Rm* M. rectus oculi medialis.  
*ro* N. recurrens ophthalmicus.  
*R<sub>s</sub>* M. rectus oculi sup.  
*rs* N. recurrens supramaxillaris.  
*so* N. supraorbitalis.  
*II* — XII Zweiter bis zwölfter Hirnnerve.  
*III<sub>i</sub>*, *III<sub>s</sub>* R. inf. und sup. n. oculomotorii. *V<sup>1</sup>*, *V<sup>2</sup>*, *V<sup>3</sup>* Erster bis dritter Ast des N. trigeminus.

Fig. 2.

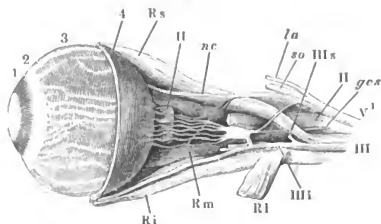


Fig. 1.

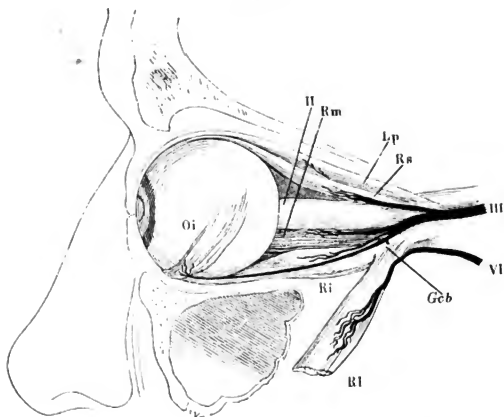


Fig. 3.

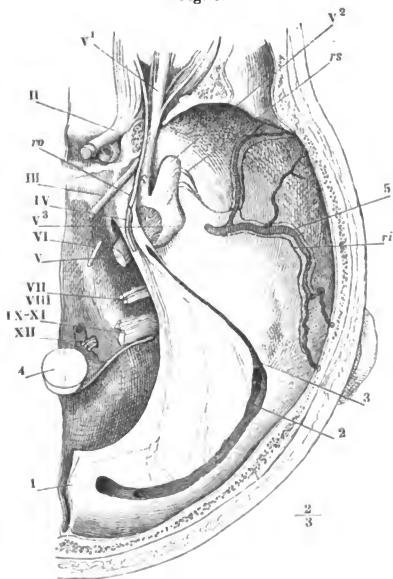


Fig. 1. Vorderer Theil der rechten Hälfte der Schädelbasis, das Dach der Orbita und ein Theil des Stirnbeins entfernt. 1 Lamina\* cribrosa. 2 Crista galli. 3 Trochlea. 4 Thränenrüse.

Fig. 2. N. ethmoidalis. Linke Kopfhälfte, von innen, mit dem oberen Ende medianwärts geneigt, um zugleich mit der Seitenwand der Nase die Augenhöhle, deren Decke weggenommen ist, und die Lamina cribrosa des Siebbeins zu sehen. \* Hinterer Rand der Basis der Crista galli. Der Knorpel des Nasenflügels ist unter der Apertura pyriformis durchschnitten und die untere Schnittfläche medianwärts herabgebogen.

---

<i>cl</i>	Nn. ciliares longi.
<i>e</i>	N. ethmoidalis.
<i>f</i>	N. frontalis.
<i>Gcl</i>	Radix longa ganglii ciliaris.
<i>it</i>	N. infratrochlearis.
<i>la</i>	N. lacrymalis.
<i>nc</i>	N. nasociliaris.
<i>†o</i>	Anastomose des N. lacrymalis zum N. orbitalis.
<i>Os</i>	M. obliquus oculi sup., vordere Hälfte.
<i>r</i>	N. recurrens ophthalmicus.
<i>Rl</i>	M. rectus lateralis.
<i>Rs</i>	M. rectus sup., vordere Hälfte.
<i>so</i>	N. supraorbit.
<i>st</i>	N. supratrochlearis.
<i>V<sup>1</sup>, V<sup>2</sup></i>	Erster und zweiter Ast des N. tri- geminus.

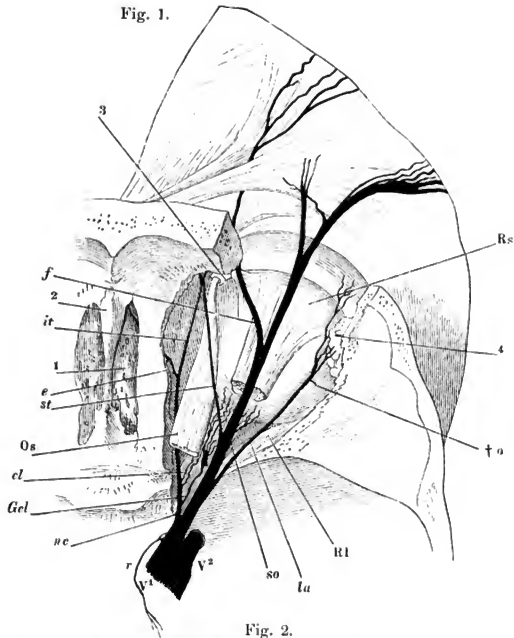
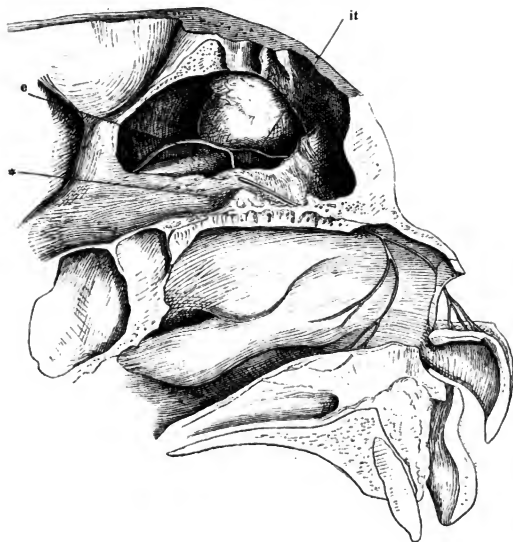


Fig. 2.



- Fig. 1. Profil des Gesichtsschädels; der Jochbogen abgesägt, um die Fossa sphenomaxillaris frei zu legen. Die Nerven sind, so weit sie in Knochenkanälen verlaufen, mit einfachen Conturen, die an der lateralen Wand der Nasenhöhle, an der Nasenseidewand und am Gaumen verlaufenden sind mit punktirten Linien angegeben.
- Fig. 2. Sagittalschnitt des Kopfs durch die rechte Orbita, rechte Schnittfläche; die Orbita entleert, die Augenlieder seitwärts umgelegt. Stirn- und Kieferhöhle, so wie die Fossa sphenomaxill. von der medialen Seite geöffnet.
- Fig. 3. Seitenwand der Nase, Fossa sphenomaxillaris, Canales pterygopal. und vidianus von der medialen Seite geöffnet. Die Schleimhaut der Muscheln, des Gaumens und des Pharynx theilweise abgezogen. Der weiche Gaumen, median gespalten, ist rückwärts umgelegt.
- Fig. 4. N. nasopalatinus der rechten Seite, nach Entfernung des knöchernen und knorpeligen Theils der Nasenseidewand auf der inneren Fläche der Schleimhaut präparirt.

Fig. 3.

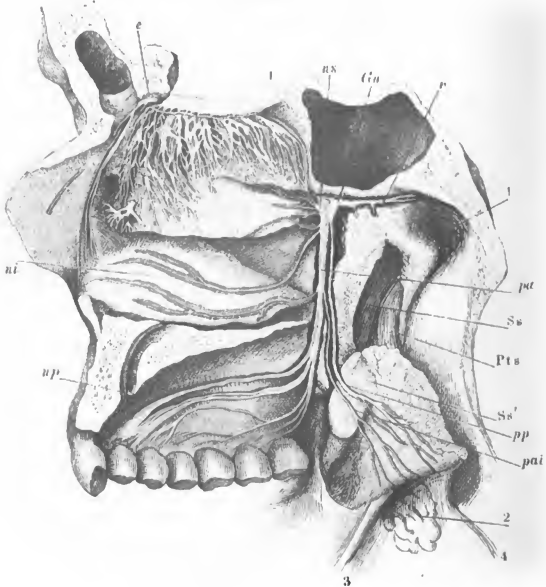


Fig. 1.

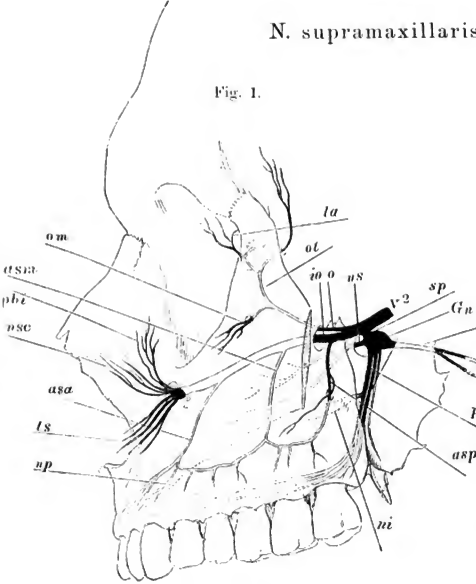
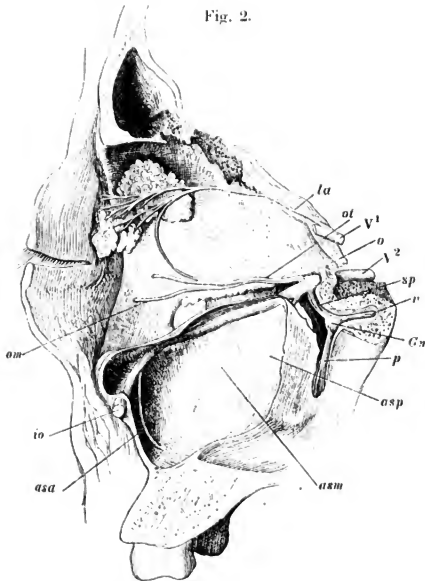


Fig. 2.



- asa* N. alveol. sup. ant.
- asm* N. alveol. sup. medius.
- asp* N. alveol. sup. post.
- e* N. ethmoid.
- Gn* Ggl. nasale.
- io* N. infraorbitalis.
- la* N. lacrymalis.
- ls* N. labialis sup.
- ni* N. nasalis inf.
- np* N. nasopalatinus.
- ns* N. nasalis sup.
- nsc* Nn. nasales subcutanei.
- o* N. orbitalis.
- om* N. orbitalis malaris (*N. subcutaneus malaris* aut.).
- ot* N. orbitalis temporalis.
- p* N. palatin.
- pa* N. palatin. ant.
- pal* N. palatin. lateralis.
- pbi* Nn. palpebr. inf.
- pp* N. palatin. post.
- Pts* M. petrostaphylinus.
- sp* N. sphenopalatinus.
- Ss* M. sphenostaphylinus.
- v* N. vidianus.
- l* N. olfactorius.
- 1 Ostium pharyng. der Tube.
- 2 Tonsille.
- 3 Arcus glossopalatinus.
- 4 Arcus pharyngopalatinus.

- Fig. 1. Verästelung des N. inframaxillaris, von aussen. Die Fossa infratemporalis durch Entfernung des Jochbogens und des Proc. coronoid. des Unterkiefers frei gelegt. Die im Unterkiefer verlaufenden Nerven sind hell, die an der medialen Fläche desselben verlaufenden punktiert angegeben.
- Fig. 2. Ansicht der linken Fossa infratemporalis von der Rückseite. Das For. ovale von hinten geöffnet; die sensible und motorische Wurzel des N. inframaxillaris ( $V^3$  und  $V^3'$ ) auseinander gelegt. 1 Das geöffnete Kiefergelenk.
- Fig. 3. Linke Kopfhälfte, das Ggl. oticum von der medialen Seite blossgelegt; die Spitze der Schläfenpyramide ist entfernt, die A. carotis int. aber aus ihrem Canal gelöst und an einem Faden (1) in die Höhe gezogen. 2 Mediale Platte des Gaumensflügels. 3 Lig. pterygopetrosum.

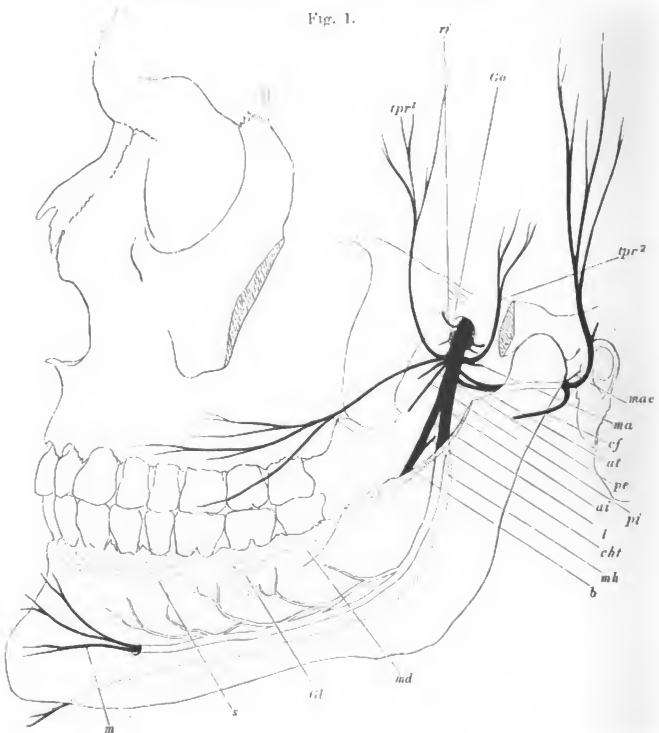
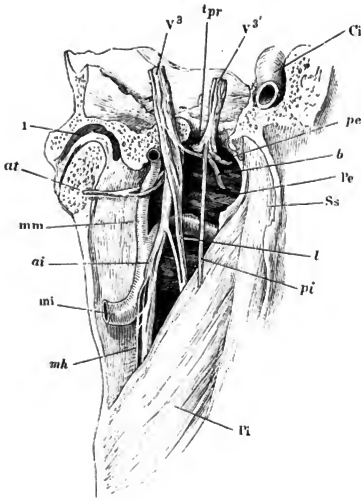




Fig. 2.



- ai* N. alveolaris inf.
- at* N. auriculo-temporalis.
- b* N. buccinatorius.
- cf* N. communicans facialis.
- cht* Chorda tympani.
- Ci* A. carotis int.
- Gl* Ggl. linguale.
- Go* Ggl. oticum.
- l* N. lingualis.
- m* N. mentalis.
- ma* N. massetericus.
- mae* N. meatus audit. ext.
- md* N. mandibularis.
- mh* N. mylohyoideus.
- mi* A. maxillaris int.
- mm* A. meningea media.
- Pe* M. pterygoid. ext.
- pe* N. pterygoid. ext.
- Pi* M. pterygoid. int.
- pi* N. pterygoid. int.
- Pts* M. petrostaphylinus, unteser. Em
- ri* N. recurrens inframaxill.
- s* N. sublingualis.
- Sp* M. stylopharyngeus.
- Ss* M. sphenostaphylinus.
- tpr<sup>1</sup>, tpr<sup>2</sup>* Nu. tempor. prof.

Fig. 3.

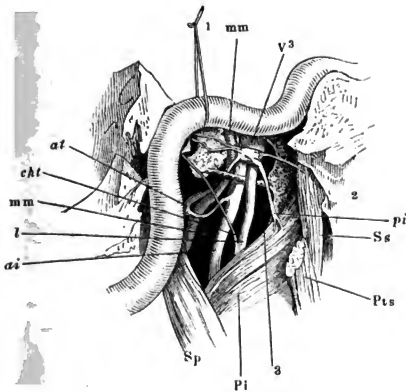


Fig. 1. *N. lingualis*. Unterkiefer und Zunge, von oben; die Schleimhaut zwischen dem Zahnfleisch und dem Seitenrande der Zunge durchschnitten und die Zunge mit ihren Muskeln medianwärts umgelegt. 1 Epiglottis. 2 Proc. condyloid. des Unterkiefers. 3 Spitze des grossen Zungenbeinhorns. 4 Submaxillardrüse. 5 Deren Ausführungsgang. 6 Sublingualdrüse. \* Anastomose der Nn. lingualis und hypoglossus.

Fig. 2. *N. mylohyoideus*. Linke Kieferhälfte von unten, die Gland. submaxillaris (\*) zurückgeschlagen.

---

<i>Bm</i>	M. biventer mandibulae.
<i>Bm</i> <sup>2</sup>	Vorderer Bauch desselben.
<i>cht</i>	Chorda tympani.
<i>Gg</i>	M. genioglossus.
<i>Gl</i>	Gangl. linguale.
<i>Hg</i>	M. hyoglossus.
<i>l</i>	N. lingualis.
<i>M</i>	M. masseter.
<i>md</i>	N. mandibularis.
<i>Mh</i>	M. mylohyoid.
<i>Pi</i>	M. pterygoid. int.
<i>s</i>	N. sublingualis.
<i>Sg</i>	M. styloglossus.
<i>XII</i>	N. hypoglossus.

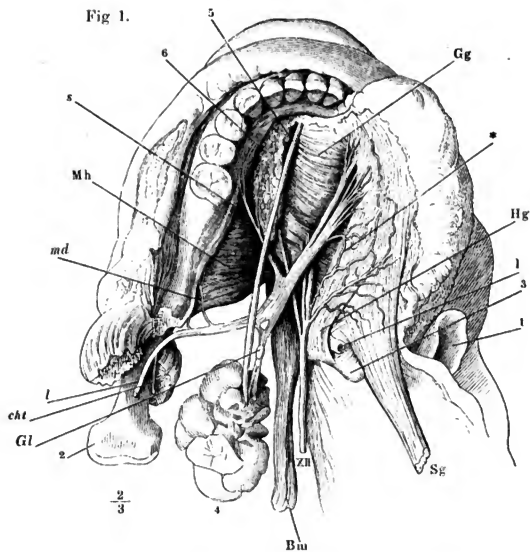


Fig. 2.

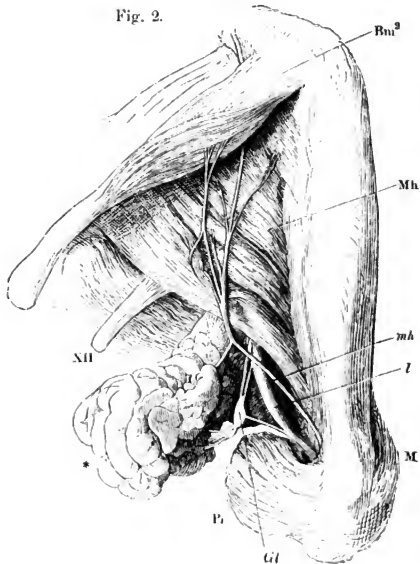


Fig. 1. N. auriculo-temporalis. Rechte Ohr- und Wangengegend, der Kopf um die sagittale Axe etwas aufwärts gedreht, die Parotis zum Theil entfernt. 1 Proc. mastoideus. 2 Proc. styloid. 3 Duct. parotideus. 4 Knorpeliger Gehörgang.

Fig. 2. N. alveolaris inf. Unterkiefer eines etwa achtjährigen Kindes mit von aussen blossgelegten Zähnen und Zahnwurzeln.

<i>ai</i>	N. alveolaris inf.
<i>at</i>	N. auriculo-temporalis.
<i>cf</i>	N. communicans facialis.
<i>l</i>	N. lingualis.
<i>M</i>	M. masseter.
<i>m</i>	N. mentalis, am Austritt aus dem For. mentale abgeschnitten.
<i>mae</i>	N. meat. audit. ext.
<i>par</i>	Rr. parotidei.
<i>Pi</i>	M. pterygoideus int.
<i>Stlh</i>	M. stylohyoid.
<i>VII</i>	N. facialis.

Fig. 1.

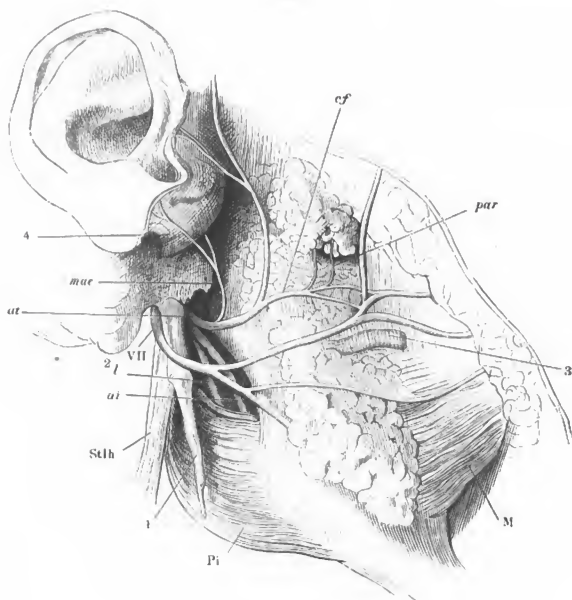
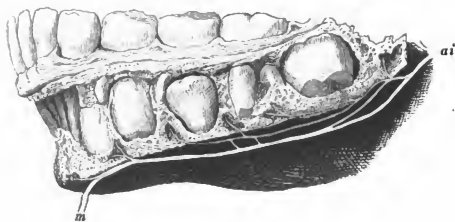


Fig. 2.



- Fig. 1. Verästelung des N. facialis. Die Nerven, so weit sie in Knochenkanälen verlaufen, hell. 1 Vorhofsfenster. 2 Schneckenfenster.
- Fig. 2. Verlauf der Chorda tympani an der lateralen Wand der Paukenhöhle; Paukenfell und Hammer von der inneren Seite. Der M. tensor tympani (1) von der medialen Wand der Paukenhöhle abgelöst, im Zusammenhang mit dem Hammer. 2 innere Mündung der Tuba.

---

<i>ap</i>	N. auricularis post.
<i>bv</i>	N. biventricus.
<i>ca</i>	N. communicans c. auric. vagi.
<i>c cg</i>	N. communicans c. glossopharyng.
<i>cf</i>	N. communicans facialis n. auriculo-temporalis.
<i>cht</i>	Chorda tympani.
<i>cpt</i>	N. communicans c. plexu tympan.
<i>Gg</i>	Ggl. geniculatum.
<i>Gn</i>	Ggl. nasale.
<i>l</i>	N. lingualis.
<i>psmj</i>	N. petrosus superfic. maj.
<i>sca</i>	N. subcutaneus colli sup.
<i>sta</i>	N. stapedius.
<i>sth</i>	N. stylohyoideus.
<i>sty</i>	N. styloideus.
<i>v</i>	N. vidianus.
<i>V</i>	N. trigeminus. V <sup>1</sup> Erster Ast desselben. V <sup>2</sup> Zweiter Ast.
<i>VII</i>	N. facialis.

Fig. 1.

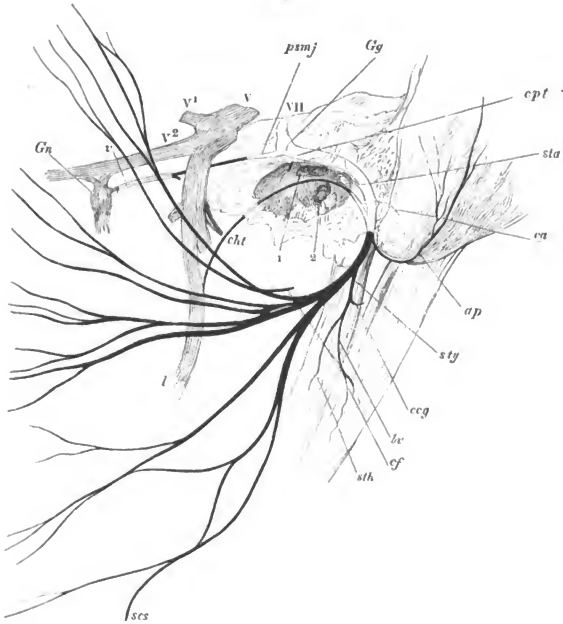


Fig. 2.



Terminale Aeste des N. facialis und der sensibeln Kopfnerven. Die Parotis ist bis auf einen kleinen Rest (\*) entfernt.

---

<i>am</i>	N. auricularis magnus.
<i>at</i>	N. auriculo-temporalis.
<i>b</i>	N. buccinatorius.
<i>e</i>	N. ethmoid.
<i>f</i>	N. frontalis.
<i>io</i>	N. infraorbitalis.
<i>it</i>	N. infratrochlearis.
<i>la</i>	N. lacrymalis.
<i>m</i>	N. mentalis.
<i>ocm</i>	N. occipitalis minor.
<i>ocmj</i>	N. occipitalis major.
<i>om</i>	R. malaris n. orbitalis.
<i>ot</i>	R. temporalis n. orbitalis.
<i>sci</i>	N. subcutaneus colli inf.
<i>so</i>	N. supraorbitalis.
<i>st</i>	N. supratrochlearis.



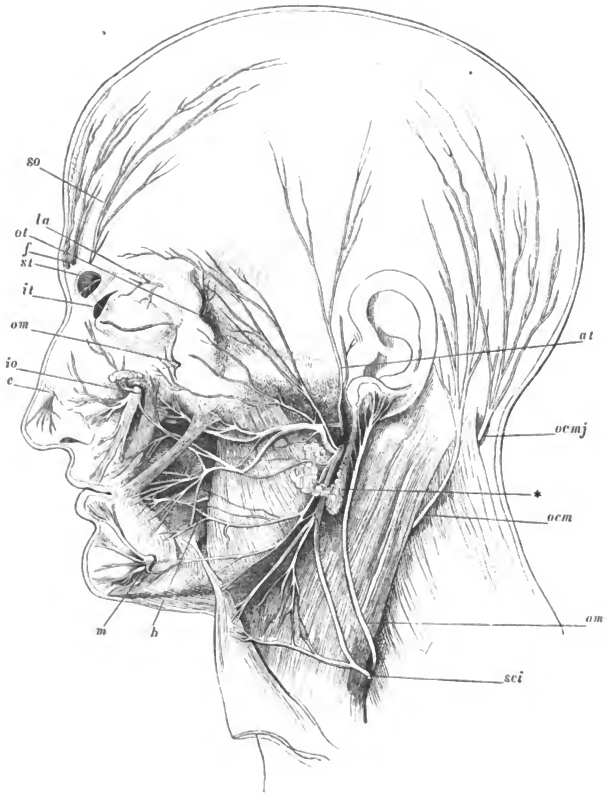


Fig. 1. Verzweigung des N. glossopharyngeus. Die Pars tympanica des Schläfenbeins und der Ast des Unterkiefers sind entfernt, ebenso der Temporalflügel des Wespenbeins bis zum Rand des For. ovale, die obere Hälfte der Mm. styloglossus und stylopharyngeus. Die Cann. facialis und caroticus sind geöffnet, die Carotis (1) vom Plexus carot. umgeben. 2 Spitze des grossen Zungenbeinhorns.

Fig. 2. Profil der Zunge, an welchem die sensibeln Aeste bis zur Oberfläche verfolgt sind. 1 Spitze des grossen Zungenbeinhorns. 2 Spitze des obern Horns der Cart. thyreoidea. 3 Epiglottis. 4 Sublingualdrüse.

---

<i>ccg</i>	N. communicans facialis und glossopharyng.
<i>cpt</i>	R. communicans c. plexu tympan. n. facialis.
<i>ct</i>	N. carotico-tympan.
<i>cv</i>	N. communicans vagi.
<i>Go</i>	Ggl. oticum.
<i>Gp</i>	Ggl. petrosun.
<i>l</i>	N. lingualis.
<i>Mh</i>	M. mylohyoideus.
<i>ph</i>	R. pharyngeus.
<i>phl</i>	R. pharyngeus lingualis.
<i>ppm</i>	N. petrosus prof. minor.
<i>psm</i>	N. petrosus superficial. minor.
<i>psmj</i>	N. petrosus superficial. major.
<i>s</i>	N. sublingualis.
<i>Sg</i>	M. styloglossus.
<i>Sp</i>	M. stylopharyngeus.
<i>stp</i>	N. stylopharyngeus.
<i>t</i>	N. tubae.
<i>to</i>	Nn. tonsillares.
<i>ty</i>	N. tympanicus.
<i>V</i>	R. lingualis des N. inframaxillaris. V <sup>3</sup> N. inframaxillaris.
<i>VII</i>	N. facialis.
<i>IX</i>	R. lingualis des N. glossopharyngeus.
<i>XII</i>	N. hypoglossus.

Fig. 1.

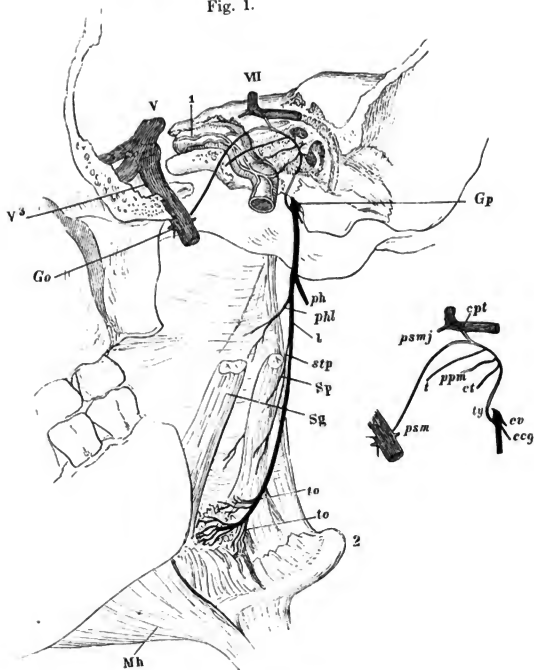
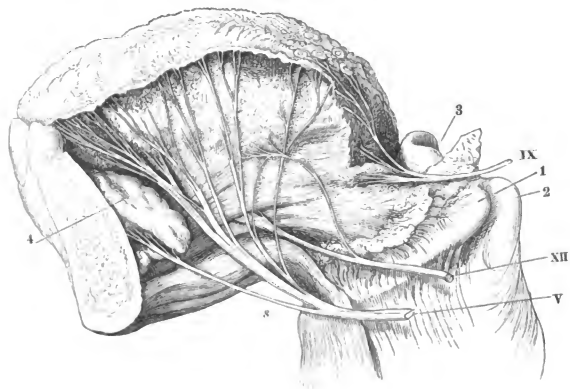
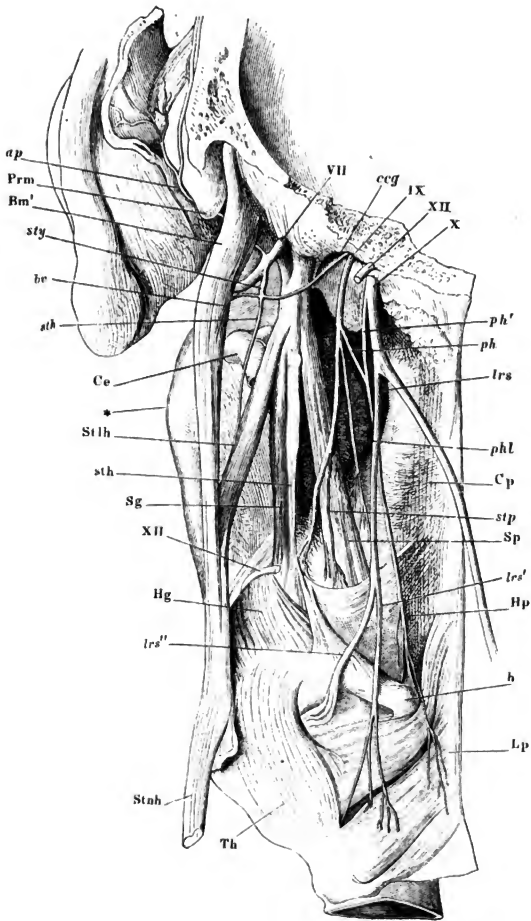


Fig. 2.



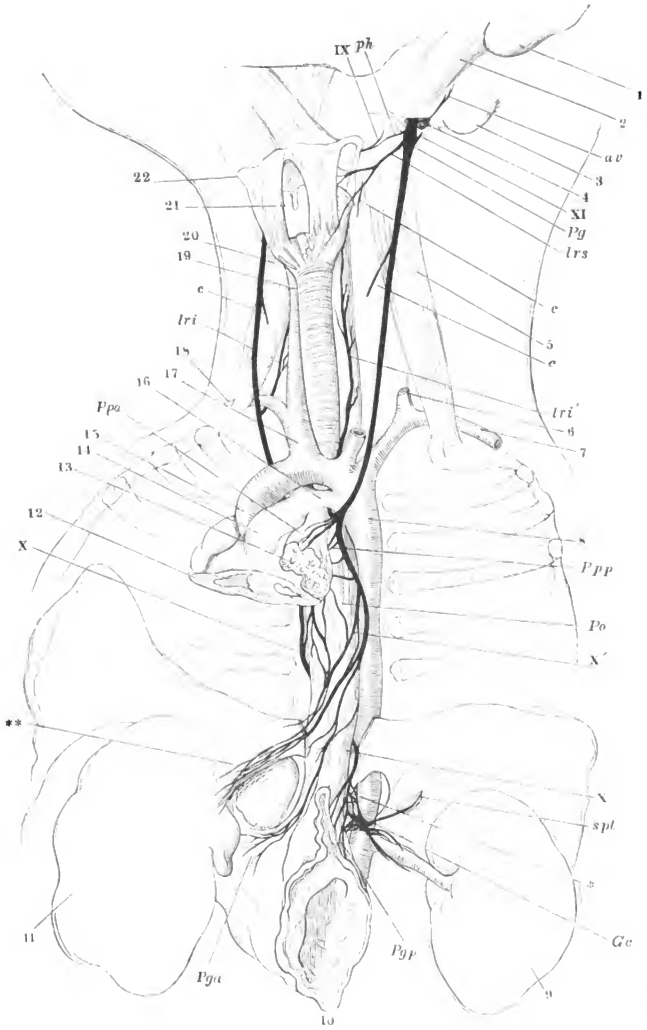
N. glossopharyngeus und oberer Theil des N. vagus. Linke Kopfhälfte von hinten, das Hinterhaupt durch einen Frontalschnitt hinter dem Warzenfortsatz entfernt. Die hintere Pharynxwand sammt dem Kehlkopf etwas rückwärts gedreht.

- ap* N. auricularis post.  
*Bm'* Hinterer Bauch des M. biventer mandibulae.  
*bv* N. biventricus.  
*ccg* N. communicans facial. u. glossophar.  
*Ce* Carotis ext.  
*Cp* M. cephalopharyngeus.  
*h* Spitze des grossen Zungebeinhorns.  
*Hg* M. hyoglossus.  
*Hp* M. hyopharyngeus.  
*Lp* M. laryngopharyngeus.  
*lrs* N. laryng. sup. *lrs'*, *lrs''* R. ext. und R. int. desselben.  
*ph* R. pharyngeus glossophar. *ph'* R. pharyng. vagi.  
*phl* N. pharyngeus lingualis.  
*Prm* Proc. mastoid.  
*Sg* M. styloglossus.  
*Sp* M. stylopharyng.  
*sth* Lig. stylohyoid.  
*sth* (cursiv) N. stylohyoid.  
*Stlh* M. stylohyoid.  
*Stnh* M. sternohyoid.  
*stp* N. stylopharyng.  
*sty* N. styloideus.  
*Th* M. thyreohyoid.  
*VII, IX, X, XII* siebenter, neunter, zehnter und zwölfter Hirnnerv.  
 \* Winkel des Unterkiefers.



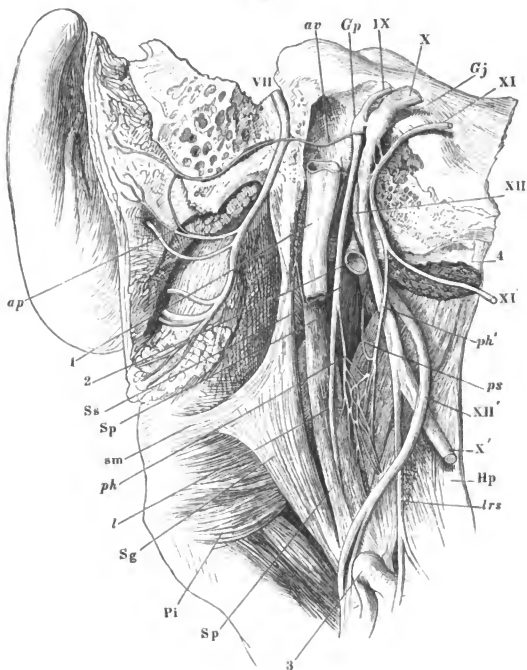
Verzweigung des *N. vagus* am Neugeborenen. Am Halse sind die grossen Arterienstämme und die Trachea freigelegt. Die Brusthöhle geöffnet, das Herz unter der Querfurche, die Lungen an der Wurzel abgeschnitten; das Zwerchfell bis auf den Oesophagus gespalten; der Blind-sack des Magens sammt der Milz entfernt. 1 Ohrläppchen. 2 knorp-licher Gehörgang. 3 Warzenfortsatz. 4 *V. jugularis*, am Austritt aus dem Schädel durchschnitten. 5 *M. scalenus ant.* der linken Seite. 6 *A. carotis sin.* am Ursprunge abgeschnitten. 7 *A. subclavia sin.* 8 *Aorta descendens*. 9 linke Niere. 10 Magen. 11 Leber. 12 Quer-schnitt des Herzens durch den oberen Theil der Ventrikel. 13 Lungen-wurzel. 14 *A. pulmonalis*. 15 *Aorta adscend.* 16 *Duct. arterios.* 17 *A. anonyma brachioceph.* 18 *A. subcl. dextra.* 19 *A. carotis dextra.* 20 *M. scalenus ant.* der rechten Seite. 21 Kehlkopf. 22 Zungenbein.

- ar* R. auricularis vagi.  
*c, c* Nn. cardiaci.  
*Gc* Ggl. coeliacum.  
*lri* Rechter, *lri'* linker *N. laryng. inf.*  
*lrs* *N. laryng. sup.*  
*Pg* Plexus ganglioformis.  
*Pga* Plexus gastricus ant.  
*Pgp* Plexus gastricus post.  
*ph* R. pharyng. vagi.  
*Po* Plexus oesophageus.  
*Ppa* Plexus pulmonalis ant.  
*Ppp* Plexus pulmonalis post.  
*spl* R. splanchnicus sin.  
*IX* R. pharyngeus glossophar.  
*X* Rechter, *X'* linker Vagus-Stamm.  
*XI* Vorderer Ast des *N. accessorius*.  
 \* Aeste des rechten *N. vagus* zum Ggl. coeliacum.  
 \*\* Aeste des linken *N. vagus* zur Leber.



- Fig. 1. R. auricularis und Plexus pharyngeus. Das For. jugulare von hinten geöffnet, Canaliculus mastoideus und Can. facialis aufgebrochen. Der Bulbus V. jugularis entfernt. V. jugul. (1) und Carotis int. (2) dicht unter der Schädelbasis abgeschnitten. 3 Spitze des Zungenbeinhorns. 4 Mm. longus cap. und rect. cap. ant., unter der Insertion abgeschnitten.
- Fig. 2. N. laryng. sup. Profilsansicht des Kehlkopfs und des Pharynx. Der M. laryngopharyngeus der Länge nach gespalten. 1 Zungenbein. 2 Lig. hyothyreoid. med. 3 Cart. thyroidea, das obere Horn abgebrochen. 4 Cart. cricoidea. 5 Tunica nervea des Pharynx und Oesophagus.

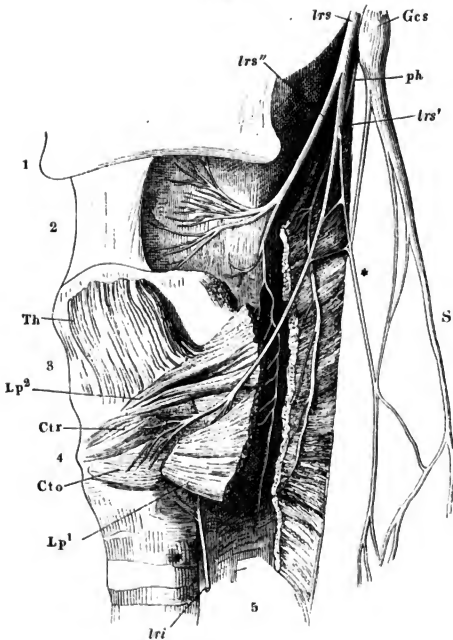
Fig. 1.





<i>ap</i>	N. auricul. post. in zwei Fäden zerfallen.	<i>Pi</i>	M. pterygoid. int.
<i>av</i>	R. auricul. N. vagi.	<i>ps</i>	N. petrostaphylinus.
<i>Cto</i>	M. crico-thyreoid. obliquus.	<i>S</i>	Grenzstrang des Sympath.
<i>Ctr</i>	M. crico-thyreoid. rect.	<i>Sg</i>	M. styloglossus.
<i>Gcs</i>	Ggl. cervicale supr.	<i>sm</i>	Lig. stylomyloid.
<i>Gj</i>	Ggl. jugulare.	<i>Sp</i>	M. stylopharyng.
<i>Gp</i>	Ggl. petrosum.	<i>Ss</i>	M. sphenostaphylinus.
<i>Hp</i>	M. hyopharyngeus.	<i>Th</i>	M. thyreoehyoid.
<i>l</i>	R. lingualis glossopharyng.	<i>X'</i>	Abgeschnittener Stamm des N. vagus.
<i>Lp<sup>1</sup></i>	<i>Lp<sup>2</sup></i> M. laryngopharyng.	<i>XI'</i>	Äusserer Ast des N. accessor., zur Seite gelegt.
<i>lri</i>	N. laryngeus inf.	<i>XII'</i>	Stamm des N. hypoglossus, vom Vagus abgezogen.
<i>lrs</i>	N. laryngeus sup. <i>lrs'</i> dessen äusserer, <i>lrs''</i> dessen innerer Ast.	*	N. cardiacus des N. laryng. sup. mit Aesten des Sympathicus zum Plexus cardiacus zusammentretend.
<i>ph</i>	R. pharyngeus glossophar. <i>ph'</i> R. pharyngeus vagi.		

Fig. 2.



- Fig. 1. Kehlkopf von der Rückseite mit dem oberen Ende des N. laryngeus inf. und dem unteren Aste des R. int. des N. laryng. sup. 1 Cart. thyreoidea, zur Seite gebogen. 2 Cart. cricoidea. 3 Durch die vordere Wand des Pharynx durchschimmernde Cart. corniculata. 4 Seitliche innere Kehlkopfmuskeln. 5 Muskeln zwischen den Cartt. arytaenoid.
- Fig. 2. Plexus pulmonalis. Oesophagus und Trachea auseinandergezogen. Trachea und Bronchi von der Rückseite.

---

*Cap* Ursprung, *Cap'* Insertion des durchschnittenen M. crico-arytaen. post.

*Lp*<sup>1</sup> *Lp*<sup>2</sup> M. laryngopharyng.

*lri* N. laryngeus inf.

*lrs* N. laryngeus sup.

*Ppa* Plexus pulmon. ant.

*X* Rechter N. vagus.

*X'* Ein Ast des linken Vagus.

\* Anastomose zwischen Zweigen der Nn. laryngei sup. und inf.

Fig. 1.

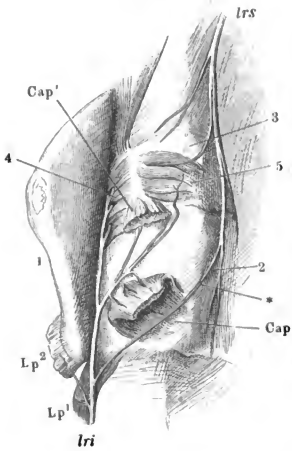


Fig 2.

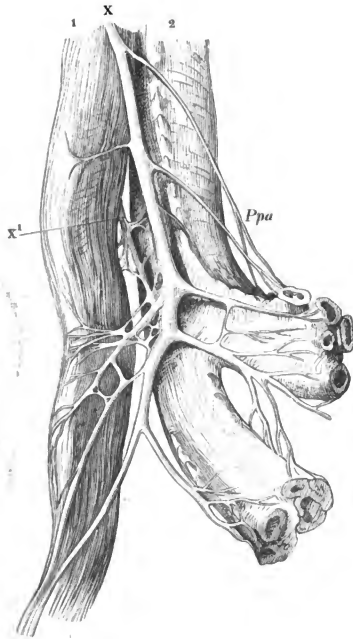


Fig. 1. Verästelung des N. accessorius.

Fig. 2. Verästelung des N. hypoglossus. Profilansicht des Halses nach Entfernung der vordern langen Muskeln. 1 A. carotis ext. 2 A. sternocleidomastoidea. 3 Zungenbein. 4 Cart. thyreoidea.

$C^1 - C^3$  Stamm und anastomotische Aeste  
des 1ten bis 3ten Cervicalnerven.

*dh* Ramus descendens hypoglossi.

*Gg* M. Genioglossus.

*Gh* M. geniohyoid.

*Hg* M. hyoglossus.

*l* N. lingualis vom Inframaxill.

*Oh* M. omohyoideus.

*Scm* M. sternocleidomastoideus. *Scm†* Zurückgeschlagenes oberes Ende desselben.

*Sg* M. styloglossus.

*Th* M. thyreohyoid.

*Tr* M. trapezius.

Fig. 1.

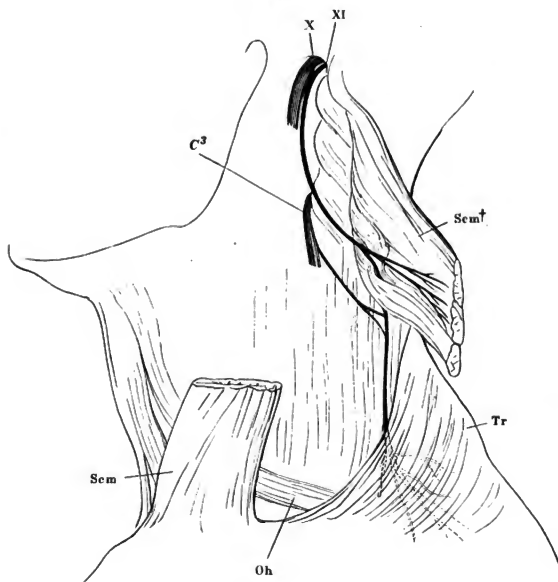
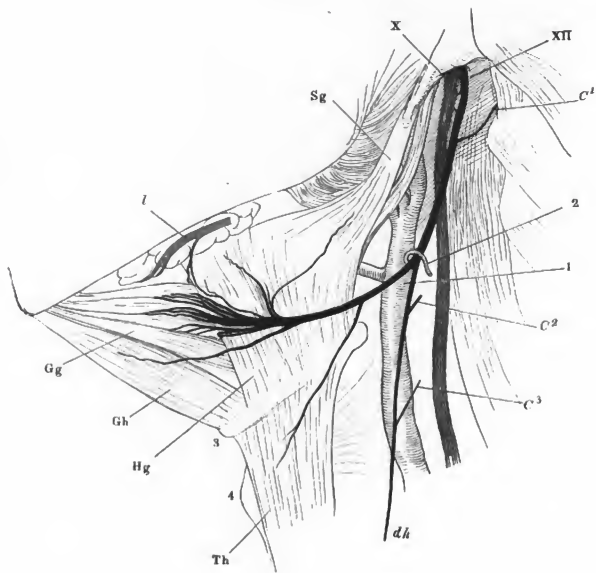
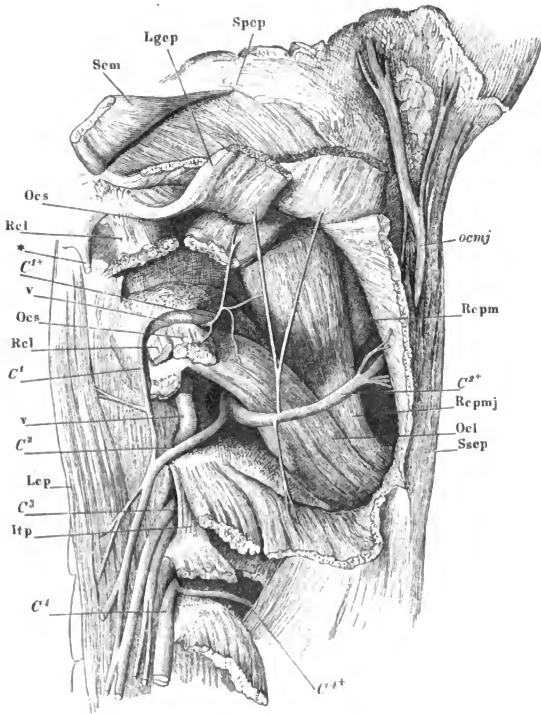


Fig. 2.



Die beiden obersten Cervicalnerven. Profilansicht der Nackengegend. Die Muskeln theilweise zurückgelegt und durchschnitten, um die Austrittsstellen der Nerven zu zeigen.

- 
- $C^1 - C^4$  N. cervic. 1 — 4.  $C^{1+}$  u. ff.  
 hintere Aeste derselben.
- Hp* M. intertransversarius post.
- Lcp* M. longus capitis (*Rect. cap. ant. maj.* aut.).
- Lgcp* M. longissimus cap. (*Trachelomastoid.* aut.).
- Oci* M. obliquus cap. inf.
- ocmj* N. occipitalis maj.
- Ocs* M. obliquus cap. sup.
- Rcl* M. rectus cap. lateralis.
- Rcpm* M. rectus cap. post. minor.
- Rcpmj* M. rectus cap. post. major.
- Scm* M. sternocleidomastoid.
- Spep* M. splenius cap.
- Ssep* M. semispinalis cap. (*Biventer* und *complexus* aut.).
- v* A. vertebr.
- \* Proc. styloideus.

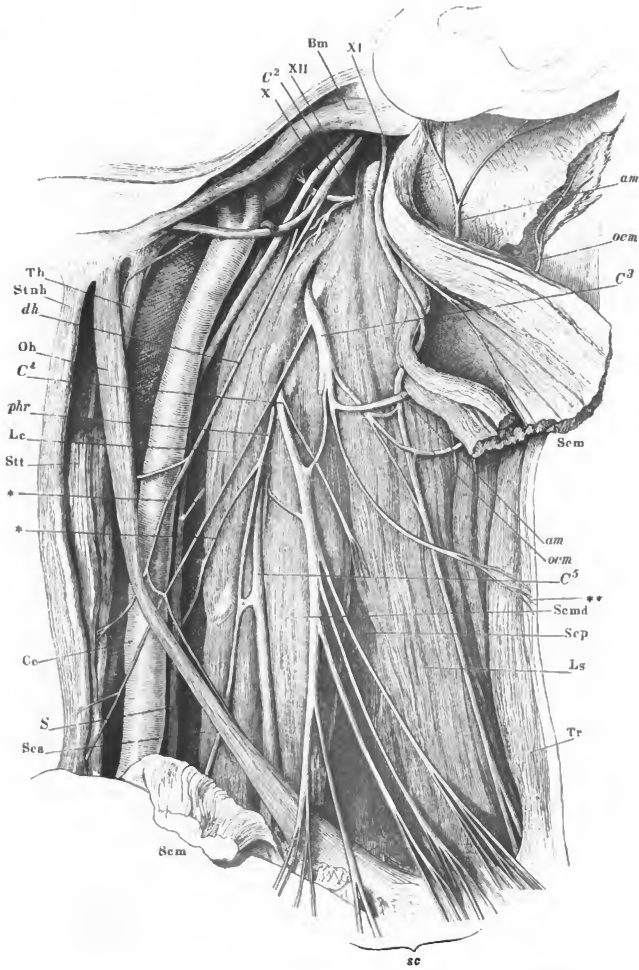


Die untern Nerven des Plexus cervicalis. Profilansicht des Halses; der M. sternocleidomastoideus theilweise ausgeschnitten, die Reste auf- und abwärts zurückgeschlagen.

---

<i>am</i>	N. auricul. magn.
<i>Bm</i>	Hinterer Bauch des M. biventer mandibulae.
<i>Cc</i>	A. carotis comm.
<i>dth</i>	R. descendens hypoglossi.
<i>Lc</i>	M. longus colli.
<i>Ls</i>	M. levator scapulae.
<i>ocm</i>	N. occipitalis minor.
<i>Oh</i>	M. omohyoid.
<i>phr</i>	N. phrenicus.
<i>S</i>	N. sympath.
<i>sc</i>	Nn. supraclaviculares.
<i>Scal</i>	M. scalenus ant.
<i>Scm</i>	M. sternocleidomastoideus.
<i>Scmd</i>	M. scalenus medius.
<i>Scp</i>	M. scalenus post.
<i>Stnh</i>	M. sternohyoid.
<i>Stt</i>	M. sternothyroid.
<i>Th</i>	M. thyreo-hyoid.
<i>Tr</i>	M. trapezius.
* *	Rr. communicantes der Nn. cervi- cales III und IV mit dem Syn- pathicus.
**	Unbeständiger Hautnerve des Halses.





Hals und Thorax eines Kindes, von vorn. Der Thorax geöffnet und die Lungen nach beiden Seiten zurückgeschlagen, um das auf dem Zwerchfell ruhende Pericardium, die grossen Gefässstämme und den Verlauf der beiden Nn. phrenici zu zeigen.

---

*C*<sup>3</sup> — *C*<sup>6</sup> Stämme des 3ten bis 6ten Cervicalnerven.

*Cc* A. carotis comm.

*cs* V. cava sup.

*cva* A. cervic. ascend.

*mmi* Vasa mammaria intt.

*phr* N. phrenicus dexter. *phr'* N. phren. sin.

*S* Art. subclavia. *S'* V. subclavia.

*sc* Nn. supraclaviculares.

*Scal* M. scalenus ant.

*ti'* V. thyreoidea inf.

\* Ast zum M. subclavius.

\*\* Lungenwurzel.

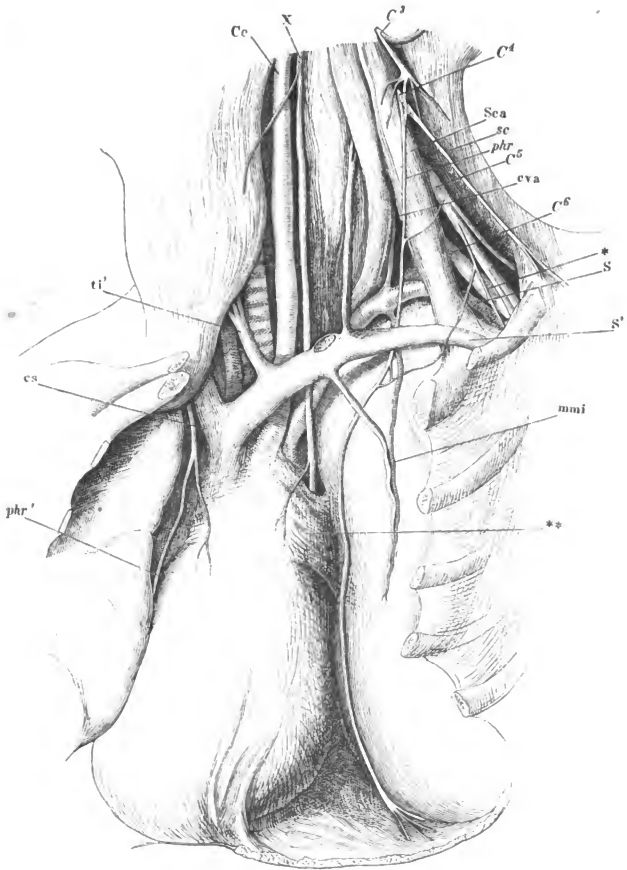


Fig. 1. Plexus brachialis von vorn. Thorax und Wirbelhöhle von vorn geöffnet, der Arm gerade ausgestreckt und mit dem Schulterblatt vom Rumpf abgezogen. \* A. axillaris. \*\* Rückenmark.

Fig. 2. Kurze Nerven des Plexus brachialis. Unterer Seitentheil des Halses und geöffnete Achselgrube von einem Kinde. Das Schlüsselbein (††) ist in der Nähe des acromialen Endes durchsägt und das letztere mit dem Schulterblatt und der Extremität seitwärts abgezogen. M. Pect. maj. durchschnitten, die Ursprünge der clavicularen Portion und der sternocostalen zurückgeschlagen. M. pectoralis minor gleichfalls von der Insertion abgeschnitten und abwärts umgelegt. \* Dritte Rippe.

- Ai* M. anconeus int.  
*Al* M. anconeus longus.  
*ax* N. axillaris. *ax*<sup>2</sup> Ast zum M. teres minor. *ax*<sup>3</sup> Endast.  
*C*<sup>5</sup>—*C*<sup>8</sup> Stamm des 5ten bis 8ten Cervicalnerven.  
*ch* R. cutaneus humeri N. axill.  
*cl* N. cutaneus lateralis.  
*cm* N. cutaneus medius.  
*cmd* N. cutaneus medialis.  
*D* M. deltoideus.  
*D*<sup>1</sup> *D*<sup>2</sup> N. dorsalis I und II.  
*ds* N. dorsalis scapulae.  
*ic*<sup>2</sup> R. cutaneus n. intercost. II.  
*Ld* M. latissimus dorsi.  
*Ld*<sup>+</sup> Insertionssehne desselben.  
*Ls* M. levator scapulae.  
*me* N. medianus.  
*Pm* M. pectoralis minor.  
*Pmj*<sup>1</sup> Claviculare, *Pmj*<sup>2</sup> sternocostale Portion, *Pmj*<sup>+</sup> Insertion des M. pectoralis maj.  
*ra* N. radialis.  
*Sa* M. serrat. ant.  
*Sca* M. scalenus ant.  
*scl* N. subclavius.  
*Scmd* M. scalenus medius.  
*sps* N. suprascapularis.  
*Ss* M. subscapularis.  
*ss*<sup>1</sup> *ss*<sup>2</sup> *ss*<sup>3</sup> Nn. subscapulares.  
*ta* N. thorac. ant.  
*Tm* M. teres minor.  
*Tmj* M. teres major.  
*tp* N. thorac. post.  
*u* N. ulnaris.

Fig. 2 a.

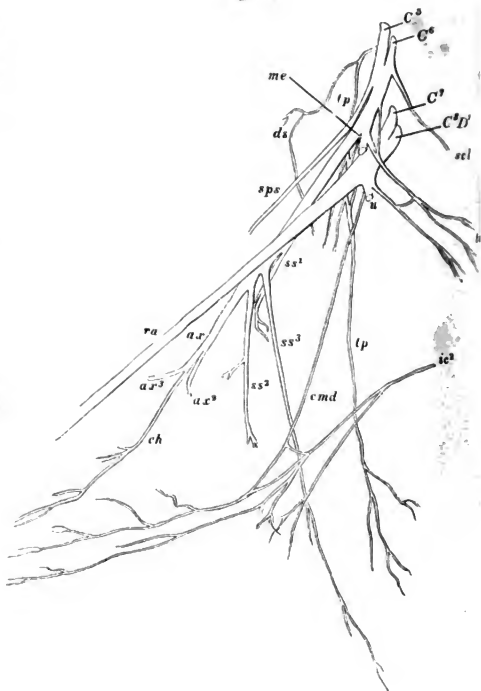


Fig. 1.

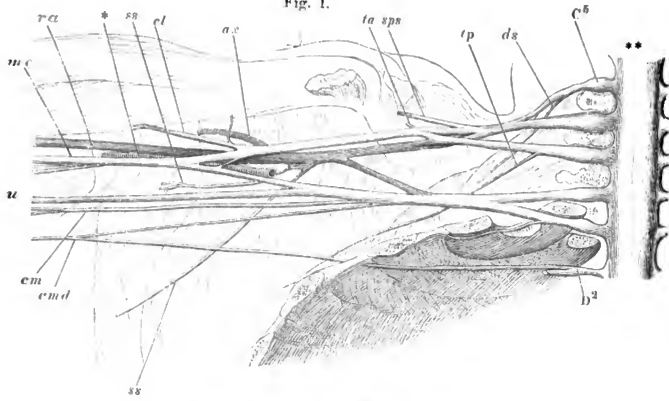
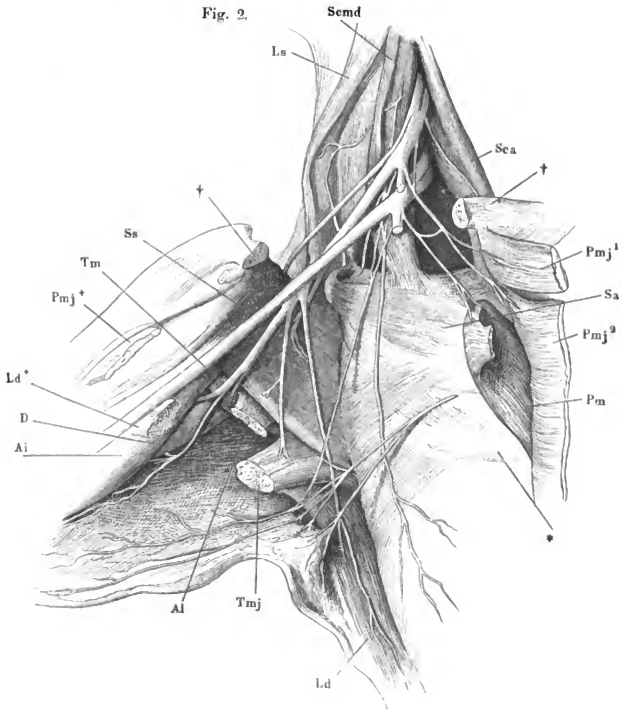


Fig. 2.



- Fig. 1. Nn. cutanei medialis und medius. Oberarm und oberer Theil des Unterarms, mediale Fläche, die Haut an der vordern Fläche der Länge nach gespalten und mit den Nerven medianwärts zurückgeschlagen. \* Ast des N. radialis zum M. anconeus int., eine Strecke weit mit dem Stamme des N. ulnaris verbunden.
- Fig. 2. N. cutaneus lateralis. Ober- und Unterarm, mediale Fläche, der Unterarm in Pronation. Die Haut an der hintern Fläche gespalten und vorwärts umgeschlagen. \* Stumpf der A. brachialis.

---

<i>Ai</i>	M. anconeus int.
<i>Al</i>	M. anconeus long.
<i>B</i>	M. biceps. <i>B'</i> Insertionssehne derselben.
<i>Bi</i>	M. brachialis int.
<i>Cb</i>	M. coracobrachialis.
<i>cl</i>	N. cutaneus lateralis.
<i>cm</i>	N. cutaneus medius.
<i>cmd</i>	N. cutaneus medialis.
<i>cp<sub>i</sub></i>	N. cutaneus post. inf.
<i>cp<sub>s</sub></i>	N. cutaneus post. sup.
<i>D</i>	M. deltoideus.
<i>Ld</i>	Sehne des M. latiss. dorsi.
<i>me</i>	N. medianus (in Fig. 1 das am Oberarm verlaufende Stück ausgeschnitten).
<i>Pm</i>	M. pectoralis minor, Insertion.
<i>Pmj</i>	M. pectoralis major, desgl.
<i>ra</i>	N. radialis.
<i>Ss</i>	M. subscapularis.
<i>Tmj</i>	M. teres major.
<i>u</i>	N. ulnaris, in Fig. 1 wie N. medianus.

Fig. 2.

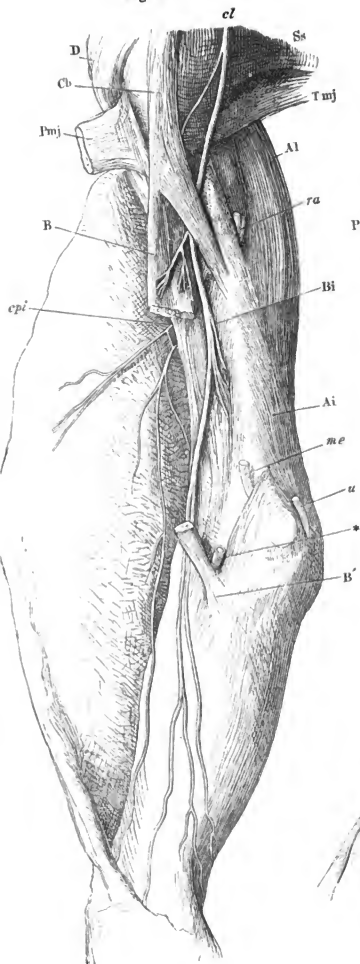


Fig. 1.

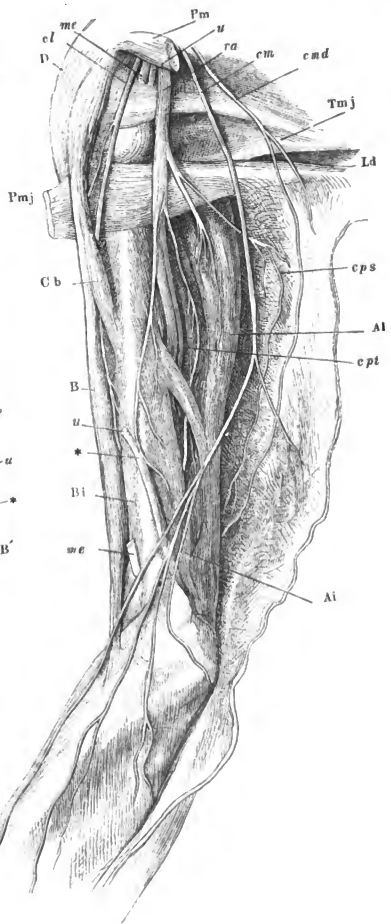


Fig. 1. Verästelung des N. medianus. Vorderfläche des Unterarms. Die Mm. pronator teres und radialis int. abgeschnitten und zurückgeschlagen.  
\* Lig. interosseum.

Fig. 2. Verästelung des N. ulnaris. M. ulnaris int. medianwärts umgelegt.  
\* A. ulnaris.

Fig. 3. Verästelung des R. prof. N. ulnaris. Die Beugesehnen der Finger sind, nach Spaltung des Lig. carpi vol. entfernt, bis auf die Insertionen der Mm. lumbricales III und IV.

- Abq* M. abductor dig. quinti.  
*Adp* M. adductor pollicis. *Adp'* Mittelfingerzacke desselben, quer durchschnitten und zurückgeschlagen.  
*B* Tiefe Insertionsehne des M. biceps.  
*Bi* M. brachialis int.  
*cp* N. cutaneus palmaris.  
*du* R. dorsalis N. ulnaris.  
*F'F'* Die durchschnitene tiefe Ursprungsmasse der oberflächlichen Beugemuskeln.  
*Fdp* M. flexor digit. prof.  
*Fds* M. flexor digit. sublimis.  
*Fpl* M. flexor pollicis long.  
*Fq* M. flexor digiti quinti.  
*ia* N. interosseus ant.  
*Id<sup>1</sup>* M. interosseus dors. primus.  
*L<sup>3</sup>L<sup>4</sup>* Mm. lumbricales III und IV.  
*Pb* M. palmaris brevis, mit der Haut zurückgeschlagen.  
*Pq* M. pronator quadr., der Länge nach durchschnitten.  
*Pt* M. pronator teres.  
*pu* R. palmaris, N. ulnaris.  
*Ri* M. radialis int. *Ri'* Insertionsehne desselben.  
*RR* Radialmuskeln.  
 † Anastomose der Nn. medianus und ulnaris.

Fig. 3.

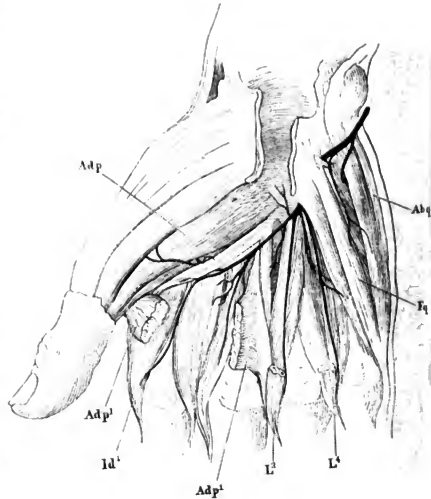




Fig. 2.

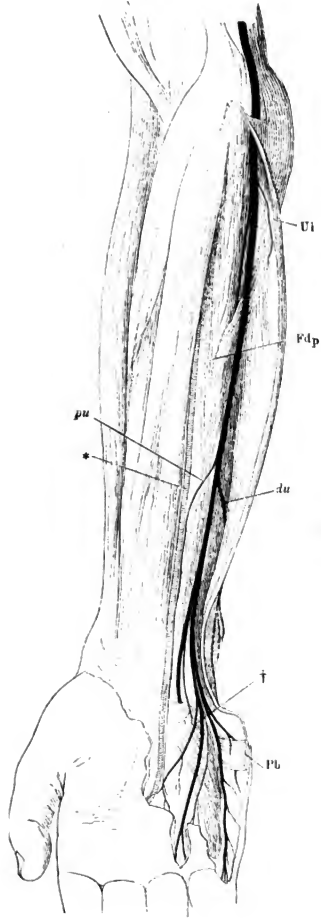


Fig. 1.

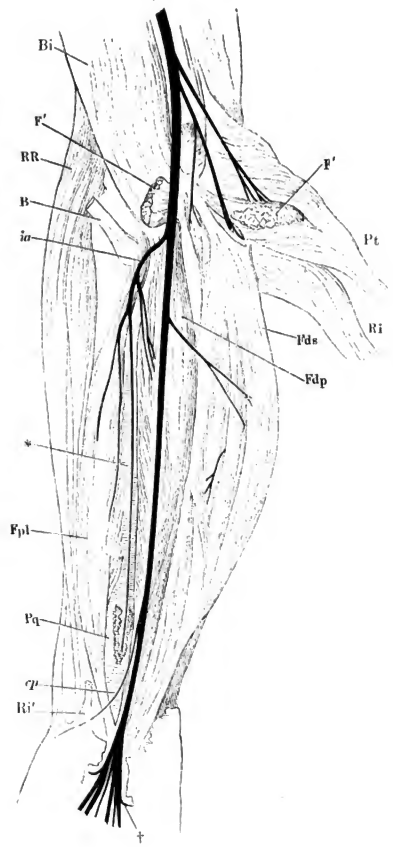


Fig. 1. Verästelung des N. radialis und des R. dorsalis n. ulnaris. Oberarm von der lateralen, Vorderarm von der Rückenfläche. Die Haut mit den Hautästen vorwärts umgeschlagen.

Fig. 2. Haut eines Fingers mit den Nervenstämmen. Sie ist am Seitenrande des auf der Volarfläche ruhenden Fingers der Länge nach gespalten, die Haut der Rückenfläche zurückgeschlagen, Phalangen und Sehnen nach Exarticulation im Fingercarpalgelenk herausgeschält.

Fig. 2.

- Ab* M. anconeus brevis, der Länge nach durchschnitten und nach beiden Seiten zurückgeschlagen.
- Ai* M. anconeus int.
- Al* M. anconeus long.
- Apl* M. abductor pollicis long.
- Aq* M. anconeus quartus.
- B* M. biceps.
- Br* M. brachioradialis.
- cp<sub>i</sub>* N. cutaneus post. inf.
- cp<sub>s</sub>* N. cutaneus post. sup.
- D* M. deltoideus.
- d* N. digit. dorsalis.
- du* R. dorsalis N. ulnaris.
- Edc* M. extensor digit. comm.
- Eip* M. extensor indicis propr.
- Epb* M. extensor pollicis brevis.
- Epl* M. extensor pollicis long.
- ip* N. interosseus post.
- RR* Mm. radialis ext. long. und brevis.
- Su* M. supinator.
- Ue* M. ulnaris ext.
- v* N. digit. volaris.

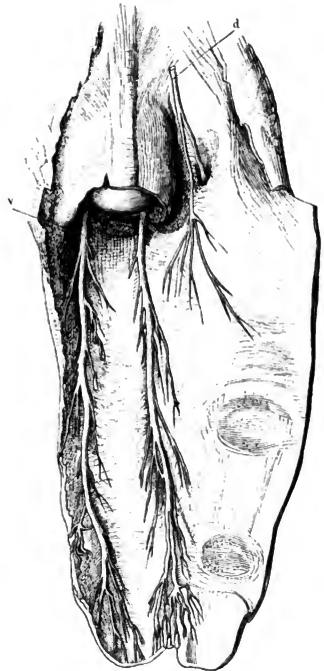
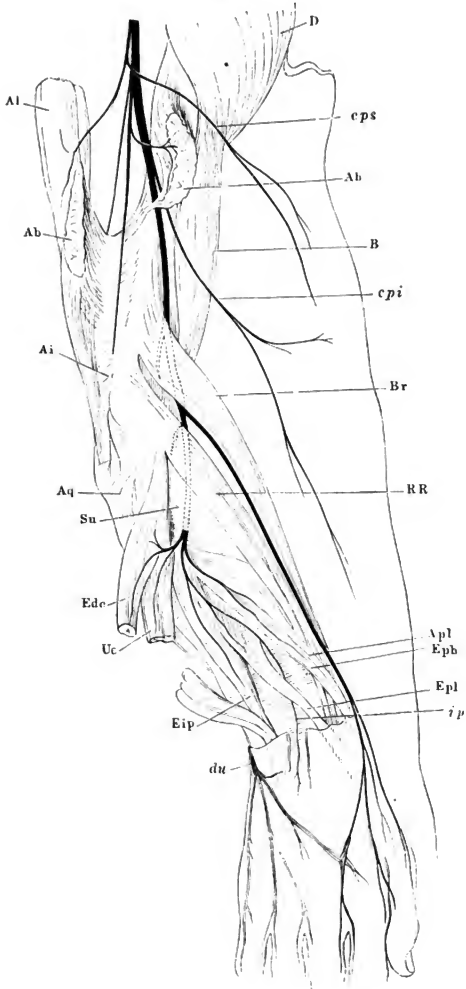
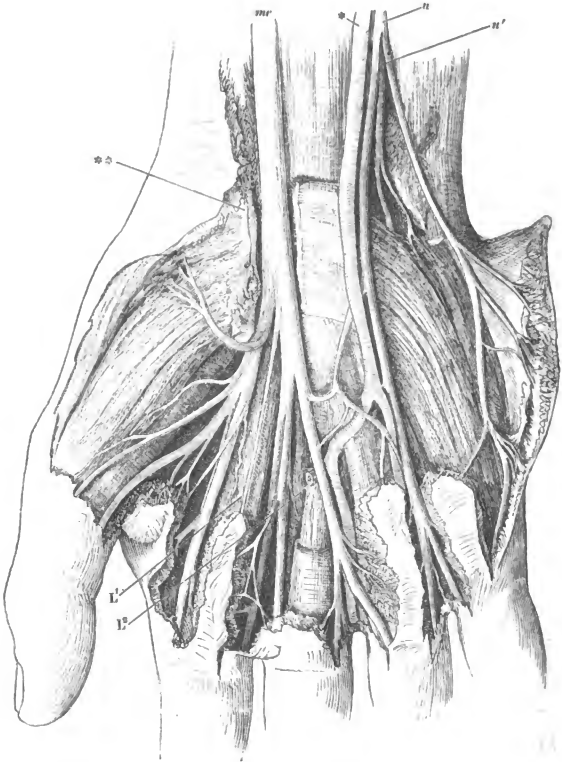


Fig. 1.



Nerven der Hohlhand. Die Aponeurosis volaris entfernt, das Lig. carpi vol. propr. (\*\*\*) der Länge nach geöffnet.  $L^1, L^2$  erster und zweiter M. lumbricalis. \* A. ulnaris.  $u$  Oberflächl.,  $u'$  tiefer Ast des N. ulnaris.  $me$  N. medianus.



Profilansicht des Rumpfs mit den Rr. perforantes laterales und anteriores der Intercostalnerven.

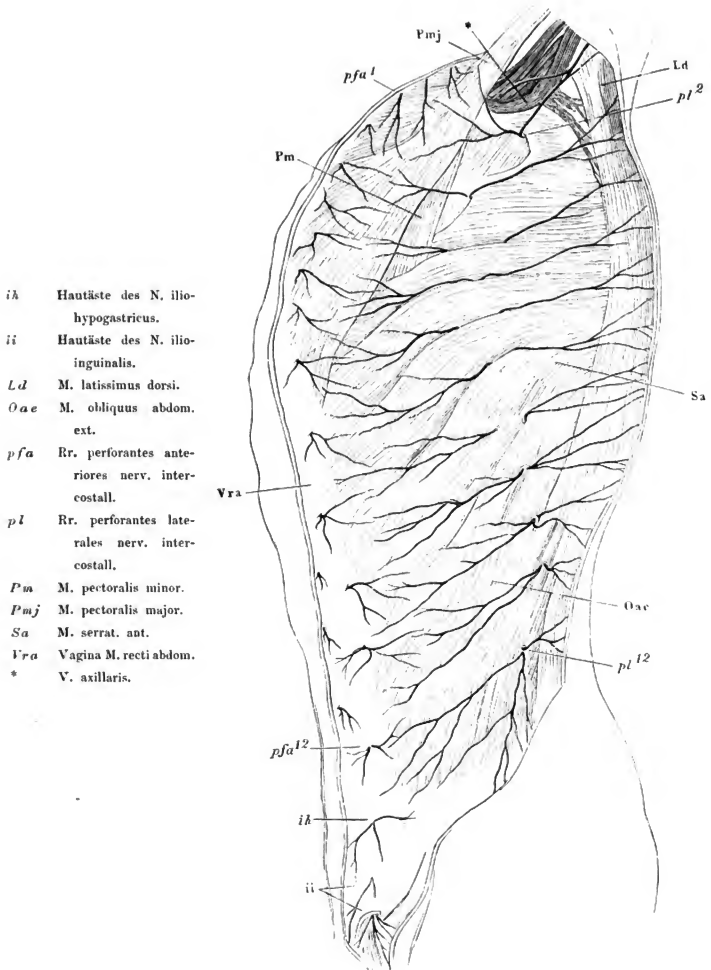


Fig. 1. Nn. intercostales, an der hintern Wand der linken Thoraxhälfte durch Entfernung der Pleura freigelegt.

Fig. 2. Hautzweige der hintern Aeste der Rückenmarksnerven.

*C<sup>7</sup> C<sup>8</sup>* 7ter und 8ter Cervicalnerv.

*D* M. deltoideus.

*D<sup>1</sup>* Erster Dorsalnerv.

*Gm* M. gluteus max.

*Icl* M. iliocostalis lumborum.

*Isp* M. infraspinat.

*Lc* M. longus colli.

*Ld* M. latissimus dorsi.

*Lgd* M. longissimus dorsi.

*Mf* M. multifidus.

*Oae* M. obliquus abdom. ext.

*pl* R. perforans lateralis (n. intercost.).

*Rmj* M. rhomboid. maj.

*S* Grenzstrang des Sympathicus mit den Rr. communicantes.

*Sca* M. scalenus ant.

*Scmd* M. scalenus medius.

*Spcp* M. splenius cap.

*Sscp* M. semispinalis cap. (*biventer* und *complex.*)

*Tmj* M. teres major.

*Tr* M. trapezius.

Fig. 1.

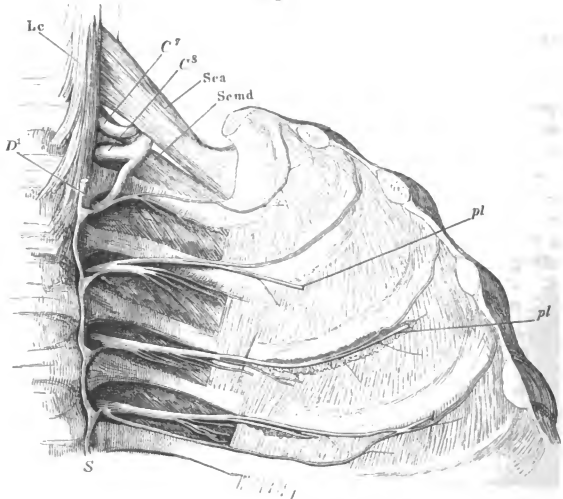


Fig. 2.

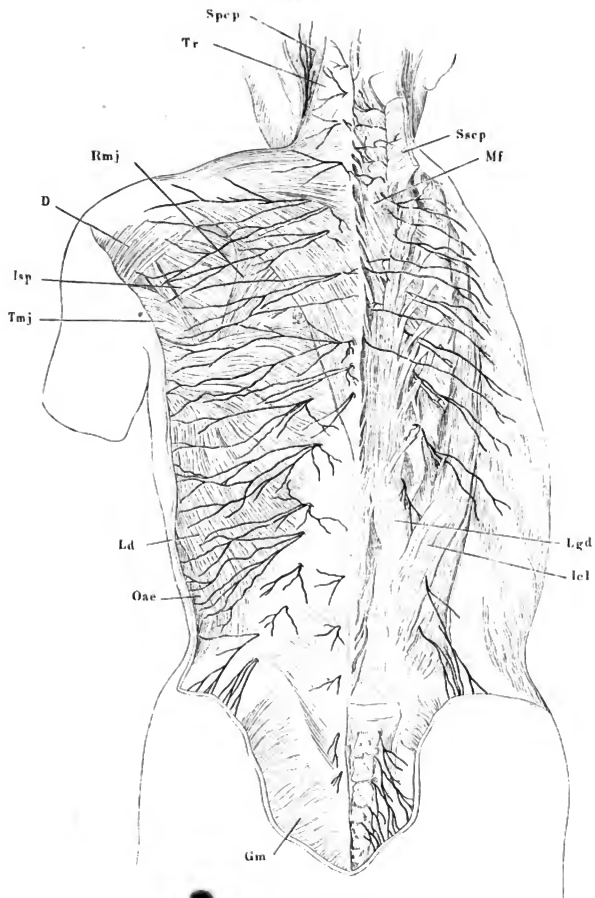


Fig. 1. Wurzeln und peripherische Aeste des Plexus cruralis.

Fig. 2. Kurze Nerven des Plexus cruralis. Die Bauchwand nach aussen umgeschlagen und dicht über der Leistenbeuge abgeschnitten. Die Haut der Vorderfläche des Oberschenkels der Länge nach gespalten und theils lateralwärts umgeschlagen, theils abgetragen.

- cl* N. cutaneus lateralis.  
*cr* N. cruralis.  
*ih* N. ilio-hypogastr.  
*ii* N. ilio-inguinalis.  
*Ip*<sup>1</sup> *Ip*<sup>2</sup> Medialer und lateraler Kopf des M. iliopsoas. *Ip*\* Eine abgeschnittene und zurückgeschlagene Ursprungszacke des ersteren.  
*L*<sup>1</sup> — *L*<sup>5</sup> 1ster bis 5ter N. lumbar.  
*li* N. lumbo-inguinalis.  
*obl* N. obturatorius.  
*ql* M. quadrat. lumbor.  
*se* N. spermat. ext.  
 1 Vasa cruralia.  
 2 Samenstrang.  
 3 V. saphena magna.  
 4 Incisura falciformis.  
 \* Muskelast.  
 \*\* Gefässnerve der A. cruralis.

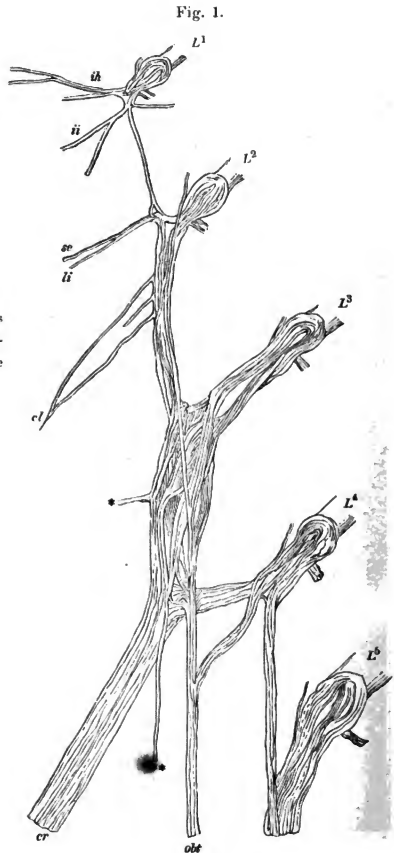




Fig. 2.

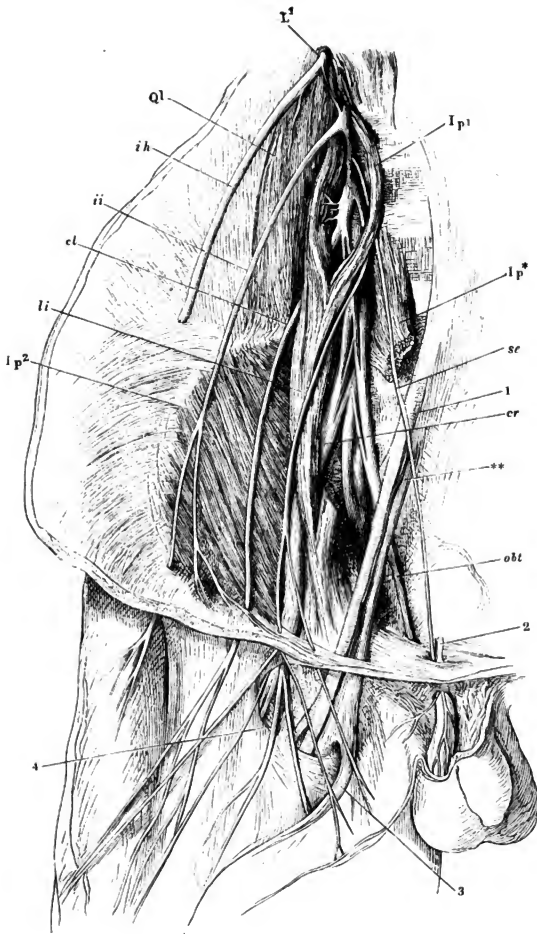


Fig. 1. Verästelung der Nn. cutaneus lateralis und cruralis. Die Haut des Oberschenkels an der Vorderfläche desselben der Länge nach gespalten und mit den Hautnerven nach beiden Seiten zurückgeschlagen. \* Ein die V. saphena begleitender Hautast.

Fig. 2. Verästelung des N. obturatorius. Mediale Fläche des Oberschenkels. \* Hautast des R. obturatorius.

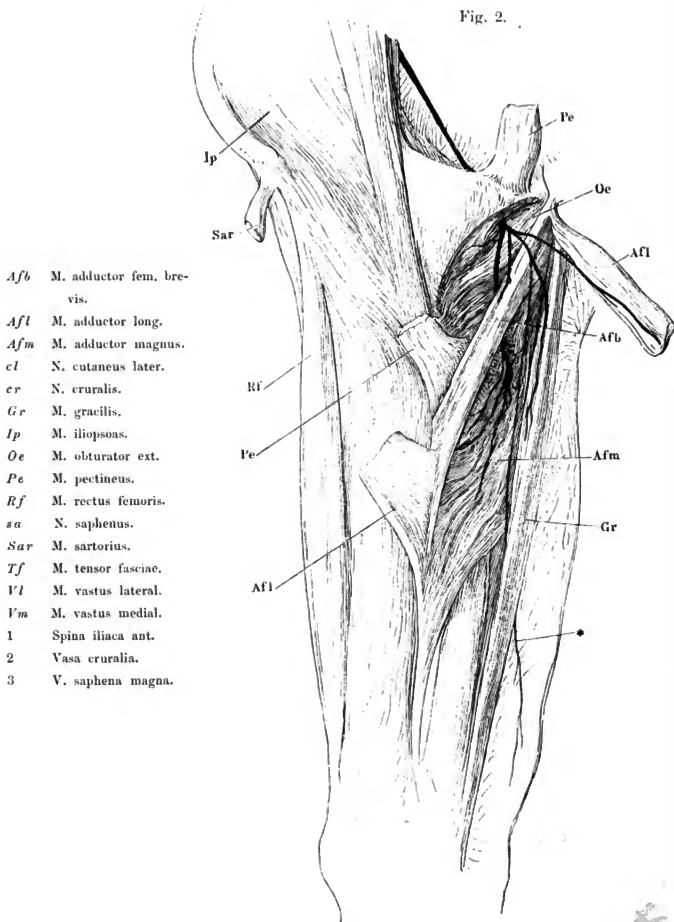


Fig. 1.

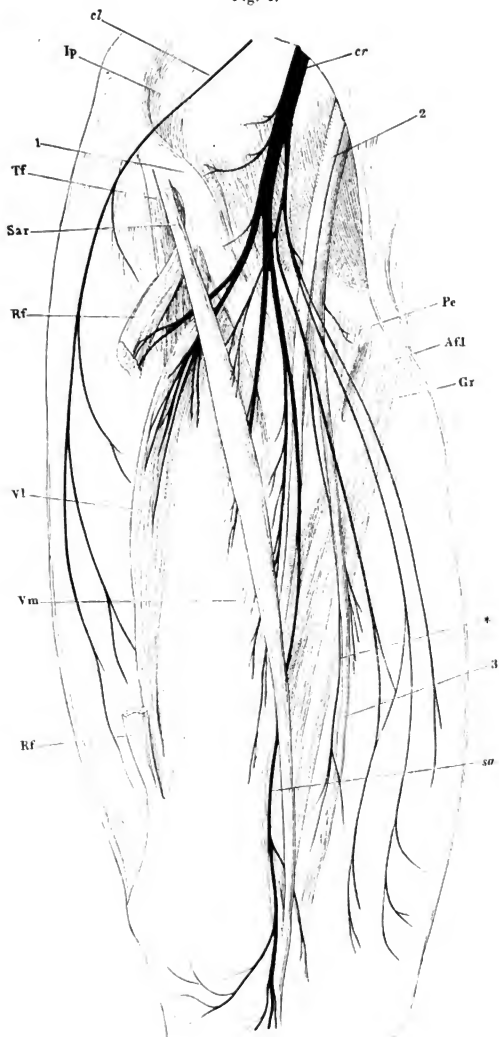


Fig. 1. Rechte Beckenhälfte von innen mit dem Plexus sacralis. 1 Schambein-synchondrose, 2 Harnblase, 3 Rectum, beide abwärts geschlagen.

Fig. 2. Kurze Nerven des Plexus sacralis an der Aussenseite des Beckens. *Mm.* gluteus max. und medius zurückgeschlagen, *M. pyriformis* entfernt. *Lig. sacrotuberos.* durchschnitten und zurückgeschlagen. 1 Trochanter maj., 2 Afteröffnung, 3 Scrotum, an der rechten Seite geöffnet, der Testikel herausgenommen.

- Afm* *M. adductor fem. magnus.*  
*Bc* *M. bulbocavernosus.*  
*C'* *M. coccygeus.*  
*C<sup>0</sup>* *N. coccygeus,*  
*cp* *N. cutaneus post.*  
*dp* *N. dorsalis penis.*  
*FF'* Beugemuskeln des Unterschenkels.  
*Gm* *M. gluteus max.*  
*Gmd* *M. gluteus medius.*  
*Gmi* *M. gluteus minimus.*  
*gi* *N. gluteus inf.*  
*Gr* *M. gracialis.*  
*gs* *N. gluteus sup.*  
*he* *N. haemorrhoid. ext.*  
*lc* *M. ischiocavernosus.*  
*isc* *N. ischiad.*  
*L* *M. levator ani.*  
*L<sup>4</sup>L<sup>5</sup>* 4ter u. 5ter Lumbarnerve.  
*Oi* *M. obturator int.*  
*P* *M. pyriformis.*  
*pe* *N. perineus.*  
*Qf* *M. quadrat. femoris.*  
*S* *M. sphincter ani.*  
*S<sup>1</sup>S<sup>5</sup>* 1ster und 5ter Sacral-  
 nerve.  
*spo* *Nn. scrotales postt.*  
*st* *Lig. sacrotuberosum.*  
*Tf* *M. tensor fasciae.*  
*Tp* *M. transvers. perinei.*

Fig. 1.

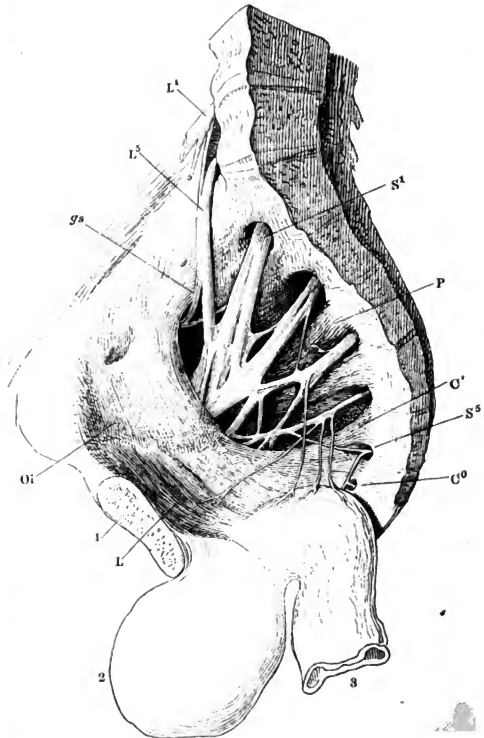


Fig. 2.

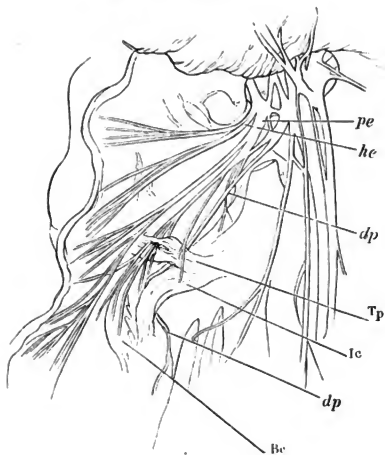
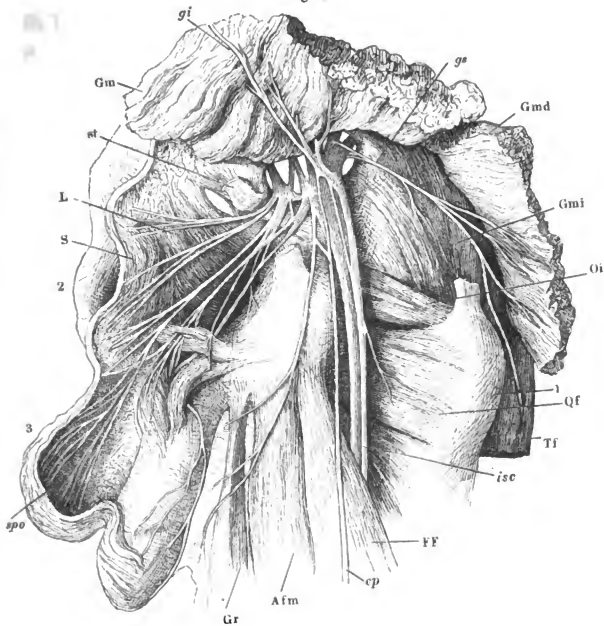


Fig. 1. Verästelung des N. ischiad. am Oberschenkel nebst den Hautnerven des Unterschenkels. Hintere Fläche der untern Extremität. M. semitendinosus in der Nähe der Insertion durchschnitten, das obere Ende umgelegt. Haut der Wadegegend in der Mitte der Länge nach gespalten und nach zwei Seiten zurückgeschlagen.

Fig. 2. Verästelung des N. peroneus. Vorderfläche des Unterschenkels und Rückenfläche des Fusses.

---

<i>Afm</i>	M. abductor fem. magn.
<i>ags</i>	N. articularis genu sup.
<i>Bfb</i>	M. biceps fem. brev.
<i>Bfl</i>	M. biceps fem. long.
<i>cpe</i>	N. communicans peron.
<i>cpm</i>	N. cutaneus cruris post. med.
<i>cti</i>	N. communicans tibialis.
<i>Edb</i>	M. extensor dig. brevis.
<i>Edl</i>	M. extensor long.
<i>Ehb</i>	M. extensor hallucis br.
<i>Ehl</i>	M. extensor hallucis long.
<i>Gal</i>	M. gastrocnemius lateral.
<i>Gam</i>	M. gastrocnemius medialis.
<i>Gr</i>	M. gracilis.
<i>Peb</i>	M. peroneus brevis.
<i>Pel</i>	M. peroneus longus.
<i>per</i>	N. peroneus, <i>per'</i> oberflächlicher, <i>per''</i> tiefer Ast desselben.
<i>Pla</i>	M. plantaris.
<i>Po</i>	M. popliteus.
<i>sa</i>	N. saphenus.
<i>S</i>	M. soleus.
<i>Sm</i>	M. semimembranosus.
<i>St</i>	M. semitendinosus. <i>St'</i> Dessen In- sertionssehne.
<i>Ta</i>	M. tibialis ant.
<i>ti</i>	N. tibialis.

Fig. 1.

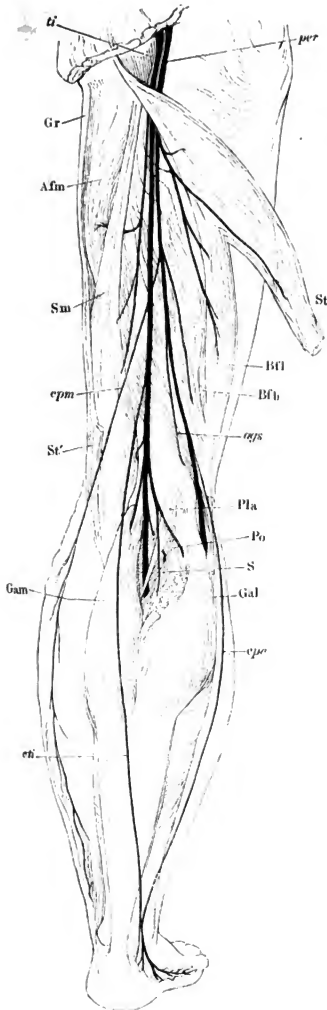
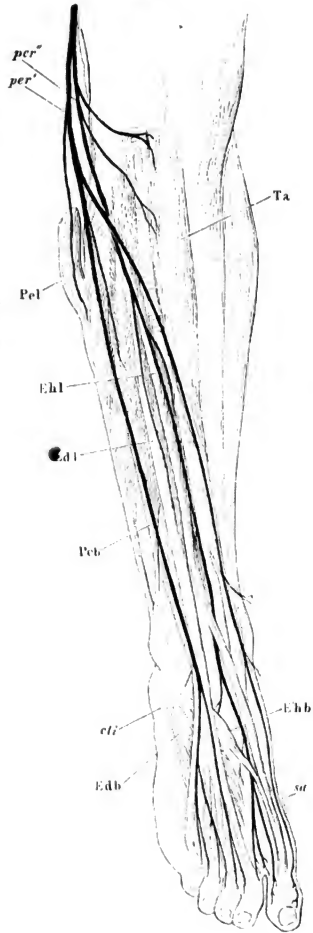


Fig. 2.



- Fig. 1. Verästlung des N. tibialis. Der Unterschenkel mit der hintern Fläche etwas medianwärts gedreht. *M. gastrocnemius medial.* am Ursprung durchschnitten und nebst dem von der Tibia abgelösten *M. soleus* zurückgeschlagen. *M. abductor hallucis* durchschnitten und nach zwei Seiten zurückgelegt.
- Fig. 2. Nerven der Fußsohle. Aus dem *M. flexor dig. br.* ist ein Stück ausgeschnitten, der Ursprung rückwärts gebogen. *Mm. abductores hallucis* und *dig. quinti* am Ursprung durchschnitten und zur Seite gelegt.

- 
- Abh* *M. abductor hallucis.*  
*Abq* *M. abductor dig. quinti.*  
*cpp* *N. cutaneus plantaris propr.*  
*Fdb* *M. flexor digit. brevis.*  
*Fdl* *M. flexor digit. long.*  
*Fdpl* *Plantarer Kopf des M. flexor dig. long.*  
*Fhb* *M. flexor hallucis br.*  
*Fhl* *M. flexor hallucis long.*  
*Fq* *M. flexor dig. quinti.*  
*Gam* *M. gastrocnemius medial.*  
*Ip<sup>3</sup>* *M. interosseus plantaris 3us.*  
*L'* *M. lunbricalis 1us.*  
*lgi* *N. ligamenti interossei.*  
*Pla* *M. plantaris.*  
*pll* *N. plantaris lateralis.*  
*plm* *N. plantaris medialis.*  
*Po* *M. popliteus.*  
*S* *M. soleus.*  
*TA* *Tendo Achillis.*  
*ti* *N. tibialis.*  
*Tp* *M. tibialis post.*  
 \* *Motorischer Ast für den M. flexor dig. br., am Ursprung abgeschnitten.*



Fig. 2.

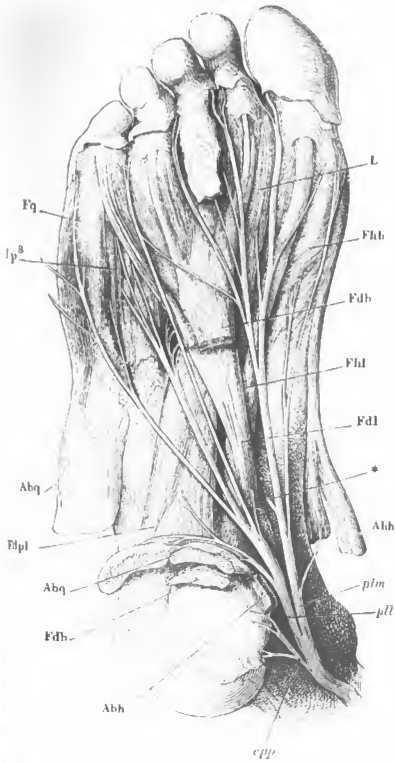


Fig. 1.

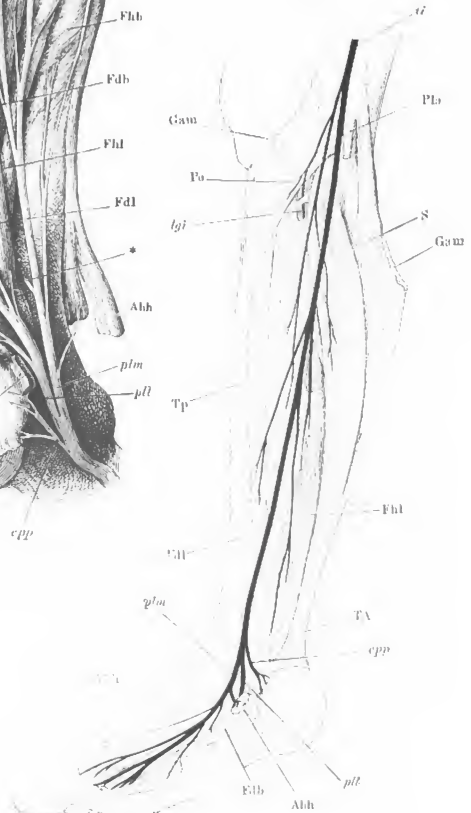


Fig. 1. Wirbelsäule von vorn mit dem rechten Grenzstrange des N. sympathicus.  
1 A. vertebralis, 2 A. subclavia dextra, nach links gezogen.

Fig. 2. Medianschnitt des Kopfs und Halses, rechte Hälfte, von der medialen Fläche. Carotis, Vagus und Grenzstrang des Sympathicus rückwärts gezogen. Canalis carot. geöffnet. 1 Pr. styloideus, 2 Uvula, 3 Spitze des grossen Zungenbeinhorns, 4 Oesophagus, 5 Glandula thyroidea, 6 Wespenbeinhöhle.

---

*c*<sup>1</sup>—*c*<sup>8</sup> N. cervicalis 1us bis 8us.

*Cc* Carotis comm.

*cds* N. cardiacus sup.

*Ce* Carotis ext.

*Ci* Carotis int.

*ci* N. carot. int.

*d*<sup>1</sup> N. dorsalis primus.

*dh* R. descendens hypoglossi.

*Gcs* Ggl. cervic. supr.

*j* N. jugularis.

*l* A. lingualis.

*l*<sup>1</sup> N. lumbaris 1us.

*lrs* N. laryngeus sup.

*me* A. maxillaris ext.

*ph* R. pharyngeus vagi.

*s*<sup>1</sup> N. sacralis 1us.

*Sp* M. stylopharyngeus.

*tsu* A. thyroidea sup.

*IX, X, XII* Stämme der Nn. glossophar.,  
vagus und hypogloss.

Fig. 1.

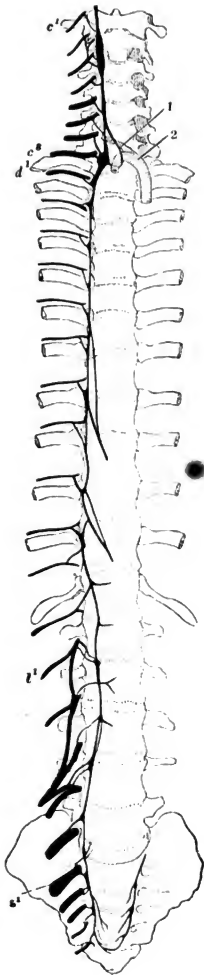
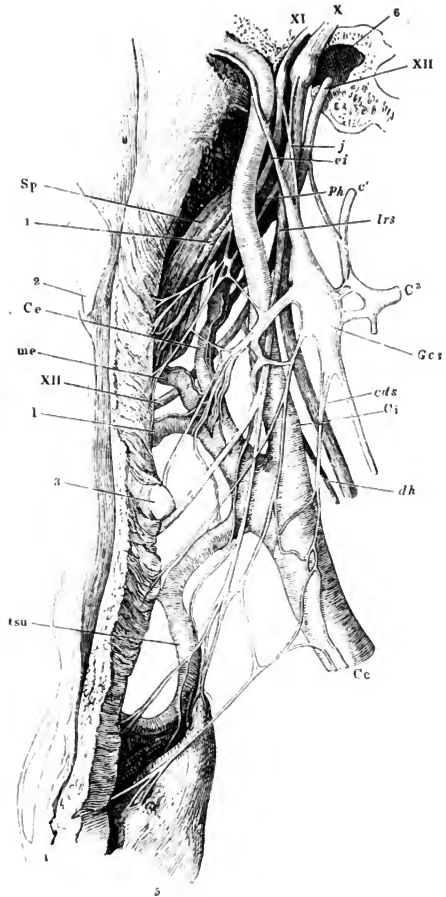


Fig. 2.



- Fig. 1. Carotischer Canal, Pauken- und Augenhöhle, von aussen geöffnet. Plexus carot. und dessen Verbindungen mit dem N. abducens und dem zweiten Aste des Trigemini. 1 Vorhofsfenster. 2 Schneckfenster. 3 Wespenböhle.
- Fig. 2. Sympathische Wurzel des Ggl. ciliare. Die linke Orbita von der lateralen Seite geöffnet. 1 A. carotis int. 2 A. ophthalm.
- Fig. 3. Schädelbasis, lateralwärts neben dem carotischen Canal sagittal durchgeschnitten. Mediale Schnittfläche. Der carotische Canal aufgebrochen, um die Plexus carot. und cavernos. zu zeigen. Stamm des N. trigeminus seitwärts umgeschlagen. Die hintere Spitze des Temporalflügels bis zum For. ovale entfernt. 1 Proc. clinoid. post., abgebrochen. 2 Proc. clinoid. ant., desgleichen. 3 Hypophyse. 4 Carot. int. 5 V. jugul.
- Fig. 4. Vordere Aeste des Ggl. cervic. supr. von der äusseren Seite. 1 Proc. mastoid. 2 Parotis. 3 Proc. styloid. 4 Unterkieferast. 5 Lig. stylo-myloid. 6 Masseter. 7 Gland. carotica.

*ap* A. auricul. post.  
*Cc* Carotis comm.  
*Ce* Carotis ext.  
*Ci* Carotis int.  
*ci* N. carot. int.  
*ct* N. carotico-tymp. an.  
*Gcs* Ggl. cervicale supr.  
*gn* Ggl. nasale.  
*gt* Ggl. temporale.  
*j* N. jugularis.  
*l* A. lingualis.  
*me* A. maxillaris ext.  
*nc* N. nasociliaris.  
*p* Nn. palatini.  
*Pc* Plexus cavernosus.

*ppm* N. petrosus prof. minor.  
*ppmj* N. petrosus prof. major.  
*psmj* N. petrosus superficialis major.  
*Rl* M. rectus oculi lateralis, vom Auge gelöst und abwärts gezogen.  
*Rs* M. rectus oculi sup.  
*so* N. supraorbitalis.  
*Ss* M. sphenostaphylinus.  
*tpa* A. temporalis superfic.  
*tsu* A. thyroidea sup.  
*ll* Rechter, *ll'* linker N. opt.  
*III, VI, VII* 3ter, 6ter, 7ter Hirnnerve.  
*I<sup>1</sup>, I<sup>2</sup>, I<sup>3</sup>* 1ster bis 3ter Ast des N. trigeminus.  
 \* Plexus gangliiformis N. vagi.

Fig. 1.

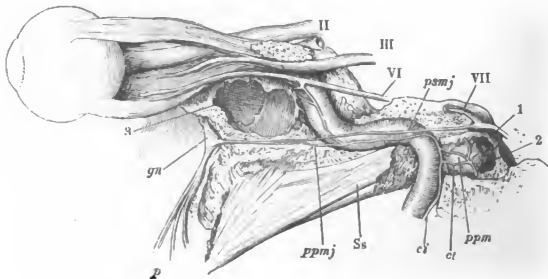


Fig. 2.

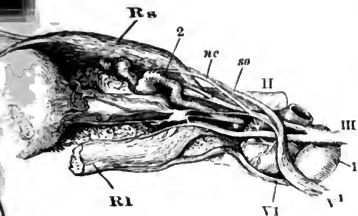


Fig. 4.

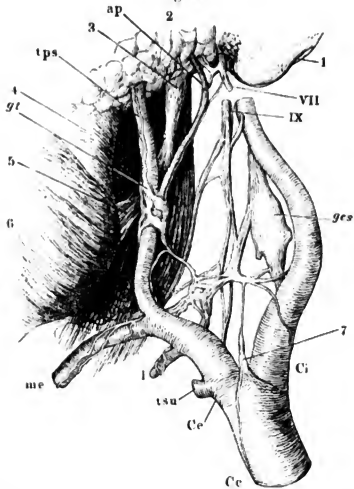


Fig. 3.

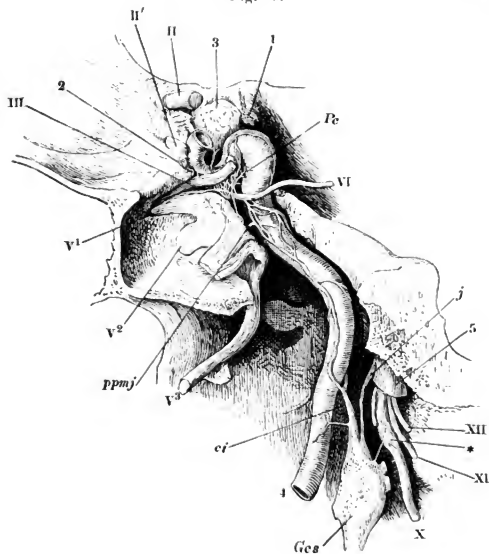


Fig. 1. Hals- und obere Brustwirbel mit dem Zungenbein (1), Kehlkopf (2), Oesophagus (3) und der Trachea (4), dem Grenzstrang des Sympathicus und dem Plexus cardiacus. 5 V. cava sup. am Eintritt in das rechte Atrium abgeschnitten. 6, 6† Aorta, aus welcher der Bogen ausgeschnitten. 7 Auricula dextra, abwärts umgelegt. 8 A. pulmonalis.

Fig. 2. Brust- und Bauchtheil des rechten Grenzstrangs vom Neugeborenen. Nn. splanchnici. 1 Aorta. 2 Vortebrozacke des Zwerchfells.

Fig. 2.

- C<sup>5</sup>* Stamm des 5ten Cervicalnerven.  
*cdi* N. cardiacus inf.  
*cds* N. cardiacus sup.  
*D<sup>1</sup>* Stamm des 1sten Dorsalnerven.  
*Gci* Ggl. cervicale inf.  
*Gcm* Ggl. cervicale medium.  
*Gcs* Ggl. cervicale sup.  
*Gd<sup>1</sup>* *Gd<sup>3</sup>* Ggl. dorsale 1um und 3um.  
*lri* N. laryng. inf.  
*lrs* N. laryng. sup. *lrs'* äusserer Ast desselben.  
*Paa* Plexus aorticus abdominalis.  
*Pcd* Plexus coronarius dexter.  
*Pco* Plexus coeliacus.  
*Pcs* Plexus coronarius sin.  
*spl* N. splanchnicus.  
*X* Stamm des N. vagus.  
 \* Lumbaltheil des Grenzstranges.

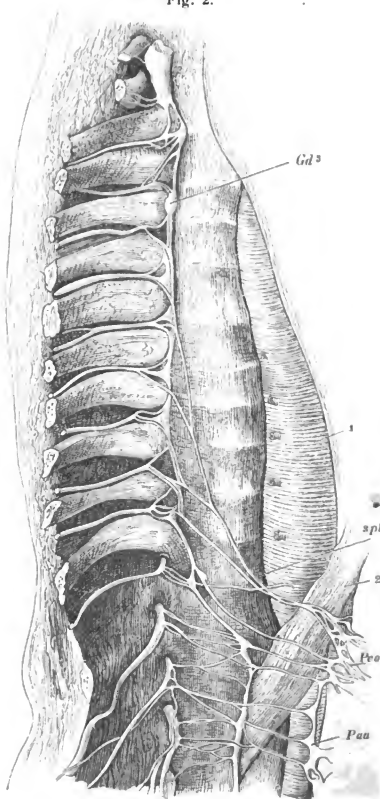
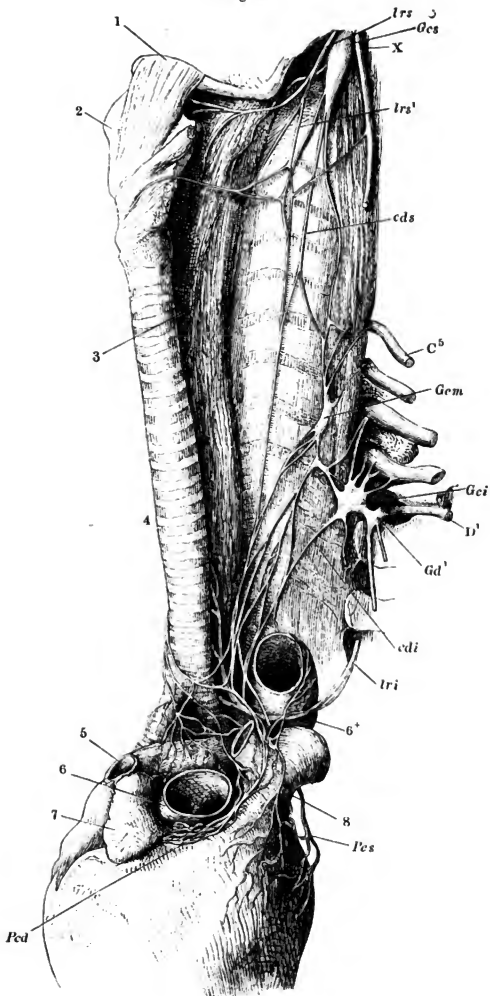


Fig. 1.



- Fig. 1. Bauchwirbelsäule mit den Ursprüngen des Zwerchfells, mit der Aorta abdom. und dem Plexus coeliacus und aorticus abdom. 1 Nebenniere. 2 Stumpf der A. hepat., 3 der A. mesent. sup. 4, 4' Linke und rechte A. renalis. 5 A. mesent. inf., am Ursprung abgeschnitten. 6 Synchondrose zwischen dem fünften Bauch- und ersten Kreuzwirbel. 7, 8 V. und A. anonyma iliaca.
- Fig. 2. Ein Stück Dünndarm mit der Verästelung der A. mesenterica und des Plexus mesentericus.

*c* R. communicans.  
*Gmi* Ggl. mesentericum inf.  
*Gms* Ggl. mesentericum sup.  
*Gph* Ggl. phrenicum.  
*Gr* Ggl. renali-aorticum.

*Gsp* Ggl. splanchnicum.  
*spl, spl'* N. splanchnicus maj. u. minor.  
 \* Grenzstrang des Sympathicus.  
 \*\* Verbindungsast des Grenzstrangs mit dem Plexus aorticus abdominalis.

Fig. 2.

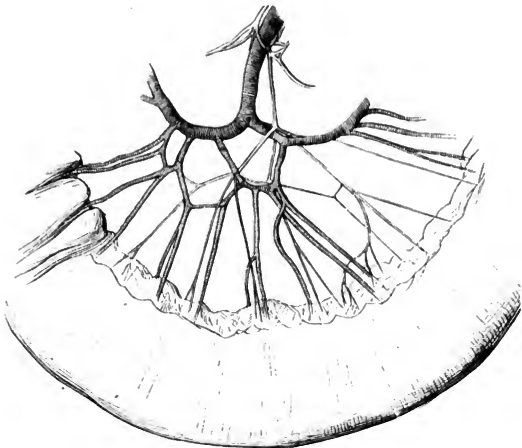
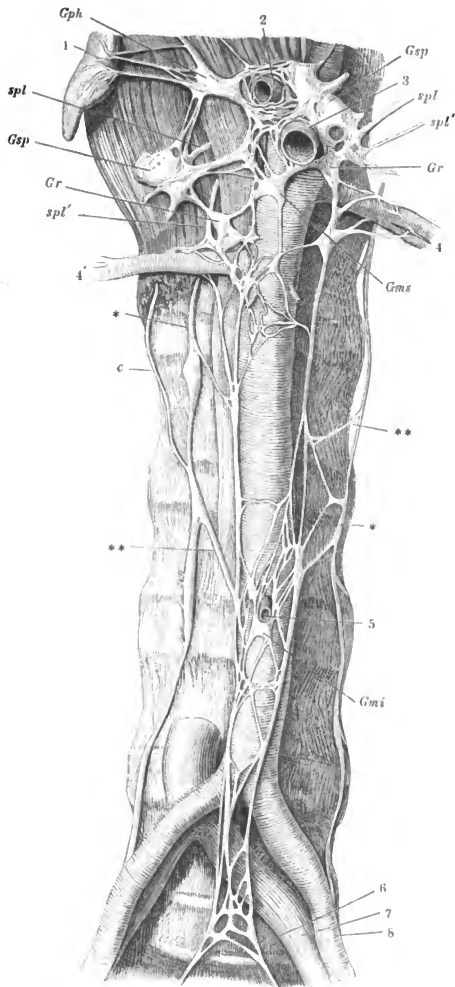




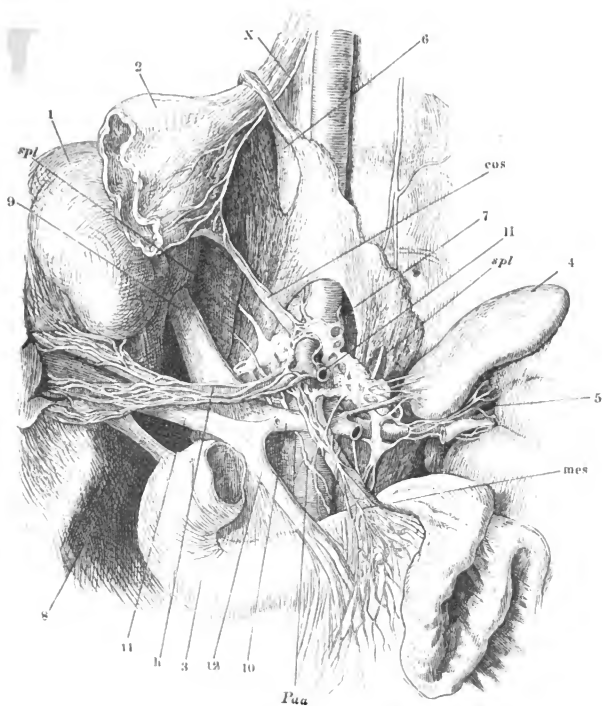
Fig. 1.



Hintere Rumpfwand mit dem Plexus coeliacus und den von demselben ausgehenden Geflechten. Der Vertebraaltheil des Zwerchfells ist aufwärts geschlagen, die Leber (1) zur Seite gelegt, der Magen (2) dicht unter der Cardia durchschnitten und mit dem obern queren Theil des Duodenum entfernt. Pankreas und Milz sind mit den entsprechenden Gefäßstämmen ebenfalls beseitigt. 3 Duodenum, 4 linke Nebenniere, 5 Hilus der linken Niere mit dem peripherischen Stück der V. renalis und der vom Plexus renalis umspinnenen A. renalis. 6 Hiatus oesophageus. 7 Hiatus aorticus des Zwerchfells. 8 Ductus choledochus. 9 V. cava inf. 10 V. renalis, aus welcher, links von der Einmündung der V. suprarenalis, ein Stück ausgeschnitten ist, um den Plexus renalis zu zeigen. 11 V. portarum. 12 V. mesenterica sup., mit welcher sich der Stumpf der V. lienalis zur V. portarum vereinigt.

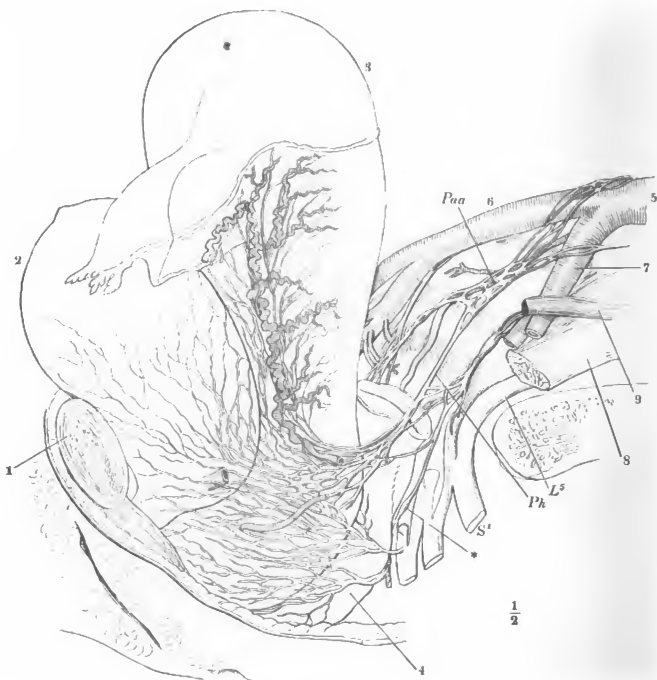
---

<i>cos</i>	A. coronaria ventriculi sin. mit dem gleichnamigen sympath. Geflecht.
<i>h</i>	A. hepatica, ebenso.
<i>li</i>	Stumpf der A. lienalis, ebenso.
<i>mes</i>	A. mesenterica sup., ebenso.
<i>Paa</i>	Plexus aort. abdomin.
<i>spl</i>	N. splanchnicus.
<i>X</i>	Stamm des rechten N. vagus.



Becken einer Neuentbundenen, von der Seite geöffnet. Plexus uterovaginalis.  
 1 Schambeinsynchondrose. 2 Harnblase mit dem kurz abgeschnittenen Ureter. 3 Uterus, der Grand vom Peritoneum bekleidet. 4 Rectum.  
 5 Aorta. 6 rechte, 7 linke A. anonyma iliaca. 8 M. psoas maj.  
 9 Sehne des M. psoas minor.

<i>L<sup>5</sup></i>	Stamm des 5ten Lumbarnerven.	<i>Ph</i>	Plexus hypogastricus.
<i>Paa</i>	Unteres Ende des Plexus aorticus abdomin.	<i>S<sup>1</sup></i>	Stamm des ersten Sacralnerven.
		*	Grenzstrang.



ANATOMISCHER  
HAND - ATLAS

ZUM

GEBRAUCH IM SECIRSAAL

VON

DR. J. HENLE,  
PROFESSOR IN GÖTTINGEN.

---

SECHSTES HEFT:

EINGEW E I D E .

---

BRAUNSCHWEIG,  
DRUCK UND VERLAG VON FRIEDRICH VIEWEG UND SOHN.  
1877.

---

Die Herausgabe einer Uebersetzung in französischer und englischer Sprache,  
sowie in anderen modernen Sprachen wird vorbehalten.

---

VI.

**SPLANCHNOLOGISCHER THEIL.**

---

- Fig. 1. Dickendurchschnitt der Haut der Fingerspitze, parallel den Riffen. 1 Hornschichte, 2 Schleimschichte, \*Stratum lucidum, 3 Papillen, 4 eigentliche Cutis, 5 subcutanes Fettgewebe, 6 Ausführungsgänge der Knäueldrüsen in der Epidermis, 6' dieselben in der Cutis, 7 Knäueldrüsen, 8 Gefässdurchschnitte.
- Fig. 2. Dickendurchschnitt der Haut der Fingerspitze, senkrecht zu den Riffen.
- Fig. 3. Dickendurchschnitt injicirter Haut des Fingers, -die Epidermis durch Maceration getrennt. Gefässpapillen und (aaa) Tastpapillen.
- Fig. 4. Haarbalg mit dem Haar, durch Kochen und Maceration der Kopfhaut isolirt. 1 Haarbalg, 2 Schleimschichte, 3 Hornschichte seiner Epidermis, 4 Haar, 5 Haarpulpa, 6 Haarbalgdrüse, \*Hals des Haarbalgs.
- Fig. 5. Horizontalschnitt (bei herabhängender Hand) des Nagels und Nagelbettes. 1 Unterste Lagen der Hornschichte, 2 Schleimschichte des Nagels, 3 Leisten der Cutis, 4 Cutis.
- Fig. 6. Horizontalschnitt (ebenso) des Seitenfalzes mit dem Nagel, um das Verhältniss der Hornschichte der Epidermis zur Hornschichte des Nagels zu zeigen.
- Fig. 7. Sagittalschnitt der Fingerspitze. Verbindung des Nagels mit der Hornschichte der Epidermis der Fingerspitze. Die einander zugekehrten Flächen des freien Nagelrandes und der Fingerspitze sind mit unregelmässigen, trockenen Epidermisschüppchen bedeckt und rauh, wie auseinander gerissen.
- Fig. 8. Frontaler, der Oberfläche des Nagels paralleler Schnitt durch das Nagelbett. Die Leisten der Cutis zeigen an verdickten Stellen die Querschnitte der Gefässschlingen. Die Zwischenräume der Leisten von der Schleimschichte des Nagels erfüllt.
- Fig. 9. Sagittalschnitt des Nagelfalzes, den Finger in eine rechte und linke Hälfte trennend. Nagelwurzel, die an ihrer dem Knochen zugewandten, hier nach rechts gekehrten Fläche mit einzelnen Spitzen zusammen die theils spitzigen, theils kolbigen Papillen des Nagelbettes eindringt.

Fig. 1.

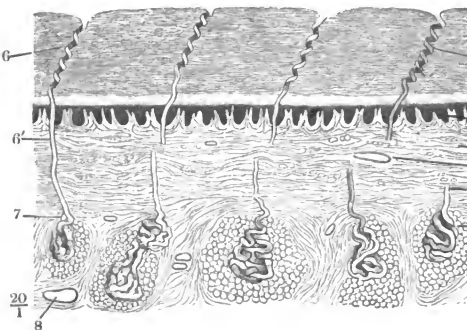


Fig. 8.

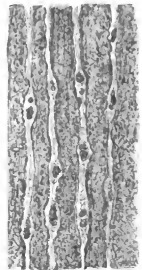




Fig. 7.



Fig. 3.

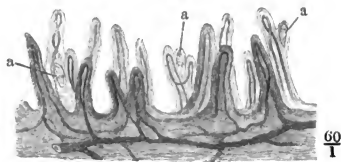


Fig. 4.

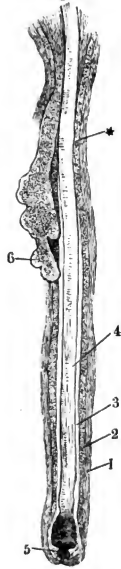


Fig. 2.

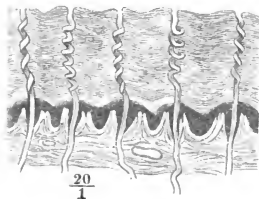


Fig. 5.

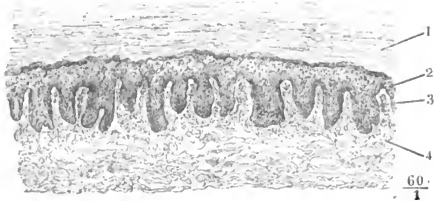
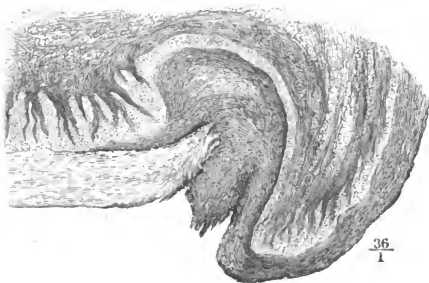


Fig. 9.



Fig. 6.



1\*

- Fig. 1. Medianschnitt des Kopfs links neben der Nasenscheidewand. 1 Mündung der Tuba, 2 Zungenbein, 3 Cart. thyreoidea, 4 M. arytaenoideus, 5 Platte der Cart. cricoidea, 6 Pharynx.
- Fig. 2. Ansicht der Mundhöhle, nachdem durch einen frontalen Schnitt in der Gegend der hinteren Backzähne das Gesicht abgetrennt worden. Die Zunge herabgezogen, der Kopf ein wenig um die verticale Axe nach links gedreht. 1 Sinus sphenoid., 2 Nasenscheidewand, 3 Nasenhöhle, 4 Kieferhöhle, 5 knöcherner Gaumen, 6 Durchschnitt der Wangenschleimhaut, 7 Uvula, 8 Arcus pharyngopalatinus, 9 Durchschnittsfläche des Unterkiefers, 10 Arcus glossopalatinus, 11 Arcus pharyngoepiglotticus, 12 hintere Wand des Pharynx, 13 Epiglottis.
- Fig. 3. Schädelbasis; Ansicht von hinten. Hintere Wand des Pharynx durch einen medianen (verticalen) Schnitt gespalten; die Schnittländer durch Haken zur Seite gezogen. 1 Boden der Schädel- und obere Wand der Nasenhöhle. 2 Nasenscheidewand, 3 Mündung der Tuba, 4 Uvula, 5 Arcus glossopalatinus, 6 Arcus pharyngopalatinus, 7 Gaumen, 8 Arcus pharyngoepiglotticus, 9 Zungenrücken, 10 Epiglottis, durch einen Haken niedergehalten, 11 Ostium pharyngeum laryngis, 12 vordere, den Kehlkopf deckende Wand des Pharynx.
- Fig. 4. Frontalschnitt des Kopfs durch den zweiten Backzahn. 1 Orbita, 2 Sinus maxillaris, 3 Unterkiefer, 4 Gland. sublingualis, 5 M. temporalis.
- Fig. 5. Horizontalschnitt des Schädels eines Fötus durch die Lippencommissur. Untere Schnittfläche. 1 Querschnitt des Unterkieferastes, 2 Proc. artic. occipitis, 3 Dens epistrophei, 4 Spitze der Tonsille, 5 Epiglottis, 6 Unterlippe.

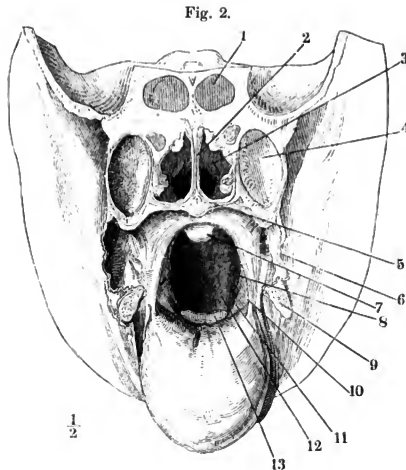


Fig. 5.

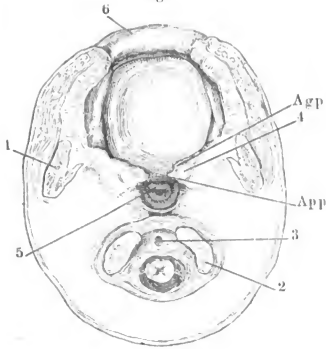


Fig. 3.

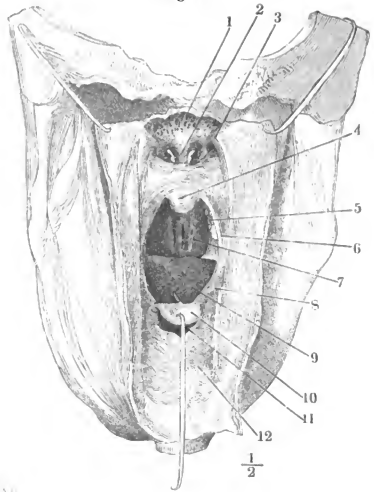


Fig. 4.

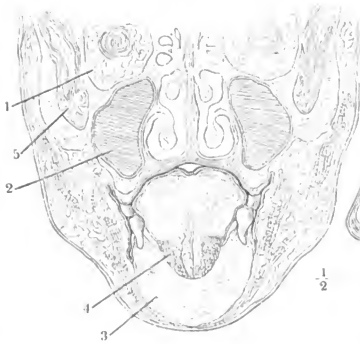
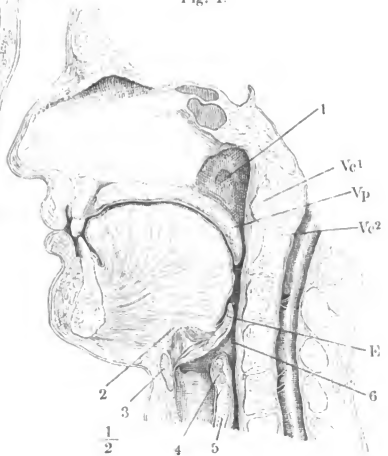
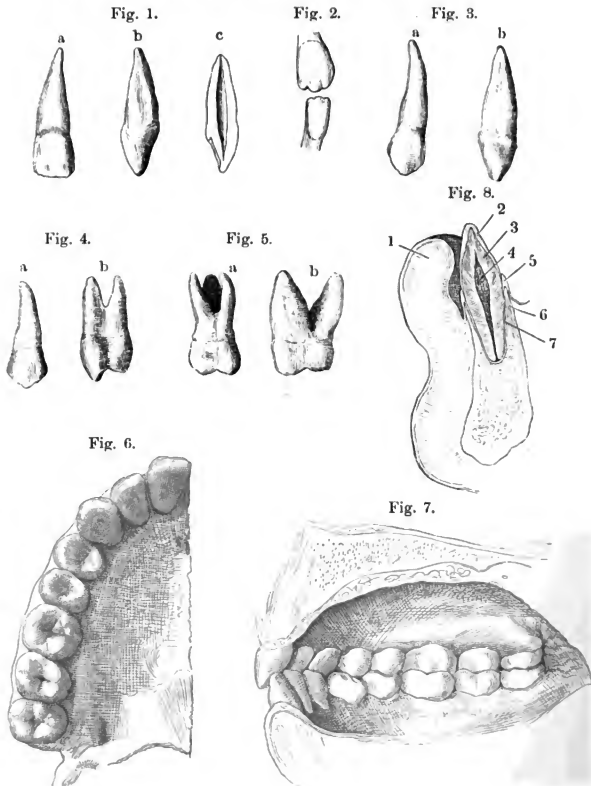


Fig. 1.



*Agp* Arcus glossopalatinus.  
*App* Arcus pharyngopalatinus.  
*Vc<sup>1</sup>*, *Vc<sup>2</sup>* erster, zweiter Halswirbel.  
*Vp* Velum palatinum.

- Fig. 1. Oberer medialer Schneidezahn. *a* von vorn, *b* im Profil, *c* in der Mitte sagittal durchschnitten.
- Fig. 2. Krone der frisch durchgebrochenen Schneidezähne des Ober- und Unterkiefers.
- Fig. 3. Eckzahn
- Fig. 4. Vorderer Backzahn } *a* von vorn, *b* im Profil
- Fig. 5. Hinterer Backzahn }
- Fig. 6. Zahnreihe des Oberkiefers, von der Kaufläche.
- Fig. 7. Mediandurchschnitt der Mundhöhle. Ansicht der geschlossenen Zahnreihen von innen.
- Fig. 8. Sagittaldurchschnitt des Unterkiefers, einen Schneidezahn halbirend. 1 Unterlippe, 2 Schmelz, 3 Dentin, 4 Pulpa des Zahns, 5 Zahnfleisch, 6 knöcherne Wand des Alveolus, 7 Periost desselben.



- Fig. 1. Rechte Hälfte des Rückens einer Zunge, die durch starke fadenförmige Papillen ausgezeichnet ist. 1 Epiglottis, 2 Papillae vallatae, 3 Tonsille, 4 Zungenbalgdrüsen, 5 Papilla foliata.
- Fig. 2. Linke Hälfte der Spitze einer Zunge mit deutlichen Papillae fungiformes.
- Fig. 3. Frontalschnitt der Zunge eines Fötus, dicht hinter der Insertion des Frenulum linguae, um die Verflechtung der Muskelfasern zu zeigen.  
\* Septum linguae.
- Fig. 4. Frontalschnitte der Zunge in ziemlich gleichen Abständen, von der Wurzel *A* gegen die Spitze *E* fortschreitend. Durchschnitte des Septum.

Fig. 1.



Fig. 3.

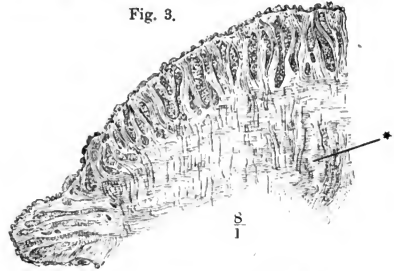


Fig. 2.

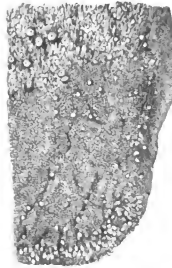


Fig. 4.



Fig. 1. Schädel mit dem Zungenbein, Kehlkopf und Pharynx, von der linken Seite gesehen und dergestalt um die sagittale Axe gedreht, dass die Basis und die Regio submaxillaris sichtbar wird. Die langen Halsmuskeln sind entfernt, von den Mm. mylohyoideus und geniohyoideus nur die Insertionen am Kiefer und am Zungenbein zurückgelassen. 1 Kante der Cart. thyreoidea. 2 Oberes Horn derselben. 3 Spitze des grossen Zungenbeinhorns. 4 Art. lingualis. 5 Kleines Zungenbeinhorn.

Fig. 2. Medianschnitt der Zunge und des Kehlkopfs. † Durchschnitt des Zungenbeinkörpers. \* Septum linguae. 1 Längsmuskelfasern des Zungenrückens. 2 Foramen caecum der Zunge. 3 Drüschichte des Zungenrückens. 4 Epiglottis. 5 Plica ary-epiglottica. 6 Plica thyreoarytaenoidea sup. 7 M. arytaenoideus, Querschnitt. 8 Plica thyreoarytaenoidea inf. 9, 10 Durchschnitt der Cart. cricoidea. 11 Lig. cricothyreoideum. 12 Ventriculus laryngis. 13 Durchschnitt der Cart. thyreoidea.

<i>Cp</i>	M. cephalopharyngeus. <i>Cp</i> <sup>1</sup> der aus dem M. transvers. linguae sich fortsetzende Theil desselben. <i>Cp</i> <sup>2</sup> von der Linea mylohyoidea, <i>Cp</i> <sup>3</sup> vom Lig. pterygomaxillare entspringend.	<i>Pi</i>	M. pterygoid. int.
<i>Gg</i>	M. genioglossus.	<i>Ps</i>	M. petrostaphylinus.
<i>Gh</i>	M. geniohyoideus.	<i>Sg</i>	M. styloglossus. <i>Sg</i> <sup>1</sup> untere, <i>Sg</i> <sup>2</sup> obere Portion, <i>Sg</i> <sup>3</sup> in den M. transv. linguae unbiegende Fasern. <i>Sg</i> <sup>4</sup> Fasern der unteren Portion, zwischen Bündeln des M. hyogloss., in die Tiefe gehend. <i>Sg</i> <sup>5</sup> vom Zungenbeinhorn entspringendes Bündel.
<i>Gh'</i>	Zungenbeininsertion desselben.	<i>sm</i>	Lig. stylomaxillare.
<i>Gs</i>	M. glossostaphylinus.	<i>Sp</i>	M. stylopharyng.
<i>Hg</i>	M. hyoglossus.	<i>Stlh</i>	M. stylohyoid. am Ursprung abgeschnitten.
<i>Hp</i>	M. hyopharyngeus.	<i>Stt</i>	M. sternothyreoid. <i>Stt</i> <sup>1</sup> Direct ans Zungenbein tretende Bündel desselben.
<i>L</i>	M. lingualis.	<i>Th</i>	M. thyreohyoid.
<i>Lp</i>	M. laryngopharyng.		
<i>M</i>	M. masseter.		
<i>Mh</i>	M. mylohyoideus. <i>Mh'</i> Zungenbeininsertion desselben.		
<i>Pe</i>	M. pterygoid. ext.		

Fig. 1.

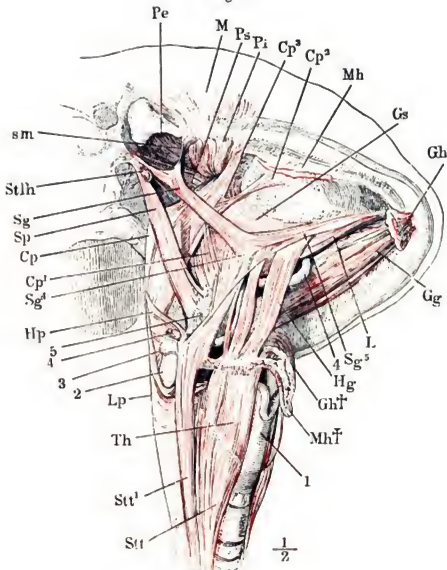
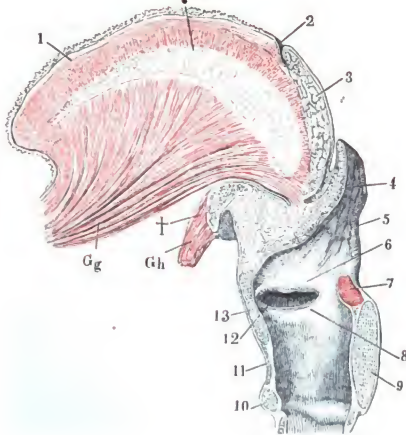


Fig. 2.



- Fig. 1. Zungenbein mit der Zunge, Rückseite. 1 Körper des Zungenbeins. 2 Grosses Horn, 3 Kleines Horn desselben, in das Lig. stylohyoideum, 4, sich fortsetzend. 5 Tonsille.
- Fig. 2. Zungenbein mit der Zunge, untere Fläche, der M. genioglossus vom Unterkieferursprung getrennt, M. geniohyoideus an der Zungenbeininsertion abgeschnitten. 1 Körper des Zungenbeins. 2 Grosses Horn desselben. 3 Art. lingualis, zwischen den Bündeln des M. hyoglossus in die Zunge eintretend.

- 
- Cg* M. ceratoglossus.
- Cp*<sup>1</sup> Der aus dem M. transvers. linguae sich fortsetzende Theil des M. cephalopharyngeus.
- Gg* M. genioglossus.
- Gh* M. geniohyoideus.
- Gs* M. glossostaphylinus.
- Hg* M. hyoglossus.
- Hp* M. hyopharyngeus.
- L* M. lingualis.
- Sg* M. styloglossus. *Sg*<sup>1</sup> untere, *Sg*<sup>2</sup> obere Portion, *Sg*<sup>3</sup> in den M. transv. linguae umbiegende Fasern.
- Tl* M. transversus linguae. *Tl*<sup>1</sup>, *Tl*<sup>2</sup> an das kleine Zungenbeinhorn sich ansetzende Fasern desselben. *Tl*<sup>3</sup> In den M. hyopharyngeus übergehende Fasern.



Fig. 1.

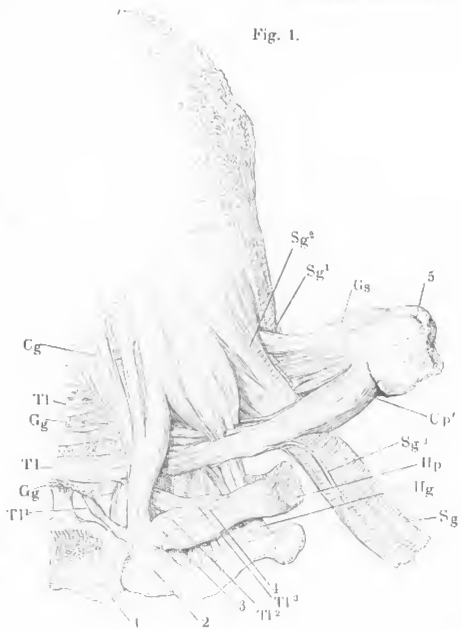
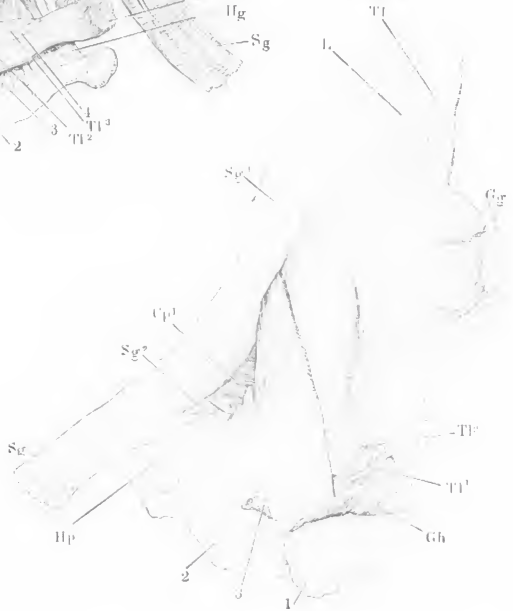


Fig. 2.



- Fig. 1. Schädelbasis, hinter dem Tub. pharyngeum frontal durchschnitten, mit dem Pharynx; Ansicht von hinten. Vom Unterkiefer ist das Mittelstück ausgesägt, wonach die Aeste seitwärts auseinandergezogen sind. 1 Spitze des grossen Zungenbeinhorns. 2 Spitze des oberen Horns der Cart. thyreoidea. 3 Trachea, in gleicher Höhe mit dem Oesophagus quer durchschnitten.
- Fig. 2. Theil der Schädelbasis mit dem Schlund; Ansicht von hinten, um die sagittale Axe etwas links gedreht, der Ast des Unterkiefers entfernt. † Schnittfläche desselben. 1 Cart. thyreoidea, Seitenfläche. 2 Oberes Horn derselben. 3 Trachea. 4 Hamulus pteryg. 5 Oberkiefer. Die Constrictoren des Pharynx mitten zwischen Ursprung und Linea alba des Pharynx durchschnitten und nach zwei Seiten zurückgeschlagen, um die tiefere, longitudinale Muskelschicht desselben zu zeigen.
- Fig. 3. Hinterer Theil des knöchernen Gaumens und Gaumensegels, von unten, nach Entfernung der Schleimhaut. 1 Hamulus pterygoideus.

---

<i>B</i>	M. buccinatorius.	<i>Pi</i>	M. pterygoid. int.
<i>Cm</i>	Kleines Horn des Zungenbeins.	<i>Pla</i>	M. palatostaphylinus.
<i>Cmj</i>	Grosses Horn des Zungenbeins.	<i>Pp</i>	M. palatopharyng.
<i>Cp</i>	M. cephalopharyngeus. <i>Cp</i> <sup>2</sup> Ursprung von der Linea mylohyoidea, <i>Cp</i> <sup>3</sup> vom Lig. pterygomandibulare.	<i>Pts</i>	M. petrostaphylinus.
<i>Gs</i>	M. glossostaphylinus.	<i>Sg</i>	M. styloglossus.
<i>Hg</i>	M. hyoglossus.	<i>sm</i>	Lig. styloaxillare.
<i>Hp</i>	M. hyopharyngeus. <i>Hp</i> <sup>1</sup> Ursprung vom grossen, <i>Hp</i> <sup>2</sup> vom kleinen Zungenbeinhorn, <i>Hp</i> <sup>*</sup> aus der Zunge.	<i>Sp</i>	M. stylopharyng.
<i>Lp</i>	M. laryngopharyngeus. <i>Lp</i> <sup>1</sup> untere, <i>Lp</i> <sup>2</sup> obere, <i>Lp</i> <sup>*</sup> unbeständige tiefere Zacke desselben.	<i>Ss</i>	M. sphenostaphylinus. <i>Ss</i> <sup>1</sup> Schue desselben.
<i>Mh</i>	M. mylohyoid.	<i>Stt</i>	M. sternothyreoid.
		<i>Th</i>	M. thyreohyoid.
		<i>x</i>	Längsfasern,
		<i>y</i>	Ringfasern des Oesophagus.
		*	s. Fig. 1, rechts oben, Bündel des M. petrostaphylinus zum Pharynx.

Fig. 1.

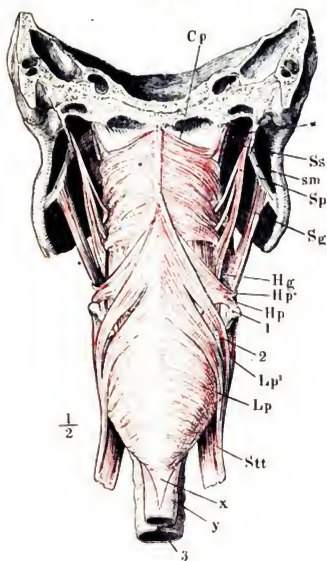


Fig. 2.

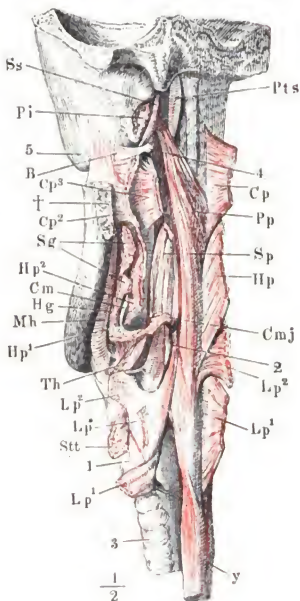


Fig. 3.

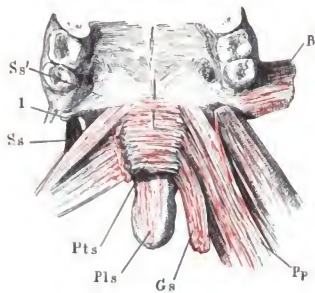


Fig. 1. Schädelbasis, hinter den Choanen frontal durchschnitten, Choanen und Gaumensegel von hinten, mit frei gelegten Muskeln. 1 Knorpel der Tuba. 2 Lumen derselben. 3 Gelenkkopf des Unterkiefers. 4 Hamulus pterygoideus.

- 
- Cp* M. cephalopharyngeus. *Cp*<sup>2</sup> Ursprung desselben von der Linea mylohyoidea, *Cp*<sup>3</sup> vom Lig. pterygomandibulare, *Cp*<sup>4</sup> vom Hamulus pteryg.
- Gs* M. glossostaphylinus.
- Mh* † M. mylohyoid. am Ursprung abgeschnitten.
- Pe* M. pterygoid. ext.
- Pi* M. pterygoid. int. *Pi* † Querschnitt des am Ursprung abgeschnittenen Muskels.
- Pls* M. palatostaphylinus.
- pm* Lig. pterygomandibulare.
- Pp* M. palatopharyng. *Pp*<sup>1</sup> Ursprung desselben vom Tubenknorpel.
- Pts* M. petrostaphylinus. *Pts* † Querschnitt des an der Insertion abgeschnittenen Muskels.
- Ss* M. sphenostaphylinus.



- Fig. 1. Profil des Kopfs. Die Haut der Wangen und Lippen, *M. subcutaneus colli*, *buccinator* und *sphincter oris* sind weggenommen. *Parotis* in situ. *Gland. buccales* und *labiales*.
- Fig. 2. Horizontalschnitt des Schädels dicht unter dem Ohre. 1 Durchschnitt der *Parotis*. 2 *V. facial. post.*, 3 *Carotis facial.*, 4 *N. facial.*, sämtlich im Querschnitt. 5 *Proc. condyloid.* des Hinterhauptbeins. 6 *Proc. styloid.* † Durchschnitt des Unterkieferastes.
- Fig. 3. Unterkiefer- und Zungenbeingegend, nach Entfernung der Haut und des *M. subcutaneus colli*. Die *Fascia suprahyoidea* (6) geöffnet, um die *Submaxillardrüse* (3) in ihrer Lage zu zeigen. \* *Zungenbeinkörper*. 1, 1 *Lymphdrüsen*. 2 *Vasa submentalia*. 4 *Art. max. ext.* 5 *V. facial. ant.* (4', 5' dieselben vor der Durchbohrung der *Fascia suprahyoidea*). 7 *Parotis*, untere Spitze. 8 *Art. carotis ext.* 9 *V. facialis post.* 10 *V. jugularis int.* 11 *Art. sternocleidomastoidea*, kurz abgeschnitten. 12 *N. hypoglossus*. 13 *A. carotis comm.* 14 *Art. thyreoidea sup.*

- 
- Bm* *M. biventer mandib.* *Bm*<sup>1</sup> hinterer,  
*Bm*<sup>2</sup> vorderer Bauch desselben.
- Hg* *M. hyoglossus.*
- M* *M. masseter.*
- Oh* *M. omohyoid.*
- Scm* *M. sternocleidomast.*
- Sg* *M. styloglossus.*
- Stlh* *M. stylohyoid.*
- Stnh* *M. sternohyoid.*
- Th* *M. thyrohyoid.*
- Z* *M. zygomat.*, am Ursprung abgeschnitten.

Fig. 1.



Fig. 2.

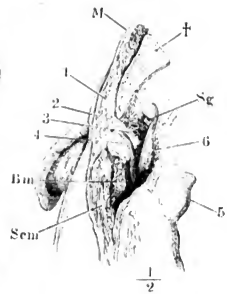


Fig. 3.

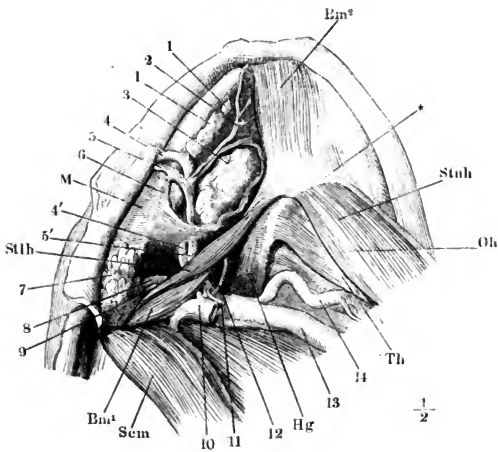


Fig. 1. Unterkiefer- und Zungenbeingegegend, nach Entfernung der Haut und des *M. subcutaneus colli*. Die Submaxillardrüse (3) aus ihrer Umhüllung gelöst, entfaltet und herabgezogen; der vordere Bauch des *M. biventer mandib.*, sowie der *M. mylohyoid.* am Unterkiefer abgeschnitten und zurückgeschlagen. 1 *R. lingualis n. trigemini* mit dem *Ggl. linguale*. 2 *A. sublingualis*. 3' *Duct. submaxillaris*. 4 *Gl. sublingualis*.

Fig. 2. Mediandurchschnitt des Unterkiefers mit der Zunge. *M. genioglossus* in der Mitte durchschnitten und nach beiden Seiten zurückgeschlagen, wonach die Zunge weit vom Unterkiefer abgezogen und der Blick in den Raum zwischen diesem und der Schleimhaut des Bodens der Mundhöhle geöffnet ist. † Durchschnitt des Unterkiefers, \* desgleichen des Zungenbeins. 1 Sublingualdrüse. 2 Drüse der Zungenspitze. 3 *N. lingualis*. 4 *N. hypoglossus*. 5 *Art. sublingualis*. 6 *Duct. submaxillaris*. 7 *Duct. sublingualis*.

---

<i>Bm</i> <sup>1</sup>	Hinterer, <i>Bm</i> <sup>2</sup> vorderer Bauch des <i>M. biventer mandib.</i>
<i>Gg</i>	<i>M. genioglossus</i> . <i>Gg</i> <sup>1</sup> die zurück- geschlagene Zungen-Insertion des- selben.
<i>Gh</i>	<i>M. geniohyoid.</i>
<i>Hg</i>	<i>M. hyoglossus</i> .
<i>L</i>	<i>M. lingualis</i> .
<i>Mh</i>	<i>M. mylohyoid.</i>
<i>Sg</i>	<i>M. styloglossus</i> .
<i>Stlh</i>	<i>M. stylhyoid.</i>
<i>Tl</i>	<i>M. transversus linguae</i> (Querschnitt).



Fig. 1.

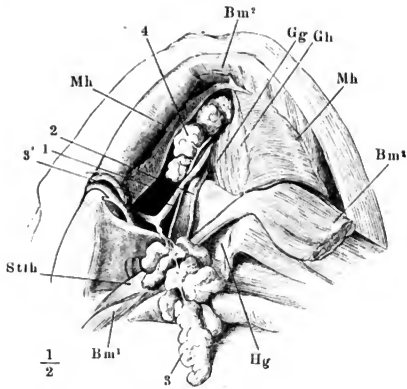
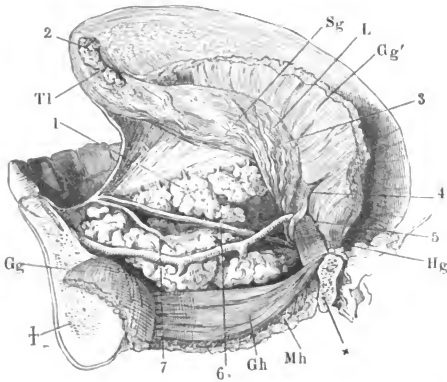


Fig. 2.



*Handwritten text:* (illegible)

- Fig. 1. Schädelbasis mit dem Pharynx, von hinten. Der Schädel mit der rechten Seite abwärts geneigt, die hintere Wand des Pharynx nach rechts zurückgebogen, so dass ein Theil der linken Seitenwand des Pharynx und die linke Wand der Mundhöhle sichtbar wird. *Mm. buccinator* und *cephalo-pharyngeus* sind wegpräparirt, der Unterkieferast durch einen horizontalen Schnitt (†) entfernt. 1 *Gland. buccales*. 2 *Gland. molares*. 3 *Gl. linguales*. 4 Tonsille von aussen. 5 Sublingualdrüse. 6 *Gland. pharyngeae*. 7 *Gl. palatinae*.
- Fig. 2. Horizontalschnitt des Kopfs durch die Commissur der Lippen. Querschnitt der Gaumenbogen und der Tonsille. † Durchschnitt des Unterkiefers. 1 *Parotis*. 2 Fascie, welche die *Parotis* von den tieferen Theilen trennt. 3 *N. auricularis magn.*, 4 *R. pharyngeus N. vagi*, 5 *N. glosso-pharyngeus*, 6 *N. sympath.*, 7 *Carotis int.*, 8 Stamm des *N. vagus*, 9 *N. hypoglossus*, 10 *A. pharyngea adsc.*, 11 *V. jugularis*, sämtliche Nerven und Gefässe quer durchschnitten. 12 Tonsille.
- Fig. 3. Sagittalschnitt des Pharynx durch die Tonsilla *pharyngea* links neben der Medianlinie. Die Medianlinie wird durch die Mündung der *Bursa pharyngea* (\*) bezeichnet. 1 *Sinus sphenoid.* 2 Vorderer Bogen des Atlas. 3 Zahn des *Epistropheus*. 4 *Ostium pharyng. der Tube*.

---

<i>B</i>	<i>M. buccinator.</i>	<i>Pi</i>	<i>M. pterygoid. int.</i>
<i>Bm</i>	<i>M. biventer mandibulae hinterer</i> Bauch, Querschnitt.	<i>Pp</i>	<i>M. palatopharyng.</i>
<i>Cmj</i>	Spitze des grossen Zungenbeinhorns.	<i>Pts</i>	<i>M. petrostaphylinus.</i>
<i>Cp</i>	<i>M. cephalopharyngeus.</i>	<i>Scm</i>	<i>M. sternocleidomast., Querschnitt.</i>
<i>Gs</i>	<i>M. glossostaphylinus, Querschnitt.</i>	<i>Sg</i>	<i>M. styloglossus, Querschnitt.</i>
<i>Hg</i>	<i>M. hyoglossus.</i>	<i>Sh</i>	<i>M. sternohyoid.</i>
<i>Hp</i>	<i>M. hyopharyng.</i>	<i>Sp</i>	<i>M. stylopharyng.</i>
<i>Hpt</i>	Hamulus pterygoid.	<i>Ss</i>	<i>M. sphenostaphylinus.</i>
<i>Lp</i>	<i>M. laryngopharyng.</i>	<i>Stlh</i>	<i>M. stylohyoid., Querschnitt.</i>
<i>M</i>	<i>M. masseter.</i>	<i>Th</i>	<i>M. thyroehyoid.</i>
<i>Mh</i>	<i>M. mylohyoid.</i>	<i>Vp</i>	<i>Velum palatinum.</i>

Fig. 1.

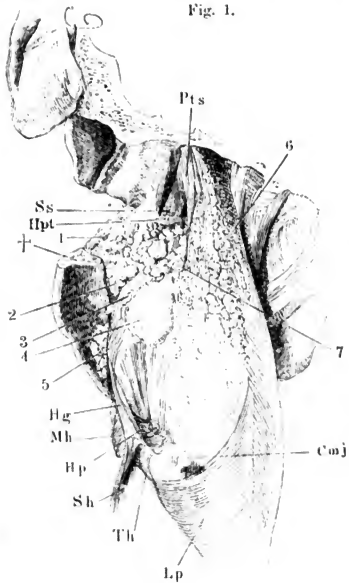


Fig. 2.

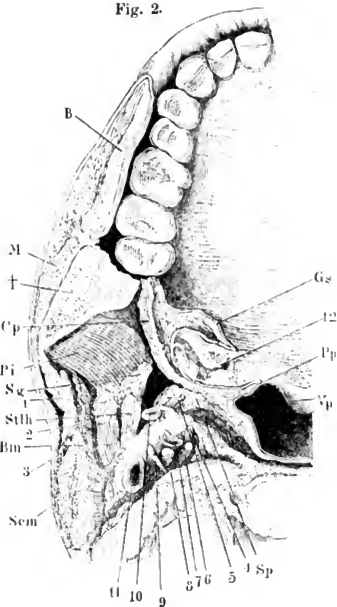
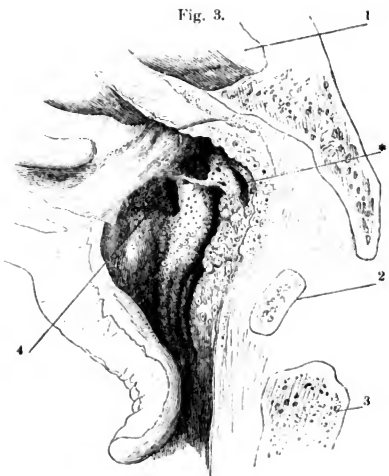


Fig. 3.



- Fig. 1. Kehlkopf und Trachea mit der Glandula thyroidea, von vorn.  
 Fig. 2. Glandula thyroidea mit einem mittlern Lappen (\*).  
 Fig. 3. Zungenbein und Kehlkopfknorpel mit den Bändern, von vorn. \* Platte  
 Zacke der Cart. cricoidea, die die Ursprungsfläche des M. laryngo-  
 pharyngeus vergrößert.  
 Fig. 4. Mit dem Kehlkopfspiegel am Lebenden aufgenommenes Bild des Ost.  
 pharyng. laryngis. 1 Wölbung, dem grossen Zungenbeinhorn entspre-  
 chend. 2 Desgleichen, über dem oberen Horn der Cart. thyroidea,  
 3 über der Cart. cuneiformis, 4 über der Cart. corniculata. 5 Hinterer  
 Einschnitt des Ost. pharyng. laryngis. 6 Hintere Wand des Pharynx.  
 7 Plica thyreo-aryt. inf. 8 Ventr. laryngis. 9 Plica thyreo-aryt. sup.  
 Fig. 5. Rechte Hälfte des median durchschnittenen Kehlkopfs, von innen; die  
 Plica thyreo-aryt. sup. durch einen Faden in die Höhe gezogen, um  
 den Ventr. laryngis zu öffnen. 1 Wulst der Cart. cuneiformis. 2 Rinne  
 hinter demselben. 3 Stimmfalte, durch deren Schleimhaut das vordere  
 elastische Knötchen (4) und der Proc. vocalis der Cart. arytaen. (5)  
 durchschimmern.

<i>A</i>	M. arytaenoides, Querschnitt.	<i>Fe</i>	Frenulum epiglottidis.
<i>Ami</i>	Angulus marg. inf. cart. thyreoid.	<i>h</i>	Zungenbein.
<i>Ape</i>	Arcus pharyngo-epiglotticus.	<i>htm</i>	Lig. hyothyroid. medium.
<i>Ci</i>	Cornu inf. der Cart. thyreoid.	<i>kca</i>	Lig. kerato-cricoideum aut.
<i>co</i>	Cart. corniculata.	<i>ict</i>	Incisura cart. thyreoid.
<i>Cr</i>	Cart. cricoidea. <i>cr'</i> Hinterer Durch- schnitt derselben.	<i>Sp</i>	Sinus pyriformis.
<i>Ct</i>	M. cricothyreoid.	<i>Stt</i>	M. sternothyreoid, oberes Ende.
<i>ct</i>	Ligam. cricothyreoid.	<i>t</i>	Cart. thyroidea.
<i>e</i>	Cart. epiglottica.	<i>Tct</i>	Tuberculum cart. thyreoid.
		<i>Th</i>	M. thyreoideus.

Fig. 4.

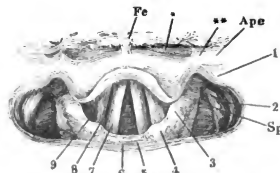
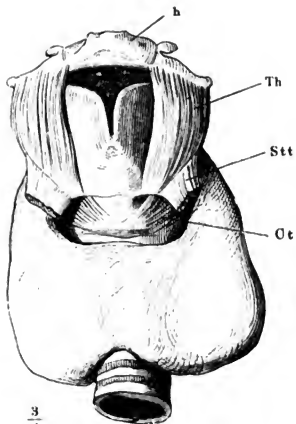


Fig 1.



$\frac{3}{4}$

Fig 3.

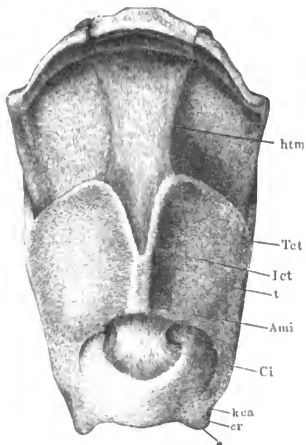


Fig. 2.

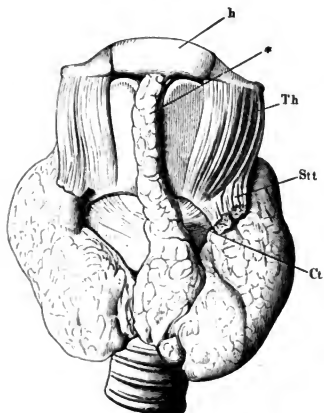
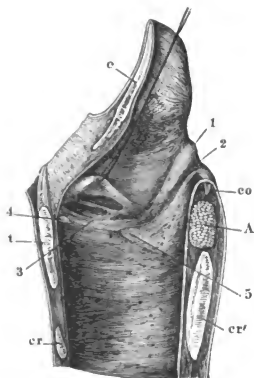


Fig. 5.



- Fig. 1. Cartt. thyreoidea und cricoidea, im Profil.  
 Fig. 2. Kehlkopfknorpel ohne die Cart. epiglottica, von hinten.  
 Fig. 3. Dieselben, vom median durchschnittenen Kehlkopf, Ansicht von innen.  
 Fig. 4. Cart. cricoidea, arytaenoidea und corniculata, im Profil.  
 Fig. 5. Cart. epiglottica, untere Fläche. †† Kiel derselben.  
 Fig. 6. Horizontalschnitt des medianen Theils der Cart. thyreoidea eines Neugeborenen mit den Ursprüngen der Ligg. thyreo-arytaenoidea inf. und der Mm. thyreo-arytaenoidei von einem längsfaserigen, quer durchschnittenen Bindegewebswulst.  
 Fig. 7. Kehlkopfknorpel mit den Bändern, von hinten.

<i>A</i>	M. arytaenoideus, an der Insertion abgeschnitten.	<i>Lp</i>	M. laryngopharyng. Ursprung.
<i>a</i>	Cart. arytaenoid.	<i>Pm</i>	Proc. muscularis (der Cart. arytaen.).
<i>Ami</i>	Angulus marginis inf. der Cart. thyreoidea.	<i>Pv</i>	Proc. vocalis (derselben).
<i>ca</i>	Lig. crico-arytaenoid.	<i>Sat</i>	Superficies articularis thyreoiden.
<i>Cap</i>	M. crico-arytaenoid. post. <i>Cap'</i> Ursprung, <i>Cap''</i> Insertion.	<i>Si</i>	Spina inf. (der Cart. arytaen.).
<i>Ci</i>	Cornu inf. der Cart. thyreoidea.	<i>Ss</i>	Spina sup. (derselben).
<i>cr</i>	Cart. cricoidea.	<i>t</i>	Cart. thyreoidea.
<i>co</i>	Cart. corniculata.	<i>Ta</i>	M. thyreo-arytaenoid.
<i>cs</i>	Cornu sup. der Cart. thyreoidea.	<i>tai</i>	Lig. thyreo-arytaenoid. inf.
<i>e</i>	Cart. epiglottica.	<i>tas</i>	Lig. thyreo-arytaenoid. sup.
<i>h</i>	Zungenbein.	<i>Tct</i>	Tuberculum cart. thyreoid.
<i>he</i>	Lig. hyo-epiglott.	<i>te</i>	Lig. thyreo-epiglott.
<i>htl</i>	Lig. hyothyreoid. laterale.	<i>tr</i>	Cart. triticea.
<i>kcp i</i>	Lig. kerato-cricoid. post. inf.	†	Grube zwischen den Spinæ der Cart. arytaenoid.
<i>kcp s</i>	Lig. kerato-cricoid. post. sup.	*	Platte Zacke der Cart. cricoid.
		**	Mediane Firste der Platte der Cart. cricoid.

Fig. 1.

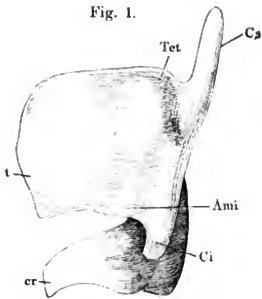


Fig. 2.

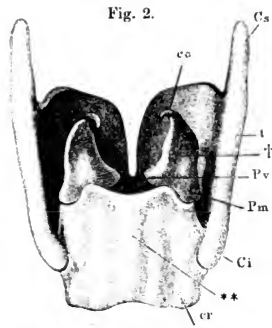


Fig. 3.

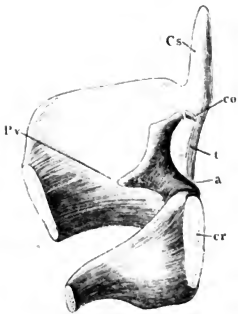


Fig. 4.

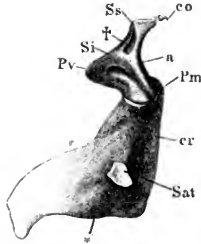


Fig. 5.



Fig. 6.

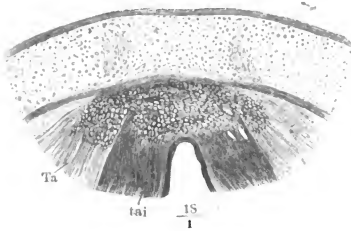
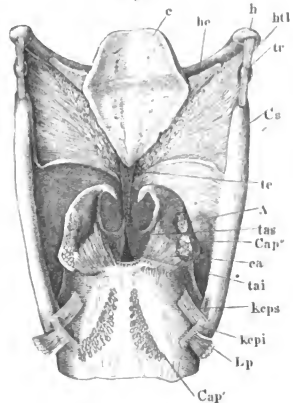


Fig. 7.



- Fig. 1. Zungenbein und Kehlkopf mit den Muskeln von vorn, der *M. cricothyreoid. rect.* linkerseits bis auf Ursprung und Insertion entfernt.
- Fig. 2. Kehlkopf von hinten. Die Schleimhaut des Oesophagus, so weit sie die Muskeln der hinteren Kehlkopfwand deckt, ist nebst einem Theil der äusseren Platte der *Plica aryepiglottica* entfernt; die hintere obere Ecke der linken Lamelle der *Cart. thyreoidea* weggeschnitten. \*Schleimdrüsen. 1, 3 s. Fig. 4.
- Fig. 3. Kehlkopf von hinten, um die verticale Axe etwas nach rechts rotirt. Die Schleimhaut der vorderen Wand des Oesophagus (1) im Zusammenhang mit der äusseren Platte der *Plica ary-epiglottica* von der rechten Seite her zurückgeschlagen. Die rechte Lamelle der *Cart. thyreoidea* exarticulirt und theilweise abgetragen. 2 Ursprung der Längsfasern des Oesophagus. \* Wölbung der Schleimhaut, entsprechend dem linken oberen Horn der *Cart. thyreoidea*.
- Fig. 4. Kehlkopf, Profil. Die linke Platte der *Cart. thyreoidea* exarticulirt und dicht an der Kante abgeschnitten. 1 bis 4 Bündel des *M. thyreo-ary-epiglotticus*.

---

<i>A</i>	<i>M. arytaenoideus.</i>	<i>kcp s</i>	<i>Lig. keratocric. post. sup.</i>
<i>Ape</i>	<i>Arcus pharyngo-epiglotticus, unteres Ende.</i>	<i>Lp<sup>1</sup>, Lp<sup>2</sup></i>	Ursprungszacken des <i>M. laryngo-pharyngeus.</i>
<i>Cal</i>	<i>M. crico-arytaenoid. lateralis.</i>	<i>Pp</i>	<i>M. palatopharyngeus, unteres Ende.</i>
<i>Cap</i>	<i>M. crico-aryt. post.</i>	<i>s</i>	<i>Cart. sesamoidea.</i>
<i>co</i>	<i>Cartilago corniculata.</i>	<i>Sat</i>	<i>Superfic. artic. thyreoidea.</i>
<i>cop</i>	<i>Lig. corniculopharyngeum.</i>	<i>Tae</i>	<i>M. thyreo-arytaenoid. ext.</i>
<i>erp</i>	<i>Lig. cricopharyngeum.</i>	<i>Taep</i>	<i>M. thyreo-ary-epiglotticus.</i>
<i>ct</i>	<i>Lig. cricothyreoid.</i>	<i>Th</i>	<i>M. thyreo-hyoid.</i>
<i>Cto</i>	<i>M. cricothyreoid. obliquus.</i>	<i>tr</i>	<i>Cart. triticea.</i>
<i>Ctr</i>	<i>M. cricothyreoid. rectus.</i>	<i>x</i>	<i>M. kerato-cricoid. (Var.).</i>
<i>cu</i>	<i>Cart. cuneiformis.</i>	<i>xx</i>	<i>M. crico-corniculatus (Var.).</i>
<i>h</i>	Zungenbein.	<i>y</i>	Bündel des <i>M. thyreo-arytaen. ext.</i> zur <i>Cart. corniculata (Var.).</i>
<i>htl</i>	<i>Lig. hyothyreoid. laterale.</i>	<i>z</i>	Varietät des <i>M. thyreo-aryt. ext.</i>
<i>htm</i>	<i>Lig. hyothyreoid. medium.</i>		



Fig. 1.

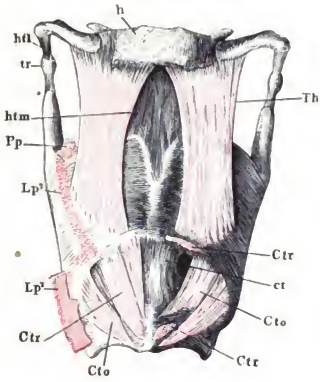


Fig. 2.

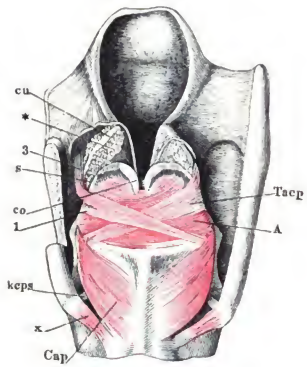


Fig. 3.

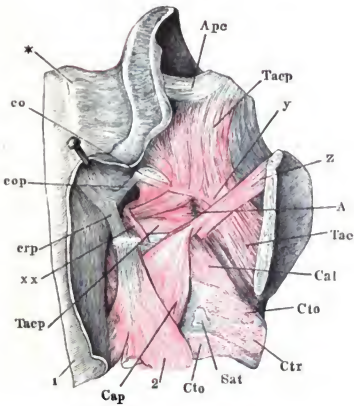
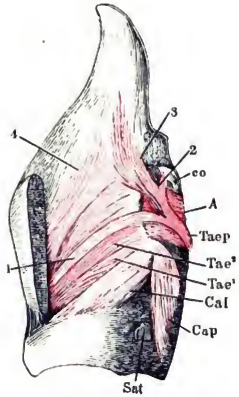


Fig. 4.



- Fig. 1. Kehlkopf, Profil. Die linke Platte der Cart. thyreoides ist bis auf das untere Horn weggenommen, ebenso die Mm. thyreo-arytaenoidei bis auf den Ursprung und die Insertion an der lateralen Fläche der Cart. arytaenoidea. 1 Gland. arytaenoid. 2 Gland. epiglott. 3 Drüsen des Ventriculus laryngis.
- Fig. 2. Hinterer Theil der rechten Hälfte der Cart. thyreoides, von innen, mit der Cart. arytaenoidea und den Insertionen der Muskeln an dieselbe. Die Articulatio crico-arytaenoidea geöffnet.
- Fig. 3. Linke Kehlkopfhälfte, von innen, die Schleimhaut bis zum hinteren Winkel des Ventriculus laryngis (\*\*\*) und bis an die Spitze der Cart. arytaenoidea. \* Innerer Winkel der Cart. arytaenoidea.
- Fig. 4. Horizontalschnitt des Kehlkopfs durch die Basen der Cart. arytaenoidea. \* Elastisches Knötchen am vorderen Ende des Stimmbandes.
- Fig. 5. Frontalschnitt des Kehlkopfs, vordere Hälfte, von innen. Querschnitt der Mm. thyreo-arytaenoidei. 1 Wulst der Epiglottis. 2 Ventriculus laryngis. 3 Sinus desselben. 4 obere, 5 untere Plica thyreo-arytaenoidea.

---

<i>A</i>	M. arytaenoideus.	<i>Sp</i>	Sinus pyriformis.
<i>Cal</i>	M. crico-arytaenoid. lateralis.	<i>t</i>	Cart. thyreoides.
<i>Cap</i>	M. crico-aryt. post.	<i>Tae</i>	M. thyreo-arytaenoid. ext.
<i>co</i>	Cartilago corniculata.	<i>Taep</i>	M. thyreo-ary-epiglotticus.
<i>cr</i>	Cart. cricoidea.	<i>Tai</i>	M. thyreo-arytaenoid. int.
<i>ct</i>	Lig. cricothyreoid.	<i>tai</i>	Lig. thyreo-arytaen. inf.
<i>cta</i>	Lig. crico-thyreo-arytaenoid.	<i>tas</i>	Lig. thyreo-arytaen. sup.
<i>Cto</i>	M. cricothyreoid. obliquus.	<i>Th</i>	M. thyreo-hyoid.
<i>Pe</i>	Proc. vocalis.		
<i>Saa</i>	Superfic. artic. arytaen. der Cart. cricoidea.		



- Fig. 1. Trachea, in der hinteren Mittellinie geöffnet und ausgebreitet.  
 Fig. 2. Knorpel des Kehlkopfs und des oberen Endes der Trachea, in der hinteren Mittellinie geöffnet und ausgebreitet.  
 Fig. 3. Verticalsechnitt der vorderen Wand der Trachea.  
 Fig. 4. Horizontalschnitt der Trachea durch den Rand eines Knorpelrings.

*cr* Cart. cricoidea.  
*t* Cart. thyroidea.  
 1 Knorpel.  
 2 Drüsenschichte.  
 3 Elastische und Schleimhaut der Trachea.

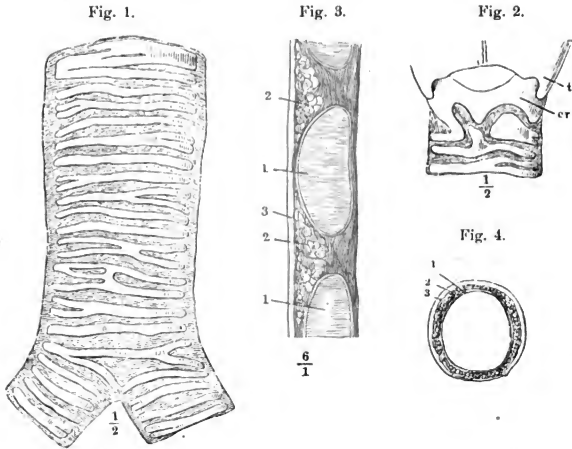


Fig. 1. Sagittalschnitt der Mamma einer Wöchnerin durch die Mitte der Warze (P). 1 Cutis. 2 Panniculus adiposus. 3 Körper der Mamma. 4, 4 kammförmige Vorsprünge desselben. 5, 5 Fettmassen in den Zwischenräumen der Kämme. 6 Milchgänge der Warze. 7 Sinus der Milchgänge, von Milch erfüllt. 8, 8 Durchschnitte von Milchgängen im Centrum der Mamma, von Drüsengewebe umgeben.

Fig. 2. Aeusserere Oberfläche der Mamma einer Wöchnerin. Cutis und Panniculus adiposus sind entfernt. \* Brustwarze. \*\* Areola.

Fig. 3. Ein Theil der äusseren Fläche des Körpers einer weiblichen Mamma, mit den Verästelungen von zwei, mit verschiedenfarbigen Massen injicirten Milchgängen.

Fig. 1.

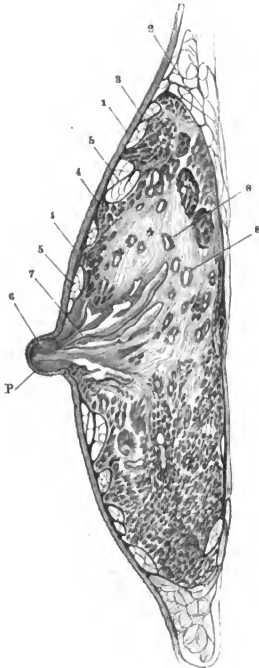


Fig. 2.

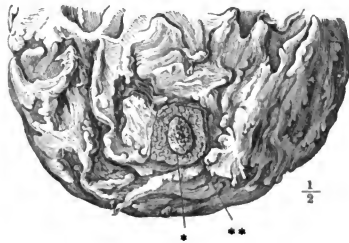
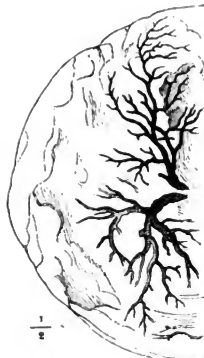
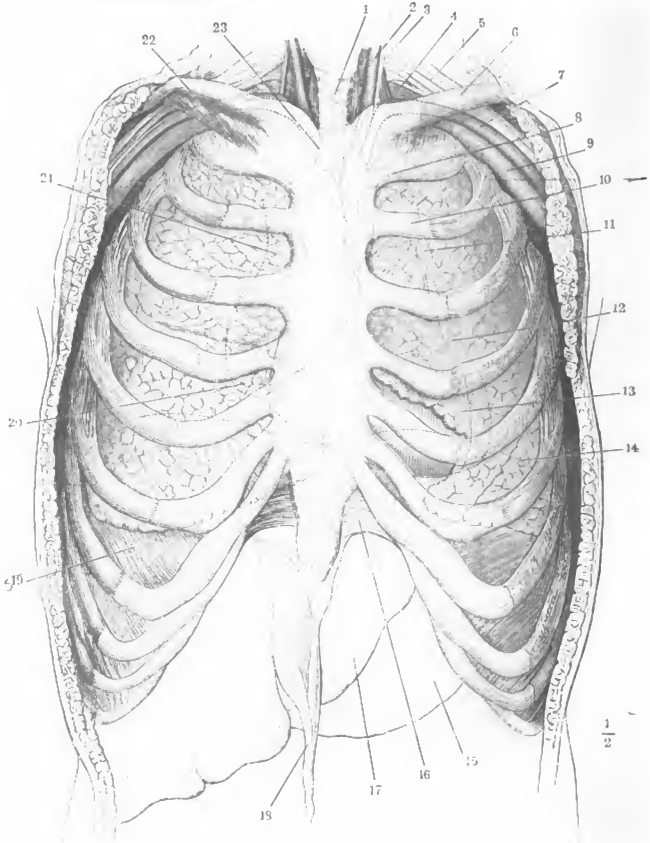


Fig. 3.



Vordere Wand des knöchernen Thorax mit den Lungen. Die rothe Hüllslinie bezeichnet das auf die vordere Brustwand projicirte Herz nebst den grossen Gefässstämmen, die schwarze Hüllslinie (14) den mittleren Stand der höchsten Wölbung des Zwerchfells. 1 Trachea. 2 A. carotis sin. 3 N. vagus. 4 Spitze der Lunge. 5 Plexus brachialis. 6 Schlüsselbein. 7 A. axillaris. 8 Arcus aortae. 9 V. axill. 10 A. pulmonalis. 11 Auricula sin. 12 Linker, 13 rechter Ventrikel. 15 Magen. 16 Lig. costoxiphoid. 17 Leber. 18 Lig. teres derselben. 19 Zwerchfell. 20 Rechtes Atrium. 21 V. cava sup. 22 M. subclavius. 23 A. anony-ma brachiocephal.





- Fig. 1. Horizontalschnitt des Thorax durch den Körper des zweiten Brustwirbels ( $V_2$ ), obere Schnittfläche. Spitze der Pleura. 1 Sternoclaviculargelenk. 2 Gland. thyroidea. 3 Trachea, 4 Oesophagus, 5 Art. subclavia, 6 V. subclavia, sämmtlich im Querschnitt.
- Fig. 2. Rechte Brusthöhle, durch Entfernung eines Theils der Brustwand geöffnet, der Rest der vorderen Brustwand vorwärts abgezogen, die zusammengefallene Lunge rückwärts umgeschlagen. 1 erste Rippe. 2 Stumpf des Schlüsselbeins. 3 N. phren. durch die Pleura schimmernd. 4 Pericardium. 5 Lig. pulmonis. 6 Zwerchfell. 7 Lunge.

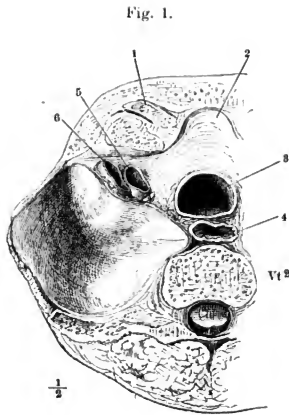




Fig. 2.

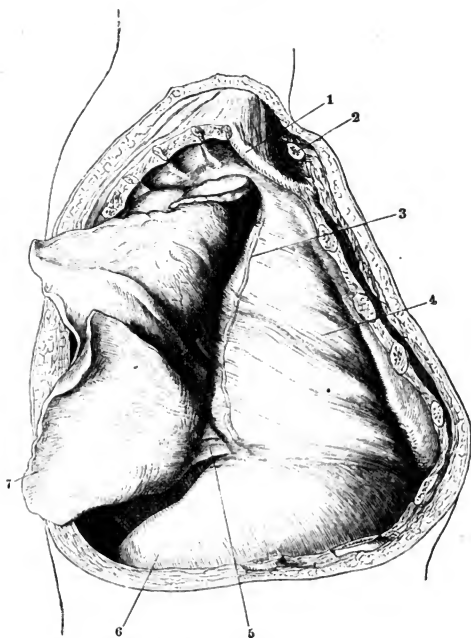


Fig. 1. Rechte Brusthöhle geöffnet, die Lunge an der Wurzel abgeschnitten und entfernt, um die rechte Fläche des Mediastinum zu zeigen.  $C^2$  Knorpel der zweiten,  $C^3$  Knochen der dritten Rippe. 1 N. phrenicus. 2 V. cava sup. 3 V. mamma int. 4 Wölbung des Herzens. 5 Costaltheil des Zwerchfells. 6 V. cava inf. 7 Oesophagus. 8 Centrum tendineum des Zwerchfells. 9 N. splanchnicus. 10 Lungenwurzel. 11 Grenzstrang des N. sympath. 12 V. azygos.

Fig. 2. Brusthöhle eines Neugeborenen, von der rechten Seite her geöffnet, die rechte Lunge (2) vorwärts umgeschlagen. 1 Wirbelsäule. 3 Zwerchfell. 4 Pericardium. 5 Aorta thoracica. 6 Vena azygos, an der Stelle, wo sie sich über den rechten Bronchus biegt, durchschnitten; das vordere Durchschnittsende ist der Lunge gefolgt. 7 Trachea. 8 rechter, 9 linker Bronchus. 10 Bronchialdrüsen. 11 A. bronchialis.

*Bo* M. broncho-oesophageus.

*Po* M. pleuro-oesophageus.

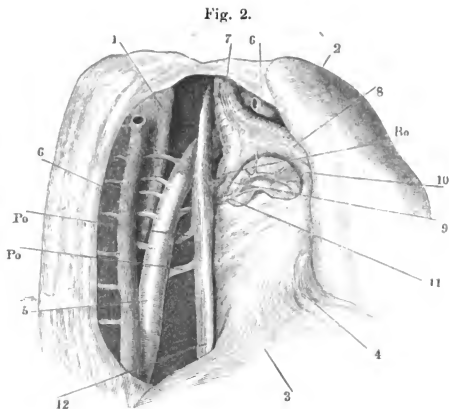
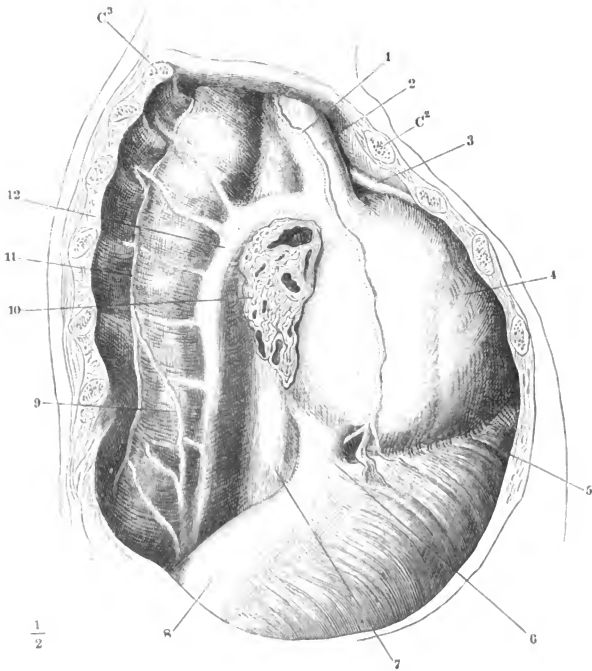


Fig. 1.



Horizontalschnitt des Thorax in der Gegend der Anheftung des Knorpels der fünften Rippe an das Brustbein und durch den zehnten Brustwirbelkörper. Obere Schnittfläche. 1 Vasa mammaria. 2 Viscerales, 3 parietales Blatt des Pericardium. 4 Cavum mediast. ant. 5 Wurzel der Aorta. 6 Wand des linken Ventrikels. 7 Wurzel der Art. pulmonalis. 8 Linkes Atrium mit den Einmündungen der Pulmonalvenen. 9 Pleura costalis. 10 Pl. pulmonalis. 11 Oesophagus, begleitet von den Nn. vagi. 12 Aorta thoracica. 13 Vena hemiazygos. 14 Grenzstrang des linken N. sympathicus. 15 N. splanchnicus sin. 16 Duct. thoracicus. 17 V. azygos. 18 N. splanchnicus dexter. 19 Grenzstrang des rechten N. sympathicus. 20 Cavum mediast. post. 21 Schräg durchschnittene V. pulmonalis. 22 Rechtes Atrium mit der Einmündung der V. cava sup.

C<sub>4</sub> bis C<sub>10</sub> Durchschnitte der vierten bis zehnten Rippe.

P<sub>29</sub> Dorn des neunten Brustwirbels.

S Sternum.

Tta M. transversus thoracis ant. (M. triangularis sterni aut.).

V<sub>10</sub> Durchschnitt des zehnten Brustwirbelkörpers.

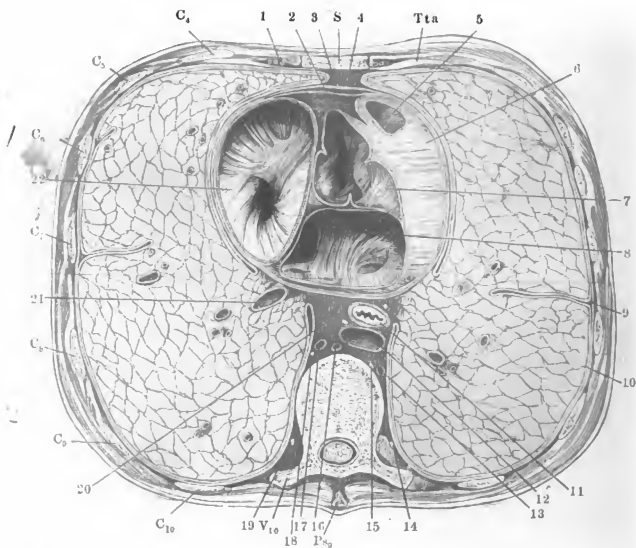




Fig. 1. Brusthöhle des Neugeborenen, von vorn her geöffnet, mit entfalteter Thymus. † Querschnitt des Brustbeingriffs. 1, 1 Lungen, zurückgeschlagen. 2 Herz (das Pericardium ist entfernt). 2' Auricula sinistra. 3 Art. anonyma brachioceph., 4 A. carotis sin., 5 A. subclavia sin. 6, 7 Vena anonyma dextra und sin. 8 V. thyreoidea ima. \* Accessorische Thymus.

Fig. 2. Rechte Lunge eines Kindes, durch Hepatisation starr erhalten, von der inneren Fläche (im Profil) gesehen, dicht am Hilus abgeschnitten.  
\* Furche der Art. subclavia.

*aa* Artt. pulmonales.

*At* A. thymica.

*b* Bronchus.

*l* Lymphdrüsen.

*Li, Lm, Ls* Lobus inf., medius und sup.

*Ma, Mi, Mp* Margo ant., inf. und post.

*P* Anheftungsrind der Pleura.

*VVV* Venae pulmonales.

*Vt, Vt'* Venae thymicae.

Fig. 1.

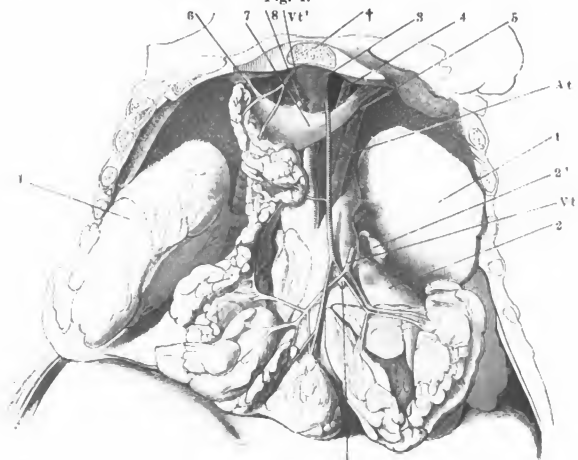


Fig. 2.

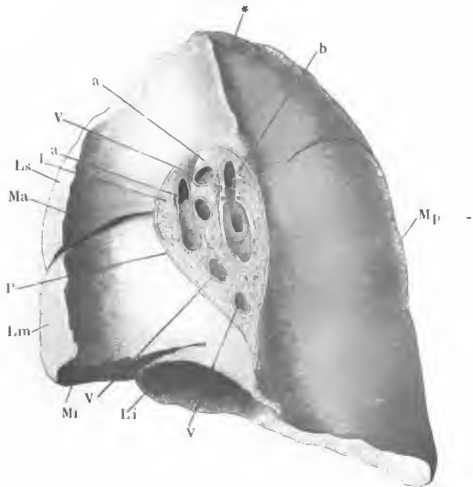


Fig. 1. Geöffnete und ausgebreitete, stärkere Bronchialzweige aus den Lungen, von innen, um die unregelmässigen Knorpelstreifen zu zeigen.

Fig. 2. Abguss terminaler Bronchialäste mit anhängenden Alveolargängen. Corrosionspräparat.

Fig. 3. Feiner, senkrecht zur Oberfläche geführter Durchschnitt aus der Lunge einer jungen Katze. 1 Bronchiolus. 2 Alveolargang.

Fig. 4. Durchschnitt einer aufgeblasen getrockneten Lunge, dicht unter der Oberfläche und parallel derselben, von der Schnittfläche gesehen. Die breiteren Begrenzungen entsprechen den Alveolargängen, die feineren den Alveoli.

Fig. 1.



Fig. 3.

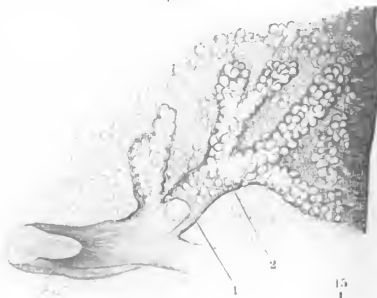
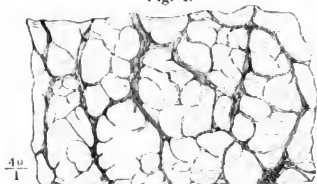


Fig. 2.

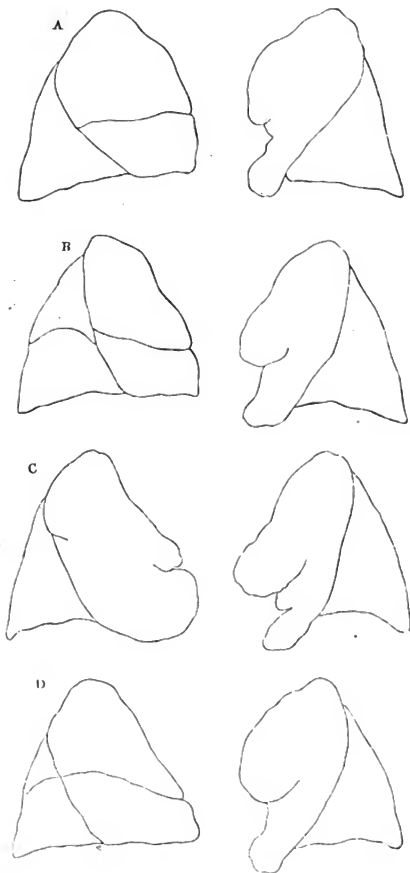


Fig. 4.



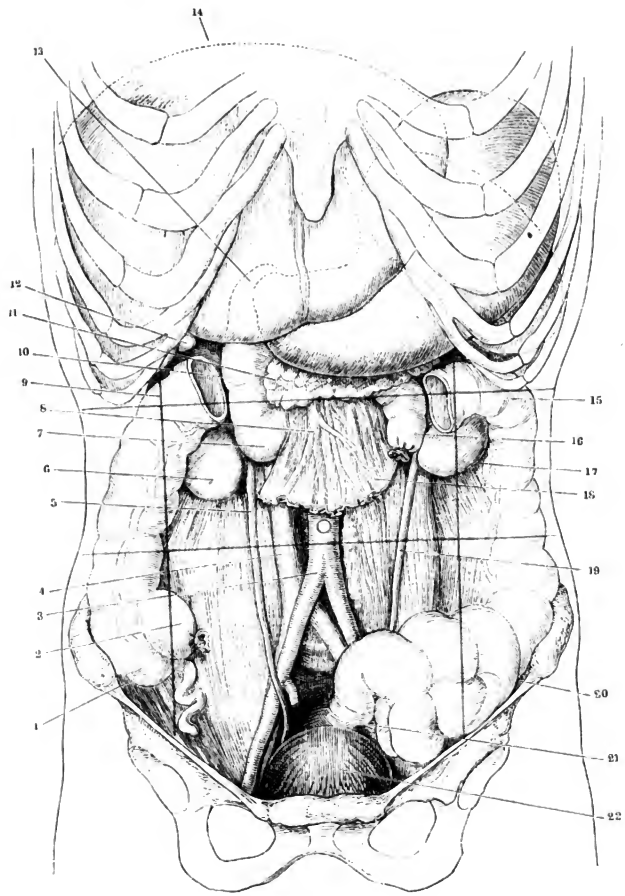


Profilansichten der beiden Lungenflügel vom Fötus. Varietäten der Lappen.

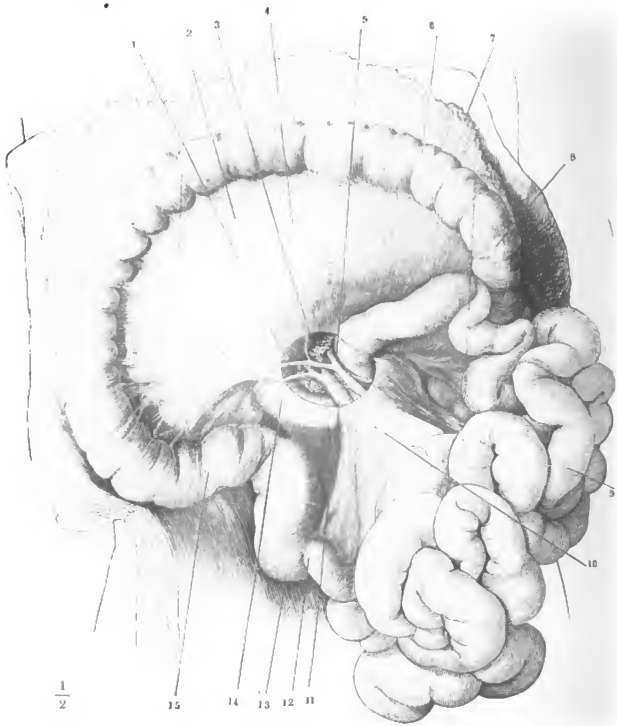


Ansicht der geöffneten Bauchhöhle von vorn. Das Colon transv. mit dem Netz zwischen der rechten und linken Flexur ausgeschnitten, ebenso der Dünndarm mit einem Theil des Mesenterium. Die Hülflinien bezeichnen die Grenzen des Magens, soweit derselbe hinter der Leber und den Rippen verborgen ist, und den Umfang der Milz. Mit rother Farbe sind die Grenzen der Regionen der vorderen Bauchgegend und der Nabel angegeben. 1 Coecum und Proc. vermiformis. 2 Unteres Ende des Ileum. 3 Bifurcation der Aorta abdom. 4 V. cava inf. 5 Rechter Ureter. 6 Untere Spitze der rechten Niere. 7 Untere Flexur des Duodenum. 8 V. mesenterica sup. 9 Rechte Flexur des Colon. 10 Absteigender Theil des Duodenum. 11 Kopf des Pancreas. 12 Grund der Gallenblase. 13 Pylorus. 14 Obere Grenze der Leber. 15 Linke Flexur des Colon. 16 Oberes Ende des Jejunum-ileum. 17 Untere Spitze der linken Niere. 18 Rest des Mesenterium. 19 Linker Ureter. 20 Flexura sigmoidea. 21 Rectum. 22 Harnblase.

---



Ansicht der geöffneten Bauchhöhle, das grosse Netz mit dem Magen aufwärts umgeschlagen, das Jejunum-ileum nach der linken Seite übereinander geschichtet. Aus der Wurzel des Mesenterium ist ein kreisrundes Stück der vorderen Lamelle ausgeschnitten, um die Mesenterialgefässe sichtbar zu machen. 1 A. col. dextra. 2 Durchschimmernde untere Curvatur des Magens. 3 Kopf des Pancreas. 4 Mesocolon transv. 5 A. mesenterica sup. 6 Colon transv. 7 Grosses Netz. 8 Colon sinistr. 9 Jejunum-ileum. 10 Mesenterium. 11 V. mesent. sup. 12 Unteres Ende des Ileum. 13 Coecum. 14 Untere Flexur des Duodenum. 15 Colon dextr.

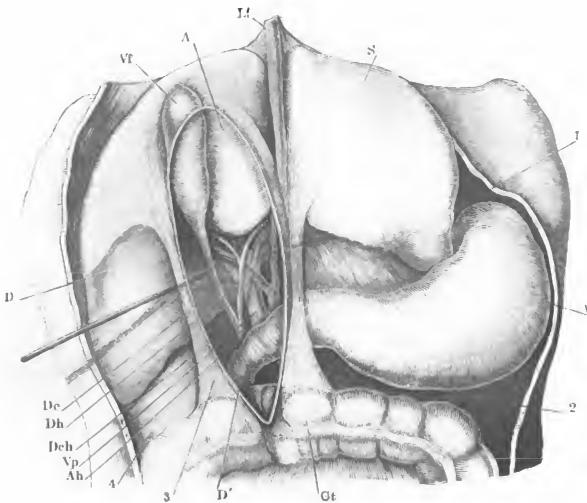


$\frac{1}{2}$

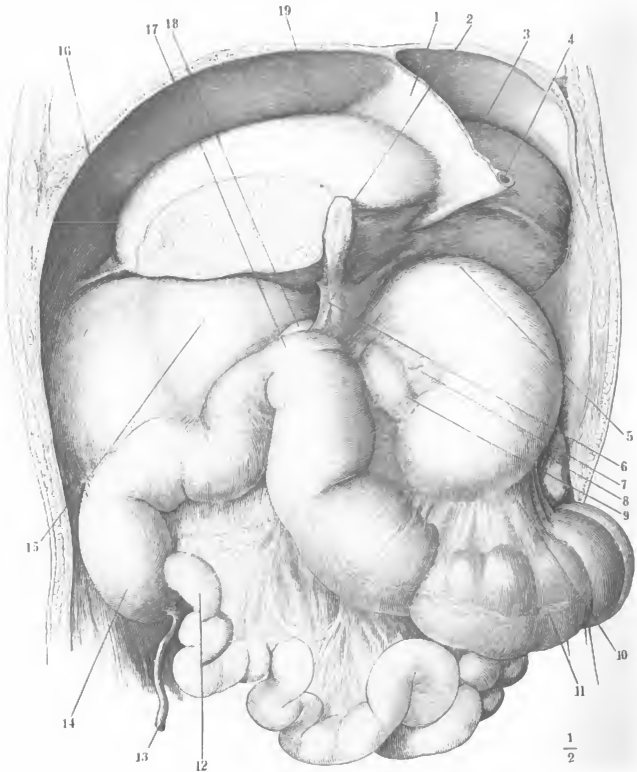
15 14 13 12 11

Oberer Theil der geöffneten Bauchhöhle eines Kindes. Die Leber aufwärts zurückgeschlagen, die Peritonealfalte, in welcher Ausführungsgänge und Gefäße der Leber liegen (Lig. hepatico-duodenale), gespannt, ihr vorderes Blatt durch einen verticalen Schnitt gespalten, während unter das hintere Blatt (durch das sogenannte Foramen Winslow) eine Sonde geschoben ist. 1 Lig. hepatico-gastricum. 2 Lig. hepatico-duodenale. 3 Lig. hepatico-renalē. 4 Lig. hepatico-renalē.

<i>A</i>	Lobus ant. der Leber.	<i>Dh</i>	Ductus hepat.
<i>Ah</i>	Art. hepat.	<i>Lt</i>	Ligam. teres, in seiner Peritonealfalte, dem Lig. suspensorium.
<i>Ct</i>	Colon transversum.	<i>S</i>	Lobus sinister der Leber.
<i>D</i>	Lobus dexter der Leber.	<i>V</i>	Magen.
<i>D'</i>	Duodenum.	<i>Vf</i>	Vesica fellea.
<i>De</i>	Ductus cyst.	<i>Vp</i>	Vena port.
<i>Dch</i>	Ductus choledochus.		



Ansicht der durch einen Frontalschnitt geöffneten Bauchhöhle. Die Leber ist nach links, der Magen sammt der Milz und dem Colon transversum abwärts gezogen, der rechte Lappen der Leber abgetrennt, Alles um das Orificium epiploicum frei zu legen. 1 Lig. suspensorium hepatis, frontal durchgeschnitten. 2 Gallenblase. 3 Linker Leberlappen. 4 Lig. teres hepat. 5 Blindsack des Magens. 6 Lig. hepatico-duodenale. 7 Lig. hepatico-gastricum. 8 Untere Spitze der Milz. 9 Pylorus und Anfang des Duodenum. 10 Mesocolon transv. 11 Colon transv., mit Spuren der Abtrennung des grossen Netzes. 12 Ende des Ileum. 13 Proc. vermiformis. 14 Coecum. 15 Peritonealüberzug der rechten Niere. 16 Lig. triangulare hepat. dextr. 17 Rechte Flexur des Colon. 18 Obere Flexur des Duodenum. 19 Untere vom Peritoneum bekleidete Fläche des Zwerchfells.



Horizontalschnitt der Bauchhöhle eines Neugeborenen, durch den unteren Rand des ersten Bauchwirbels ( $Va^1$ ), durch das Orificium epiploicum und die Bursa omentalis. Obere Schnittfläche. 1 Querschnitt der Aorta abdom. 2 Hinterer Leberlappen, 3 Linke Niere, 4 Lig. phrenico-lienale, 5 Milz, 6 Lig. gastro-lienale, 7 Magen, 8 Pylorus, 9 Lig. suspensorium hepatis, 10 Anfang des Duodenum, sämtlich im Querschnitt. 11 Schnittfläche der Leber, deren überhängender Vorderrand nebst der Gallenblase unterhalb des Durchschnitts fielen. 12 Der schräg durchschnittene Anfang des Ductus cysticus, der sich in der rechten Sagittalfurche rückwärts gegen die Transversalfurche zieht und auf dem Querschnitt des Lig. hepatico-duodenale (13) wieder erscheint. 14 Orificium epiploicum. 15 Scharfer Rand des Lig. hepatico-renale. 16 Rechte Niere. 17 Pancreas. 18 V. cava inf. quer durchschnitten.

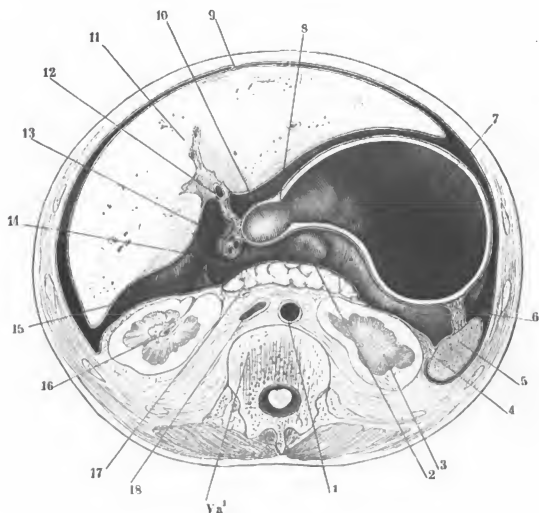


Fig. 1. Ansicht der oberen Baucheingeweide in der durch einen frontalen Schnitt geöffneten Bauchhöhle. 1 Rechte Flexur des Colon. 2 Leber; der vordere Theil durch einen frontalen Schnitt entfernt. 3 Durchschnitt der Gallenblase. 4 Lig. coronarium hep. 5 Pylorus. 6 Durchschnitt des von einer Lebersubstanzbrücke eingeschlossenen Lig. teres. 7 Lig. hepatico-gastricum, welches den hinteren Leberlappen durchscheinen lässt. 8 Lig. triangulare sin. 9 Magen, der Blindsack ist eingedrückt, um die Bänder der Milz sichtbar zu machen. 10 Zwerchfell. 11 Lig. phrenico-gastr. 12 Lig. gastrolienale. 13 Milz, nach Abtrennung des vorderen Randes und der unteren Spitze. 14 Lig. phrenico-lienale. 15 Lig. phrenico-colicum. 16 Colon transvers., durch das grosse Netz durchschimmernd. 17 Lig. gastro-colicum. 18 Grosses Netz.

Fig. 1.

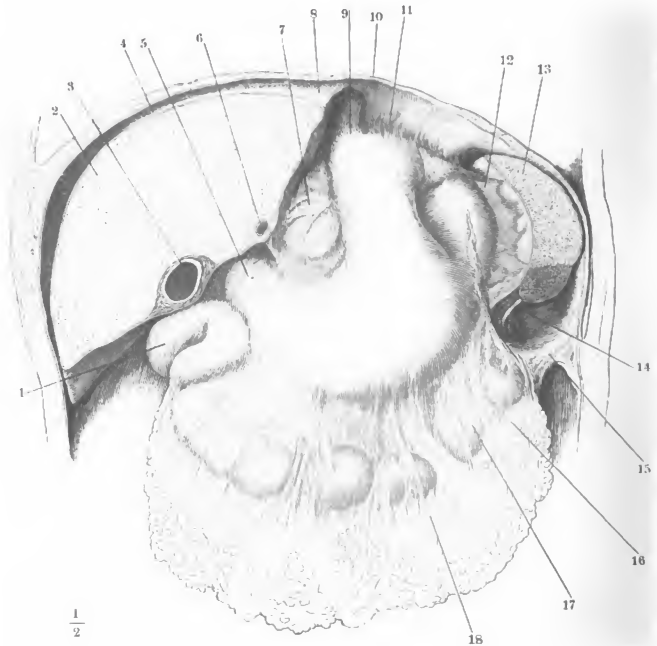

 $\frac{1}{2}$



Fig. 2. Bursa omentalis, vermittelt eines transversalen Schnitts durch das Lig. gastrocolicum (††) geöffnet, mit aufwärts umgelegtem Magen. Eine Sonde durch das Orificium epiploicum eingeführt. 1 Rechter Leberlappen, untere Fläche. 2 Gallenblase. 3 Hintere Magenwand. 4 Hintere Lamelle des Lig. hepatico-gastr. 5 Hinterer Leberlappen. 6 Pancreas. 7 Milz, wie Fig. 1. 8 Von der Bursa omentalis bekleidete Fläche der Milz. 9 V. lienalis. 10 Colon transv. 11 Grosses Netz. 12 Vordere Lamelle des Mesocolon transv. 13 Erste Flexur des Duodenum.

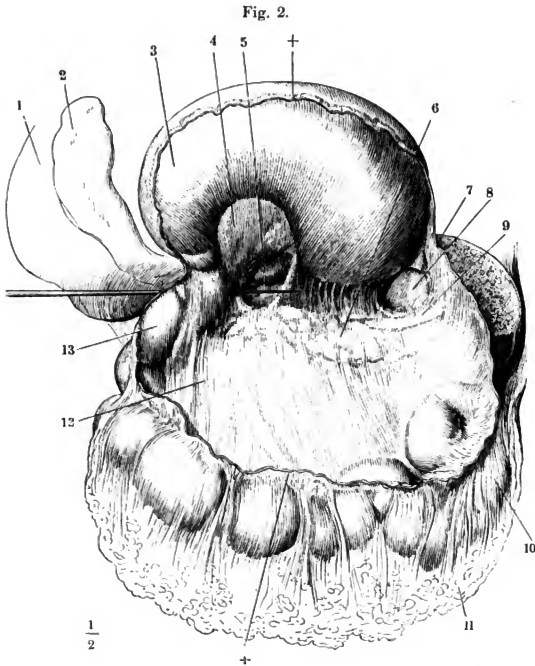


Fig. 1. Geöffnete Bauchhöhle, mit aufwärts umgelegtem Netz und nach rechts ausgebreitetem Dünndarm. Fossa duodeno-jejunalis. 1 Grosses Netz. 2 Colon transversum. 3 Uebergangsstelle des Duodenum in das Jejunum. 4 Untere Spitze der linken Niere. \* Lig. mesenterico-mesocolicum Gruber, eine unbeständige Falte, die sich vom untern Ende der Flexura sigmoidea zur Wurzel des Mesenterium hinaufzieht.

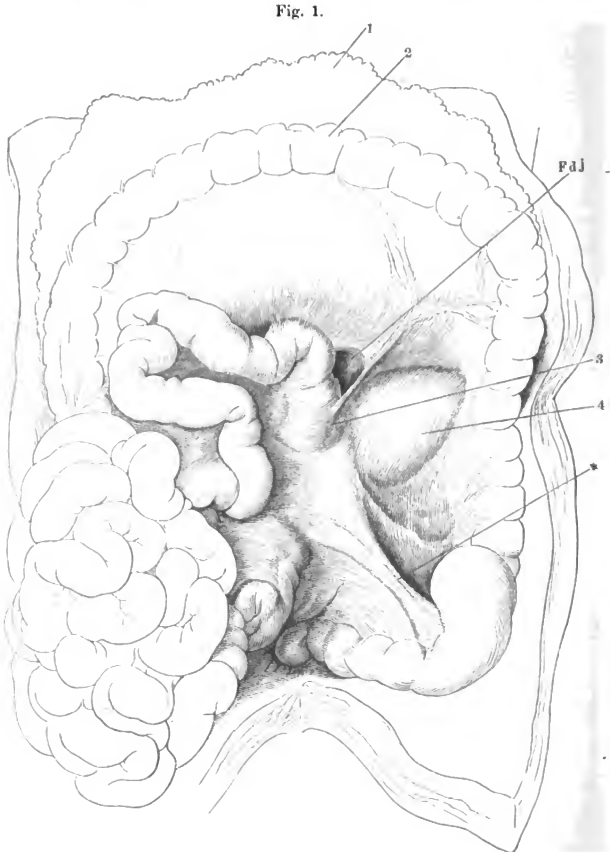


Fig. 2. Fossa subcoecalis, durch Aufwärtsschlagen des unteren Endes des Ileum sichtbar gemacht.

Fig. 3. Unteres Ende des Ileum mit dem Coecum und dem Processus vermiformis. Die Plica ileocoeccalis, die sich um das untere Ende des Dünndarms zum Mesenterium (\*) herumzieht und den Proc. vermiformis einschliesst, ist parallel der Axe des Dünndarms gespalten und auseinandergezogen, um die hintere Wand der Fossa subcoecalis frei zu legen.

Fig. 4. Aufwärts zurückgeschlagene Flexura sigmoidea eines Neugeborenen. \* Eingang der Fossa intersigmoidea. † Erhebung des Peritoneum durch die Vasa spermatica.

Fig. 2.

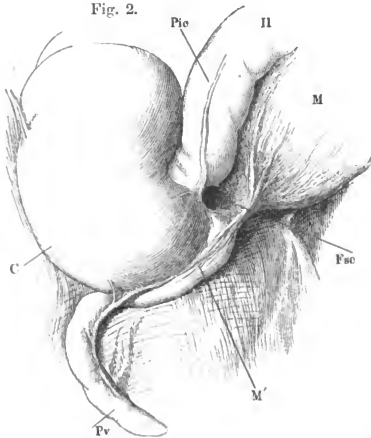


Fig. 3.

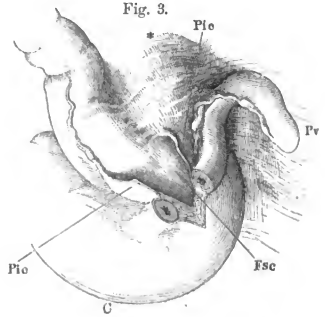
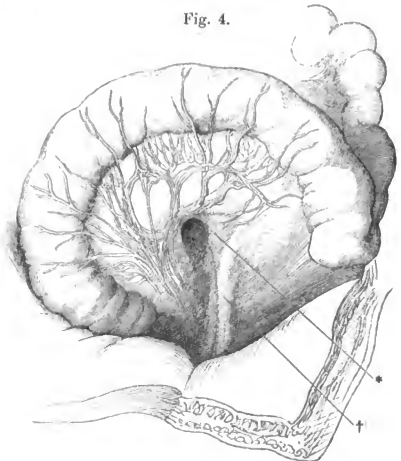
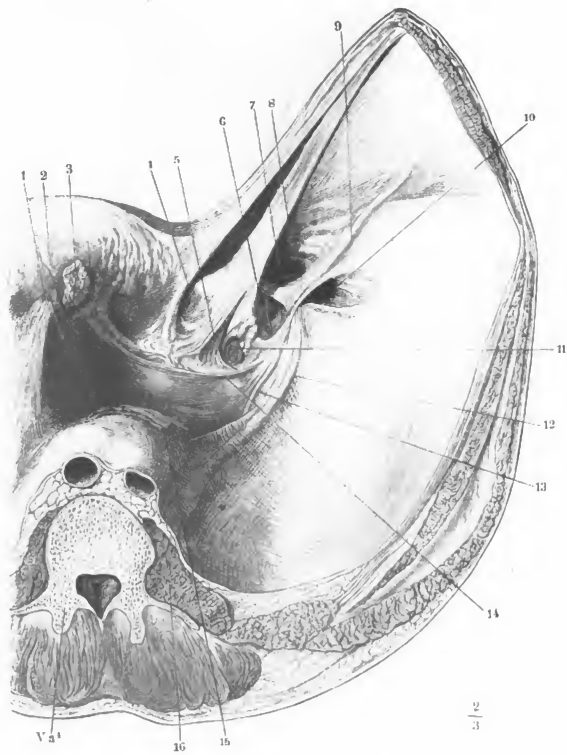


Fig. 4.



- C Coecum.
- Fdj Fossa duodeno-jejunalis.
- Fsc Fossa subcoecalis.
- Il Ileum.
- M Mesenterium.
- M' Mesenteriolum proc. vermit.
- Pic Plica ileocoeccalis.
- Pv Proc. vermiformis.

Männliches Becken mit den Eingeweiden und einem Theil der vorderen Bauchwand. Ansicht von oben. Die vordere Bauchwand ist durch einen Schnitt vom Nabel links neben der Plica vesicalis lat. sin. gespalten und aufwärts angespaunt. 1 Innerer linker Leistenring, unvollständig geschlossen. 2 Plica epigastr. sin. 3 Ein Stück Netz, am Eintritt in den Bruchsack einer Hernia cruralis abgeschnitten. 4 Plica vesicalis lat. sin. 5 Plica vesic. media. 6 Eingang einer Hernia cruralis. 7 Eingang einer Hernia inguin. int. 8 Plica vesical. lat. dextra. 9 Plica epigastr. dextra. 10 Eingang einer Hernia inguin. ext. 11 Einsenkung des Peritoneum in das For. obturatorium. 12 Vasa spermat. intt. und 13 Vas deferens, das Peritoneum emporhebend. 14 Verstreichbare, die mässig gefüllte Blase bedeckende Querfalte des Peritoneum. 15 Rectum, zusammengefallen. 16 M. psoas maj.



- Fig. 1. Magen im ausgedehnten Zustande, Vorderfläche.  
 Fig. 2. Muskelhaut des Magens.  
 Fig. 3. Durchschnitt des Pylorustheils des Magens. 1 Valvula pylori. 2 Durchschnitt der Schleimhaut, 3 der Ringfaserhaut, 4 der Längsfaserhaut des Magens und Duodenum.  
 Fig. 4. Innere Oberfläche des contrahirten Magens, die Schleimhaut in Falten gelegt und höckerig (*état mammeloné*).  
 Fig. 5. Feiner Dickendurchschnitt der Magenschleimhaut. *A* eigentliche, *B* pylorische Magendrüsen. \* Muscularis mucosae.

---

<i>Ap</i>	Antrum pyloricum.	<i>Sc</i>	Saccus caecus.
<i>C</i>	Cardia.	<i>P</i>	Pylorus.

Fig. 5.

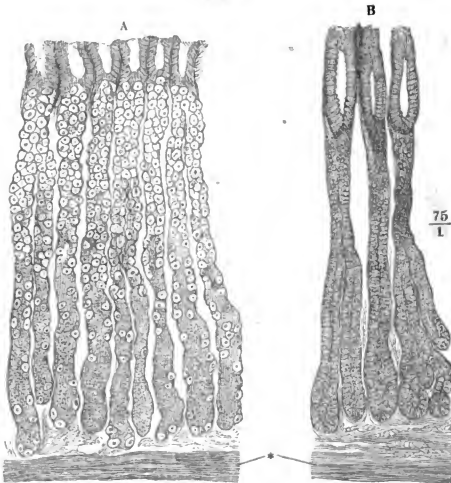


Fig. 1.

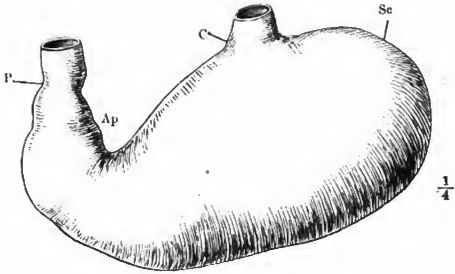


Fig. 2.

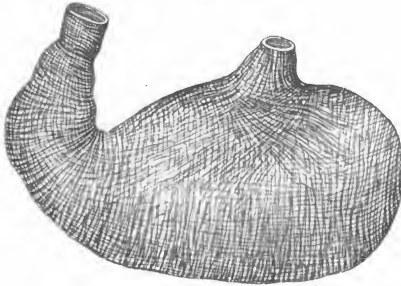
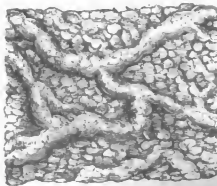


Fig. 3.



Fig. 4.



- Fig. 1. Quersalten (*Valvulae conniventes Kerckringii*) der Schleimhaut des oberen Theils des Dünndarms.
- Fig. 2. Frontalschnitt des unteren Endes des Dünndarms mit dem Anfang des Dickdarms. Durchschnitt der Valvula coli (*V. Bauhini*).
- Fig. 3. Ringförmiges Stück, aus dem aufgeblasenen und getrockneten Colon ausgeschnitten, zur Demonstration der *Plicae sigmoideae*. \*\*\* *Ligg. coli*.
- Fig. 4. Innere Oberfläche des Duodenum, Zotten und Mündungen der blinddarmförmigen (Lieberkühn'schen) Drüsen.
- Fig. 5. Dickendurchschnitt des Dünndarms, nach Behandlung mit verdünnter Kalilösung in Wasser ausgespült. 1 Netzförmiges Bindegewebsgerüste der Propria mit den Zotten und blinddarmförmigen Drüsen. 2 Muskelschichte der Schleimhaut. 3 Nervea.
- Fig. 6. Innere Oberfläche des unteren Theils des Dünndarms. Solitäre und aggregirte (Peyer'sche) Drüsen.

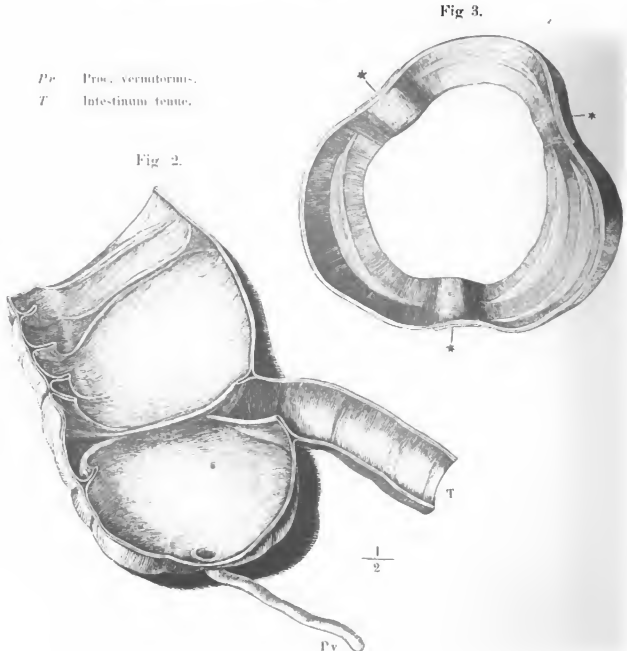




Fig. 1.

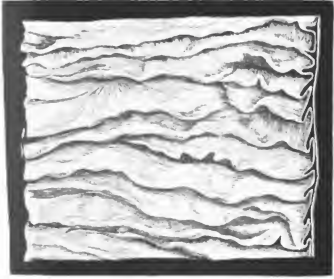
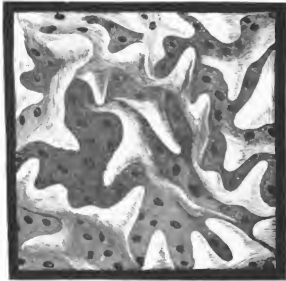


Fig. 4.



$\frac{30}{1}$

Fig. 6.

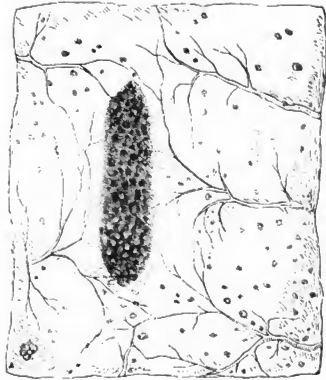
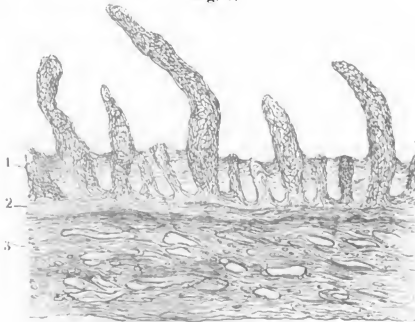


Fig. 5.



$\frac{100}{1}$

- Fig. 1. Medianschnitt des Beckens eines neugeborenen Knaben. 1 Präputium. 2 Schambeinsynchondrose. 3 Bauchmuskeln. 4 Blase, in mittlerer Ausdehnung. 5 Rectum. 6 Steissbein. 7 After. 8 M. bulbocavernosus. 9 Bulbus der Uretra. 10 Septum scroti.
- Fig. 2. Frontalschnitt des Beckens mit den Eingeweiden, vordere Schnittfläche; die hintere Wand des Rectum ist bis in die Nähe der Aftermündung weggenommen, so dass man die Schleimhaut sich trichterförmig gegen die Aftermündung zusammenziehen und die verstreichenbaren Querfalten im Durchschnitt sieht. 1 die gefüllte Harnblase. † Durchschnitt des Steissbeins.
- Fig. 3. Querschnitt des zusammengezogenen Rectum.
- Fig. 4. Innere Fläche des unteren Endes des Rectum und Durchschnitt seiner Wand. \* Columna recti (*C. Morgagni*). 1 Mucosa. 2 Ringfaser-schichte, 3 Längsfaserschichte der Musculosa.
- Fig. 5. Horizontalschnitt des Beckens durch den unteren Rand des dritten Kreuz-wirbels; nach Entfernung des Peritoneum ist die Harnblase sammt dem collabirten Mastdarm vorwärts umgelegt, um den M. rectococcygeus zu zeigen. 1 Harnblase. 2 Ureter. 3 Rectum, quer durchschnitten. 4 Vesicula seminalis. 5 Kreuzbein.

<i>A</i>	Acetabulum.	<i>P</i>	Membrana propria.
<i>Cc</i>	M. coccygeus.	<i>Rc</i>	M. rectococcygeus. <i>Rc'</i> Aus der
<i>F</i>	Fascia pelvis.		Fascie des M. levator ani ent-
<i>L</i>	M. levator ani.	<i>S</i>	M. sphincter ani (ext.). <i>S'</i> M. sph.
<i>Mc</i>	Muskelhaut des Rectum, Ringfaser-		ani int.
	schichte.	<i>ssp</i>	Lig. sacrospinosum.
<i>Me</i>	Dieselbe, Längsfaserschichte.	<i>st</i>	Lig. sacrotuberosum.
<i>N</i>	Membrana nervea.		
<i>Oi</i>	M. obturator int., von seiner Fascie		
	bedeckt.		

Fig. 2.

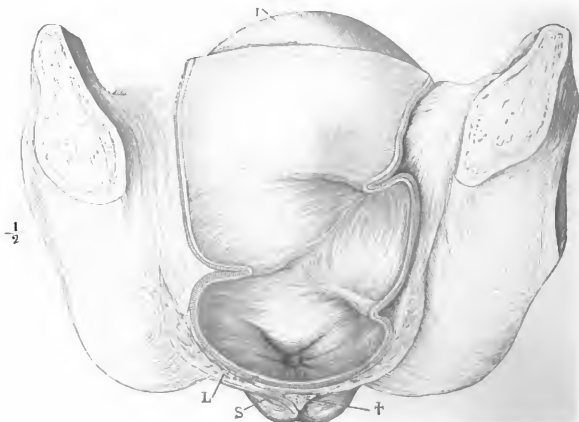


Fig. 1.

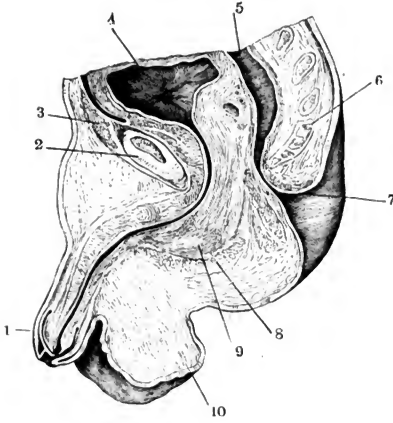


Fig. 3.

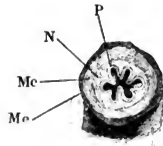


Fig. 4.

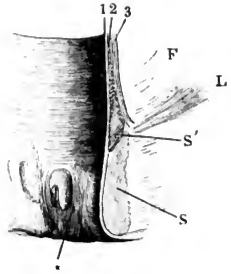


Fig. 5.

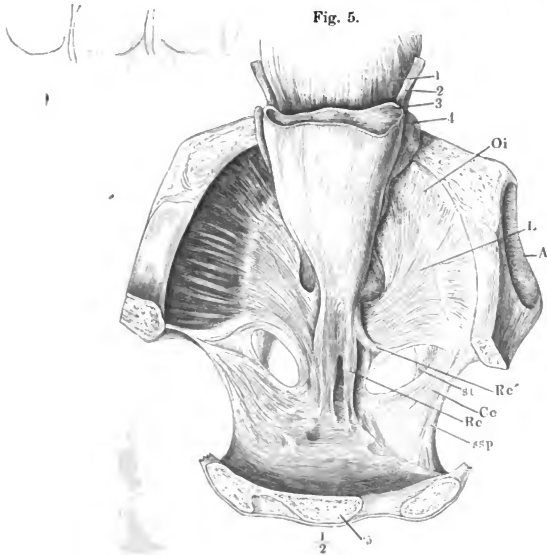


Fig. 1. Rumpfhöhle eines Neugeborenen, von vorn her geöffnet. Das Zwerchfell ist weggenommen, Leber und Herz aufwärts umgeschlagen, der Dünndarm vom Pylorus getrennt und abwärts gezogen. 1 Rechtes, 2 linkes Atrium. 3 Rechter, 4 linker Ventrikel des Herzens. 5 Magen. 6 Milz. 7, 8 Nieren. 9 Dünndarm. \* Aorta abdominalis. \*\* Art. mesenterica sup., am Ursprung abgeschnitten. \*\*\* Art. renalis dextra.

Fig. 2. Oberer Theil der geöffneten Bauchhöhle eines Kindes, die Leber aufwärts gezogen, so dass deren untere Fläche sichtbar wird, Magen, nach Durchschneidung des Lig. gastrocolicum, aufwärts umgeschlagen, Peritoneum entfernt. 1 Aorta. 2 Art. coron. ventr. sin. 3 Art. hepatica. 4 Art. lienalis. 5 Art. mesent. sup. 6 Vena mesent. sup. 7 Vena lienalis.

Fig. 3. Leber des Erwachsenen, untere Fläche.

Fig. 1.

- a* Vorderer Leberlappen.  
*ci* V. cava inf.  
*D* Duodenum, oberer querer, *D'* verticaler, *D''* unterer querer Theil.  
*d* Rechter Leberlappen.  
*dc* Duct. cysticus.  
*Dch* Duct. choledochus.  
*Dh* Duct. hepat.  
*Dv* Duct. venosus.  
*h* V. hepat.  
*L* Milz.  
*l* V. lienalis.  
*Lt* Lig. teres.  
*Lv* Lig. venosum.  
*ms* V. mesenterica sup.  
*P* Pankreas.  
*p* Lobus sup.  
*R* Niere.  
*rd* V. renalis dextra.  
*rs* V. renalis sin.  
*s* Linker Leberlappen.  
*T* Dünndarm.  
*u* V. umbilicalis. *u'* linker, *u''* rechter Ast.  
*V* Magen, aufwärts umgelegt.  
*Vf* Gallenblase.  
*Vp* V. portarum.

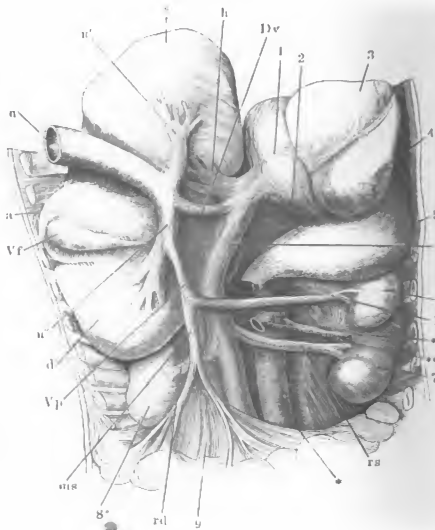


Fig. 2.

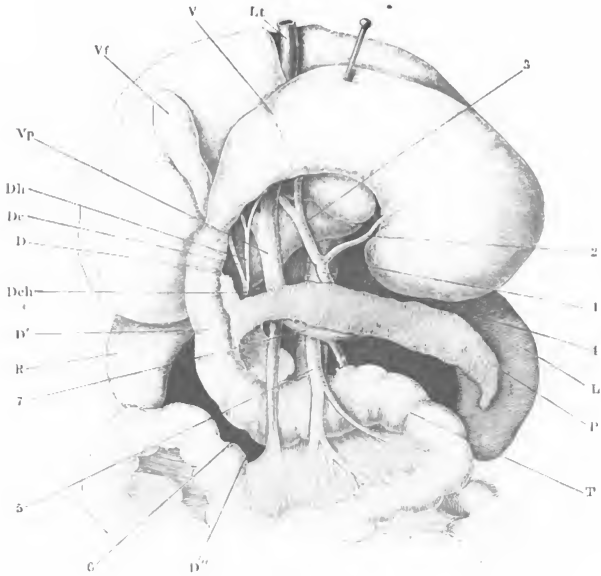
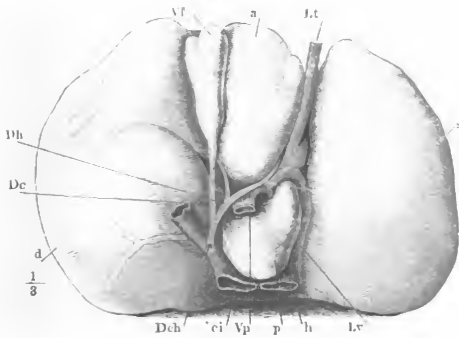


Fig. 3.



- Fig. 1. Ein Stück Leber, deren Gefäße und Ausführungsgang mit verschiedenartigen Massen injicirt waren. 1 Art. hepatica. 2 V. port. 3 Ductus hepaticus.
- Fig. 2. Verästelung der V. hepatica in der Leber, geöffnet. \*\* Durchschnitte der Pfortaderverzweigungen mit den dieselben begleitenden Aesten der Arteria hepat. und des Ausführungsganges.
- Fig. 3. Untere Fläche der Leber mit dem vom Ductus hepat. aus injicirten Netz der Gallengänge.
- Fig. 4. Ductus hepaticus, dicht am Eintritt in die Leber, und die erste Verästelung desselben in der Leber, aufgeschnitten.
- Fig. 5. Pankreas und Duodenum von der Rückseite. Der Duct. pancreat. ist freigelegt, ein Theil der hinteren Wand des Duodenum weggenommen, um die Einmündung des Hauptganges mit dem Duct. choledochus und des Duct. pancreat. accessor. zu zeigen. 1 Hauptgang, 2 Seitenast des unteren Lappens. 3 Duct. pancr. access. 4 Duct. choledochus.
- Fig. 6. Durchschnitt der Darmwand durch die Papille, auf welcher die Duct. choledochus und pancreat. einmünden. \* Blasenförmiger Behälter (*Diverticulum Vateri*) zur Aufnahme beider. \*\* Schleimhautfalte, welche die Papille deckt.
- Fig. 7. Frontalschnitt der Leber mit der Gallenblase dicht hinter dem Grunde der letzteren. Vordere Schnittfläche. 1 Serosa der Leber. 2 Eigene Wand der Gallenblase. 3 Lockeres Bindegewebe.

<i>ci</i>	V. cava inf.
<i>Dch</i>	Duct. choledochus.
<i>Dp</i>	Duct. pancreat.
<i>F'd</i>	Fossa hepatis dextra.
<i>F's</i>	Fossa hepatis sig.
<i>h</i>	V. hepat.
<i>p</i>	Lobus post., zurückgebogen.

Fig. 5.

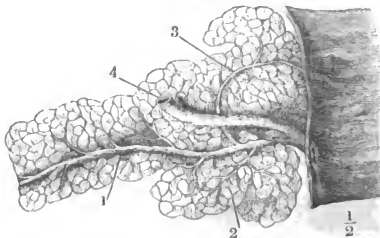


Fig. 6.

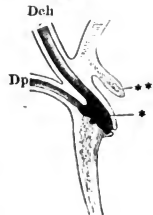


Fig. 1.

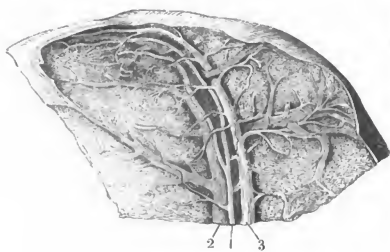


Fig. 2.

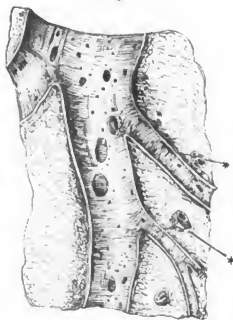


Fig. 3.

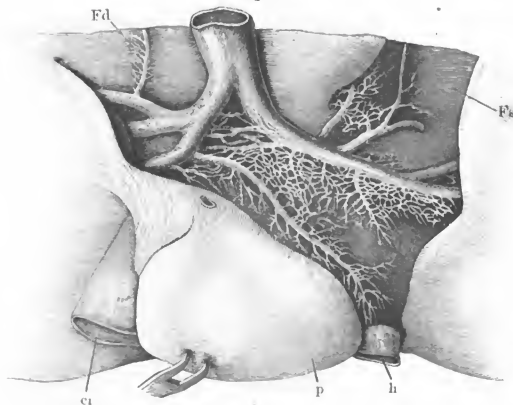


Fig. 4.

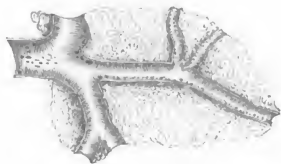
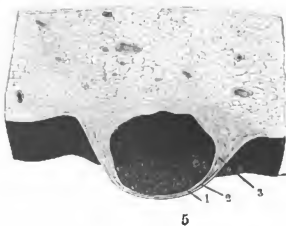


Fig. 7.



- Fig. 1. Milz mit gestieltem Lappen und zahlreichen Nebensmilzen, durch den gestielten Lappen (†) horizontal durchschnitten.  
 Fig. 2. Durchschnitt der frischen Milz. Follikel derselben.

*Al* A. lienalis.  
*Vl* V. lienalis.

Fig. 1.

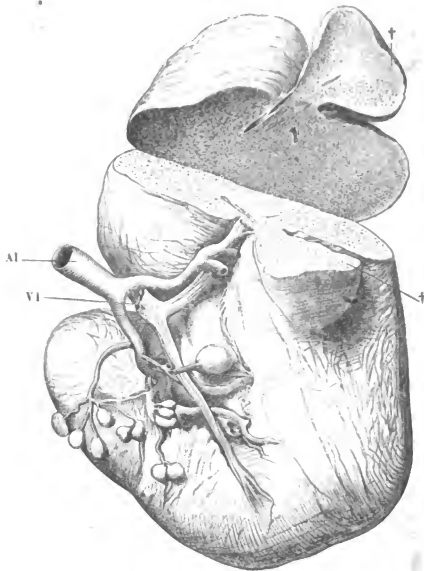




Fig. 2.

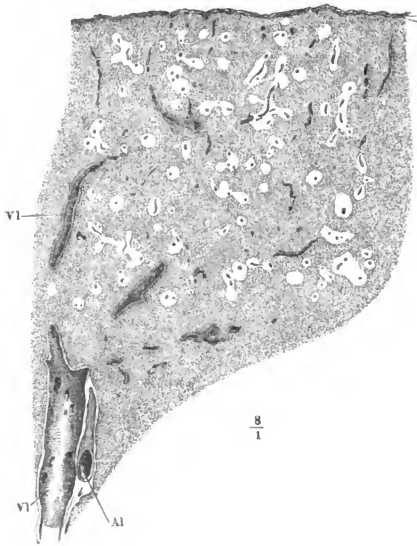


Fig. 1. Weiblicher Harnapparat, von hinten.

Fig. 2. Nieren verschiedener Form, mit dem Anfang des Ureters, von der Rückseite.

---

<i>A</i>	Aorta.	<i>Ua</i>	Uretra.
<i>Ar</i>	A. renalis.	<i>Vc</i>	V. cava inf.
<i>R</i>	Niere.	<i>Vr</i>	V. renalis.
<i>U</i>	Ureter.	<i>Vu</i>	Vesica urinaria.

Fig. 2.

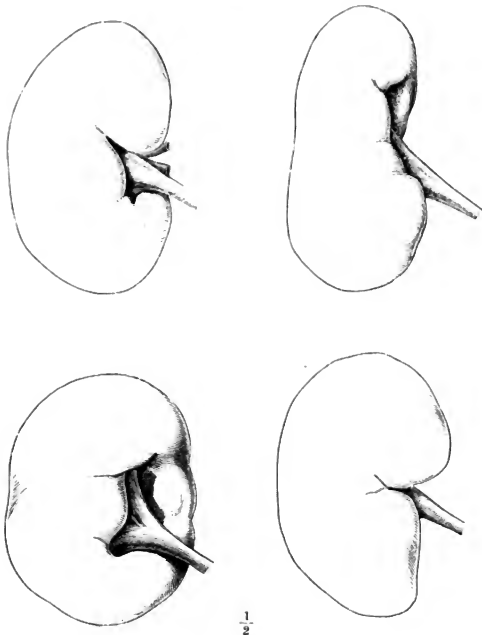


Fig. 1.

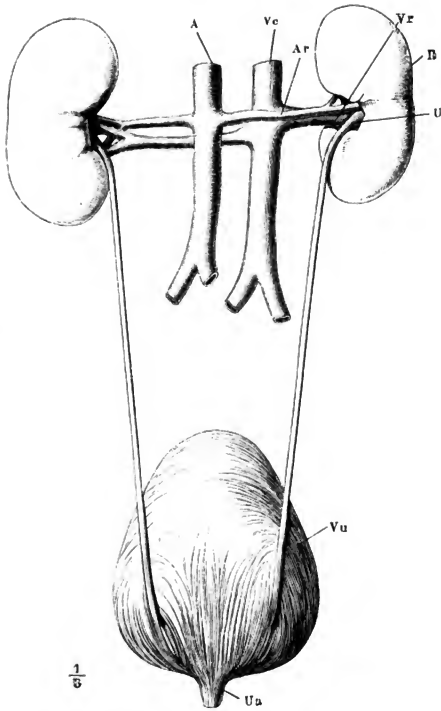


Fig. 1. Niere, vom medialen Rande gesehen, die obere und untere überhängende Spitze durch einen, der Fläche der Niere parallelen Schnitt gespalten und auseinander geschlagen, um den Einblick in den Sinus renalis zu öffnen. Die Verzweigungen der Vene und das Fett des Sinus renalis sind entfernt, die Art. renalis nach links, der Ureter nach rechts zurückgelegt. † Durchschnitene Zweige der Art. renalis.

Fig. 2. Abguss des oberen Endes des Ureters.

Fig. 3. Horizontaldurchschnitt der rechten Niere, durch den Sinus renalis.  
 1 Aeussere, 2 innere Schichte der äusseren fibrösen Haut der Niere.  
 3 Rindensubstanz. 4 Marksubstanz. 5 Fett des Sinus renalis.

---

A Art. renalis.  
 P Pelvis renalis.  
 U Ureter.  
 V V. renalis.

Fig. 1.

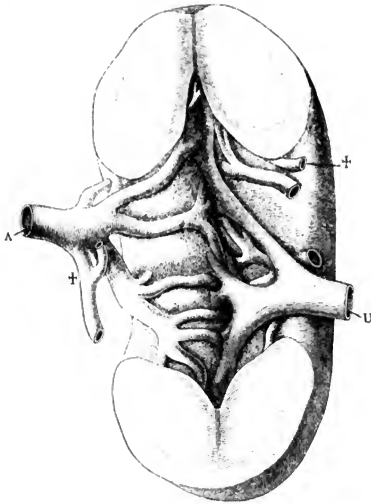


Fig. 2.

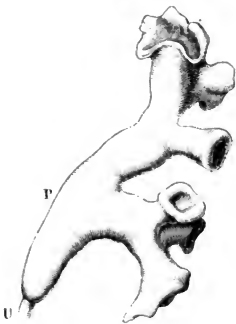


Fig. 3.

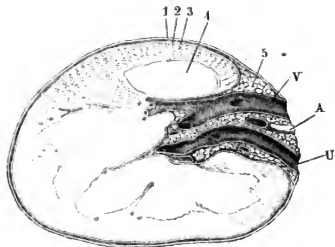


Fig. 1. Niere, frontal halbirt, vordere Schnittfläche. Das Fett des Sinus ist entfernt, die Verzweigungen der Gefäße sind dicht am Eintritt in die Nierensubstanz, die Zweige des Ureters an der Basis der Papille abgeschnitten. 1 Nierenpapille. 2 Poren derselben. 3 Schmittrand des Nierenkelchs. 4 Oberfläche der inneren fibrösen Haut der Niere. 5 Gefäßdurchschnitte. 6 Nierenparenchym. *x* Verschmolzene Papillen. *y* Gefäßeindrücke der vorderen Wand des Sinus.

Fig. 2. Frontaler Durchschnitt durch die Niere, das Nierenbecken und eine Anzahl Nierenkelche. 1 Rindensubstanz. 1' Pyramidenfortsatz. 1'' Eigentliche Rindensubstanz. 2<sup>h</sup> Marksubstanz. 2' Eigentliche Marksubstanz. 2'' Grenzschicht derselben. 3,3 Senkrecht gegen die Axe der Canälchen durchschnittene Grenzschicht. 4 Fett des Sinus renalis. 5,5 Arterienzweige. \* Quer verlaufende Pyramidenfortsätze.

---

*A* Art. renalis.  
*C* Calyx renalis.  
*U* Ureter.

Fig. 1.

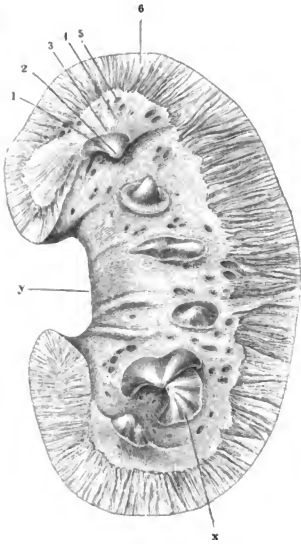
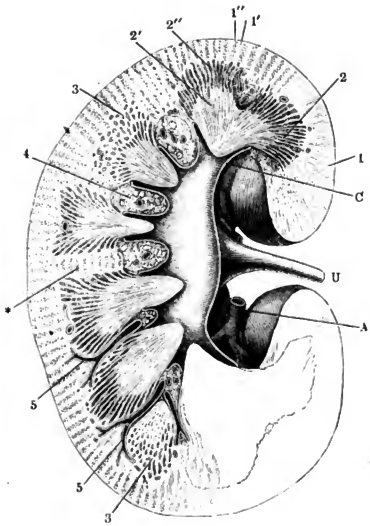


Fig. 2.



- Fig. 1. Durchschnitt der Papille einer vom Ureter aus injicirten Niere, dem Laufe der Harncanälchen parallel.
- Fig. 2. Längsschnitt einer Nierenpapille, deren schleifenförmige Canälchen durch Fettablagerung sich auszeichnen, nach Behandlung mit dünner Kalilauge und Auswaschen in Wasser. *a* Sammelröhren. *b* Schleifenförmige Canälchen.
- Fig. 3. Durchschnitt der Rinden- und Marksubstanz einer von den Arterien aus injicirten Niere, parallel der Axe der Pyramiden. 1 Zweig der Art. renalis. 2 Glomerulus. 3 Eigentliche Rindensubstanz. 4 Pyramidenfortsatz. 5 Gefässbüschel der Grenzschichte der Marksubstanz.
-



Fig. 1.

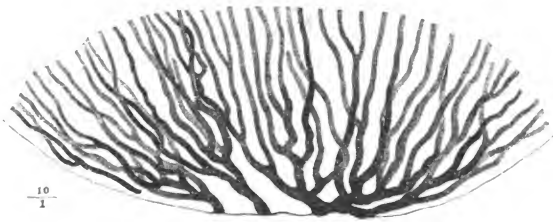


Fig. 2.

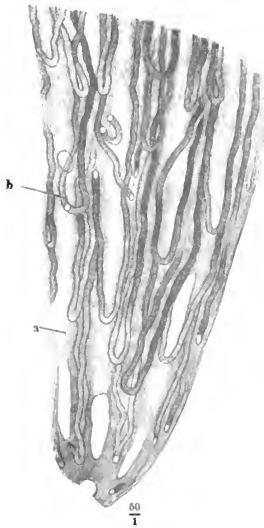
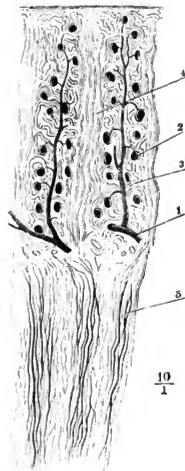


Fig. 3.



- Fig. 1. Niere von hinten gesehen, mit der Nebenniere.  
Fig. 2. Niere und Nebenniere von vorn.  
Fig. 3. Sagittalschnitte verschiedener Nebennieren; Rinden- und Marksubstanz.  
\* In Form eines Kugelsegments vorspringender Höcker der Rinden-  
substanz.

---

<i>A</i>	Art. renalis
<i>U</i>	Ureter.
<i>V<sub>r</sub></i>	Vena renalis.
<i>V<sub>s</sub></i>	Vena suprarenalis.

Fig. 1.

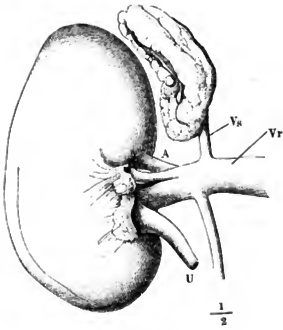


Fig. 2.

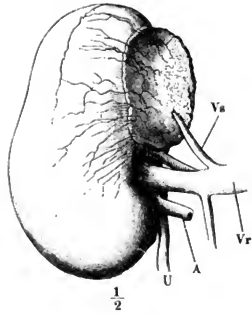


Fig. 3.

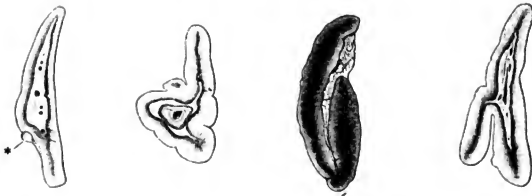


Fig. 1. Beckenhöhle eines Knaben mit den Eingeweiden, von oben her gesehen. Die vordere Bauchwand in der Mittellinie gespalten, mit zur Seite gezogenen Lappen. 1 Cutis. 2 Bauchmuskeln. 3 Adnificulum lineae albae. 4 Oberer Ast des Schambeins. 5 Peritoneum von der vorderen Bauchwand und der Blase gelöst und zurückgeschlagen. 6 Rectum. 7 Art. umbilicalis, durch das Peritoneum schimmernd. 8 Vasa spermatica, ebenso. 9 Grube des Peritoneum, dem Eingang des Proc. vaginalis entsprechend. 10 Vas deferens. 11 Innerer Leistenring. 12 Vasa epigastrica.

Fig. 2. Vordere Beckenwand mit der nach hinten umgelegten Harnblase. Das Peritoneum ist entfernt. 1 Innere Wand der Schambeinsynchondrose. 2 Eingang des Can. obturat. 3 Hüftgelenkpfanne. 4 Fascia pelvis, durch welche die Fasern des M. levator ani hindurchschimmern. 5 Venenplexus zur Seite der Blase. 6 Vene von der vorderen Blasenwand zur V. dorsalis penis, durchschnitten, um die Harnblase zurücklegen zu können. 7 Ausstülpung der Fascie zwischen den Arcus tendinei. \*, \*\* Accessorische Längsmuskelbündel der Blase.

Fig. 3. Unterer Theil der männlichen Harnblase mit dem Anfang der Uretra, durch einen Medianschnitt der vorderen Wand geöffnet und ausgebreitet. \* Querwulst, \*\* Längswulst des C. trigonum. † Durchschnitt der Prostata. 1 Schleimhaut, 2 Muskelhaut der Blase. 3 Mündung des Duct. ejaculatorius. 4 Eingang des Sinus prostaticus. 5 Mündungen der Ausführungsgänge der Glandula prostatica.

Fig. 3.

- At* Arcus tendineus fasciae pelvis.  
*Cs* Colliculus seminalis.  
*Oi* M. obturator int. durchschnitten.  
*U* Ureter.  
*U'* Blasenmündung desselben.  
*V* Vesica urinaria.  
*Vd* Vas deferens.  
*vl* Ligam. vesicale laterale.  
*vm* Ligam. vesicale medium.

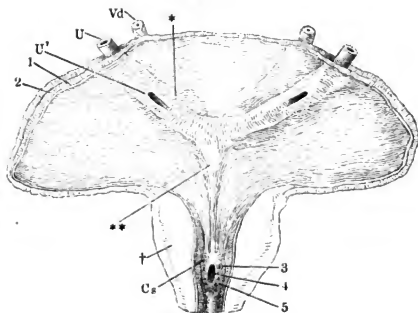


Fig. 1.

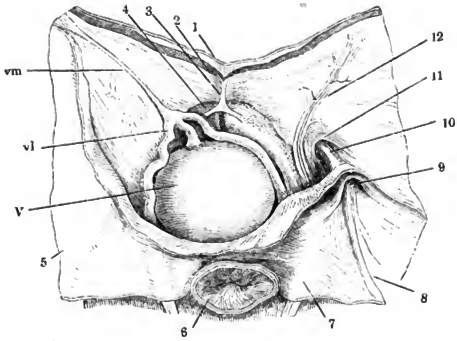


Fig. 2.

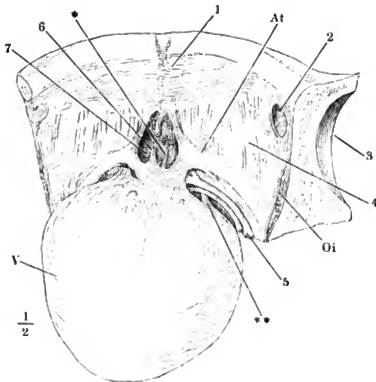


Fig. 1. Scrotum, durch Abtragung des mittleren Theils der vorderen Wand von vorn geöffnet und im Zusammenhang mit der Cutis der vorderen Bauchwand seitwärts umgeschlagen. Der rechte Testikel ist mit seinen Hüllen aus seinem Fach gelöst und abgeschnitten, der Stumpf des Samenstrangs zur Seite gezogen. 1 Insertion der Bündel des Cremaster am Tuberculum oss. pubis. 2 Oberer Pfeiler des Leistenrings. 3 Linea alba. 4 Lig. suspensor. penis medium. 5 Wurzel des Penis. 6 Fetthaltiges Bindegewebe, das Fettgewebe des Mons veneris und der Perinealgegend verbindend. 7 Septum seroti. 8 Durchschnitt der Raphe. 9 Stärkere Bündel der Tunica dartos. 10 Durchschnitt der Tunica dartos, 11 der Cutis. 12 Fascie des M. pectineus. 13 Samenstrang. 14 Unterer Pfeiler des Leistenrings.

Fig. 2. Profilsicht des unteren Theils der geöffneten Bauchhöhle mit dem geöffneten Scrotum. Die Tunica vaginalis communis ist mit dem parietalen Blatte der Tunica vaginalis propria theilweise abgetragen, um den Testikel in situ zu zeigen. † Durchschnitt des oberen Astes des Schambeines. †† Durchschnitt des unteren Astes des Sitzbeines. \* Muskeldurchschnitte (Obtur. int. und ext. und pectineus). 1 Gefässe des Samenstranges. 2 Peritonem. 2' Seichte Einstülpung desselben in den Proc. vaginalis fasciae transversalis. 3 Fascia transversalis. 4 M. obliquus abd. int. 5 Sehne des M. obliquus abd. ext. und oberer Pfeiler des Leistenringes. 5' Unterer Pfeiler des Leistenringes. 6 Fascia superficialis. 7, 7 Bündel des Cremaster (ext.). 8 Cutis des Scrotum. 9 Tunica dartos. 10 Tunica vaginalis comm. 11 Tun. vagin. propria, parietales Blatt. 12 Hodendrüse. 13 Ungestielte Hydatide. 14 Epididymis. 15 Gestielte Hydatide. 16 Von dem visceralen Blatte der T. vaginalis propria bekleidete Gefässe des Testikels.

Fig. 3. Testikel mit dem unteren Theil des Samenstrangs in der Tunica vagin. comm. Schlingen des Cremaster.

Ac A. cruralis.

Vc V. cruralis.

Fig. 1.

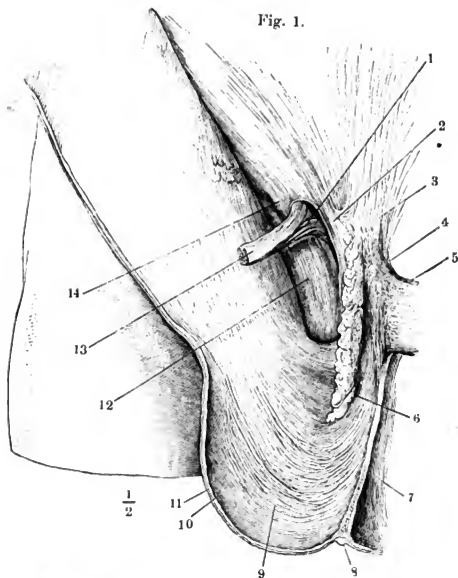


Fig. 2.

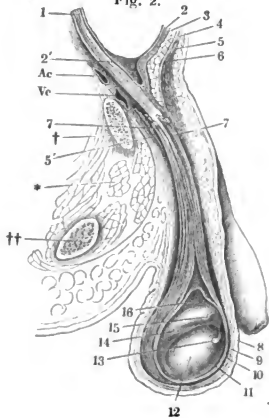


Fig. 3.



- Fig. 1. Durchschnitt des rechten Testikels durch die Mitte seiner Höhe, senkrecht auf dessen Längsaxe, mit der Tunica vaginalis propria. 1 Parietalblatt der Tunica vaginalis propria. 2 Visceralblatt derselben. 3 Albuginea. 4 Blutgefäße des Testikels und der Epididymis.
- Fig. 2. Durchschnitt des rechten Testikels in der Nähe der oberen Spitze, senkrecht auf dessen Längsaxe.
- Fig. 3. Durchschnitt des Testikels, nahe der oberen Spitze, senkrecht auf die Längsaxe. 1 Albuginea. 2 Rindenschichte. 3 Läppchen des Testikels. 4 Gerade Canälchen. 5 Rete testis.
- Fig. 4. Schematische Darstellung des Verlaufs der Canäle im Testikel und der Epididymis, nebst der Umbeugung des Canals der Epididymis in das Vas deferens. \* Vasa efferentia. \*\* Vas aberrans.

---

<i>E</i>	Epididymis. <i>E'</i> deren scharfer Rand.
<i>Mt</i>	Mediastinum testis.
<i>P</i>	Paradidymis.
<i>Rt</i>	Rete testis.
<i>T</i>	Testikel.
<i>Vd</i>	Vas deferens.



Fig. 1.

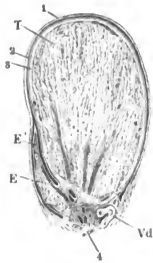


Fig. 2.

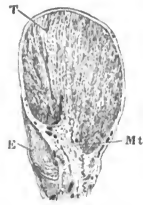


Fig. 3.

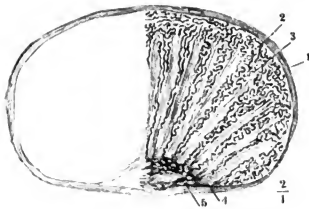
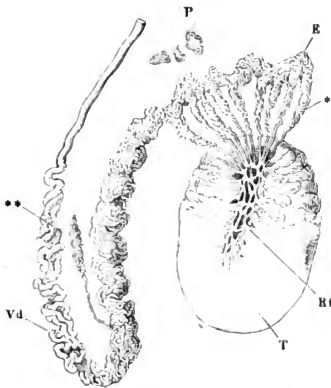


Fig. 4.



- Fig. 1. Vordere Beckenwand mit den Beckeneingeweiden, das Rectum zurückgeschlagen. 1 Beckenfascie. 2 Vasa und N. pudenda. 3 Blase quer abgeschnitten. 4, 4 Ureteren. 5, 5 Vasa deferentia. 6, 6 Vesiculae seminales. 7 Schichte eines an glatten Muskelfasern reichen Bindegewebes, welches den Raum zwischen Prostata und Rectum ausfüllt und sich zur äusseren Fläche des Peritoneum erstreckt. 8 Theil der Fascie, welcher die Prostata bekleidet. 9 Rectum. 10 Vene der vorderen Beckenwand. † Durchschnitt des Schambeins. †† Durchschnitt des Sitzbeins.
- Fig. 2. Beckeneingeweide des Mannes, Ansicht von oben. Die Harnblase vorwärts, das Rectum rückwärts gezogen, das Peritoneum (†) von der Blase gegen das Rectum zurückpräparirt und vor der Excavatio rectovesicalis quer abgeschnitten. \*\*\* Schichte glatter Muskelfasern, zwischen Prostata und Rectum, an den Boden der Excavatio rectovesicalis befestigt. \*\* Glatte Muskeln, transversal hinter den Vesiculae seminales verlaufend. \* Linea alba derselben.
- Fig. 3. Medianschnitt der Uretra und Prostata mit der unteren Spitze der Ampulle des Vas deferens, die von der medialen Seite geöffnet und auseinandergelegt ist. 1 Prostata. 2 Uretra. 3 Ductus ejaculatorius. 4 Einmündung der Vesicula seminalis. 5 Hinterer Rand derselben.
- Fig. 4. Querschnitte des Vas deferens, A dicht über der Ampulle, B, C durch die Ampulle. \* Blinder oberer Grund eines Divertikels. \*\* Querschnitt eines von Scheidewänden durchgezogenen Divertikels.
- Fig. 5. Dickendurchschnitt der Schleimhaut der Ampulle des Vas deferens. Blinddarmförmige Drüsen derselben.

<i>IC</i>	Bündel des M. ischiooccygeus.
<i>I, L'</i>	M. levator ani, aus welchem ein Stück ausgeschnitten ist.
<i>Oi</i>	M. obturator int.
<i>R</i>	Rectum.
<i>tp</i>	Obere Aponeurose des M. transv. perinei prof. <i>tp'</i> Öffnung derselben, durch welche eine Vene (10) zur V. pudenda gelangt.
<i>V</i>	Harnblase.
<i>Vd</i>	Vas deferens der linken, <i>Vd'</i> der rechten Seite.
<i>Vs</i>	Vesicula seminalis der linken, <i>Vs'</i> der rechten Seite.

Fig. 1.

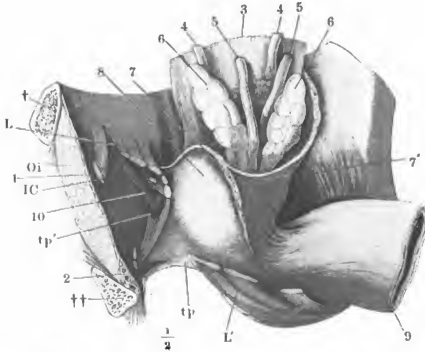


Fig. 2.

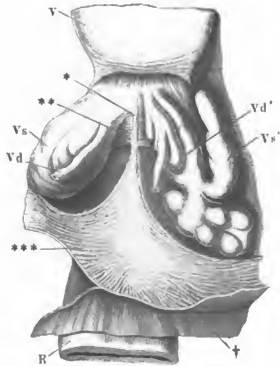


Fig. 3.

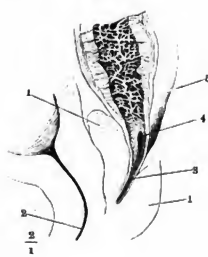
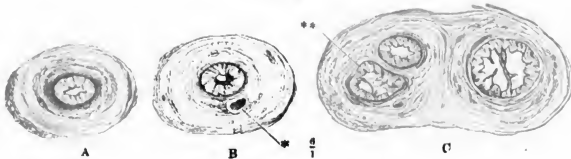


Fig. 5.



Fig. 4.



- Fig. 1. Mediandurchschnitt des unteren Theils der Harnblase mit der Prostata und dem Anfang der Uretra. 1 Innere, 2 äussere Muskelschichte der Blase. 3 Längsmuskeln der Uretra. 4 Mündung des Ureters. 5 Innerste Längsmuskelschichte des Trigonum vesicae.
- Fig. 2. Profilansicht des unteren Endes der Harnblase mit der Prostata.
- Fig. 3. Durchschnitte der Prostata, senkrecht gegen die Axe der Uretra, successiv von der Basis gegen die Spitze fortschreitend. \* Musculöse Septa.
- Fig. 4. Querschnitt des unter der Uretra gelegenen Theils der Prostata. 1 Schleimhaut des Duct. ejaculatorius. 2 Cavernöses Gewebe desselben. 3 Querschnitt eines glatten Muskelbündels, welches sich vom Grund des Sinus prostat. auf- und rückwärts fortsetzt. 4 Glatte Quermuskelfasern der Prostata. 5, 5 Drüsenblasen und Gänge der Glandula prostatica. \*\* Gefässdurchschnitte.
- Fig. 5. Querschnitt des Colliculus seminalis dicht hinter der Ausmündung des Sinus prostaticus (1) und der Ductus ejaculatorii (2).
- Fig. 6. Querschnitt des Colliculus seminalis durch dessen höchsten Theil hinter der Ausmündung der Hauptausführungsgänge der Glandula prost. (\*).

<i>D</i>	Ductus ejaculatorius.		ren Rande der Prostata von der Blase herabziehen.
<i>Gp</i>	Glandula prostatica. <i>Gp'</i> Mittlerer Lappen derselben. <i>Gp''</i> Vor der Uretra gelegener Theil derselben.	<i>Svi</i>	Sphincter vesicae int.
<i>Sp</i>	Sinus prostaticus.	<i>U</i>	Uretra.
<i>Sve</i>	Sphincter vesicae ext. <i>Sve'</i> Fasern desselben, welche längs dem ober-	<i>Vd</i>	Vas deferens.
		<i>Vs</i>	Vesicula seminalis.

Fig. 4.

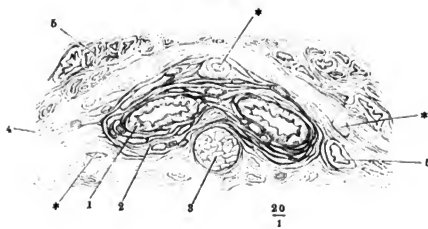


Fig. 1.

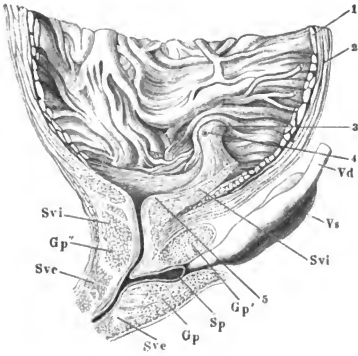


Fig. 2.

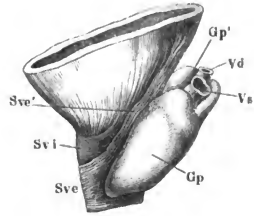


Fig. 5.

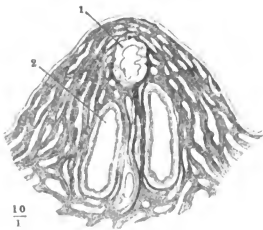


Fig. 3.

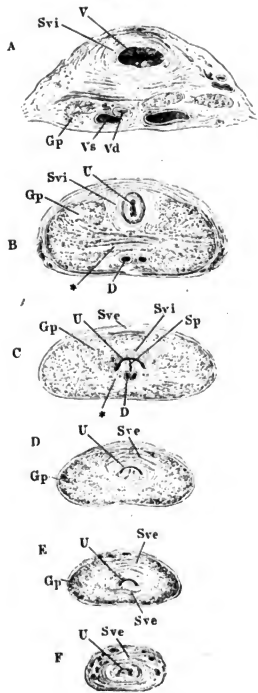
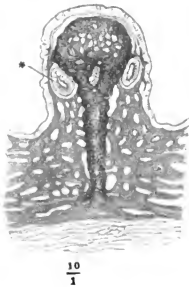


Fig. 6.



- Fig. 1. Querschnitt der Uretra unterhalb des Septum urogenitale (*Pars membranacea*). 1 Propria und Epithelium. 2 Cavernöse Schichte. 3 Glatte Längsmuskelschichte. 4 Glatte Ringmuskeln. 5 Gestreifte Muskelbündel. \*\* Gefässdurchschnitte.
- Fig. 2. Querschnitt des Penis, A im collabirten, B im erigirten Zustande. 1 Vena dorsalis penis. 2 Art. dorsalis penis. 3 Maschennetz des Corpus cavernosum penis. 4 Albuginea desselben. 5 Cutis. 6 Albuginea des Corpus cavernosum uretrae. 7 Maschenwerk desselben. 8 Uretra.
- Fig. 3. Querschnitte durch den Hals und die Glans penis, A durch den Hals, B durch den hinteren Rand der Glans, C durch die Mitte derselben, D dicht hinter dem Orificium uretrae. 1 Corpus cavernosum penis. 2 Albuginea desselben. 3 Septum der Corpora cavernosa penis. 4 Corpus cavern. uretrae. 5 Cutis der Glans. 6 Praeputium. 7 Venen am Rücken des Penis. 8 Venen der Uretralfurche. *x* Bindegewebe, welches das Frenulum praeputii mit der Albuginea des C. cavernosum uretrae verbindet. *y* Frenulum praeputii. \* Oberes medianes Septum des C. cavernos. uretrae. \*\* Unterer medianes Septum desselben. \*\*\* Die Uretra umkreisende, das obere und untere Septum verbindende fibröse Platte.
- Fig. 4. Medianschnitt der vorderen Spitze des Penis. 1 Corpus cavernosum penis. 2 Spitze, in welche dasselbe ausläuft. 3 Corpus cavernosum uretrae. 4 Medianes Septum desselben. 5 Corpus cavernosum glandis. 6 Uretra. 7 Fossa navicularis. 8 Venennetz des Rückens des Penis. 9 Venennetz der Uretralfurche. 10 Cutis. 11 Praeputium. 12 Haut der Glans. 13 Frenulum praeputii.
- Fig. 5. Spitze des Penis von unten, die untere Wand der Uretra in der Medianebene durchgeschnitten und die Schnitttränder zur Seite geschlagen. *x* Valvula fossae navicularis. *y* Lacunen der Uretra. \* Verdickung der unteren Wand der Albuginea des C. cavernos. uretrae innerhalb der Glans.

Fig. 1.

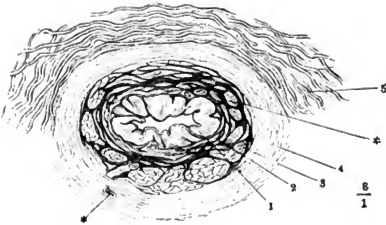


Fig. 5.

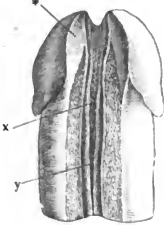


Fig. 2.

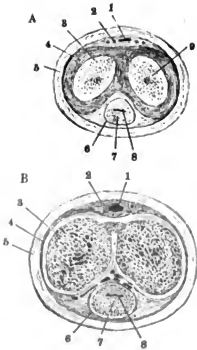


Fig. 3.

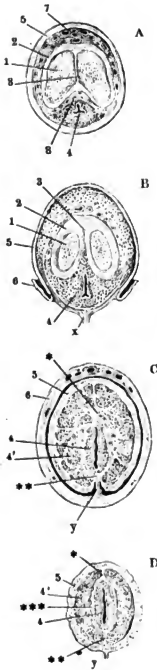


Fig. 4.

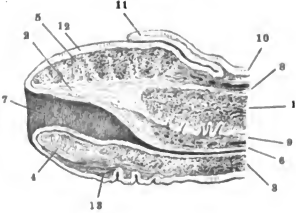


Fig. 1. Ansicht des Beckens von der Perinealwand aus mit frei gelegten Muskeln.

1 Acetabulum des Hüftgelenks. 2 Spina iliaca ant. sup. 3 Tuber ischiadicum. 4 Lig. sacrotuberosum der linken Seite. 4' 4' Das rechte Lig. sacrotuberosum, durchschnitten und zurückgeschlagen. 5 Spina ischiadica. 6 Fascie des M. obturator int. 7 Steissbein. 8 After.

Fig. 2. Aeussere Lage der Perinealmuskeln. Die Hüftbeine sind vor dem Tuber ischiad. durchsägt und der hintere Theil derselben ist weggenommen.

† Durchschnittsfläche des Sitzbeins. 1 Rectum. 2 Cutis in der Gegend der Steissbeinspitze. 3 Steissbein. 4 Reste der Cutis in der Gegend der Wurzel des Scrotum.

<i>Bc</i>	M. bulbocavernosus. <i>Bc'</i> Anf das Corpus cavernos. penis übergehendes Bündel desselben.
<i>C</i>	M. coccygeus.
<i>Ccp</i>	Corp. cavernosum penis.
<i>Ccu</i>	Corp. cavernosum uretrae.
<i>IC</i>	M. ischiococcygeus.
<i>Ic</i>	M. ischiocavernosus.
<i>L</i>	M. levator ani.
<i>Oi</i>	M. obturator int., am Austritt aus dem Becken abgeschnitten.
<i>P</i>	M. pyriformis, desgl.
<i>S</i>	M. sphincter ani. <i>S'</i> Insertion desselben in die Cutis.
<i>tp</i>	Untere Aponeurose des M. transversus perinei prof. (Diaphragma urogenitale von unten).
<i>Tps</i>	M. transversus perinei superfic.
<i>x</i>	Intermediäre Fasern zwischen den Mm. sphincter und levator ani, von der unteren Fascie des M transvers. perin. prof.
*	Medianes Septum der Perinealmuskeln.
**	Transversales Septum derselben.



Fig. 1.

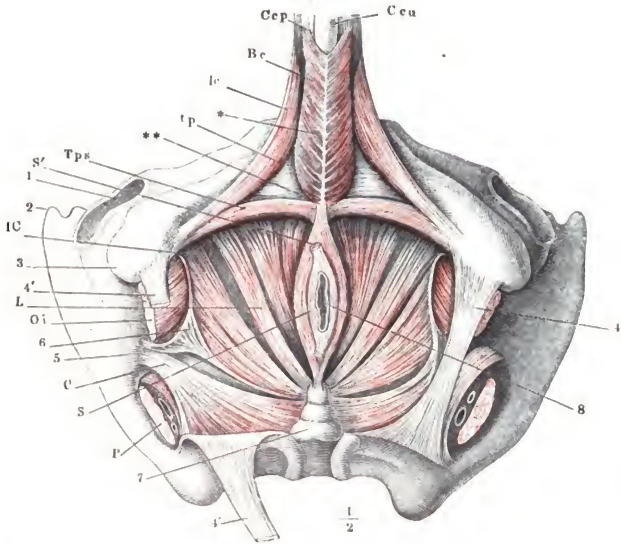
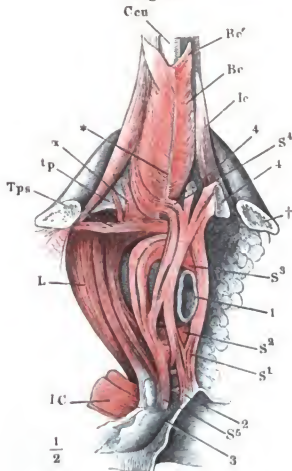


Fig. 2.



- Fig. 1. Schambogen, vor dem Tuber ischiad. abgesägt mit den injicirten, erigirten Corpp. cavernosa penis und uretrae, Profilansicht. † Schnittfläche des Sitzbeins.
- Fig. 2. Vordere Beckenwand mit der Wurzel des Penis, fast Profil. Das Lig. suspensorium laterale der Länge nach am Ursprung durchschnitten. 1 Schambeinsynchondrose. 2 V. dorsalis penis. 3 A. dors. penis. 4 N. dors. p. 5 Lig. suspensorium penis medium.
- Fig. 3. Frontalschnitt des Beckens zwischen Schambeinsynchondrose und Harnblase, hintere Schnittfläche. † Durchschnitt des Schambeins. 1 Harnblase. 2 Plexus venosus pubicus impar. 3 Lig. transversum pelvis. 4 Bindegewebige, von starken Gefäßen durchzogene Masse zwischen den Wurzeln der Corpp. cavernosa penis. 5 Vasa bulbosa.
- Fig. 4. Muskulatur des vorderen Theils der Perinealgegend; das Hüftbein ist vor dem Tuber ischiad. durchsägt und der hintere Theil desselben entfernt. † Durchschnittsfläche des Sitzbeins. 1 A. perinea. 2 After.
- Fig. 5. Schambogen mit dem Diaphragma urogenitale und der Wurzel des Penis. Das rechte Corpus cavernosum penis ist nebst dem M. ischiocavernosus nah am Ursprunge quer durchschnitten und mit dem vorderen Durchschnittende medianwärts abgezogen. 1 Schambeinsynchondrose. 2, 3, 4 Vena, art. u. nerv. dors. penis, am Beckenausstritte abgeschnitten. 5 V. profunda penis, durchschnitten, das vordere Schnittende (5') folgt dem Penis.

*B* Bulbus uretrae.  
*Bc* M. bulbocavernosus. *Bc'* Oberflächliche, *Bc<sup>2</sup>*, *Bc\** mittlere, vom transversalen Septum der Perinealmuskeln entspringende, *Bc<sup>3</sup>* innerste Schichte.  
*Ccp* Corpus cavernos. penis.  
*Ccu* Corpus cavernos. uretrae.  
*Ic* M. ischiocavernosus. *Ic<sup>1</sup>* Untere Portion, von der inneren Fläche des Sitzbeins. *Ic<sup>2</sup>* Mediale Portion, vom unteren Schambeinaste. *Ic<sup>3</sup>* Laterale Portion. *Ic\** Unbeständige obere Portion. *Ic †* Durchschnitte des Muskels.  
*L* M. levator ani.  
*pv* M. pubovesicalis.  
*S* M. sphincter ani. *S'* Ursprung desselben am medianen Septum.

*sl, sl'* Lig. suspensorium penis laterale.  
*Tpp* M. transv. perinei prof.  
*Tps* M. transv. perinei superfic. *Tps'* Ursprung desselben von der äusseren Fascie des M. transv. perinei prof. *Tps''* Von der Fascia obturatoria, *Tps'''* von Sehnenstreifen, die aus der Fascia obturatoria entspringend zwischen die Fasern des M. levator ani eindringen.  
*trp* Lig. transv. pelvis.  
*z* Bündel des M. levator ani zur Haut.  
*\** Medianes Septum d. Perinealmuskeln.  
*\*\** Transversales Septum der Perinealmuskeln.  
*†\** Sehnenstreifen aus der Fascia obturatoria in den M. levator ani.



- Fig. 1. Ansicht der vorderen und eines Theils der unteren Beckenwand von innen. Die Uretra ist dicht über dem Eintritte in den *M. transv. perinei prof.* durchschnitten, die obere Aponeurose dieses Muskels weggenommen. † Durchschnitt des Schambeins. †† Durchschnitt des Sitzbeins. 1 Schambeinsynchondrose. 2 Fascia obturatoria. 3 Durchschnittene Venen des Plexus pubicus impar. 4 *V. pudenda*, der Länge nach geöffnet. 5 *Venae profundae penis*, quer durchschnitten. 6 Querschnitt der *Art. penis*, 7 des *N. dorsalis penis*. 8 Querschnitte der Ausführungsgänge der Cowper'schen Drüsen und der *Vv. bulbosae*.
- Fig. 2. Vordere Wand des Beckens mit dem Diaphragma urogenitale. Das *Corpus cavernosum penis* ist mit dem *M. ischiocavernosus* rechterseits nahe am Ursprung quer abgeschnitten, linkerseits gänzlich abgetragen. Die Uretra mit dem dieselbe einschliessenden cavernösen Körper ebenfalls unter der Austrittsstelle aus dem Becken durchschnitten. 1 Schambeinsynchondrose. 2 *Lig. suspensorium penis laterale*. 3 *V. dorsalis penis*, 4 *Art. penis*, 5 *N. dorsalis penis*, 6 *Vena profunda penis*, 7 *Art.* und *V. bulbosa*, sämmtlich dicht am Becken abgeschnitten.
- Fig. 3. Frontalschnitt des Beckens mit den Weichtheilen durch die Mitte der Pfanne, rechte Hälfte. 1 Acetabulum. 2 Durchschnitt des Sitzbeins. 3 Fascie des *M. levator ani*. 4 Fascia obturatoria. 5 Plexus venosus prostatico-vesicalis, 6 *N. dorsalis penis*, 7 *Vena pudenda*, 8 *Venae profundae penis*, 9 *Arteria penis*, 10 Zweige der *V. bulbosa*, den *Bulbus uretrae* umgebend, 11 *Venae bulbosae*, sämmtlich im Querschnitt. 12 Prostata, Frontalschnitt. 13 Querschnitt des *Duct. ejaculatorius*. 14 Harnblase.

Fig. 3.

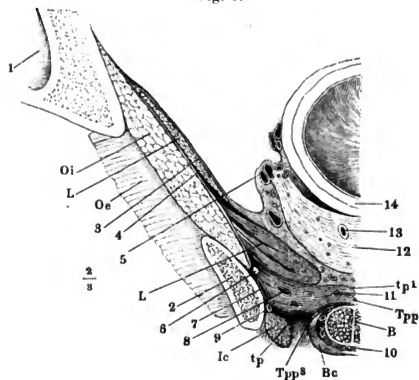
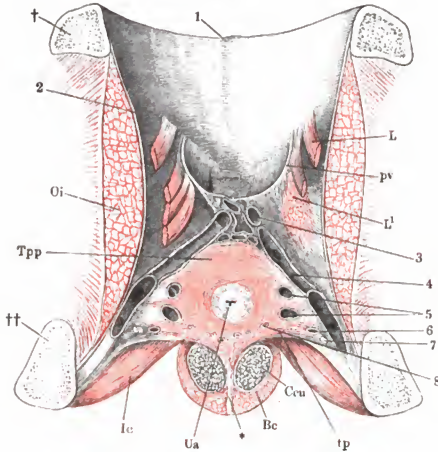


Fig. 1.



- B* Bulbus uretrae.  
*Bc* M. bulbocavernosus.  
*Ccp* Corp. cavernos. penis.  
*Ccu* Corp. cavernos. uretrae.  
*Ic* M. ischio-cavernosus.  
*L* M. levator ani. *L*<sup>1</sup> Derselbe am Ursprung abgeschnitten und aufwärts umgeschlagen.  
*Oe* M. obturat. ext.  
*Oi* M. obturat. int.  
*p<sub>v</sub>* M. pubovesicalis, vor der Blaseninsertion durchschnitten.  
*tp* Untere, *tp*<sup>1</sup> obere Aponeurose des M. trans. perinei prof.  
*Tpp* M. transv. perin. prof. *Tpp*<sup>2</sup> Schräge, *Tpp*<sup>3</sup> sagittale Schichte. *Tpp*<sup>\*</sup> Endigung der letzteren in dem Winkel zwischen den Corp. cav. penis.  
*trp* Lig. transv. pelvis.  
*Ua* Uretra.  
*\** Medianes Septum der Perinealmuskeln.

Fig. 2.

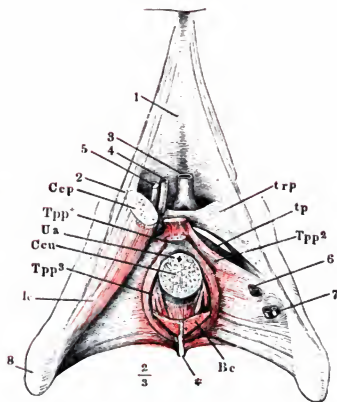


Fig. 1. Diaphragma urogenitale von unten, die Uretra über dem Eintritt in das Corpus cavernosum uretrae durchschnitten, das Corpus cavernosum uretrae entfernt. Die mit \* bezeichnete Fläche giebt die Ausdehnung an, in welcher der Bulbus uretrae an die untere Fläche des *M. transversus perinei prof.* angewachsen ist. Rechterseits ist der untere Ast des Schambeins durchsägt (†), ein Theil des *Corpus cavernosum penis* und des *M. ischiocavernosus* hinweggenommen, der Rest mit den entsprechenden Gebilden der linken Seite nach links geneigt, das Diaphragma urogenitale zwischen der Medianebene und der Beckenanheftung der Länge nach durchschnitten. 1 Art., 2 Vena, 3 N. pudendus. 4, 5 Zweige der *V. profunda penis*. 6 Vena, 7 Art. bulbosa. 8, 9 Glatte Muskelbündel. 10 Schnitttrand des *M. transversus perinei prof.* 11 Blase. 12 Rectum.

Fig. 2. Vordere Beckenwand von innen mit dem Diaphragma urogenitale. † Durchschnitt des oberen, †† Durchschnitt des unteren Astes des Schambeins. 1 Harnblase. 2 Vas deferens. 3 Vesicula seminalis. 4 Prostata. 5 Aponeurose des *M. obturator int.* 6 Untere Beckenfascie, zur Seite der Prostata vertical durchschnitten. 7 Obere Beckenfascie, den Ursprung des *M. levator ani* bekleidend. 8 Uretra. 9 Vasa und N. pudenda. 9' Vasa perinea. 9'' *V. pudenda* der rechten Seite, innerhalb des Diaphragma, in welche die *V. profunda penis* (10) und eine Vene der vorderen Beckenwand (11) einmünden. 12 Cowper'sche Drüse, durch Trennung und Zurückschlagen der oberen Schichte des *M. transv. perinei prof.* frei gelegt.

---

<i>Bc</i>	<i>M. bulbocavernosus.</i>
<i>Ccp</i>	<i>Corp. cavernos. penis.</i>
<i>Ic</i>	<i>M. ischiocavernosus. Ic'</i> Insertion desselben auf dem <i>C. cavernos. penis.</i>
<i>L</i>	<i>M. levator ani. L'</i> Derselbe am Ursprung abgeschnitten und aufwärts umgeschlagen.
<i>Oi</i>	<i>M. obturat. int.</i>
<i>Tpp</i>	<i>M. transv. perin. prof. Tpp<sup>1</sup></i> Transversale, <i>Tpp<sup>2</sup></i> schräge Schichte.
<i>Ua</i>	Uretra.
*	Medianes Septum der Perinealmuskeln.

Fig. 1.

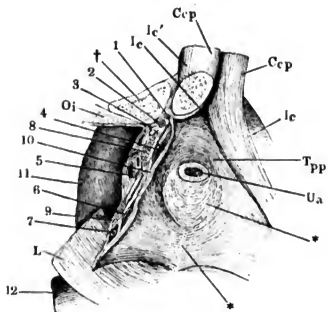


Fig. 2.

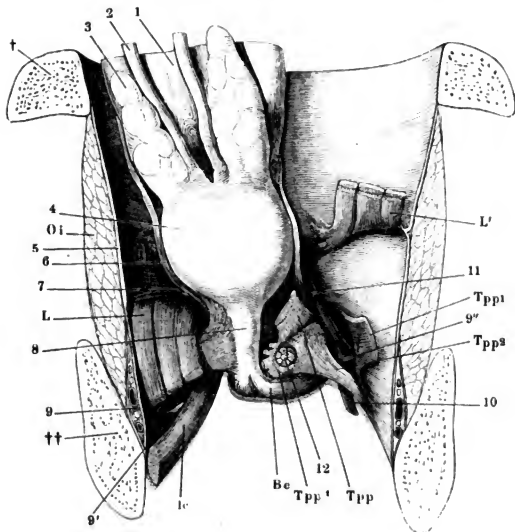


Fig. 1. Vordere Beckenwand, mittelst eines frontalen, durch das For. obturatorium geführten Schnittes von dem hinteren Theile des Beckens abgetrennt, mit den Beckeneingeweiden, von innen. Rectum mit dem M. levator ani der linken Seite nach rechts umgelegt. † Schnittfläche des Schambeins, †† des Sitzbeins. 1 Fascia obturatoria. 2 Gefäße und Nerven des Penis. 3 Harnblase. 4, 4 Ureteren. 5, 5 Vasa deferentia. 6, 6 Vesiculae seminales. 7 Fett und Gefäße einschliessende, zur Seite der Blase und des Rectum aufsteigende Fascie. 8 Prostata. 9 Rectum. \*\* Aus der Fascia obturatoria entspringende, zwischen die Bündel des M. levator ani eindringende Sehnenstreifen.

Fig. 2. Ansicht des Leisten- und Kreuzbeins mit dem Steissbeine von innen sammt den dicht über dem Boden des Beckens abgeschnittenen Eingeweiden und der innersten Lage der Beckenmuskeln. Durch einen Schnitt unterhalb des Iliosacralgelenks ist die Verbindung des Kreuzbeins mit dem Hüftbeine getrennt; das Kreuzbein nach links umgelegt. 1 Schambeinsynchondrose. 2 Eingang des Can. obturatorius. 3 Querschnitt des Kreuzbeins. 4 Steissbeinspitze. 5 Rectum. 6 Horizontalschnitt der Prostata. 7 Sinus prostaticus und Ductus ejaculatorii. 8 Uretra im Querschnitt. 9 Venen des Plexus pubicus impar. 10 Venöser Plexus zwischen Prostata und Rectum. 11 Vorderes Ende des Arcus tendineus.

Fig. 3. Frontalschnitt des Beckens mit den Weichtheilen durch die Afteröffnung. † Durchschnitt des Hüftbeins. 1 Angeschchnittenes Acetabulum. 2 Durchschnitt der Vesicula seminalis, 3 des Vas deferens. 4 Rectum. 4' Muskelhaut desselben. 5 After. 6 Peritoneum und Fascie des M. obturat. int. 7 Vasa pudenda unter dieser Fascie. 8 Peritonealüberzug des Plexus venosus vesicalis. 9 Fascie des M. levator ani.

Fig. 1.

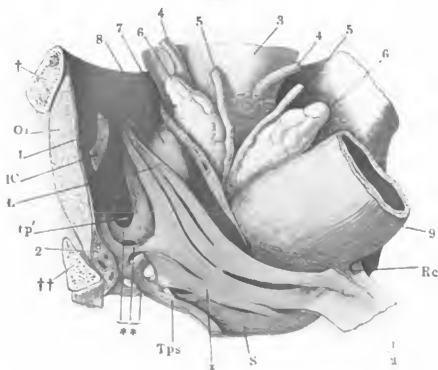




Fig. 2.

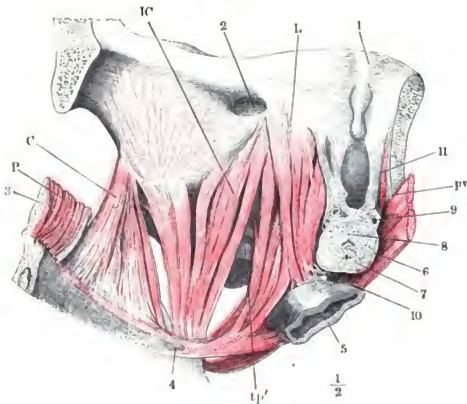
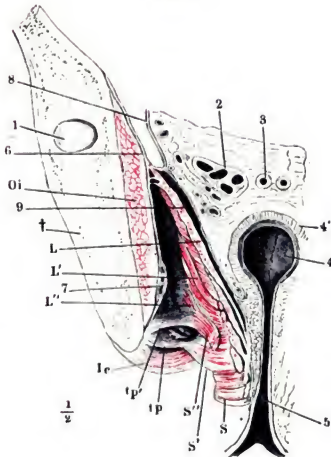


Fig. 3.

- C* M. coccygeus.
- 1C* M. ischiococcygeus.
- 1c* M. ischiocavernosus.
- L* M. levator ani. *L'* Querschnitte der hinter dem Rectum in der Mittellinie zusammenfließenden Fasern. *L''* Auf der oberen Fascie des M. transversus perinei sich inserierende Fasern.
- Oi* M. obturator int.
- P* M. pyriformis.
- Pv* M. pubovesicalis.
- Rc* M. rectococcygeus.
- S* Sphincter ani. *S'* Von der oberen, *S''* von der unteren Fascie des M. transv. perinei prof. entspringende, dem M. sphincter ani sich beimischende Fasern.
- tp* Untere, *tp'* obere Fascie des M. transv. perin. prof.
- Tps* M. transv. perin. superfic.
- x* Muskelbündel aus dem M. levator zum M. sphincter ani.



Mediandurchschnitt des unteren Theils des Rumpfs, von einer gefrorenen weiblichen Leiche. Der Dünndarm ist entfernt. 1 Schambeinsynchondrose. 2 Peritoneum. 3 Aeussere, 4 innere Schichte der Muskelhaut der zusammengezogenen Harnblase. 5 Subperitoneales Bindegewebe. 6 Clitoris. 7 Vena dorsalis clitoridis. 8 Querschnitt des *M. transversus perinei* prof. 9 Ringfaserschichte der Uretra, vordere Wand. 10 Labium pudendi. 11 Orificium uretrae. 12 Nymphe. 13 Längsfaserschichte der Uretra, hintere Wand. 14 Ringfaserschichte derselben, desgleichen. 15 Orificium vaginae. 16 Festes glattes Muskelgewebe des Perineum. 17 Sphincter ani ext., vorderer Durchschnitt. 18 Sphincter ani int., desgleichen. 19 Aftermündung. 20 Längsfaserschichte des Rectum. 21 Sphincter ani int., hinterer Durchschnitt. 22 Sphincter ani ext., desgleichen. 23 Vagina. 24 Labium uterinum ant. 25 Lab. ut. post. 26 *M. rectococcygeus*, mit eingestreuten gestreiften Fasern. 27 Steissbein. 28 Rectum. 29 Uterus.

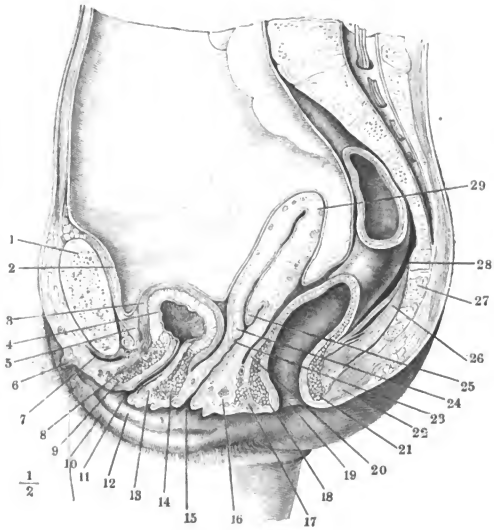


Fig. 1. Beckeneingeweide einer im fünften Monat Schwangeren, nach Entfernung des Fötus. Profilsansicht. Das Peritoneum ist von der Blase, dem Uterus und Rectum, so weit es locker angeheftet ist, zurückgeschlagen, das Lig. latum durch einen Schnitt (††) gespalten und nach beiden Seiten auseinandergelegt, so dass die angewachsene Fläche des Peritoneum und theilweise die vom Lig. latum eingehüllten Gebilde sichtbar werden. 1 Harnblase. 2 Ureter, über der Insertion abgeschnitten. 3 Lig. teres uteri, an der Innenfläche der vorderen Platte des Lig. latum. 4 Uteruskörper. 5 Durchschnitt des Oviducts. 6 Laterale Spitze des in einer Falte der hinteren Platte des Lig. latum eingeschlossenen Ovarium. 7 Vasa spermatica. 8 Gegend des Os uteri ext. 9 Vagina. 10 Rectum. 11 M. levator ani.

Fig. 2. Horizontalschnitt der Weichtheile am Beckenausgang.

---

*L* M. levator ani.  
*R* Rectum.  
*Ua* Uretra.  
*Va* Vagina.

Fig. 2.

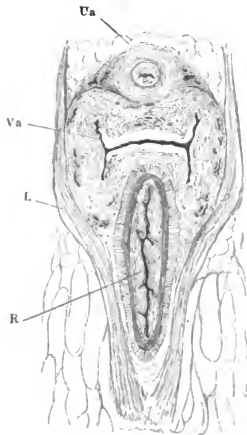


Fig. 1.

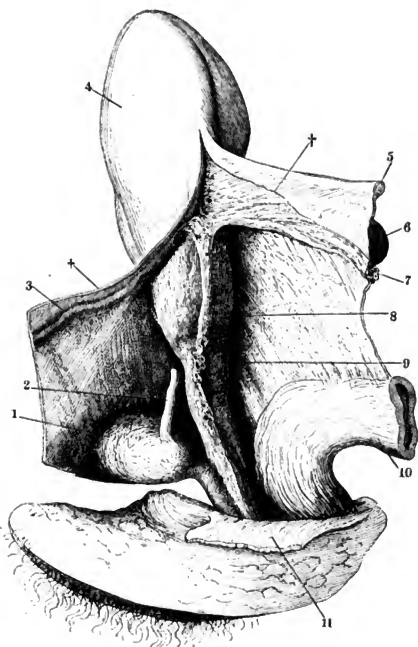


Fig. 1. Frontalschnitt der weiblichen Genitalien durch das Orificium vaginae. Der rechte Oviduct und das entsprechende Ovarium sind entfernt.

Fig. 2. Weibliches Becken, von der linken Seite geöffnet, um die sagittale Axe mit der rechten Seite aufwärts gedreht. Das Peritoneum von der linken Hälfte, soweit es nicht fest mit der Muskelschichte des Uterus verbunden ist, abgelöst. Uterus vorwärts umgelegt. 1 Harnblase. 2 Vorderfläche des Lig. latum uteri. 3 Das von demselben umhüllte Lig. teres. 4 Oviduct. 5 Ovarium. 6 Rectum. 7 Horizontalschnitt des Kreuzbeins. 8 Hintere Schichte des das Rectum umgebenden fett-haltigen Bindegewebes. 9 Querschnitt des M. gluteus max. 10 Gegend des Os uteri ext. 11 Vagina. 12 M. obturator int. 13 An den Beckeneingeweidn aufsteigender Theil der Beckenfascie. 14 An der Seitenwand des Beckens absteigender Theil derselben. 15 Winkel zwischen beiden. 16 Von der Blase zu Uterus und Vagina ziehendes Muskelblatt. 17 Ureter, an der Einnündung abgesehnitten.

- Ccu* Querschnitt des Corp. cavernos. uretrae.  
*Cvp* Columna vaginalis post.  
*Eo* Epophoron.  
*Fr* Fornix vaginae.  
*H* Hymen.  
*Lo* Ligamentum ovarii.  
*Lp* Labium pudendi.  
*Lru* Lig. recto-uterinum.  
*Lu* Labium uterinum.  
*O* Ovarium.  
*Od* Oviduct.  
*Oui* Ostium uterinum int.  
*Prn* Plica recto-uterina.  
*Ut* Uterus.  
*Va* Vagina.  
*X* Hydatide des Epophoron.  
 \* Follikel.  
 \*\* Corpus luteum.

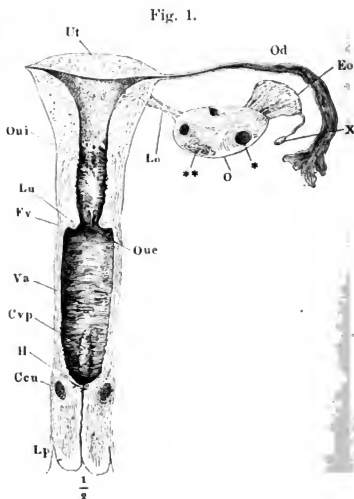
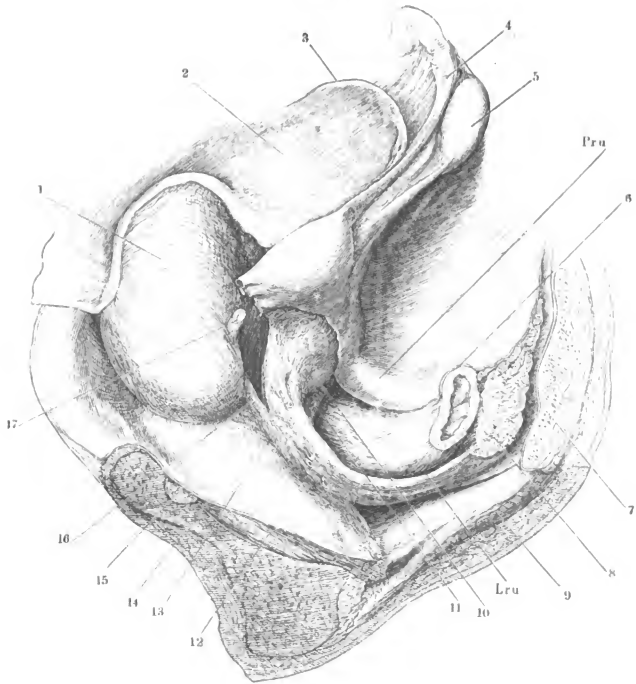


Fig. 2.



- Fig. 1. Vestibulum vaginae, durch Auseinanderziehen der Labia pudendi geöffnet.  
 \* Ausmündung der Cowper'schen Drüse. \*\* Hintere Wand des Vestibulum. \*\*\* Lacunen in der Umgebung des Orificium uretrae.
- Fig. 2. Mediandurchschnitt der äusseren weiblichen Genitalien. \* Venengeflecht zwischen den Corpp. cavernosa clitoridis und uretrae.
- Fig. 3. Vagina, Ansicht der vorderen Wand nach Wegnahme der hinteren. A mit aufwärts, B mit abwärts divergirenden Wülsten der Columna vaginalis anterior. \* Durchschnitt des Fornix vaginae. \*\* Carunculae hymenales.
- Fig. 4. Horizontalschnitt der vorderen Wand der Vagina mit der Uretra.

<i>Cec</i>	Corpus cavernosum clitoridis.	<i>Na</i>	Navicula ( <i>Frenulum labior. maj. a ut.</i> ).
<i>Ccu</i>	Corpus cavernosum uretrae.	<i>Ou</i>	Orificium uretrae.
<i>Cl</i>	Clitoris.	<i>Oue</i>	Ostium uterinum ext.
<i>Cva</i>	Columna vaginalis ant.	<i>Pe</i>	Praeputium clitoridis.
<i>Cvp</i>	Columna vaginalis post.	<i>R</i>	Rectum.
<i>Fe</i>	Frenulum clitoridis.	<i>S</i>	M. sphincter ani.
<i>Fn</i>	Fossa navicularis.	<i>Ua</i>	Uretra.
<i>H</i>	Hymen.	<i>Va</i>	Vagina.
<i>N</i>	Nymphe.		

Fig. 2.

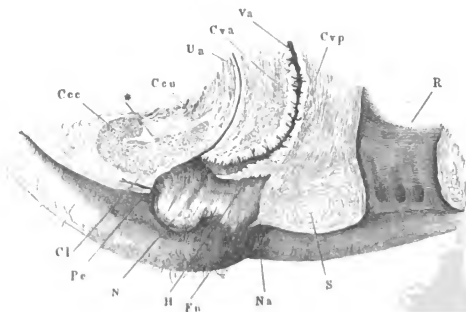




Fig. 1.

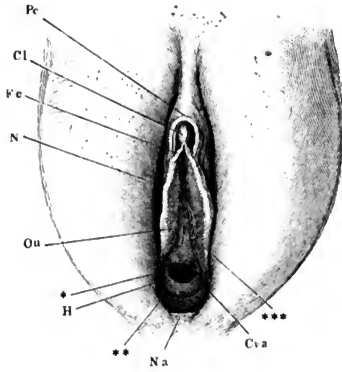


Fig. 4.

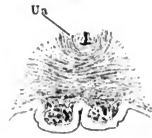
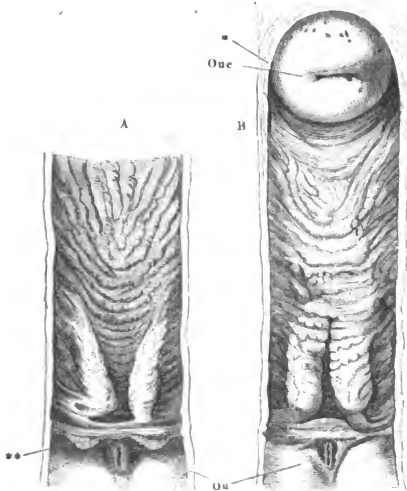


Fig. 3.



- Fig. 1. Medianschnitt des Uterus und des oberen Theils der Vagina.
- Fig. 2. Querschnitte A des Körpers. B des Halses des Uterus. \* Peritoneal-  
bekleidung.
- Fig. 3. Sagittaldurchschnitte des Fundus uteri, von der Mitte (A) successiv gegen  
die obere seitliche Ecke vorschreitend, um zu zeigen, wie die Uterin-  
höhle allmählig in das Lumen des Oviducts sich fortsetzt. \* Oviduct.  
\*\* Scharfer Rand der oberen, in den Oviduct übergehenden Ecke des  
Uterus.
- Fig. 4. Plicae palmatae des Cervicaltheils des Uterus.

Fig. 1.



Fig. 2.

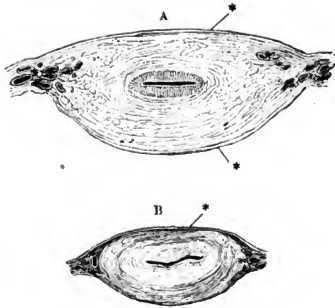


Fig. 3.

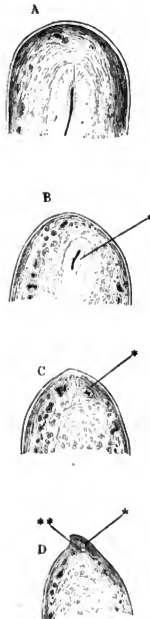


Fig. 4.



- Fig. 1. Ansicht von hinten der seitlichen Ecke des Uterus mit einem Theil des Lig. latum, dem Oviduct und Ovarium. \* Dem Rande des Ovarium folgender Gefäßzweig.
- Fig. 2. Ovarium und abdominales Ende des Oviducts mit durchbrochenen Fimbrien und zahlreichen Nebenzacken der Fimbria ovarica.
- Fig. 3. Theil des Querschnitts einer erhärteten Ampulle. Durchschnitt einer complicirten, mit zahlreichen Nebenleisten versehenen Falte. \*\* Lücken im Inneren der Falten. \*
- Fig. 4. Sagittaldurchschnitt des Ovarium einer 18jährigen Person. 1 Albuginea. 2 Faserschichte der Rindensubstanz. 3 Zellige Schichte derselben. 4 Marksubstanz. 5 Lockeres Bindegewebe zwischen den festeren Schichten der Marksubstanz.
- Fig. 5. Sagittaldurchschnitt des Ovarium einer während der Menstruation Verstorbenen. 1 Albuginea. 2, 2, 2 Follikel. 2' Tunica fibrosa, 2'' Tunica propria und granulosa des Follikels. 3 Tunica fibrosa des Corpus luteum. 4 Tunica propria desselben. 5 Blutcoagulum. 6 Riss des Follikels. 7 In Rückbildung begriffenes C. luteum. 8 Durch den Hilus ovarii eintretende Gefässe. 9 Lamellen des Lig. latum uteri.

<i>Eo</i>	Epoophoron.	<i>Lo</i>	Lig. ovarii.
<i>Fo</i>	Fimbria ovarica.	<i>O</i>	Ovarium.
<i>I</i>	Infundibulum.	<i>Oa</i>	Ostium abdominale des Oviducts.
<i>io</i>	Lig. infundibulo-ovaricum.	<i>Od</i>	Isthmus, <i>Od'</i> Ampulle des Oviducts.
<i>ip</i>	Lig. infundibulo-pelvicum.	<i>Ut</i>	Uterus.
<i>Ll</i>	Lig. latum.		

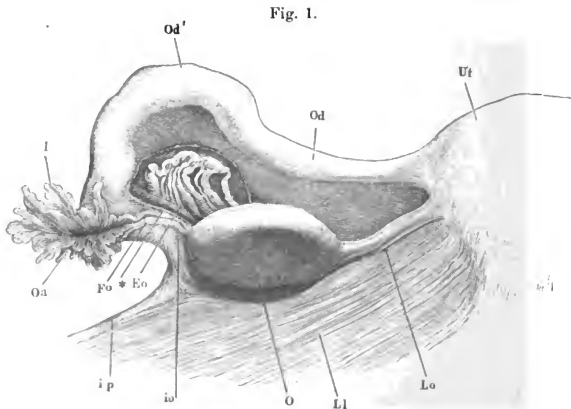


Fig. 3.

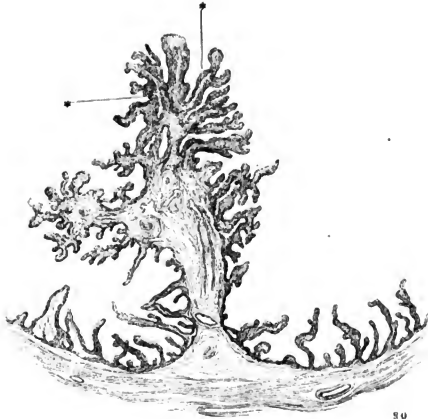


Fig. 5.

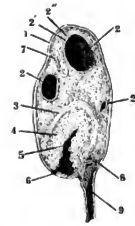


Fig. 4.

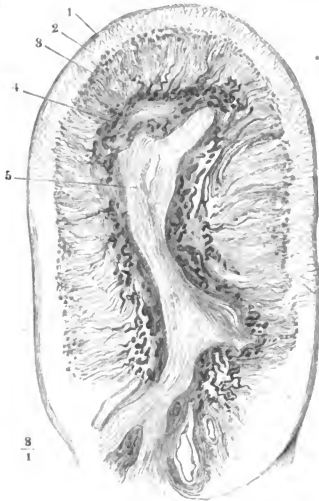


Fig. 2.

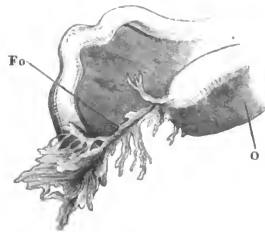


Fig. 1. Schambeinsynchondrose mit den Corpp. cavernosa clitoridis und dem vorderen Theil der Corpp. cavernosa uretrae und deren Muskeln. Die Clitoris in der Nähe ihrer Spitze quer durchschnitten, die Spitze mit der Schleimhaut des Vestibulum abwärts umgeschlagen. Ebenso ist die vordere Commissur der Corpp. cavernosa uretrae zurückgeschlagen, so dass deren Rückenfläche sichtbar wird. † Leistenbein. \* Symmetrische, aus der durchschnittenen V. dorsalis clitoridis hervorgehende Aeste, welche zwischen Lig. arcuat. pubis und Lig. transv. pelvis ins Becken eintreten.

Fig. 2. Ansicht der in dem vorderen Theil des Beckenausganges des Weibes gelegenen Gebilde, nach Entfernung der Haut und des Fettes. Die Clitoris sammt der rechten Wand des Vestibulum nach links umgelegt. † Grenze des Scham- und Sitzbeins. \*, \*\* Glatte Muskelschichte zwischen Vagina und Rectum.

---

<i>Bc</i>	<i>M. bulbocavernosus.</i> <i>Bc</i> <sup>1</sup> Bündel, welche sich aus dem <i>M. sphincter ani</i> in denselben fortsetzen. <i>Bc</i> <sup>2</sup> In der Schleimhaut der Decke des Vestibulum endende Bündel. <i>Bc</i> <sup>3</sup> Bündel, die sich sehnig am Seitenrand und der unteren Fläche des <i>Corp. cavernosum clitoridis</i> inseriren. <i>Bc</i> <sup>4</sup> Auf der Rückenfläche des <i>Corp. cavernos. clitoridis</i> sich inserirende Bündel.	<i>Cr</i>	Cowper'sche Drüse. <i>Cr</i> <sup>1</sup> Ausführungsgang derselben.
<i>Ccc</i>	<i>Corpus cavernos. clitoridis.</i>	<i>Ic</i>	<i>M. ischiocavernosus.</i> <i>Ic</i> <sup>1</sup> Vordere, neben dem <i>Corp. cavernos. clitoridis</i> vom Schambein entspringende Bündel. <i>Ic</i> <sup>2</sup> Insertion am <i>Lig. transversum pelvis.</i> <i>Ic</i> <sup>*</sup> Insertionen am <i>Corp. cavernos. clitoridis.</i>
<i>Ccu</i>	<i>Corpus cavernos. uretrae.</i>	<i>Ou</i>	<i>Orificium uretrae.</i>
<i>Cl</i>	<i>Clitoris.</i> <i>Cl</i> <sup>*</sup> Septum, <i>Cl</i> <sup>†</sup> Spitze derselben.	<i>S</i>	<i>M. sphincter ani.</i> <i>S</i> <sup>1</sup> In der Haut endigende, <i>S</i> <sup>2</sup> kreisförmige Bündel desselben.
<i>Cva</i>	<i>Columna vaginalis ant.</i>	<i>Tpp</i>	<i>M. transversus perinei prof.</i>
		<i>Tps</i>	<i>M. transversus perinei superficialis.</i>
		<i>trp</i>	<i>Lig. transversum pelvis.</i>
		<i>Ua</i>	<i>Uretra.</i>

Fig. 1.

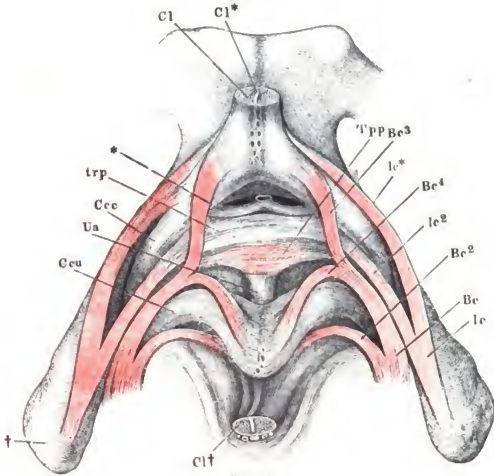
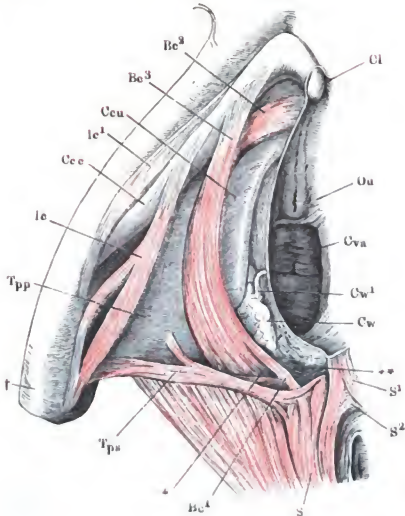


Fig. 2.



- Fig. 1. Oberes und unteres Augenlid, durch einen verticalen Schnitt gespalten, die medialen Hälften auf- und abwärts zurückgeschlagen.
- Fig. 2. Sagittaldurchschnitt des unteren Theils des oberen Augenlides. 1 Epidermis. 2 Cutis. 2' Papillöse Region derselben am Uebergang in die Mucosa. 3 Subcutanes Gewebe. 4 *M. orbicularis palpebralis*. 4', 4'' Bündel desselben zur Schleimhautfläche. 5 Lockeres Bindegewebe zwischen Muskelschichte und Tarsus. 6 Tarsus. 7 *Conjunctiva palpebr.* 8 Cilie. 9 Haarbalgdrüse derselben. 10 Tarsaldrüse (Meibom'sche Drüse).

---

<i>Cl</i>	<i>Caruncula lacrymalis.</i>
<i>Opi</i>	<i>M. palpebralis inf.</i>
<i>Ops</i>	<i>M. palpebralis sup.</i>
<i>Pl</i>	<i>Punctum lacrymale.</i>
<i>Ps</i>	<i>Plica semilunaris.</i>



Fig. 1.

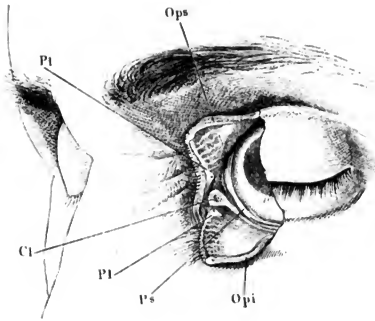
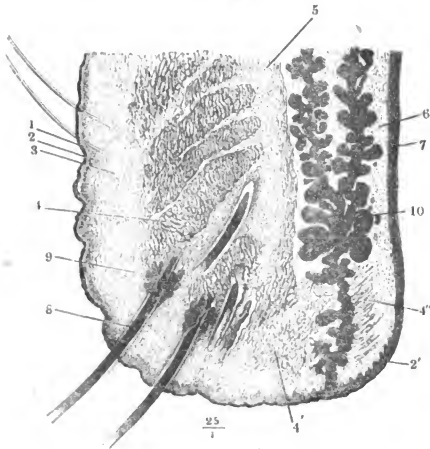


Fig. 2.



- Fig. 1. Linke Orbita von vorn. Die Haut des oberen Augenlids ist weggenommen, der *M. palpebralis sup.* herabgeschlagen, um die Thränenrüsen und die Insertion des *M. levator palpebrae* in den Tarsus des oberen Augenlids und das *Lig. palpebrale laterale* sichtbar zu machen.
- Fig. 2. Sagittalschnitt der Augenhöhle, mediale Schnittfläche. *Mm. palpebrales sup.* und *inf.* dicht am Ursprung abgeschnitten. † Geöffnete Kieferhöhle.
- Fig. 3. Horizontalschnitt des Gesichts durch den Thränensack, untere Schnittfläche. † Nasenscheidewand. †† Siebbeinzellen. \* Rechte Nasenhöhle. \*\* Rest der *Conjunctiva*.
- Fig. 4. Frontalschnitt des Gesichts, welcher die Orbita, die Kieferhöhle (†) und den *Ductus lacrymalis* geöffnet hat. †† Durchschnitt der unteren Muschel.

---

<i>Cl</i>	<i>Caruncula lacrymalis.</i>
<i>Canl</i>	<i>Canaliculus lacrymalis.</i>
<i>Gl, Gl'</i>	<i>Gland. lacrymalis sup. und inf.</i>
<i>Ll</i>	<i>Lacus lacrymalis.</i>
<i>Lp</i>	<i>M. levator palpebrae.</i>
<i>Oi</i>	<i>M. obliquus oculi inf.</i>
<i>Op</i>	<i>M. orbicularis palpebralis. Op'</i> Ursprung desselben vom Thränenbein und Thränensack.
<i>Ops</i>	<i>M. palpebralis sup.</i>
<i>Os</i>	<i>M. obliquus oculi sup., Sehne.</i>
<i>pl</i>	<i>Lig. palpebrale laterale.</i>
<i>pli</i>	<i>Punctum lacrymale inf.</i>
<i>pls</i>	<i>Punctum lacrymale sup.</i>
<i>pm</i>	<i>Lig. palpebrale mediale.</i>
<i>sl</i>	<i>Saccus lacrymalis.</i>
<i>Tr</i>	<i>Trochlea.</i>

Fig. 1.

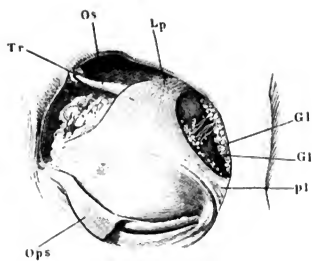


Fig. 2.

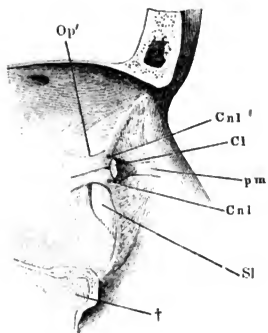


Fig. 3.

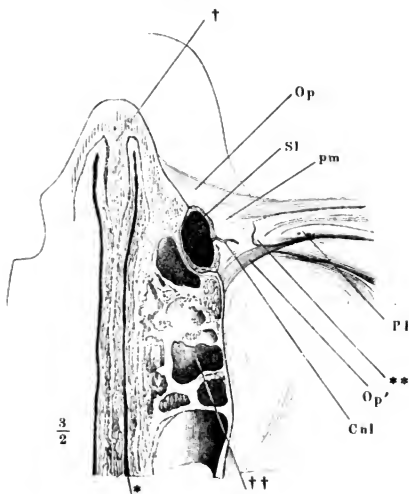
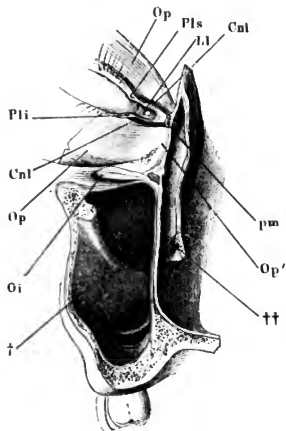


Fig. 4.



- Fig. 1. Ductus lacrymalis im Profil, die laterale Wand entfernt. † Grenze des Saccus und Canalis lacrymalis. \* Communicationsöffnung der Kiefer- und Nasenhöhle. \*\* Laterale Fläche der unteren Muschel.
- Fig. 2. Horizontalschnitt des Gesichts durch den Thränencanal, obere Schnittfläche. *a* Knöcherner, *b* häutiger Thränencanal. *c* Lumen desselben. 1 Knorpelige, 2 knöcherner Nasenscheidewand. 3 Rest der unteren Muschel. 4 Mittlere Muschel, angeschnitten. 5 Kieferhöhle. 6 Mittlerer Nasengang.
- Fig. 3. *A* bis *D*. Verschiedene Formen der Ausmündung des Duct. lacrymalis an der lateralen Wand der linken Nasenhöhle. In *A* ist die hintere Hälfte der unteren Muschel entfernt, in *B*, *C* und *D* die ganze Muschel vom Anheftungsrande abgeschnitten.

Fig. 3.

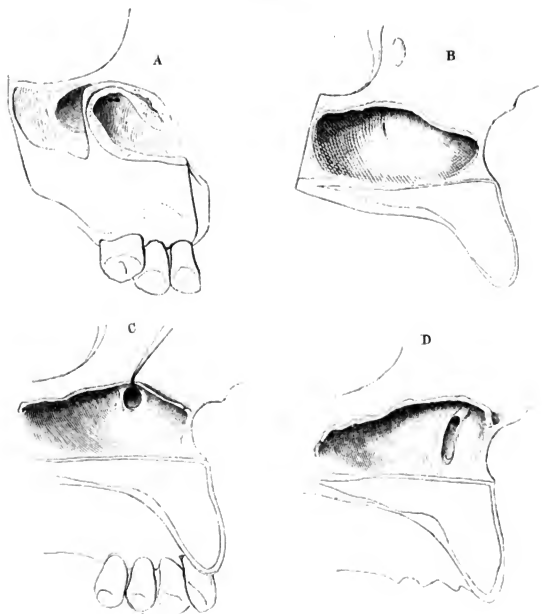


Fig. 1.

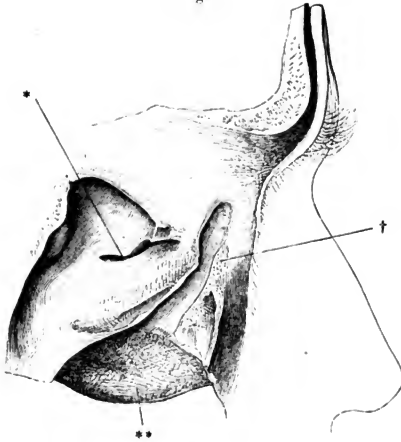


Fig. 2.

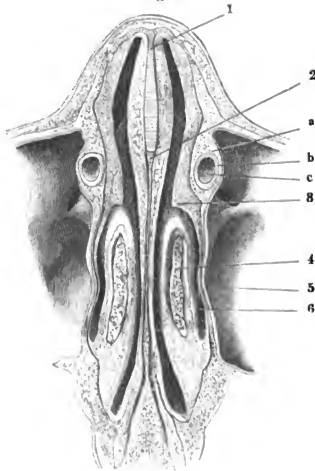


Fig. 1. Sagittalschnitt der Orbita durch die Mm. recti sup. und inf. † Kieferhöhle.

Fig. 2. Horizontalschnitt der Orbita durch die Mm. recti lateralis und medialis. Der Bulbus entleert und die Sclera von der Kapsel abgebogen. † Querschnitt des M. temporalis. †† Geöffnete Stirnhöhle.

---

<i>Cj</i>	Conjunctiva.
<i>Cnl</i>	Canaliculus lacrymalis.
<i>Lp</i>	M. levator palpebrae sup.
<i>o</i>	N. opticus.
<i>Oi</i>	M. obliquus oculi inf. (Querschnitt).
<i>Oo</i>	M. orbicularis oculi.
<i>Op</i>	M. orbicularis oculi palpebralis.
<i>Pl</i>	Punctum lacrymale (des oberen Augenlids).
<i>Ri</i>	M. rectus oculi inf.
<i>Rl</i>	M. rectus oculi lateralis. <i>Rl'</i> Des- sen Anheftung an das Septum orbitale.
<i>Rm</i>	M. rectus oculi medialis. <i>Rm'</i> An- heftung an das Septum orbitale.
<i>R<sub>s</sub></i>	M. rectus oculi sup.
<i>Sl</i>	Saccus lacrymalis.
*	Durchschnitt der Kapsel ( <i>Capsula Tenoni</i> ).

Fig. 1.

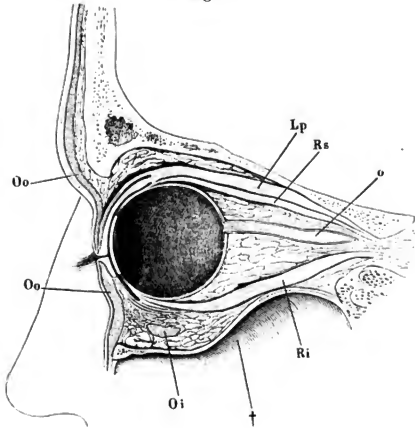
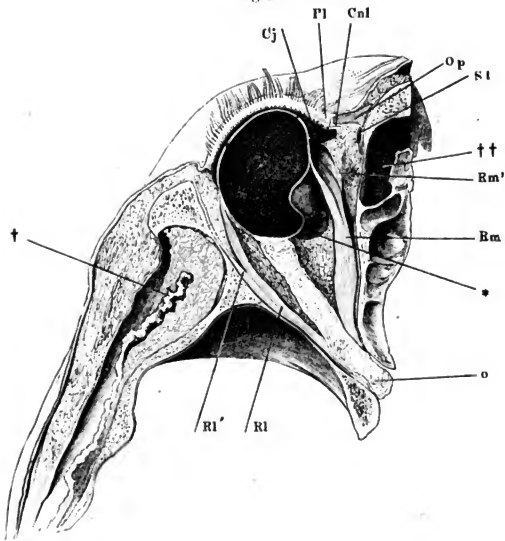


Fig. 2.



- Fig. 1. Frontalschnitt der Orbita durch den Aequator des Bulbus; hintere Schnitt-  
hälfte. Der Bulbus ist bis auf ein Stück der Sclera, an welches der  
N. opticus sich heftet (\*), entfernt. \*\* Kapsel des Bulbus.
- Fig. 2. Orbita von hinten geöffnet, Ansicht des Bulbus und der durchschnittenen  
Augenmuskeln von hinten.
- Fig. 3. Frontalschnitt der Orbita, hintere Hälfte, bis auf die Muskelursprünge  
entleert.

---

<i>Gl</i>	Glandula lacrymalis.
<i>Lp</i>	M. levator palpebrae.
<i>Oi</i>	M. obliquus inf.
<i>Os</i>	M. obliquus sup.
<i>Ri</i>	M. rectus oculi inf. <i>Ri'</i> , <i>Ri''</i> In- sertion in das Septum orbitale.
<i>Rl</i>	M. rectus oculi lateralis.
<i>Rm</i>	M. rectus oculi medialis. <i>Rm'</i> In- sertion in das Septum orbitale.
<i>Rs</i>	M. rectus oculi sup.
<i>Tr</i>	Trochlea.
<i>II</i>	N. opt., kurz abgeschnitten.
<i>III</i>	N. oculomotorius und dessen Ver- ästelungen. Der Zweig zum M. obliquus oculi inf. am Ursprung abgeschnitten.
<i>V</i>	N. supraorbitalis.
<i>VI</i>	N. abducens.
†	Kieferhöhle.
††	Stirn- und Nasenhöhle.



Fig. 1.

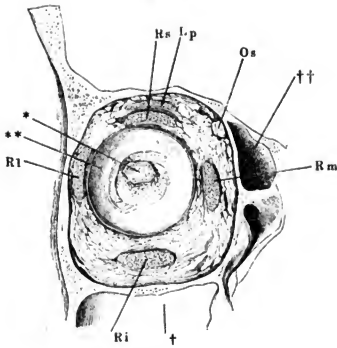


Fig. 3.

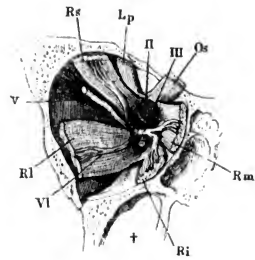
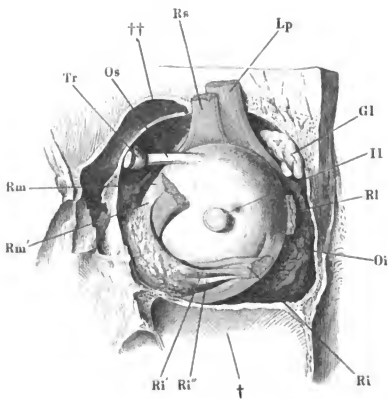


Fig. 2.



- Fig. 1. Horizontalschnitt des rechten Auges, obere Schnittfläche. \* Vordere, \*\* hintere Augenkammer.
- Fig. 2. Meridianschnitt der Augenhäute in der Gegend des Hornhautfalzes.
- Fig. 3. Aeussere Fläche der Choroiden. \*\* Venenstämme.
- Fig. 4. Vorderer Theil des durch einen Aequatorialschnitt halbirtten Bulbus, von innen gesehen.

<i>C</i>	Cornea.
<i>Cc</i>	Corpus ciliare.
<i>Ch</i>	Choroidea.
<i>Cj</i>	Conjunctiva.
<i>Cr</i>	Corpus vitreum.
<i>Fc</i>	Fossa centralis der Retina.
<i>I</i>	Iris.
<i>L</i>	Linse.
<i>O</i>	N. opticus.
<i>Oc</i>	Orbicular ciliaris.
<i>Os</i>	Ora serrata.
<i>R</i>	Retina.
<i>S</i>	Sclera.
<i>Se</i>	Sinus venosus iridis.
<i>Z</i>	Zonula.

Fig. 1.

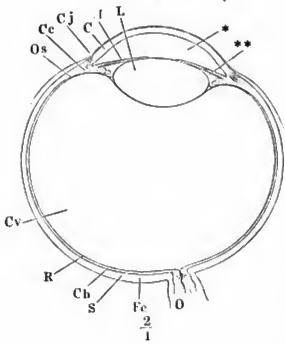


Fig. 2.

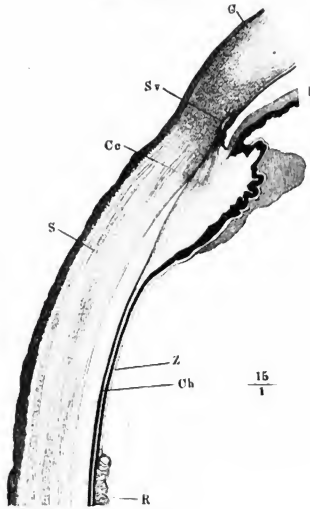


Fig. 3.

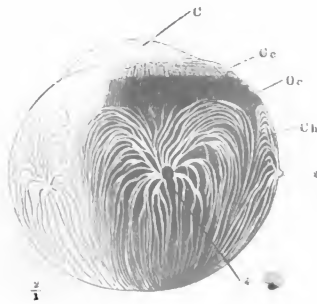
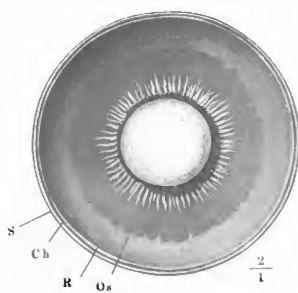


Fig. 4.



- Fig. 1. Meridionalschnitt der äusseren und mittleren Augenhaut am Hornhautfalz. *M. ciliaris*.
- Fig. 2. Durch meridionale Schnitte getrenntes Segment der äusseren und mittleren Augenhaut von innen, die Iris stark abwärts gezogen und theils von der Cornea abgelöst.
- Fig. 3. Meridionalschnitt des Lig. pectinatum iridis.

- 
- Bci* Innere Balsammembran der Cornea.  
*C* Cornea.  
*Cp* Cornea im engeren Sinne.  
*I* Iris.  
*Lp* Pigmentlamelle derselben.  
*Pc* Processus ciliaris.  
*Sp* Sphincter pupillae.  
*Sr* Sinus venosus iridis.  
 \* Faserschichte, in welche die innere Balsammembran der Cornea am Hornhautfalz sich auflöst.

Fig. 3.

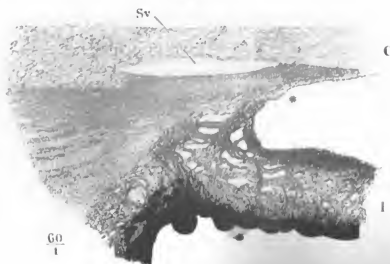


Fig. 1.

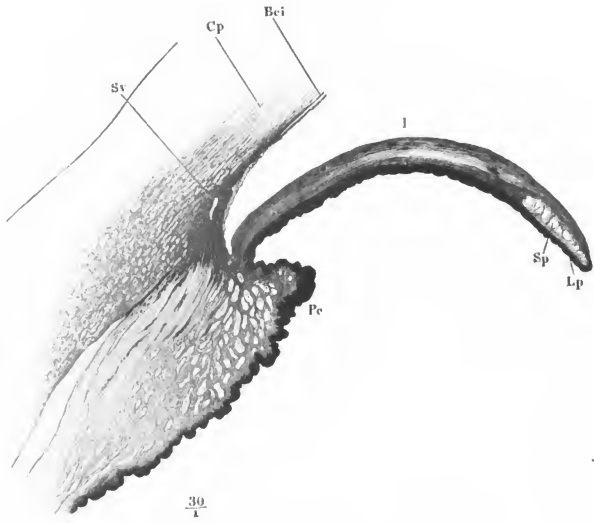


Fig. 2.

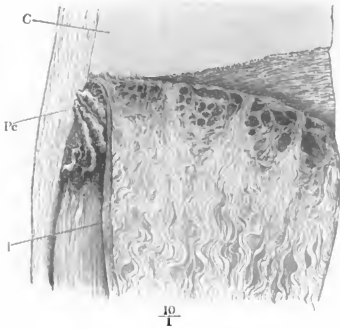


Fig. 1. Vordere Fläche der Iris.

Fig. 2. Hintere Fläche derselben.

Fig. 3. Dickendurchschnitt der Iris, parallel den Rändern. 1 Vordere Grenzmembran. 2 Hintere Grenzmembran. M. dilatator pupillae.

Fig. 4. Gefäße der Iris.

- 
- I* Schwammiges Gewebe der Iris.  
*Lp* Pigmentlamelle.  
\* Grenze der äusseren und inneren Zone.

Fig. 1.

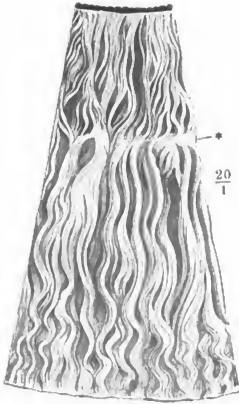


Fig. 2.

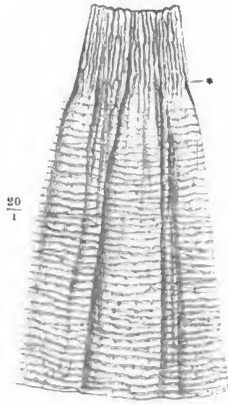


Fig. 3.

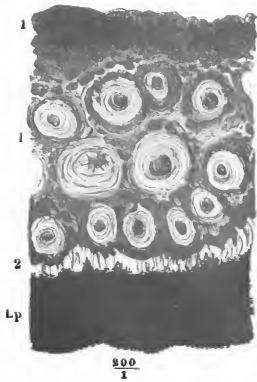
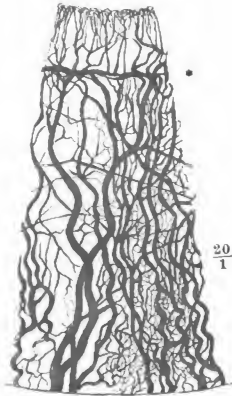


Fig. 4.



- Fig. 1. Aequatorialschnitt des rechten Auges, hinteres Segment von innen, um die Papilla n. optici, die von ihr ausstrahlenden Gefässe und die Macula lutea zu zeigen.
- Fig. 2. Meridionalschnitt der Eintrittsstelle des N. opticus. 1 Canal der Vasa centralia. 2 Nervenbündel. 3 Inneres, 4 äusseres Neurilem. \* Die Stelle, an welcher die Opticusfasern ihre stark lichtbrechende Eigenschaft verlieren. \*\* Querschnitte von Nervenbündeln.
- Fig. 3. Meridionalschnitt des vordersten Theils des Bulbus. \* Linsen kapsel.
- Fig. 4. Profilansicht der Linse. Faserung und Faserlücken.
- Fig. 5. Linse des Schafs, in Wasser macerirt und aufgeblättert.

---

<i>C</i>	Cornea.
<i>Ch</i>	Choroidea.
<i>I</i>	Iris.
<i>L</i>	Linse.
<i>Lcr</i>	Lamina ciliaris retinae.
<i>Lh</i>	Limitans hyaloiden.
<i>R</i>	Retina.
<i>S</i>	Sclera.
<i>Z</i>	Zonula.



Fig. 1.

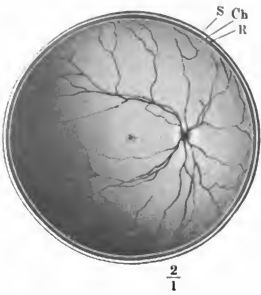


Fig. 2.

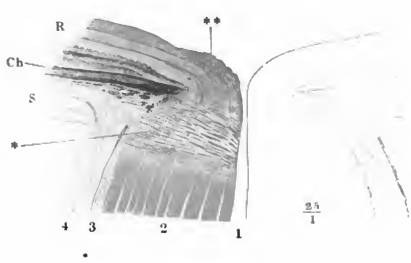


Fig. 3.

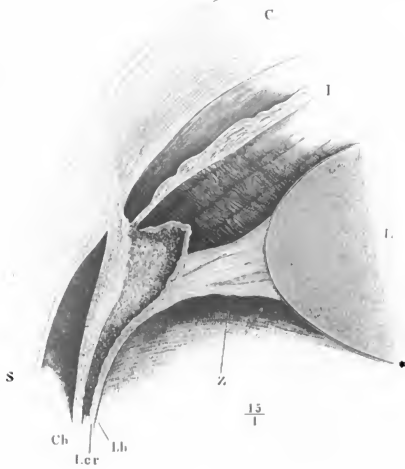


Fig. 4.

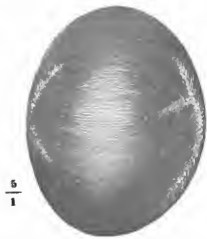


Fig. 5.



Fig. 1. Profil des Schädels mit dem Ohrknorpel, der rinnenförmige Knorpel des äusseren Gehörgangs entfaltet und abwärts gezogen. 1 Meatus audit. ext. 2 Tuberculum articulare des Schläfenbeins. 3 Proc. mastoideus. † Durchschnittsfläche des Jochbogens. \*, \*\* Spalten des Knorpels des äusseren Gehörgangs.

Fig. 2. Muskeln des äusseren Ohrs, laterale Fläche.

Fig. 3. Ohrknorpel und Muskeln desselben von der medialen Fläche. \* Anheftungsfläche des Ohrknorpels an den Rand des Meatus audit. ext.

<i>Ah</i>	Anthelix. <i>Ah'</i> , <i>Ah''</i> Convergirende Schenkel desselben.	<i>H</i>	Helix. <i>H'</i> Ursprungsrüste desselben. <i>H''</i> Spina helix.
<i>At</i>	Antitragus. <i>At'</i> M. antitragicus.	<i>Hm</i>	M. helix minor.
<i>CC</i>	Cartilago conchae auris.	<i>Hmj</i>	M. helix major.
<i>Ch</i>	Cauda helix.	<i>I</i>	Incisura auris.
<i>CM</i>	Cartilago meatus audit. ext.	<i>O</i>	M. obliquus auriculae.
<i>Eas</i>	M. auricularis sup.	<i>S</i>	Scapha.
<i>EFc</i>	Eminentia fossae conchae.	<i>T</i>	Tragus. <i>T'</i> M. tragicus. <i>T*</i> Bündel des M. tragicus zur Spina helix.
<i>EFt</i>	Eminentia fossae triangularis.	<i>Ta</i>	M. transversus auriculae.
<i>ES</i>	Eminentia scaphae.		
<i>Fc</i>	Fossa conchae.		
<i>Ft</i>	Fossa triangularis.		

Fig. 3.

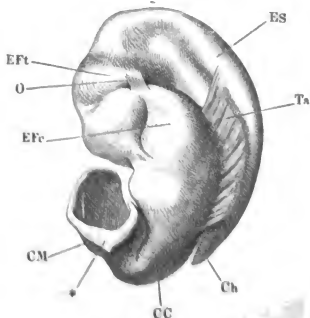


Fig. 1.

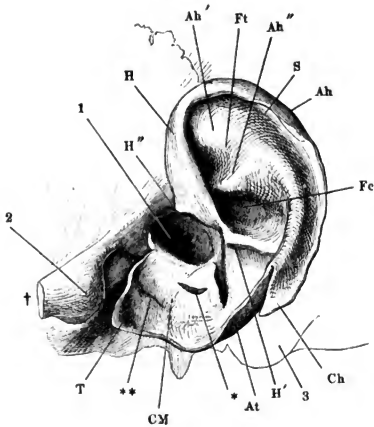


Fig. 2.

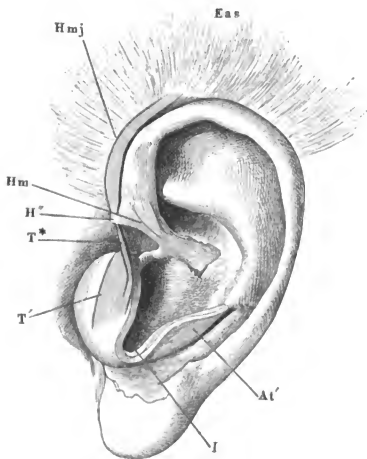


Fig. 1. Horizontalschnitt des Kopfs durch den äusseren Gehörgang. 1 Tuberculum articulare des Unterkiefers. 2 Fossa mandibularis. 3 Paukenfell. 4 Paukenhöhle. 5 Vestibulum. 6 Sinus transversus der fibrösen Hirnhaut. 7 Cellulae mastoideae. \* Spalte des Knorpels des äusseren Gehörgangs.

Fig. 2. Frontalschnitt des Kopfs durch den äusseren Gehörgang und das Ohr an der Uebergangsstelle des Knorpels der Ohrmuschel in den Knorpel des äusseren Gehörgangs. Von der oberen Wand des letzteren ist ein schmaler Streif zurückgeblieben. 1 *M. epicranii temporalis*. 2 *M. auricularis sup.* 3 *M. temporalis*. 4 Obere Wand des knöchernen Gehörgangs. 5 Paukenhöhle. 6 Paukenfell. 7 Steigbügel. 8 Vestibulum. 9 Innerer Gehörgang und *N. acusticus*. 10 Untere Wand des knöchernen Gehörgangs. 11 Parotis. \* Fibröse Lippe des Randes des knöchernen Gehörgangs.

- 
- CC* Knorpel der Ohrmuschel.  
*CM* Knorpel des äusseren Gehörgangs,  
*CM'* obere, *CM''* untere Wand  
 desselben.  
*H''* Spina heliis.  
*L* Ohrläppchen.

Fig. 1.

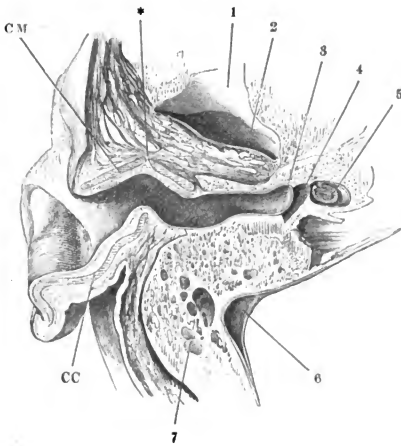
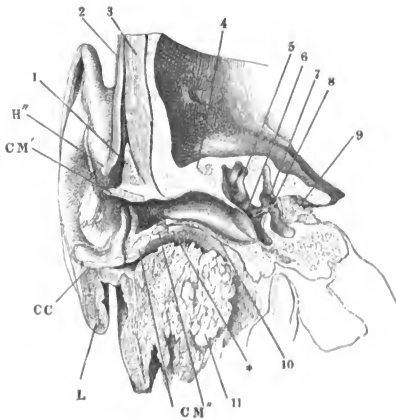


Fig. 2.



- Fig. 1. Ansicht des linken Paukenfells von aussen; der Schädel ist um die sagittale Axe mit der linken Seite aufwärts gedreht, die vordere Wand des knöchernen Gehörgangs weggenommen. 1 Proc. mastoideus. 2 Proc. styloideus. 3 Spina angularis. 4 Fossa mandibularis. 5 Tuberculum articulare. \* Die dem kurzen Fortsatz des Hammers entsprechende Hervorragung. \*\* Nabel des Paukenfells.
- Fig. 2. Linkes Schläfenbein des Neugeborenen mit den Gehörknöchelchen in situ.
- Fig. 3. Gehörknöchelchen in gegenseitiger Verbindung von vorn und von einer rechten Kopfhälfte, welche um die verticale Axe etwas nach rechts gedreht ist.
- Fig. 4. Rechter Hammer. A von vorn, B von hinten. \* Gelenkfläche.
- Fig. 5. Rechter Ambos. A Mediale Fläche. B Ansicht von vorn. \* Gelenkfläche für den Kopf des Hammers. \*\* Auf der Wand der Paukenhöhle ruhende Fläche.
- Fig. 6. Rechter Steigbügel. A von innen, B von vorn, C von unten.

<i>a</i>	Vorderer Schenkel des Steigbügels.
<i>B</i>	Basis desselben.
<i>c</i>	Körper (des Amboses).
<i>cp</i>	Capitulum (des Steigbügels).
<i>I</i>	Incus (Ambos).
<i>Ib</i>	Kurzer Fortsatz desselben.
<i>Il</i>	Langer Fortsatz desselben.
<i>M</i>	Malleus (Hammer).
<i>Mc</i>	Hals desselben.
<i>Mcp</i>	Kopf desselben.
<i>Mb</i>	Kurzer Fortsatz desselben.
<i>Ml</i>	Langer Fortsatz desselben.
<i>Mm</i>	Manubrium (Handgriff) desselben.
<i>p</i>	Hinterer Schenkel des Steigbügels.
<i>pl</i>	Proc. lenticularis des Amboses.
<i>S</i>	Stapes (Steigbügel).
<i>Sta</i>	Spina tympan. ant.
<i>Stp</i>	Spina tympan. post.

Fig. 1.

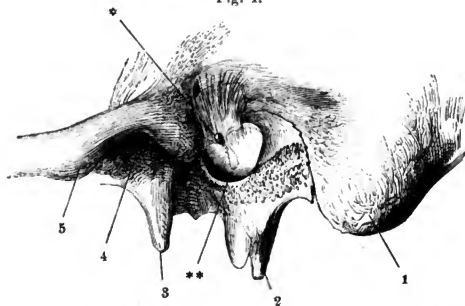


Fig. 2.

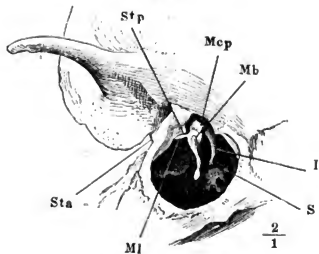


Fig. 3.

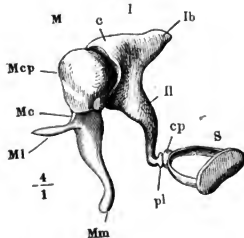


Fig. 4.

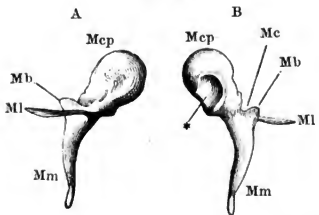


Fig. 5.

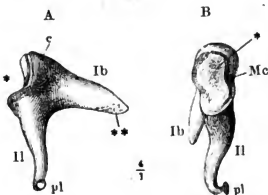
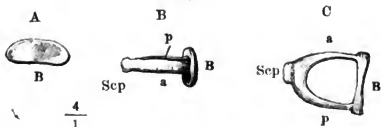


Fig. 6.



- Fig. 1. Rechtes Paukenfell mit dem Hammer von innen. Das innere Blatt der Hammerfalte der Schleimhaut ist entfernt. Lig. mallei ant. 1 Chorda tympani. 2 Tube. \* Sehne des M. tensor tympani dicht an der Insertion durchschnitten.
- Fig. 2. Rechte Paukenhöhle, von oben geöffnet. Hammer-Ambos und Ambos-Paukengelenk. 1 Kapsel des letzteren. 2 Chorda tympani.
- Fig. 3. Durchschnitt der Basis des Steigbügels mit dem Rande des Vorhofsfensters, parallel dem kürzeren Durchmesser der Basis. 1 Knöchernerne, 2 knorplige Schichte der Basis. 3 Schleimhaut der Paukenhöhle. 4 Knorpelüberzug des Vorhofsfensters. 5 Durchschnitt des Can. facialis.
- Fig. 4. Laterale Wand der rechten Paukenhöhle von innen mit Hammer und Ambos und geöffnetem Canalis musculo-tubarius. Tensor tympani. 1 Chorda tympani. 2 Septum tubae. 3 Tube. 4 Paukenfell. \* Spitze des Handgriffs des Hammers.
- Fig. 5. Mediale Wand der linken Paukenhöhle mit dem Steigbügel und dem M. stapedius. Eminentia stapedii und Can. facialis geöffnet. 1 Stumpf des N. facialis. 2 Canalis facialis. 3 Promontorium. 4 Tube.

---

<i>abs</i>	Ligam. annulare baseos stapedis.
<i>cp</i>	Capitulum des Steigbügels.
<i>lb</i>	Kurzer Fortsatz des Amboses.
<i>ll</i>	Langer Fortsatz des Amboses.
<i>ma</i>	Lig. mallei ant.
<i>Mcp</i>	Kopf des Hammers.
<i>ml</i>	Langer Fortsatz desselben.
<i>pl</i>	Proc. lenticularis des Amboses.
<i>sp</i>	M. stapedius.
<i>stp</i>	Spina tympanica post.
<i>Tt</i>	M. tensor tympani. <i>Tt'</i> Dessen Sehne.



Fig. 1.

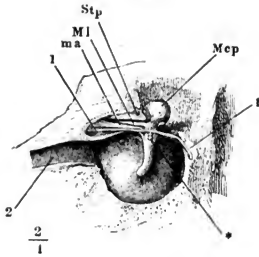


Fig. 2.

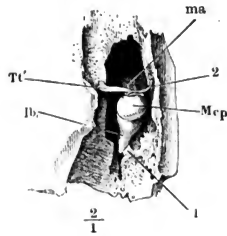


Fig. 3.

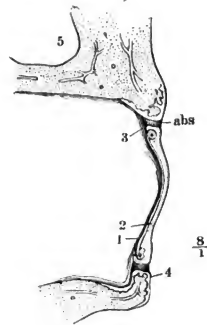


Fig. 5.

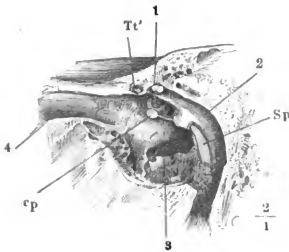
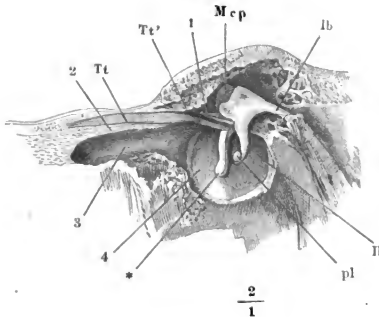


Fig. 4.



- Fig. 1. Abguss des linken knöchernen Labyrinths, von aussen.  
 Fig. 2. Abguss des rechten knöchernen Labyrinths, von innen.  
 Fig. 3. Abguss des linken knöchernen Labyrinths, von oben. \* Abgüsse der auf der Pyramis vestibuli mündenden Canälchen.  
 Fig. 4. Knöchernes Labyrinth der rechten Seite von unten, die Spitze der Schnecke abwärts gedreht, die untere Windung derselben geöffnet.  
 Fig. 5. Boden des rechten inneren knöchernen Gehörgangs, durch Abtragung des Knochens von beiden Flächen frei gelegt.  
 Fig. 6. Linkes Schläfenbein mit dem Steigbügel, hinter dem Schneckenfenster frontal durchschnitten. Vordere Schnittfläche, die Spitze der Pyramide abwärts geneigt. \* Eingang der Scala vestibuli.  
 Fig. 7. Durchschnitt der rechten Schläfenpyramide durch die Höhle des Vestibulum parallel der lateralen Wand des letzteren; mediale Schnittfläche. † Durchschnitt des Canälchens, welches den Zweig des N. vestibularis zur Pyramis vestibuli führt.

---

<i>Ac</i>	Innere Mündung des Aqueduct. cochleae.	<i>Rc</i>	Recessus cochlearis.
<i>Av</i>	Aquaeduct. vestibuli, Abguss.	<i>Re</i>	Recessus ellipticus.
<i>Cf</i>	Can. facialis, Durchschnitt.	<i>Rs</i>	Recessus sphaericus.
<i>Cs</i>	Crista semilunaris.	<i>S</i>	Steigbügel.
<i>Ctt</i>	Can. tensoris tympani.	<i>Ss</i>	Sinus sulciformis.
<i>Cv</i>	Crista vestibuli.	<i>St</i>	Scala tympani.
<i>Fc</i>	Fossa cochleae.	<i>Sv</i>	Scala vestibuli.
<i>Fcc</i>	Foramen centrale cochleae.	<i>ts</i>	Membrana tympani secundaria.
<i>Fec</i>	Fenestra cochleae ( <i>Fen. rotunda</i> ).	<i>Tsf</i>	Tractus spiralis foraminosus.
<i>Fj</i>	Fossa jugularis.	<i>v<sup>1</sup> bis v<sup>5</sup></i>	Siebformige Oeffnungen, durch welche die Zweige des N. vestibuli in das Vestibulum treten.
<i>Fv</i>	Fenestra vestibuli ( <i>Fen. ovalis</i> ).	<i>vaa</i>	Ampulle des vorderen verticalen Bogengangs.
<i>h</i>	Horizontaler Bogengang.	<i>rc</i>	Gemeinsamer Schenkel der verticalen Bogengänge.
<i>ha</i>	Ampulle desselben.	<i>vp</i>	Hinterer verticaler Bogengang.
<i>hp</i>	Hintere Mündung desselben.	<i>vpa</i>	Ampulle desselben.
<i>ls</i>	Lamina spiralis.		
<i>Lss</i>	Lamina spiralis secundaria.		
<i>Pr</i>	Promontorium.		

Fig. 1.

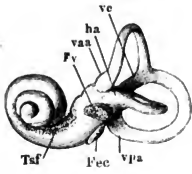


Fig. 2.

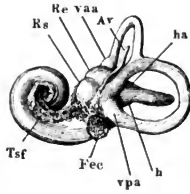


Fig. 3.

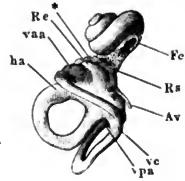


Fig. 4.

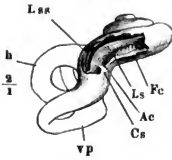


Fig. 5.

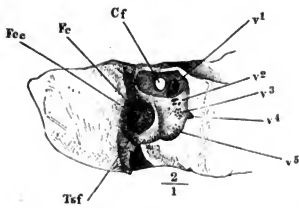


Fig. 6.

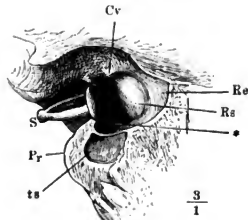
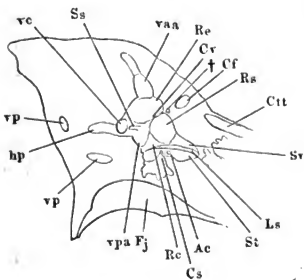


Fig. 7.



- Fig. 1. Durchschnitt der Pyramide des Schläfenbeins, senkrecht auf deren Längsaxe, parallel der Axe des Modiolus. Hintere Schnittfläche.
- Fig. 2. Knöcherner rechte Schnecke, von vorn geöffnet. † Durchschnitt der Zwischenwand der Schnecke. †† Oberes Ende derselben.
- Fig. 3. Knöcherner rechte Schnecke des Neugeborenen, von aussen geöffnet.
- Fig. 4. Durchschnitt durch die Spitze der rechten knöchernen Schnecke, parallel der Basis. A untere, B obere Schnittfläche.
- Fig. 5. Spitze der linken knöchernen Schnecke, geöffnet um das Ende der Lamina spiralis (den Hamulus) zu zeigen.

---

<i>Ac</i>	Innere Mündung des Aquaeductus cochleae.
<i>cf</i>	Canalis facialis.
<i>cM</i>	Canalis centralis modioli.
<i>Cs</i>	Crista semilunaris.
<i>Ctt</i>	Canalis tensoris tympani.
<i>Fec</i>	Fenestra cochleae.
<i>H</i>	Hamulus.
<i>La</i>	Lamina spiralis.
<i>Md</i>	Modiolus.
<i>Pai</i>	Porus acust. int.
<i>sM</i>	Canalis spiralis modioli.
<i>St</i>	Scala tympani.
<i>Stu</i>	Septum tubae, Querschnitt.
<i>Se</i>	Scala vestibuli.

Fig. 1.

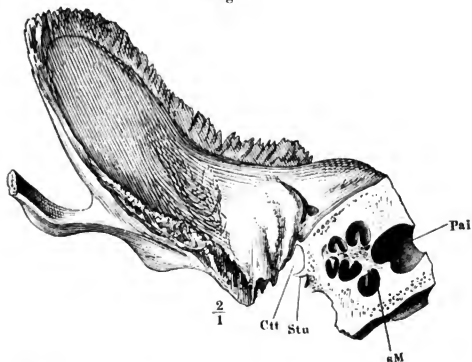


Fig. 2.

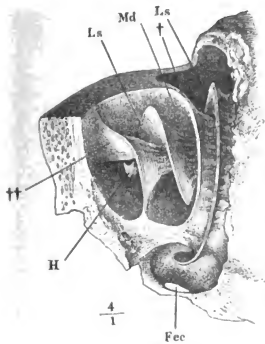


Fig. 3.

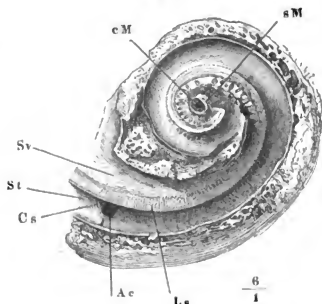


Fig. 4.

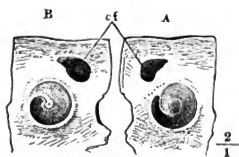


Fig. 5.



Fig. 1. Utriculus und häutige Bogengänge der linken Seite von aussen.

Fig. 2. Horizontalschnitt des Kopfs durch das Labyrinth, untere Schnittfläche.

1 Durchschnitt des Sinus transversus. 2 Cellulae mastoideae. 3 Knorpel der Auricula. 4 Antrum mastoideum, von oben geöffnet. 5 Paukenhöhle. 6 Canalis facialis. 7 Querschnitt des Hammerkopfs; medianwärts von demselben verläuft die Chorda tympani. 8 Schnecke. 9 Schräg durchschnittener *M. tensor tympani*. 10 Spitze des unteren Lappens des Grosshirns. 11 Angeschnittener *Can. caroticus*. 12 Fibröse Hirnhaut. 13 Querschnitt der *Carotis int.* 14 Knochenvene. 15 Durchschnitt des Kleinhirns. 16 *N. acusticus*. 17 Vestibulum. 18 Durchschnitt des vorderen verticalen Bogengangs. 19 Horizontaler Bogengang, angeschnitten.

Fig. 3. Durchschnitt des *N. acusticus* und der Schnecke, dreimal vergrössert.

Fig. 4. Querschnitt einer Windung aus einer in Salzsäure erweichten Schnecke.

\* *Crista ligamenti spiralis*. Die Hilfslinien bedeuten den Durchschnitt der Gehörstäbchen.

<i>b</i>	Membrana basilaris.
<i>DC</i>	Ductus cochlearis.
<i>e</i>	Aeusserer Wand desselben.
<i>h</i>	Horizontaler Bogengang.
<i>Lls</i>	Limbus laminae spiralis.
<i>ls</i>	Lamina spiralis.
<i>Lsp</i>	Ligam. spirale.
<i>Md</i>	Modiolus.
<i>Nc</i>	Nervus cochlearis.
<i>Nv</i>	Nervus vestibuli.
<i>St</i>	Scala tympani.
<i>Sv</i>	Scala vestibuli.
<i>v</i>	Membrana vestibularis ( <i>M. Reissneri</i> ).
<i>va</i>	Vorderer verticaler Bogengang.
<i>vp</i>	Hinterer verticaler Bogengang.

Fig. 1.



Fig. 2.

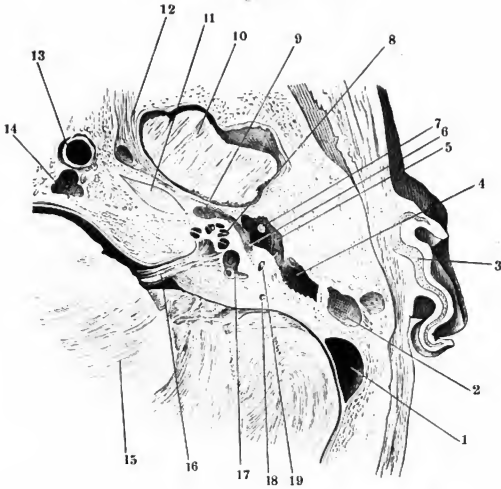


Fig. 3.

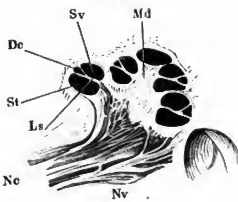
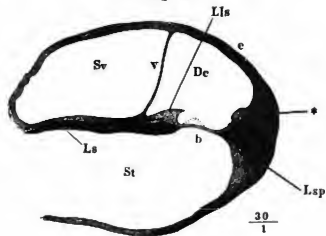


Fig. 4.

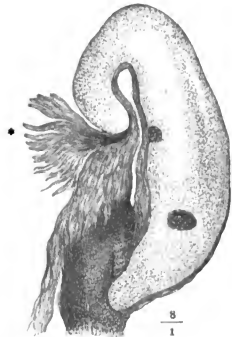


- Fig. 1. Schädelbasis mit dem Knorpel der Tube (\*). † Horizontalschnitt des Gaumenflügels.
- Fig. 2. Querschnitte des knorpiligen Theils der Tube, A dicht vor der Verbindung des knorpiligen Theils mit dem knöchernen, B am vorderen Rande der Spina angularis, C in der Gegend des For. ovale. \* Durchschnitt der A. carotis int. 1 N. inframaxillaris. 2 A. meningea media.
- Fig. 3. Querschnitt des oberen Theils der knorpiligen Tube. \* Bündel des M. sphenostaphylinus.

---

<i>Cca</i>	Eingang des Can. carot.
<i>Fj</i>	Fossa jugularis.
<i>Fov</i>	Foramen ovale.
<i>Fs</i>	Foramen spinosum.
<i>Fst</i>	Foramen stylo mastoideum.
<i>Ll</i>	Laterale Lamelle des Gaumenflügels.
<i>Lm</i>	Mediale Lamelle desselben.
<i>Mae</i>	Meat. auditor. ext.
<i>Pe</i>	Querschnitt des M. pterygoid. ext.
<i>Pi</i>	Querschnitt des M. pterygoid. int.
<i>Pa</i>	Querschnitt des M. petrostaphylinus.
<i>Pst</i>	Proc. styloideus.
<i>Sa</i>	Spina angularis.
<i>Ss</i>	M. sphenostaphylinus.
<i>T</i>	Tube.

Fig. 3.



$$\frac{8}{1}$$



Fig. 1.

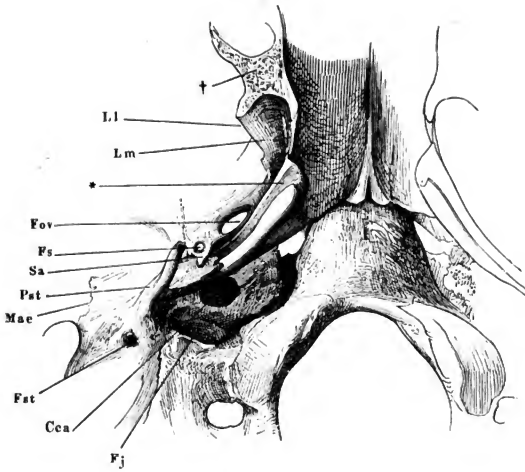
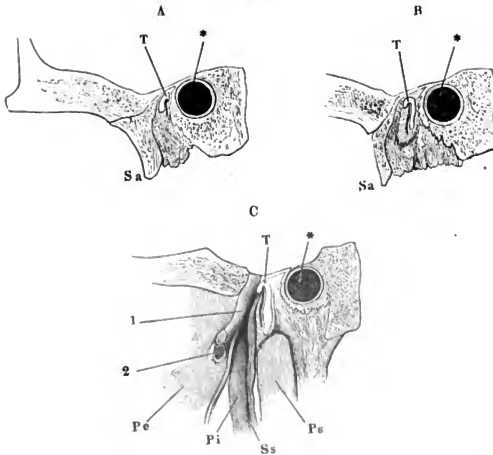


Fig. 2.



- Fig. 1. A, B, C Nasenknorpel, Profil.  
 Fig. 2. Nasenknorpel, Ansicht von vorn.  
 Fig. 3. Durchschnitt des knorpeligen Theils der Nase, parallel der Apertura pyri-  
 formis. 1 Cutis. 2 Schleimhaut der Nase.  
 Fig. 4. Frontalschnitt der Nase, vordere Schnittfläche. † Durchschnitt der  
 knöchernen Nasenwurzel.

- 
- ee* Cartilagine epactiles.  
*l* Seitlicher Nasenknorpel. *l*<sup>1</sup> Lateraler, *l*<sup>2</sup> medialer Schenkel.  
*m* Medianer Knorpel. *m'* Scheidewandknorpel. *m''* Seitenplatte des medianen Knorpels.  
*N* Nasenbein. *N'* Os internasale C. Mayer.  
*Pf* Proc. frontalis des Oberkieferbeins.  
*Sna* Spina nasalis ant.  
 \* Rinne des medianen Knorpels.  
 \*\* Das dieselbe überbrückende Band.  
 \*\*\* Häutiges Septum.

Fig. 1.

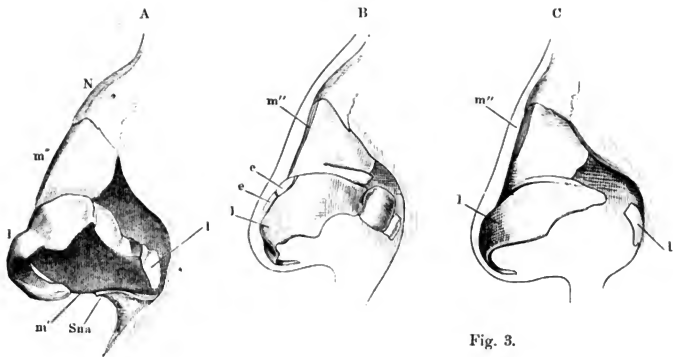


Fig. 2.

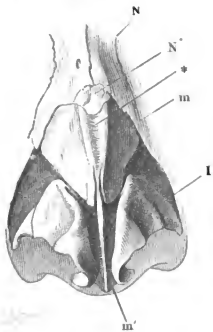


Fig. 3.

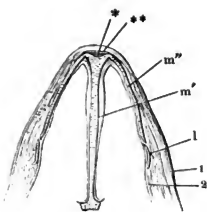


Fig. 4.

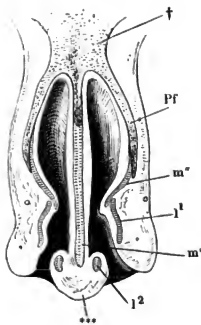


Fig. 1. Laterale Wand der Nasenhöhle, die obere und mittlere Muschel durch je eine Furche der Länge nach getheilt. \* Communicationsöffnung der Wespenbein- mit der Nasenhöhle.

Fig. 2. Laterale Wand der Nasenhöhle; die obere Muschel durch einen Verticalschnitt gespalten und nach zwei Seiten zurückgeschlagen, um die Mündungen der oberen Cellulae ethmoidales sichtbar zu machen, die mittlere Muschel am Anheftungsrand abgeschnitten, um die Mündung der Kieferhöhle zu zeigen. 1 Mündung der unteren Cellulae ethmoid. 2 Eine aus der Stirnhöhle in den mittleren Nasengang geführte Sonde. 3 Constante Communicationsöffnung der Kiefer- und Nasenhöhle. 4 Unbeständige Communicationsöffnung derselben. 5 Ostium pharyngeum der Tube.

---

<i>Ci</i>	Untere Muschel.
<i>Cm</i>	Mittlere Muschel, <i>Cm</i> <sup>1</sup> , <i>Cm</i> <sup>2</sup> Anheftungsrand derselben.
<i>Cs</i>	Obere Muschel. <i>Cs</i> <sup>1</sup> , <i>Cs</i> <sup>2</sup> Aufwärts geschlagene Theile derselben.
<i>Sf</i>	Sinus frontalis.
<i>Ssph</i>	Sinus sphenoidalis.

Fig. 1.

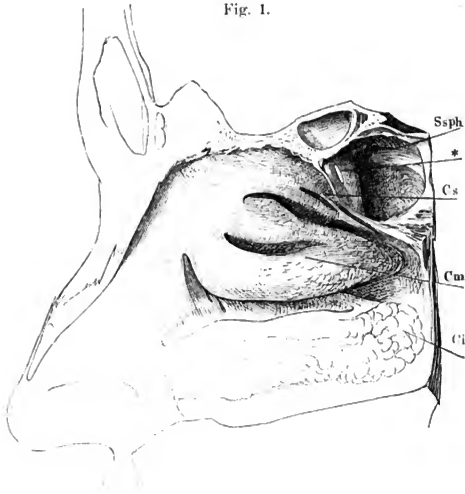


Fig. 2.

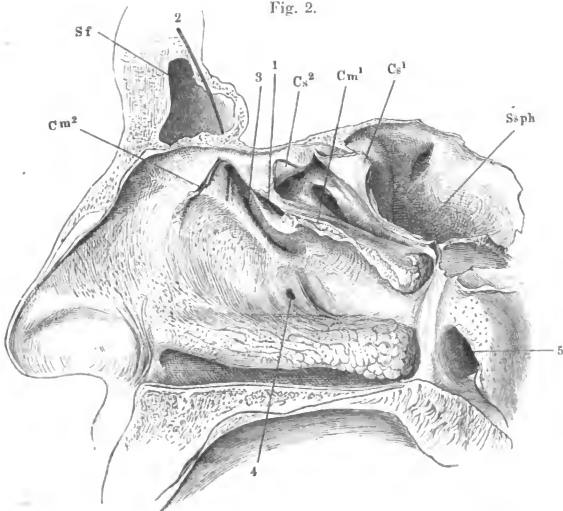


Fig. 1. Frontalschnitt des Kopfs durch die Nasenhöhle, vordere Schnittfläche.  
 † Durchschnitt der Augenhöhle. \* Eine aus der Kiefer- in die Nasen-  
 höhle geführte Sonde.

Fig. 2. Horizontalschnitt der Nasenhöhle dicht am Boden derselben, untere  
 Schnittfläche. \* Nasloch.

---

<i>Ci</i>	Untere Muschel.
<i>Cl</i>	Cellulae ethmoidales.
<i>Cm</i>	Mittlere Muschel.
<i>Ca</i>	Obere Muschel.
<i>Di</i>	Eingang des Ductus incisivus.
<i>l</i>	Seitlicher Nasenknorpel.
<i>m'</i>	Scheidewandknorpel.
<i>Sm</i>	Sinus maxillaris.

Fig. 1.

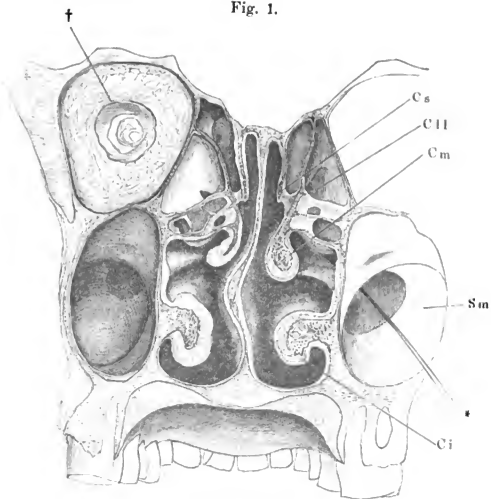
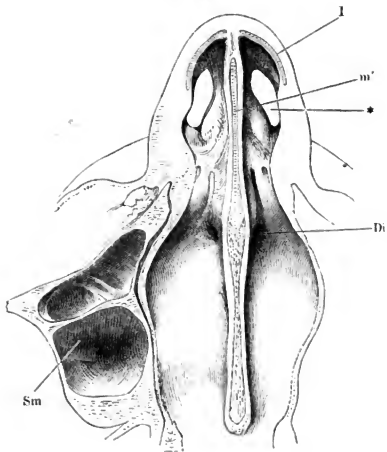


Fig. 2.









LANE MEDICAL LIBRARY

To avoid fine, this book should be returned  
on or before the date last stamped below.

---

--	--	--



